

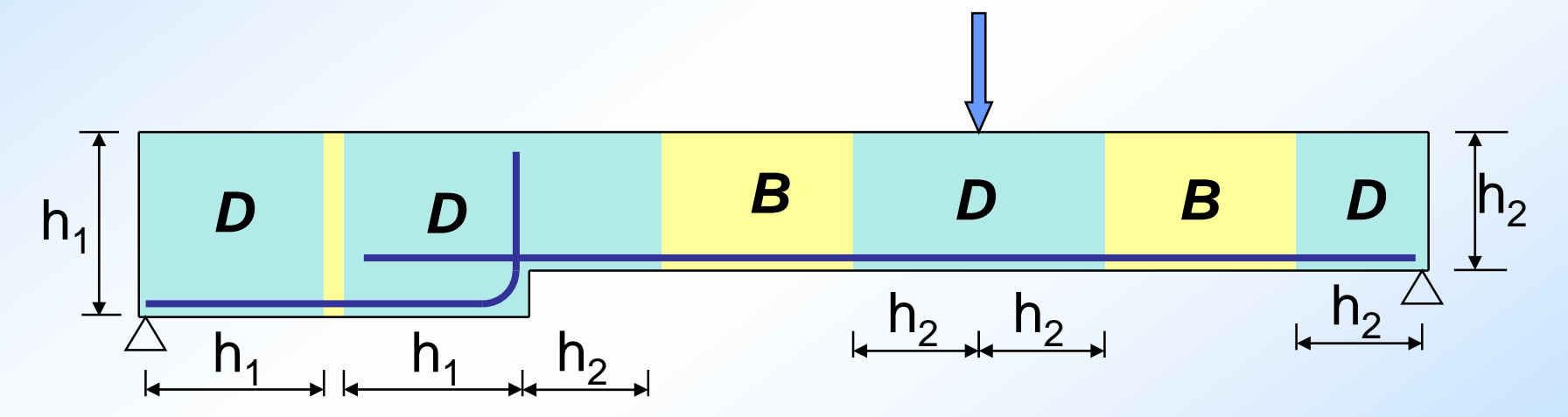
Prof. Dr.-Ing. Andreas Fischer

1 Einführung Stabwerkmodelle

Grundlage: Plastizitätstheorie

Abgrenzung von Bernoulli-Bereichen (B-Bereich)

Abgrenzung von Diskontinuitätsbereichen (D-Bereich)

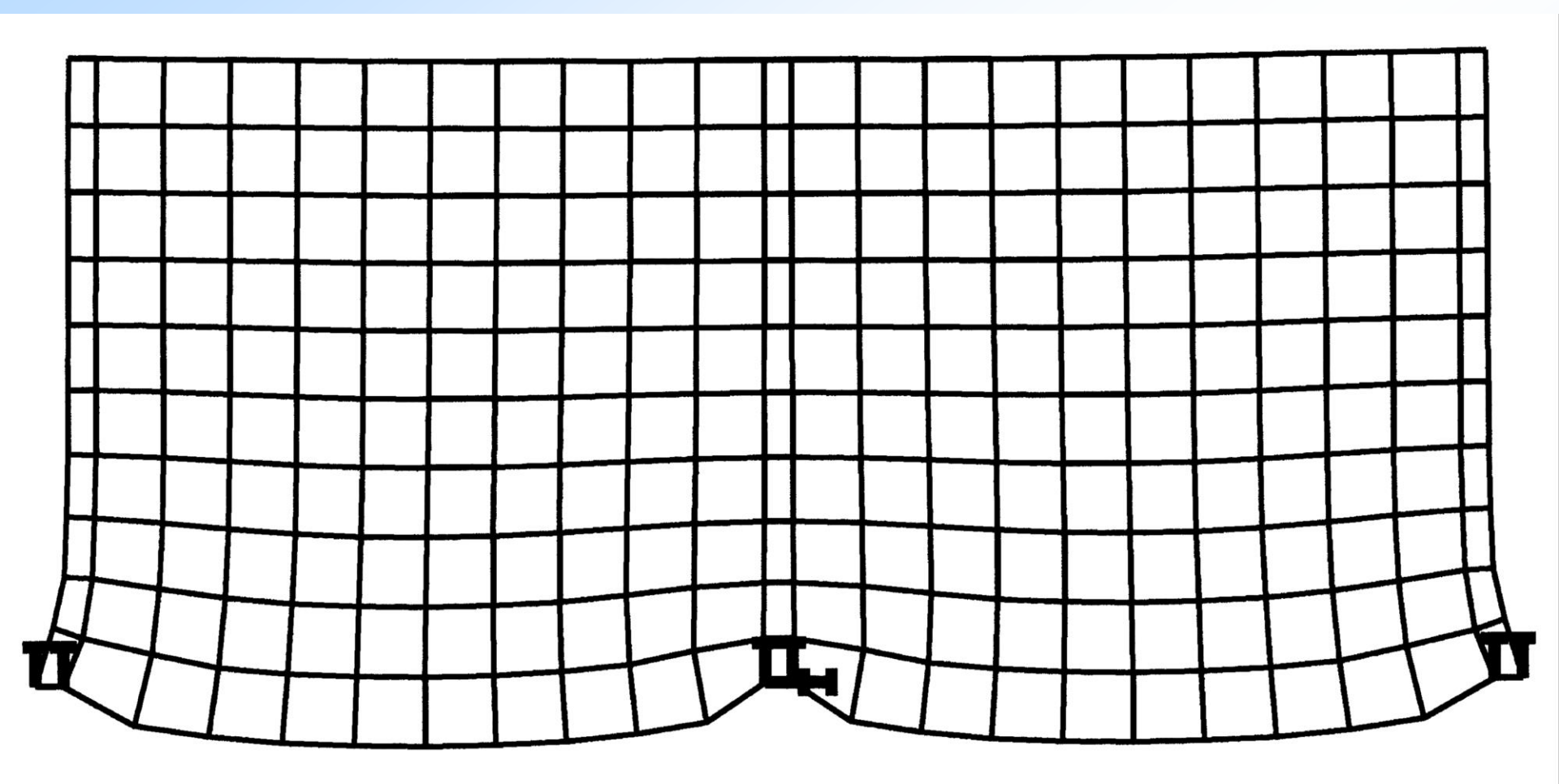


geometrische und statische Diskontinuitäten

Bild 3.2-1. D-Bereiche (schraffierte Flächen) mit nichtlinearer Dehnungsverteilung infolge von

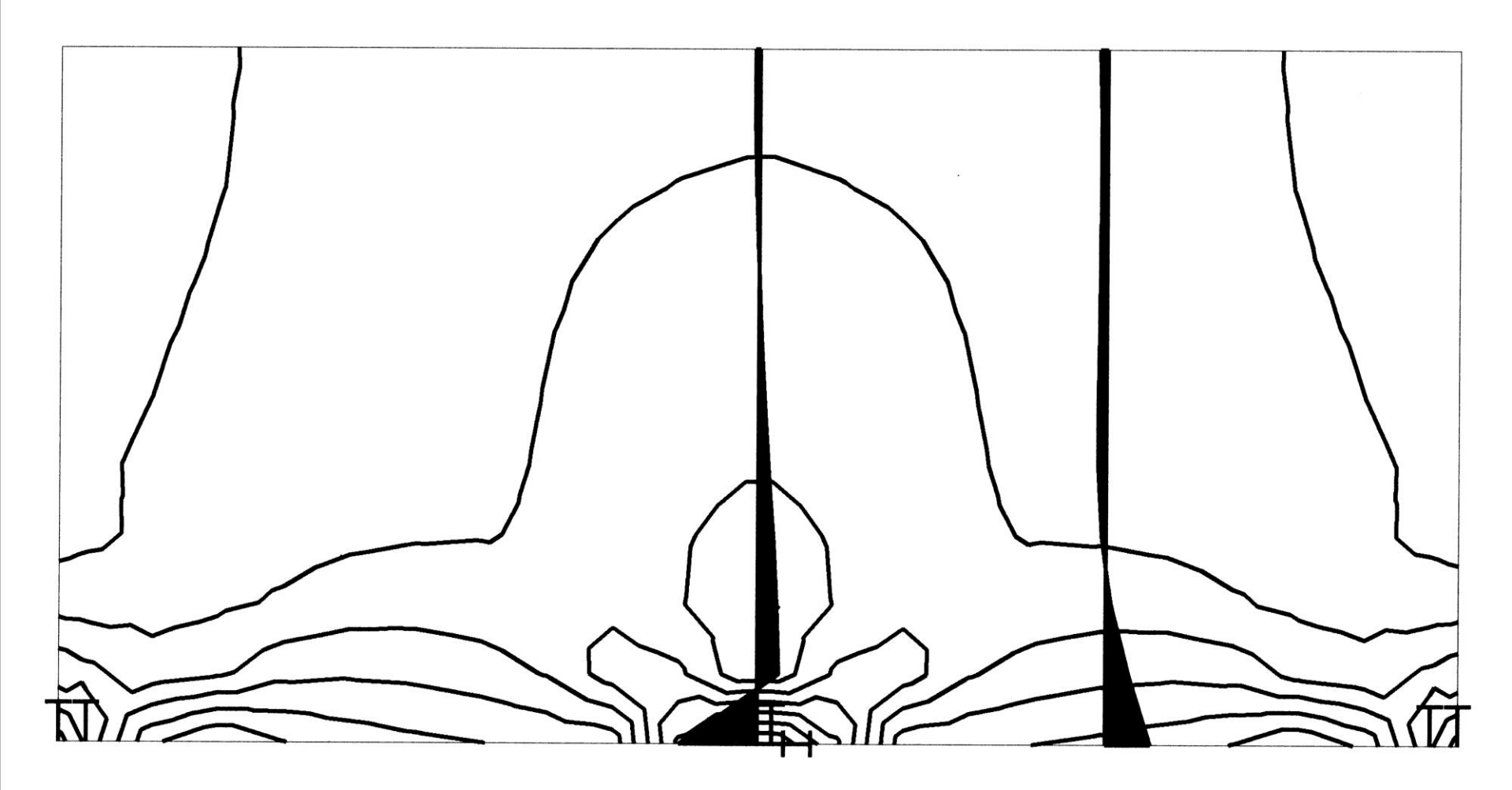
- (a) geometrischen Diskontinuitäten,
- (b) statischen Diskontinuitäten,
- statischen und geometrischen Diskontinuitäten

Zweifeldrige Wandscheibe, Verformung

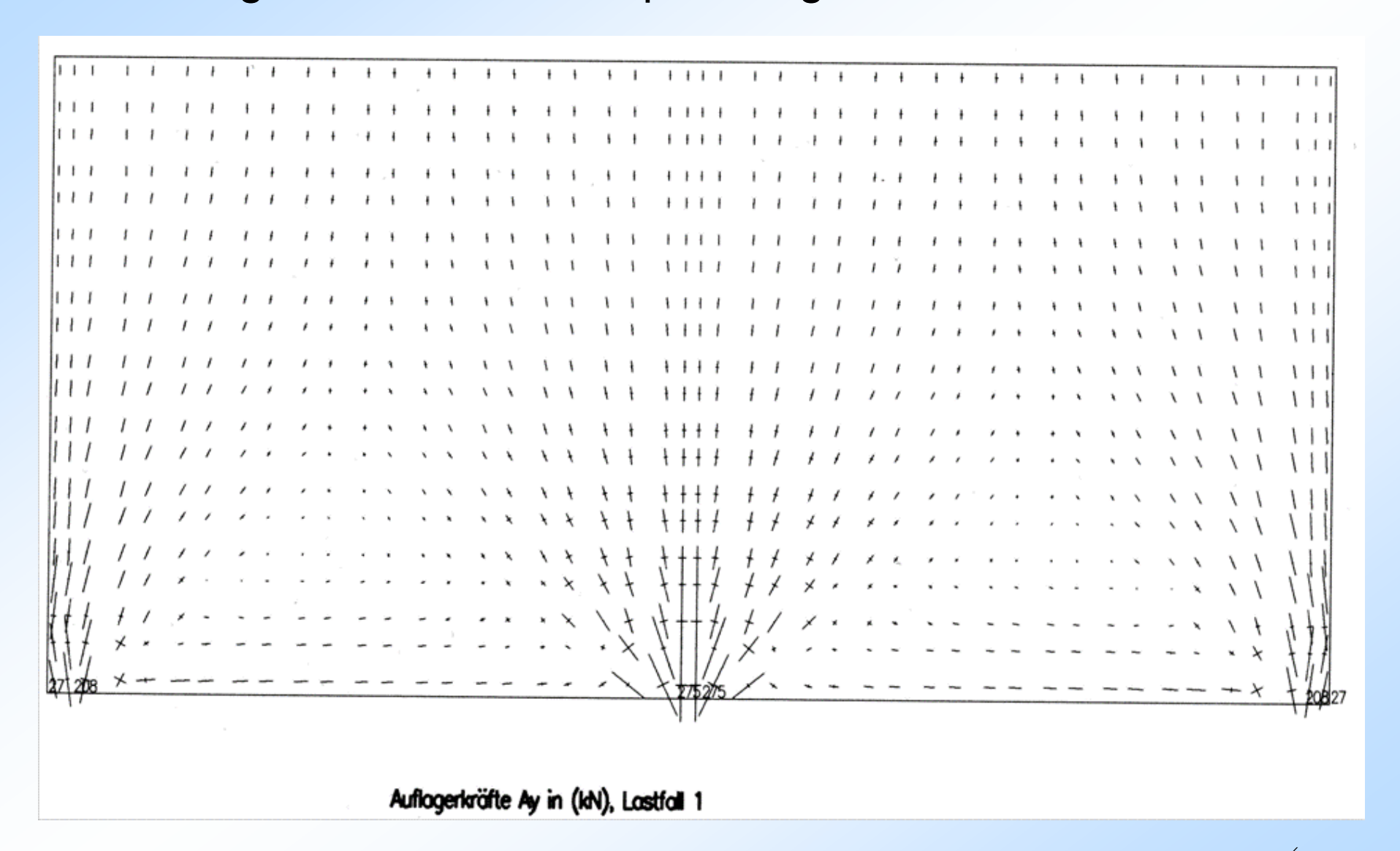


Zweifeldrige Wandscheibe, Spannungen

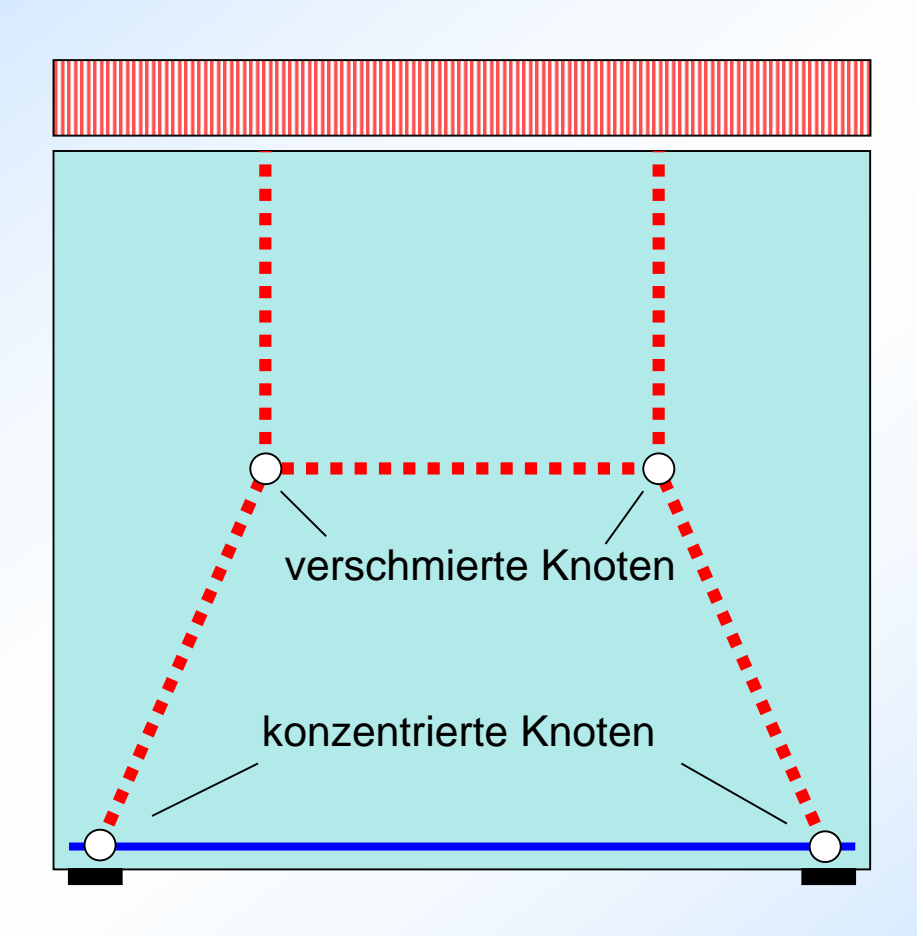
Höhenlinie für sigx in (kN/m2), Lastfall 1



Zweifeldrige Wandscheibe, Spannungen



1 Einführung



Wozu überhaupt Stabwerkmodelle?

- Modellierung des Kraftflusses, Anschaulichkeit
- leichte Ermittlung der inneren Kräfte in komplexen Systemen durch Verwendung einfacher Grundelemente

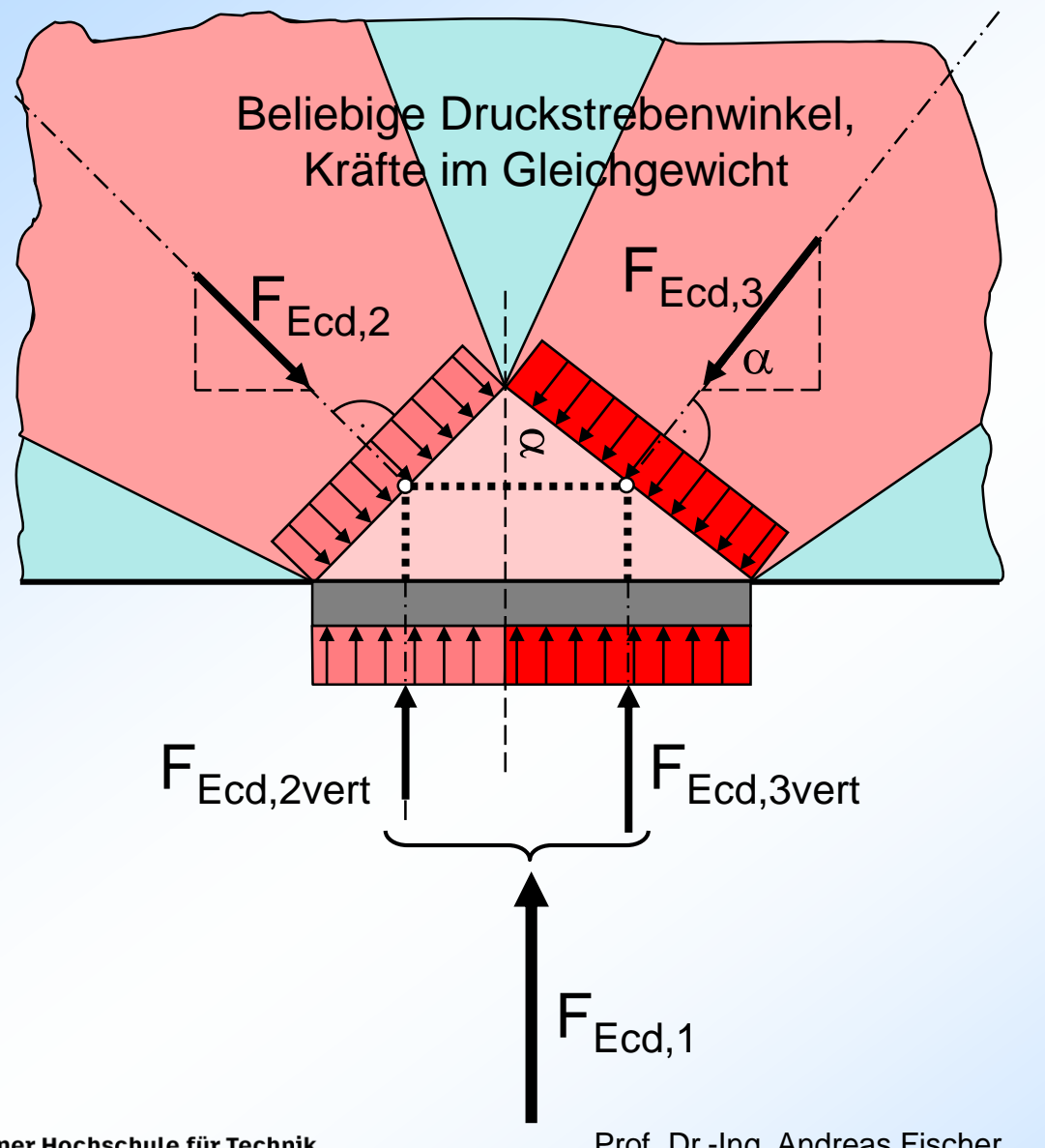
Stab: Druck- oder Zugstab

Knoten: Kreuzungspunkt von mind. 3 Stäben,

erfüllt Gleichgewicht

- einfache Methodik zur Ergänzung und zur Kontrolle von FE-Berechnungen
- Grundlage für die Bemessung von Scheiben, Konsolen, ausgeklinkten Auflagern etc. nach EC2

Entspricht EC2, Bild 6.26 Druckknoten am Bauteilrand (CCC)

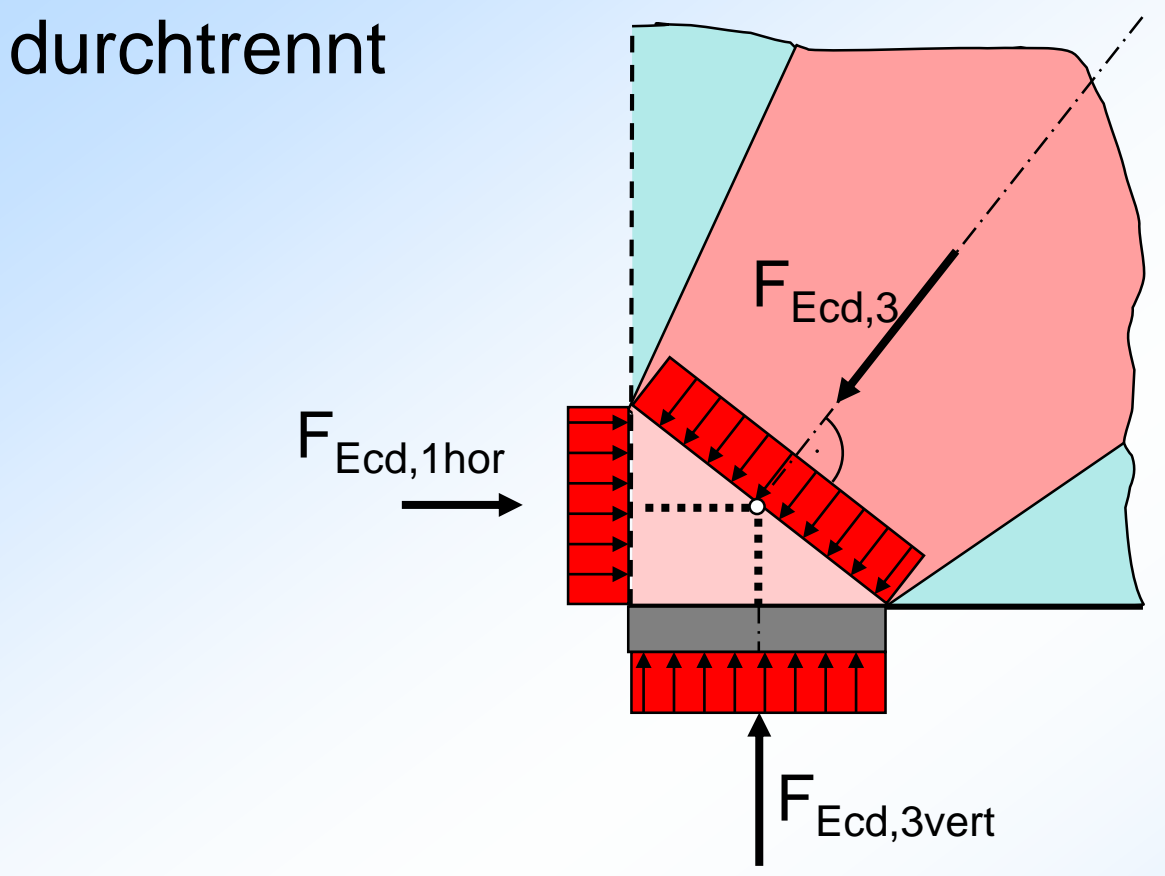


- 1. Lagerkraft wird entsprechend den Komponenten der beiden Druckstrebenkräfte aufgeteilt
- 2. Höhe des Knotendreiecks ergibt sich aus dem Verhältnis der Kraftkomponenten einer der beiden Druckstrebenkräfte
- 3. Alle am Knoten angreifenden Spannungen sind gleich groß (hydrostatischer Knoten)
- 4. Nachweis der Lagerpressung ist ausreichend

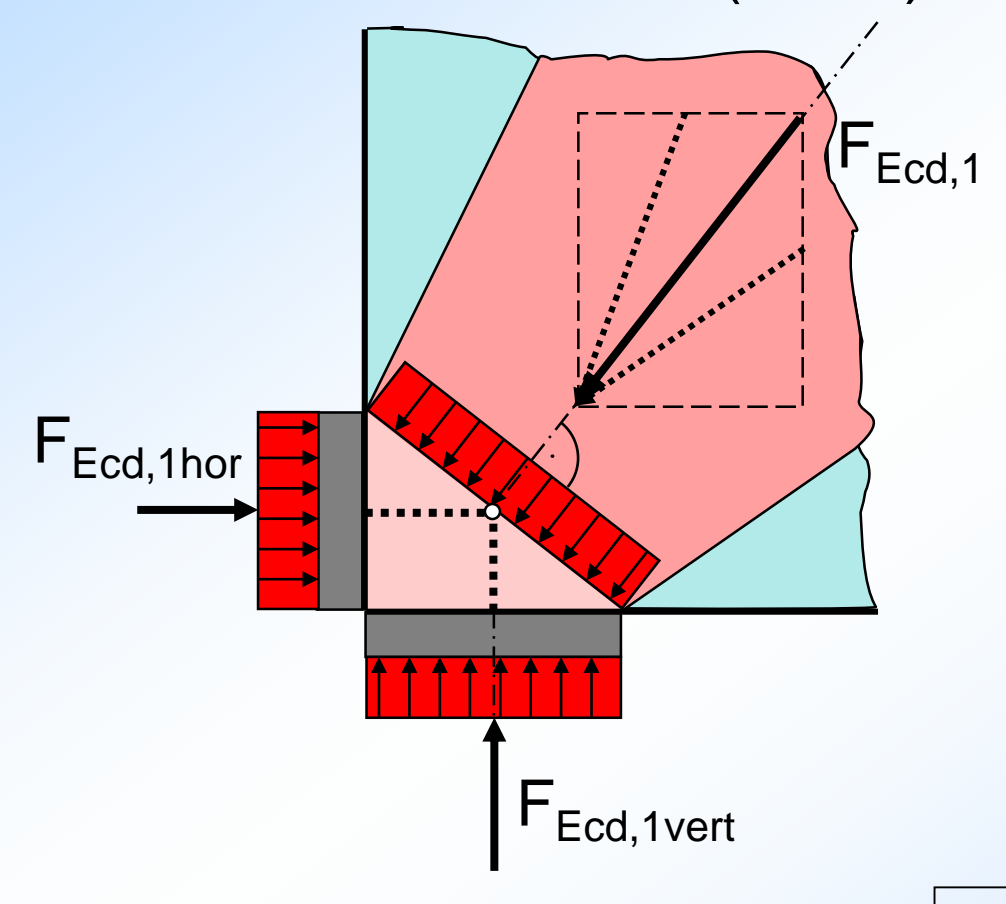
$$\sigma_{Rd,\max} = 1, 1 \cdot \nu_2 \cdot f_{cd}$$

v₂ erst ab C55/67

Druckknoten am Bauteilrand (CCC)



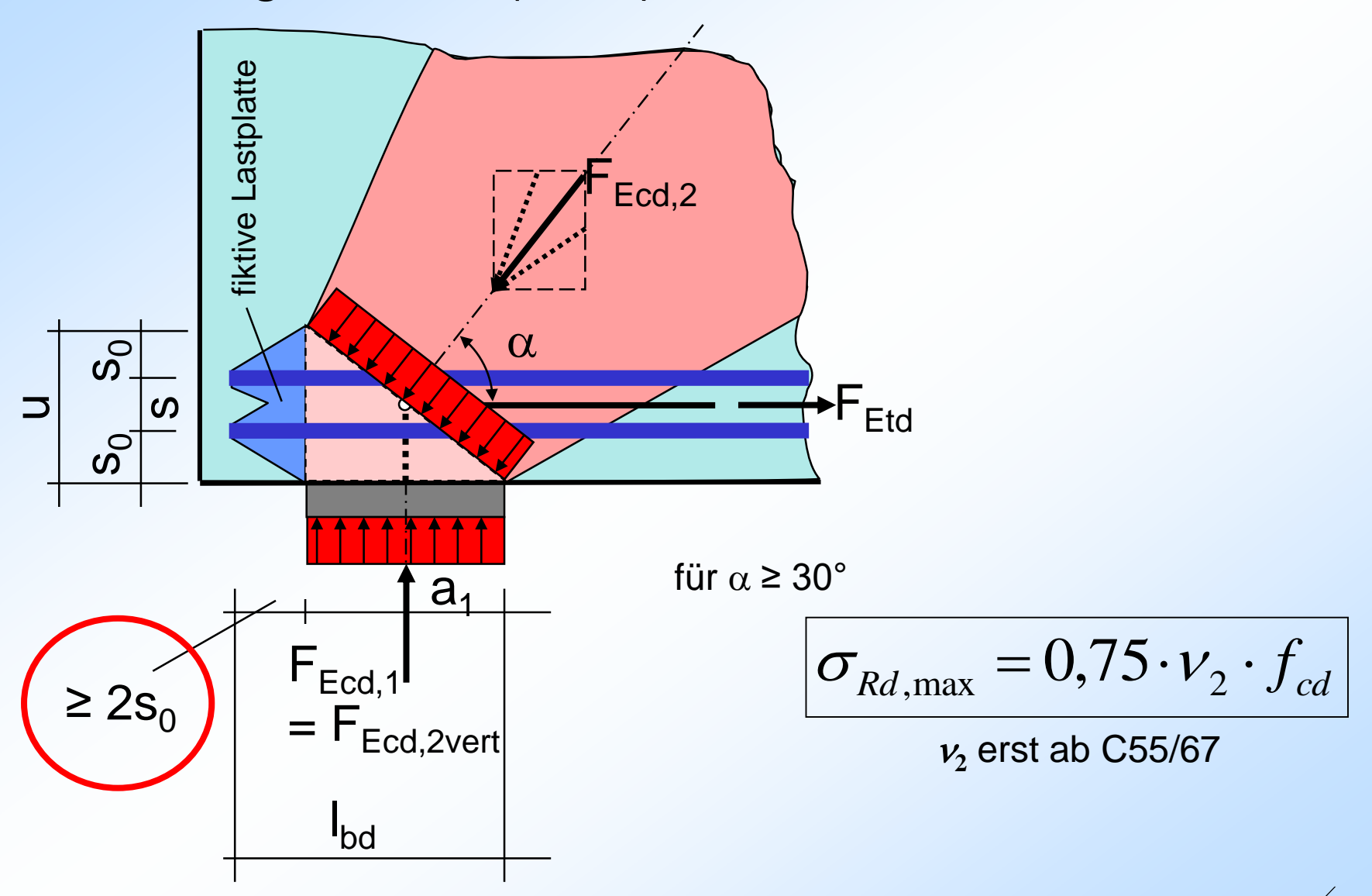
Druckknoten in Bauteilecke (CCC)



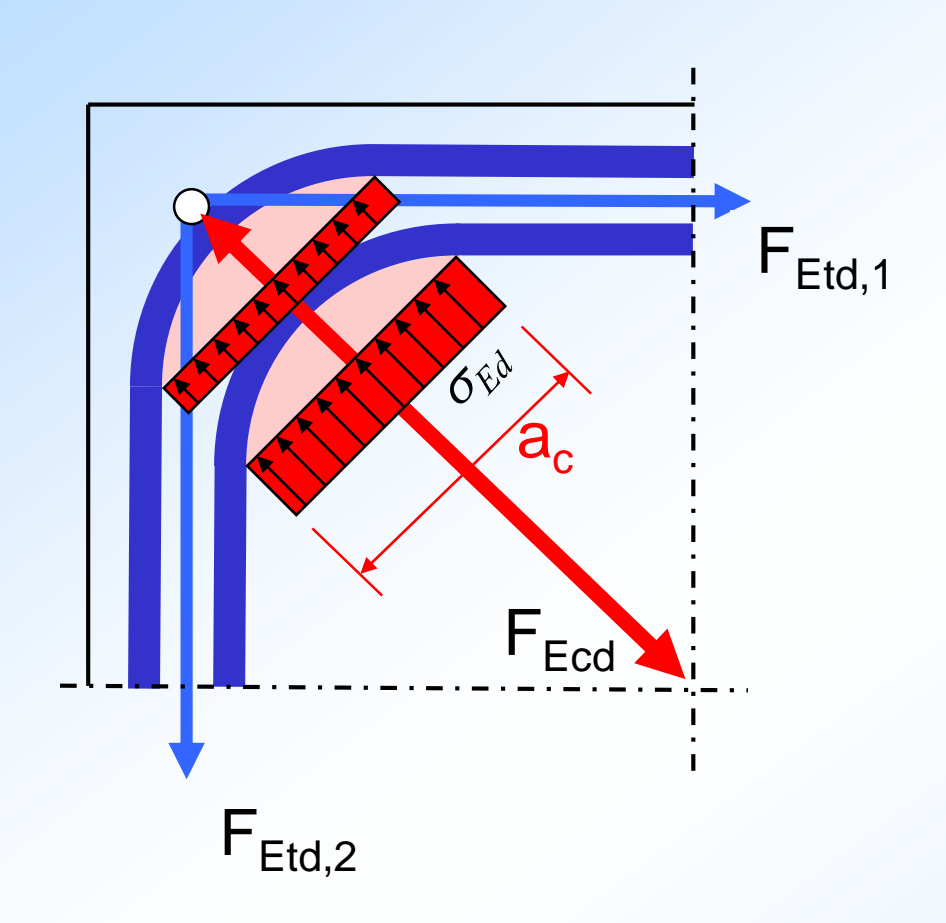
$$\sigma_{Rd,\max} = 1, 1 \cdot \nu_2 \cdot f_{cd}$$

 v_2 erst ab C55/67

Druck-Zug-Knoten (TCC)



Knoten mit Umlenkung von Bewehrung (TTC)



Nachweis der zul. Druckspannung durch Einhaltung der Mindest-Biegerollendurchmesser d_{br} dringend zu empfehlen.

$$\sigma_{Rd,\text{max}} = 0.75 \cdot v_2 \cdot f_{cd}$$

$$v_2 \text{ erst ab C55/67}$$

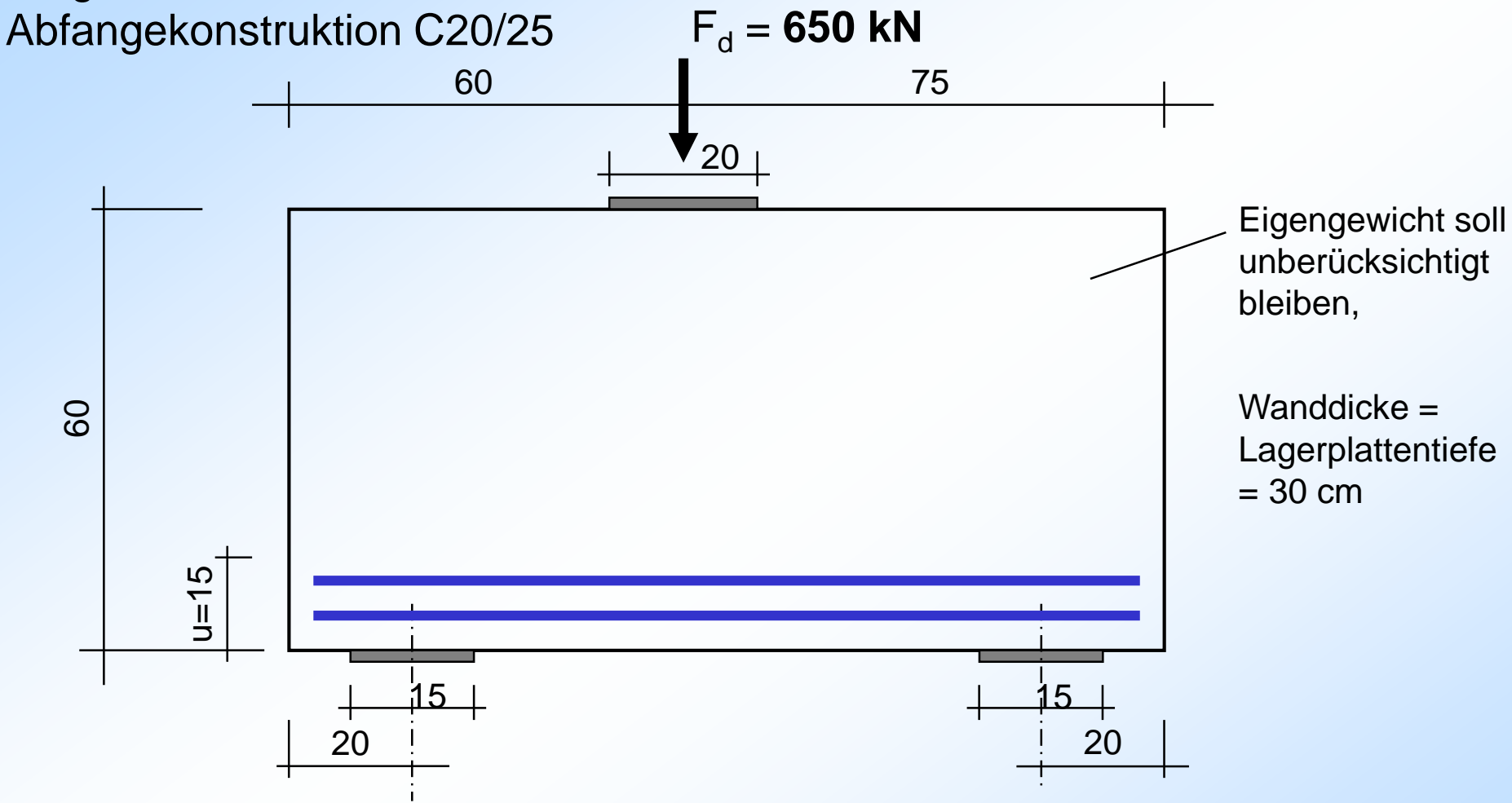
$$\sigma_{\rm Ed} = \frac{F_{\rm Etd}}{b_{\rm w} \cdot d_{\rm br}/2} = \frac{F_{\rm Ecd}}{a_{\rm c} \cdot b_{\rm w}}$$
 nach Kesselformel

 b_w Bauteilbreite senkrecht zur Zeichenebene

EC2, Bild 6.28

Ansatz von b_w setzt voraus, dass Spalten im Umlenkknoten durch Querbewehrung vermieden wird.

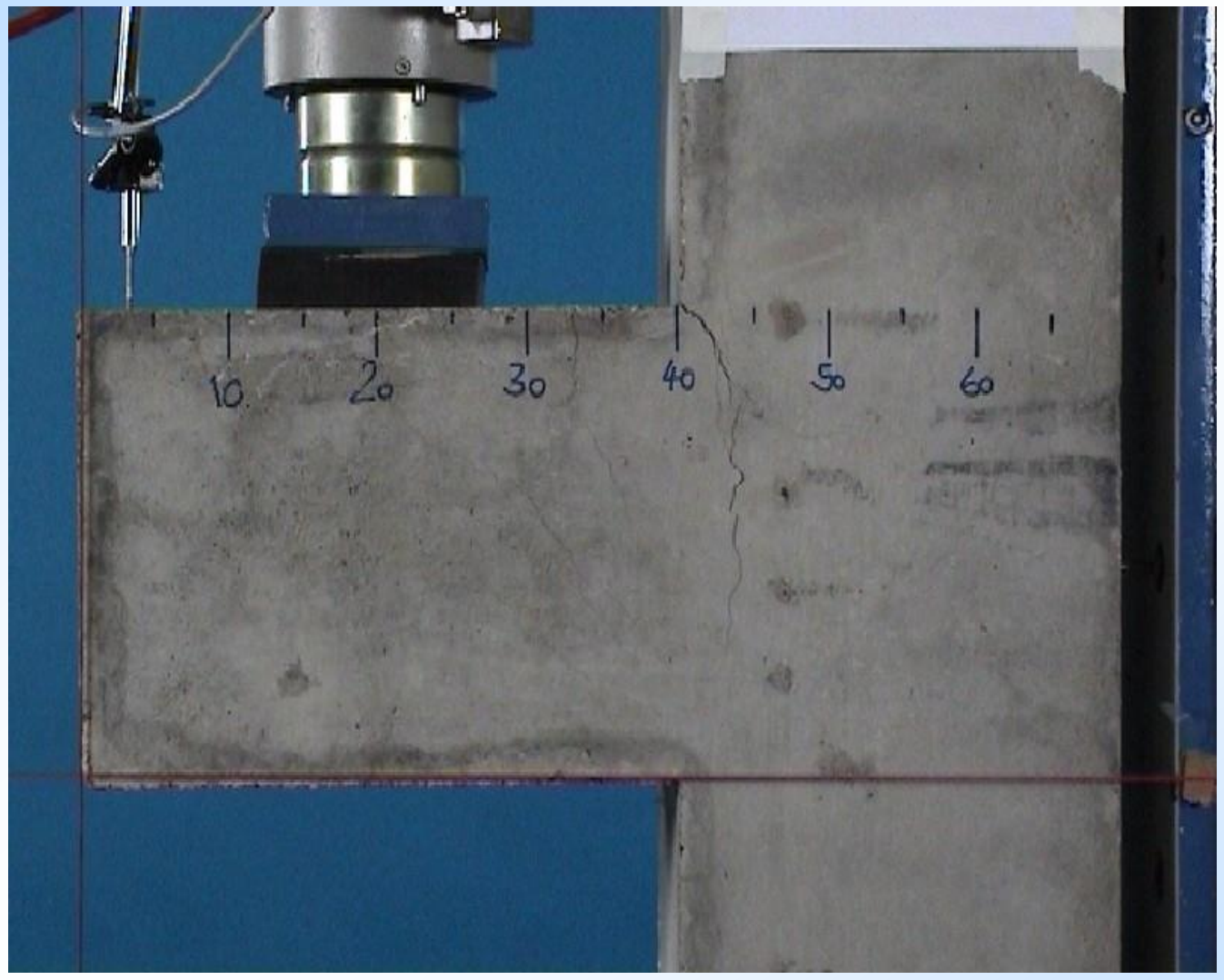




- 1. Ermitteln Sie über die "genaue" Konstruktion der Knoten die Stabgeometrie (Neigungswinkel der Druckstreben) und die Druckstrebenkräfte.
- 2. Ermitteln Sie die Spannungen an den Lastplatten (einschl. fiktiver Lastplatten) und vergleichen Sie diese mit der jeweils zulässigen Spannung.

2 Konsolen

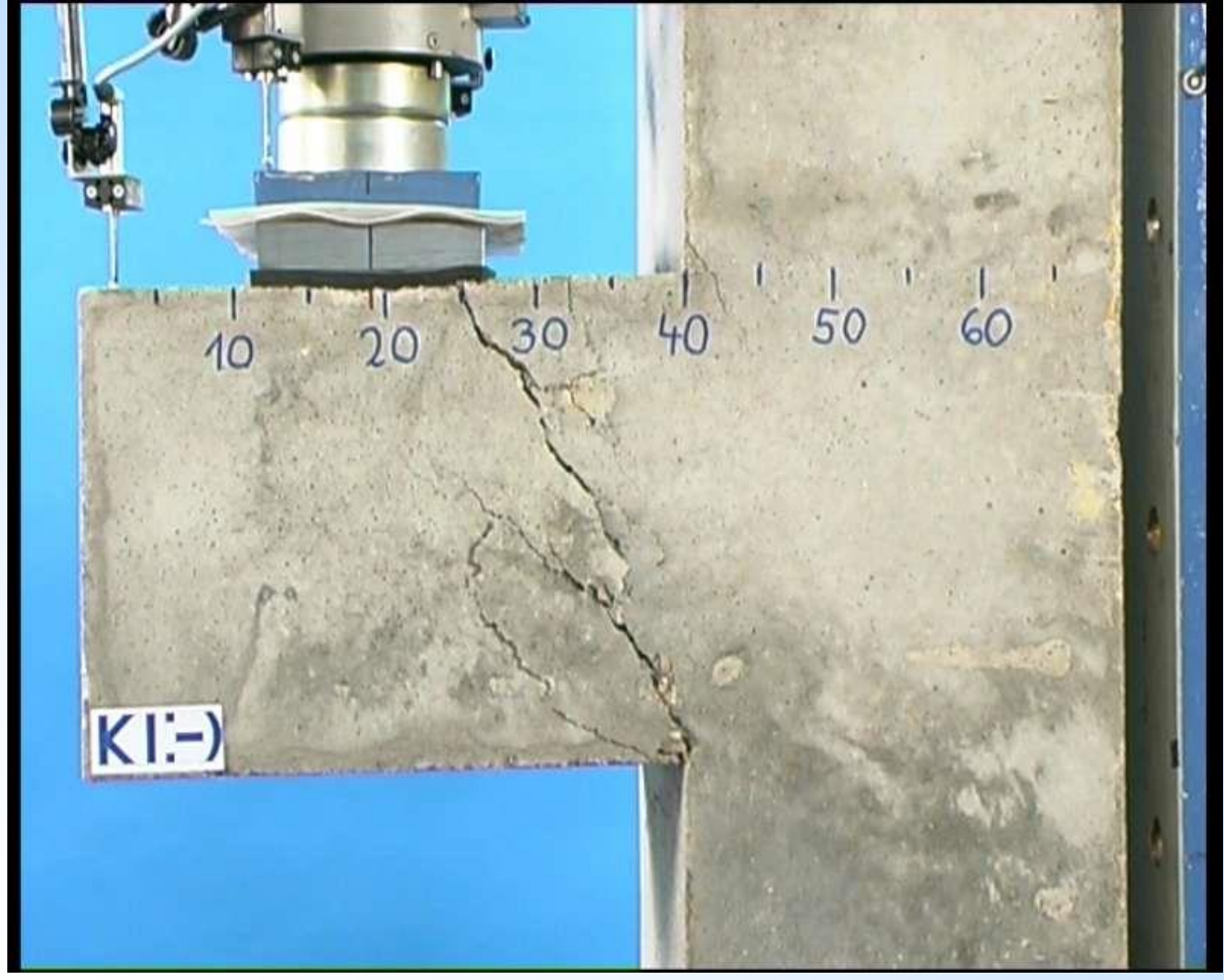




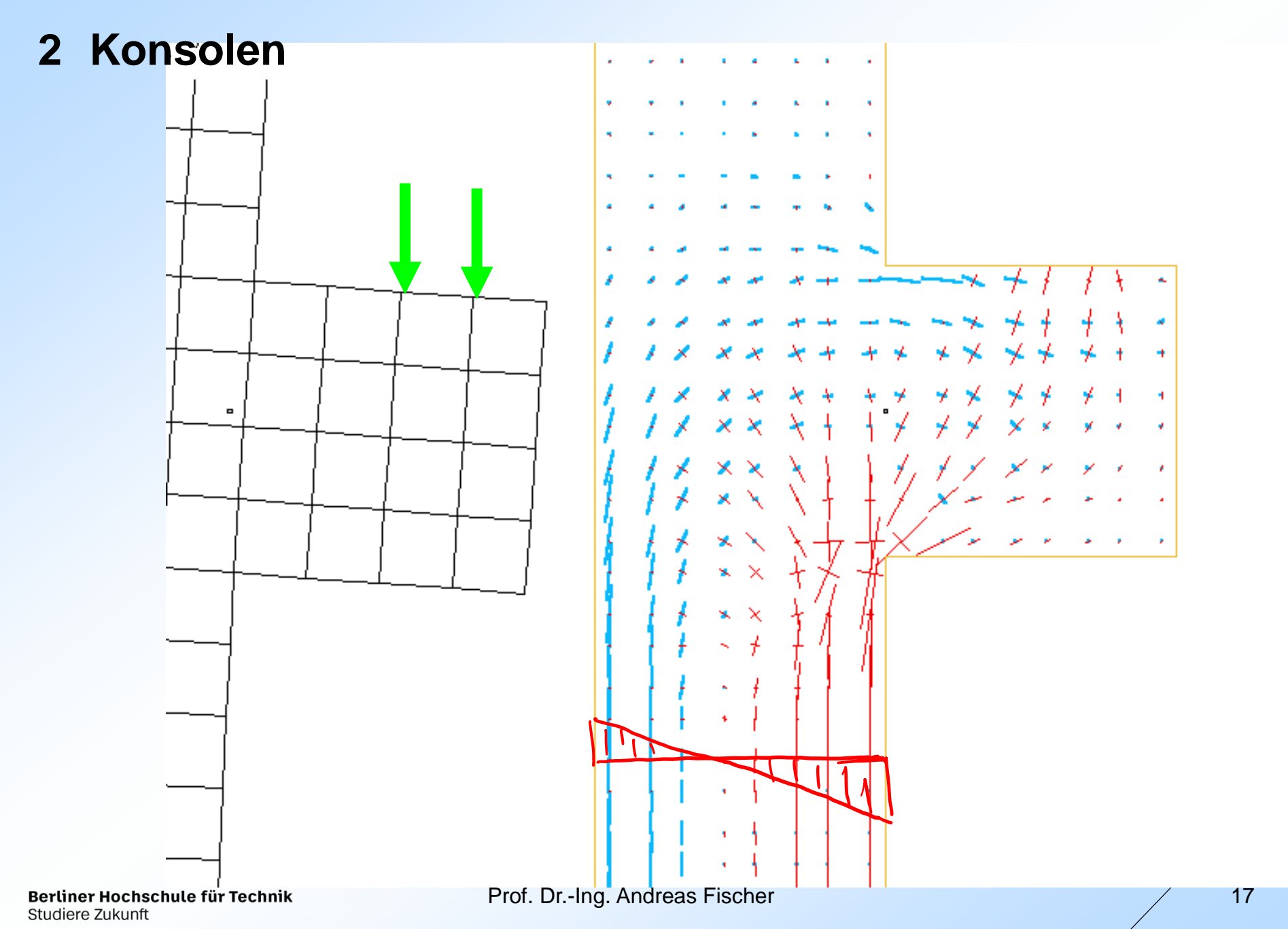
1. Projekt: KI-SMILE (Konstruktiver Ingenieurbau - Simulation, Motivation, Interaktion in Lehre und Experiment): neue Medien im konstruktiven Ingenieurbau; Schlussbericht; [Laufzeit: 01.03.2001 - 31.12.2003] / [Projektpartner: Fachhochschule Potsdam, FB Bauingenieurwesen. Projektleitung: J. Vielhaber ... Fachhochschule Potsdam, FB Design. Leitung: M. Krohn. TFH Berlin, FB III. Leitung: A. Fischer. TU Berlin, Institut für Sprache und Kommunikation. Leitung: C. Schwender] https://edocs.tib.eu/files/e01fb06/516981633.pdf

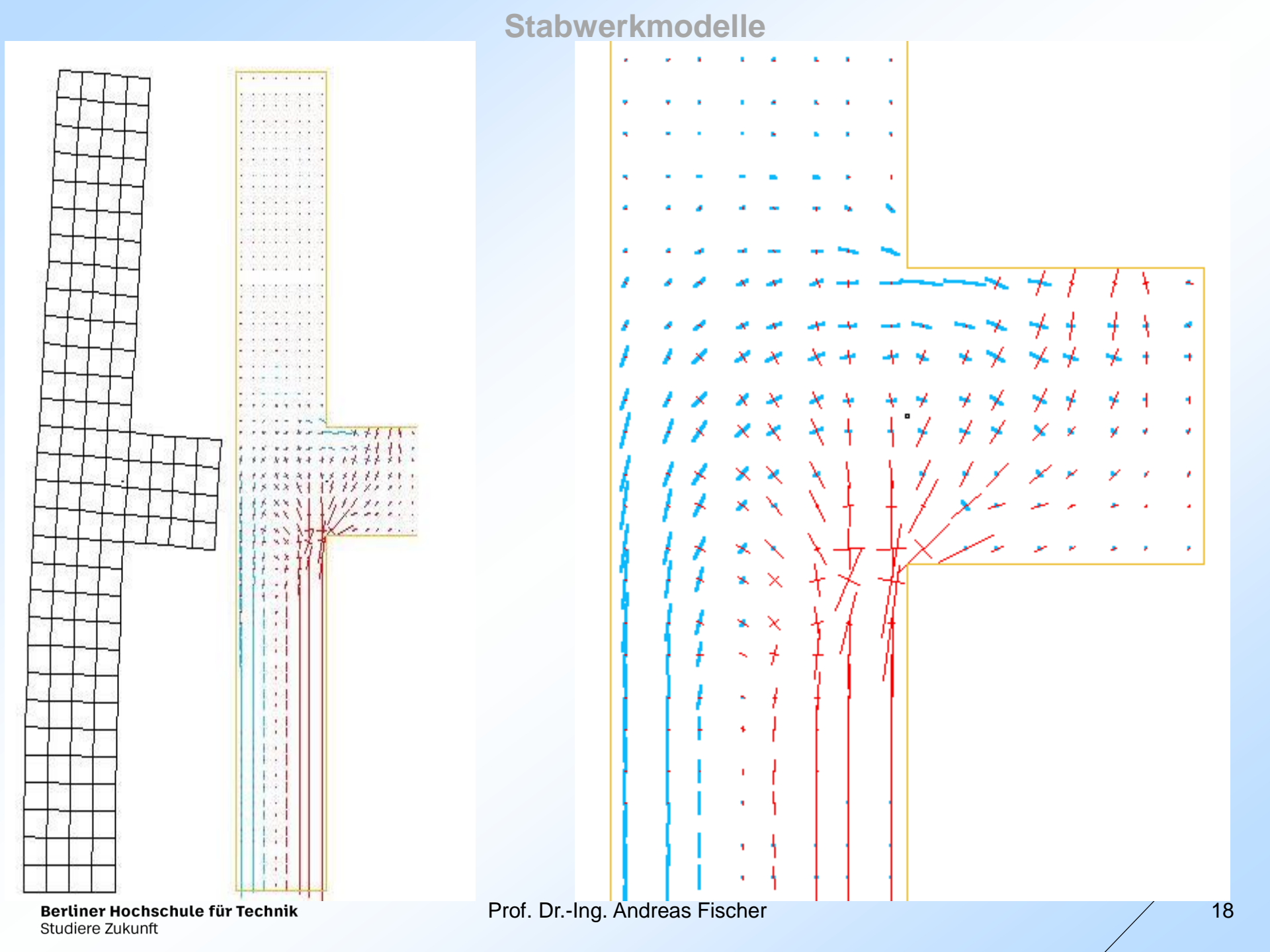
2 Konsolen



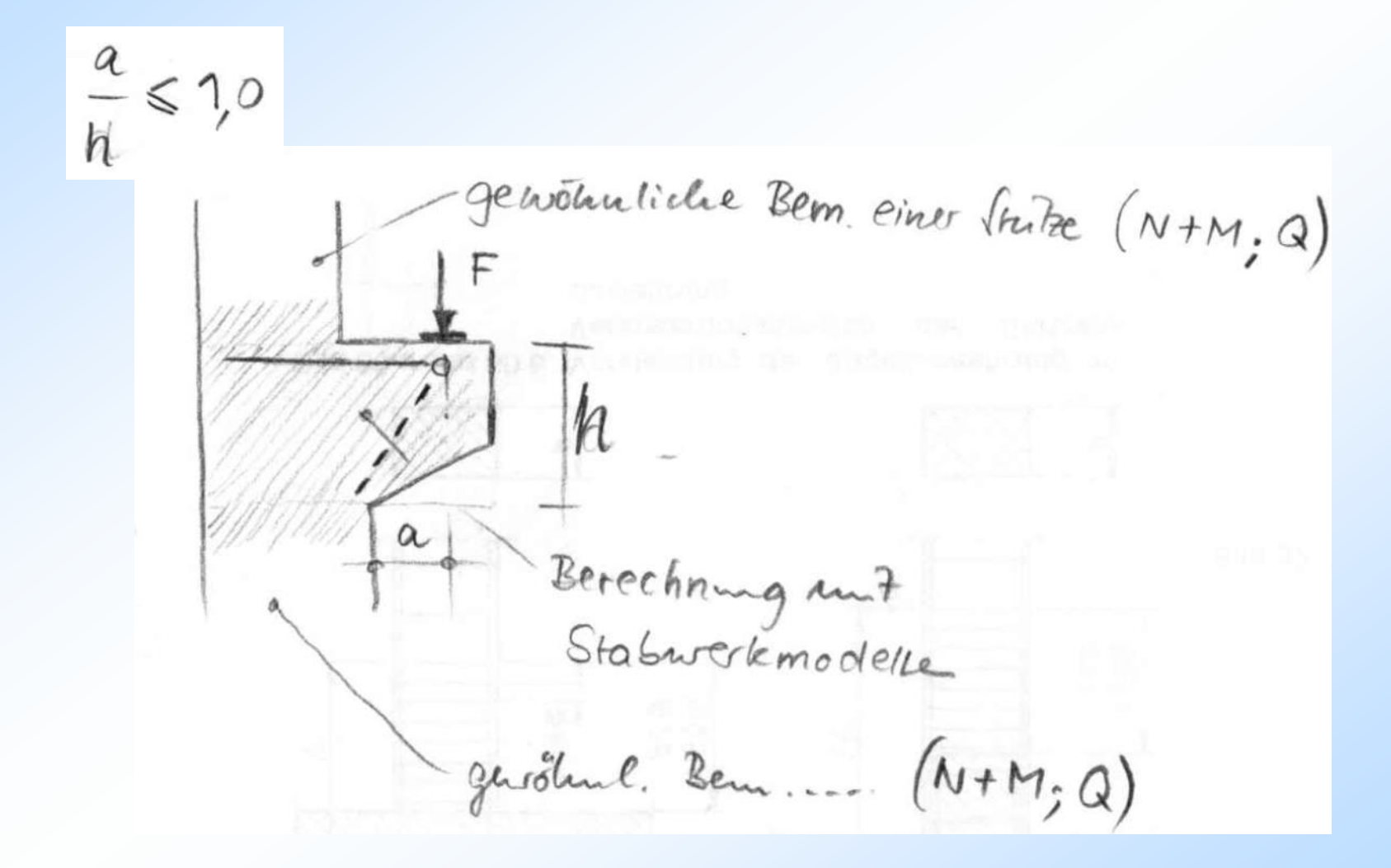


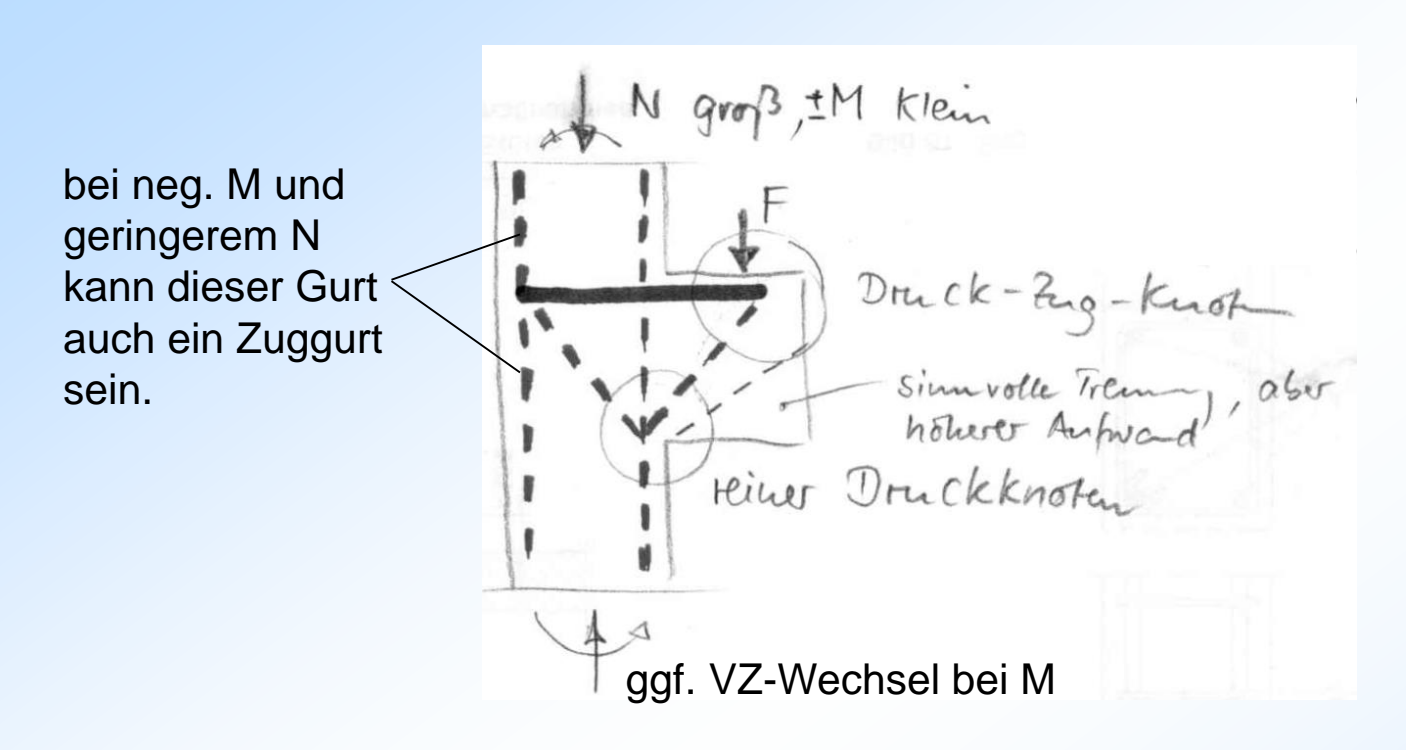
1. Projekt: KI-SMILE (Konstruktiver Ingenieurbau - Simulation, Motivation, Interaktion in Lehre und Experiment): neue Medien im konstruktiven Ingenieurbau; Schlussbericht; [Laufzeit: 01.03.2001 - 31.12.2003] / [Projektpartner: Fachhochschule Potsdam, FB Bauingenieurwesen. Projektleitung: J. Vielhaber ... Fachhochschule Potsdam, FB Design. Leitung: M. Krohn. TFH Berlin, FB III. Leitung: A. Fischer. TU Berlin, Institut für Sprache und Kommunikation. Leitung: C. Schwender] https://edocs.tib.eu/files/e01fb06/516981633.pdf/





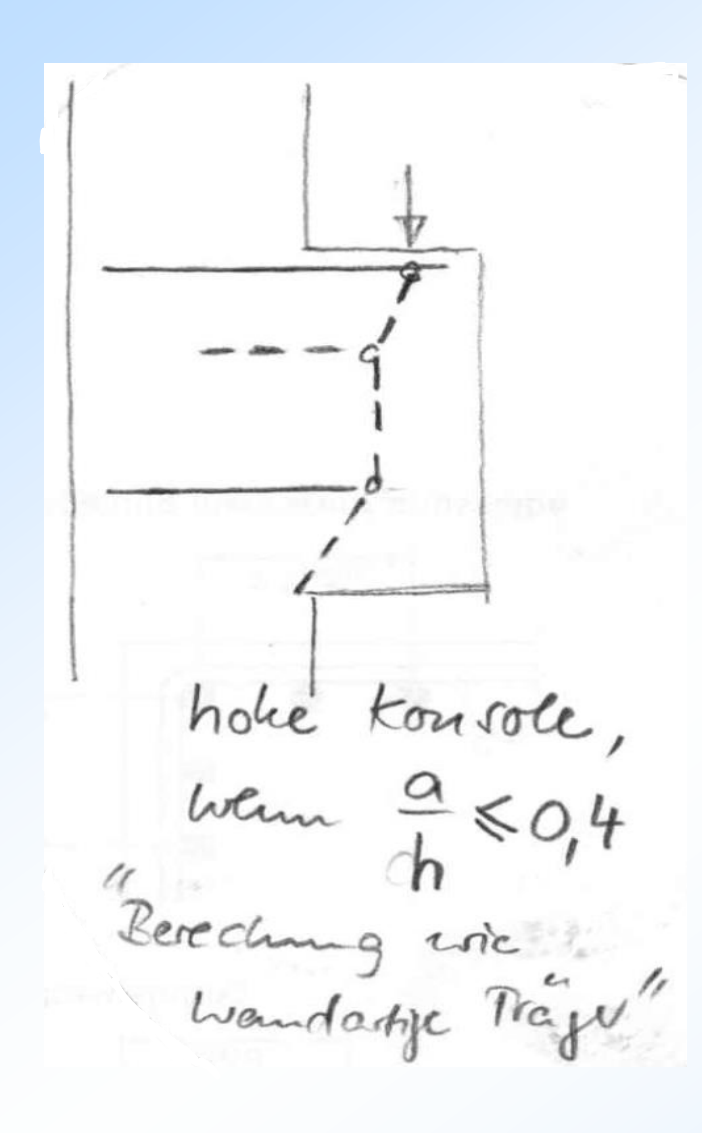
<u>Konsolen</u> = kurze "Kragträger", besser: Kragscheiben, die nicht mehr nach der Balkentheorie bemessen werden können.



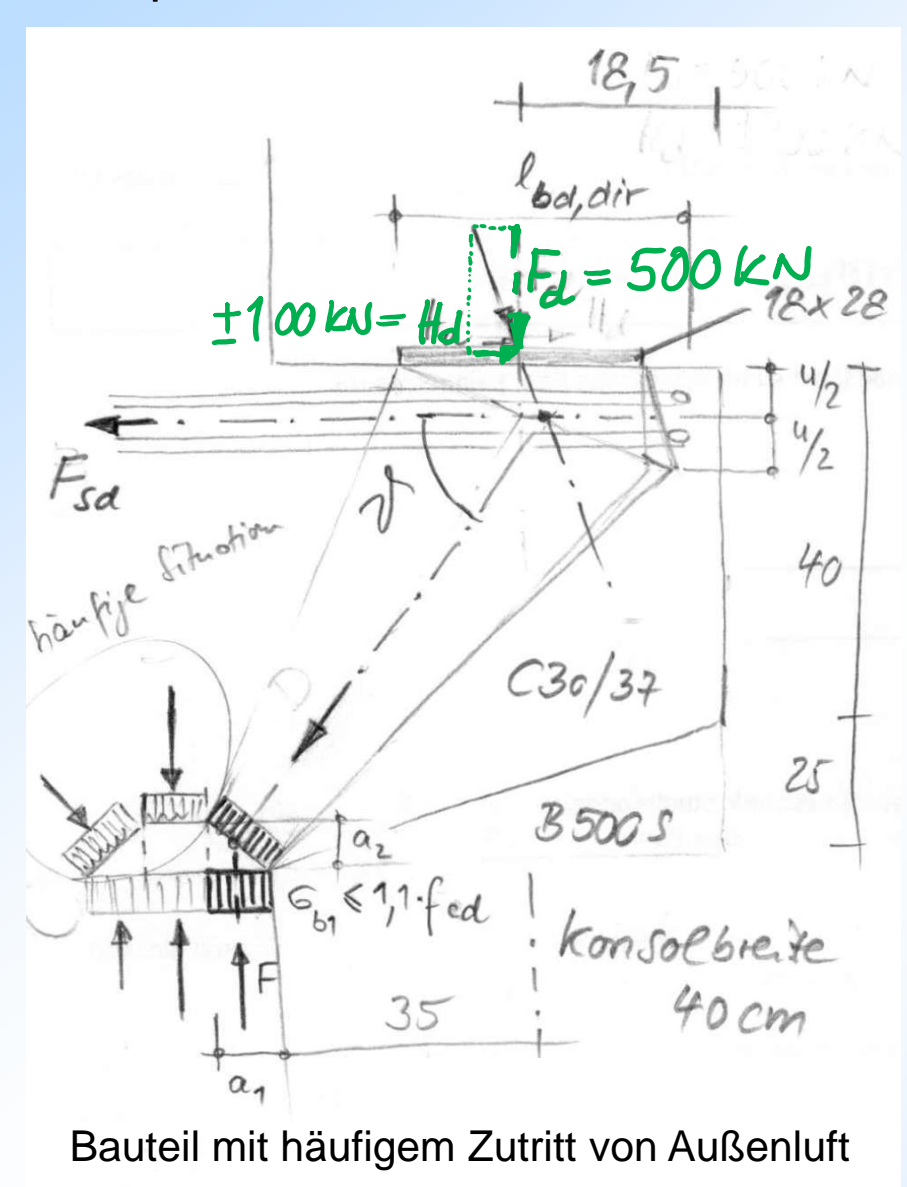


Lasteinleitung mittels einfacher, unbewehrter Elastomerlager zur Vermeidung großer Kantenpressungen sehr empfehlenswert (dabei Mindestrandabstände beachten).

Sofern nicht besonders nachgewiesen, sollte eine zusätzliche H-Kraft infolge unberücksichtigter Zwangbeanspruchung von ± 0,2-F in der Mitte des Lagers berücksichtigt werden.



Beispiel:



- 1. Nachweis der Lagerpressung
- Ermittlung von a₁
- ►3. Vorschätzen von u/2 und a₂
- 4. Ermittlung von $F_{cd,h}$ und F_{sd}
- 5. Kontrolle von a₂
- 6. Bewehrungswahl und
 Kontrolle u/2, ggf. red u an gedachter Lastplatte beachten
- 7. Nachweis der Verankerungslänge
- 8. Nachweis am Umlenkknoten und der Übergreifungslänge mit dem Zuggurt, bzw. beim Druckgurt Nw der Verankerungslänge ab der Stützenvorderkante

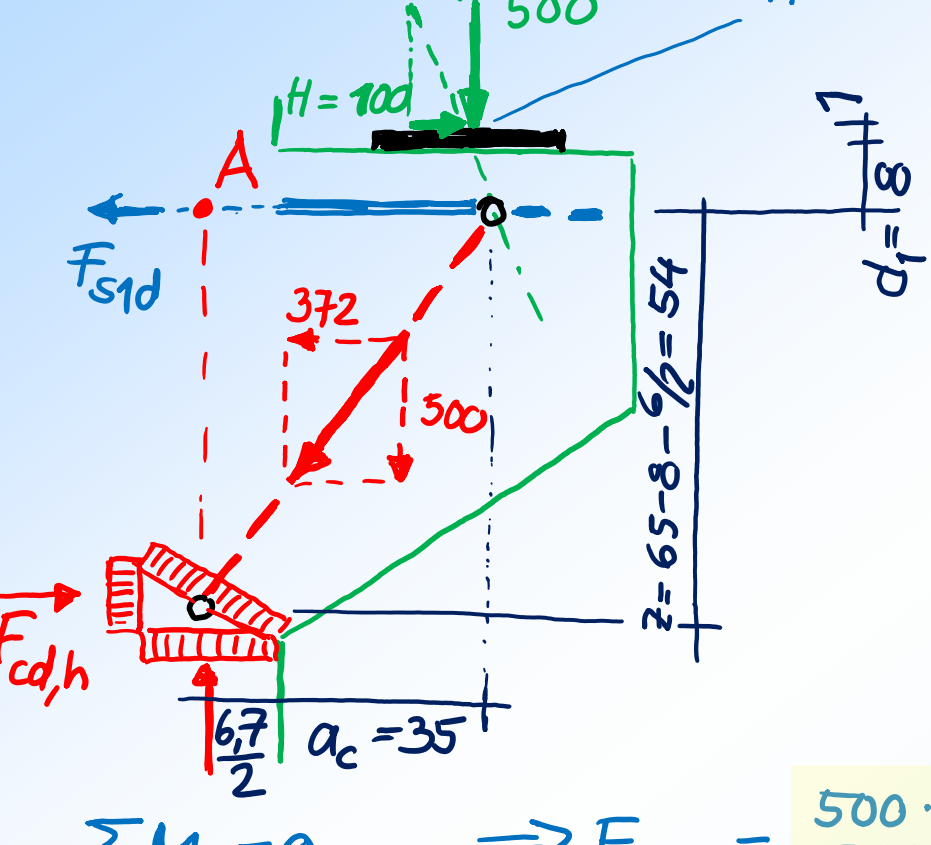
$$F_d = 500 \text{ kN}$$
 $C30/37$ $f_{cd} = \frac{9.85.30}{1.5} = 17.0 \text{ fm/s}^2$ $H_d = 0.20.500 = 100 \text{ kN}$

Konsole unt 0,4
$$\leq \frac{a}{h} \leq 1,0$$
 $\frac{9}{h} = \frac{35}{65} = 0,54$

2. Erwittling von a,
$$\overline{b_1} = \frac{0.500 \, \text{MW}}{a_1 \cdot 0.40 \, \text{m}} = 1.1.17,0 \quad \text{and Regel knoten unks absentiff Druck}$$

$$\overline{b_1} = \frac{0.500 \, \text{MW}}{a_1 \cdot 0.40 \, \text{m}} = 1.1.17,0 \quad \text{and } \overline{b_1} = 0.067 \, \text{m}$$





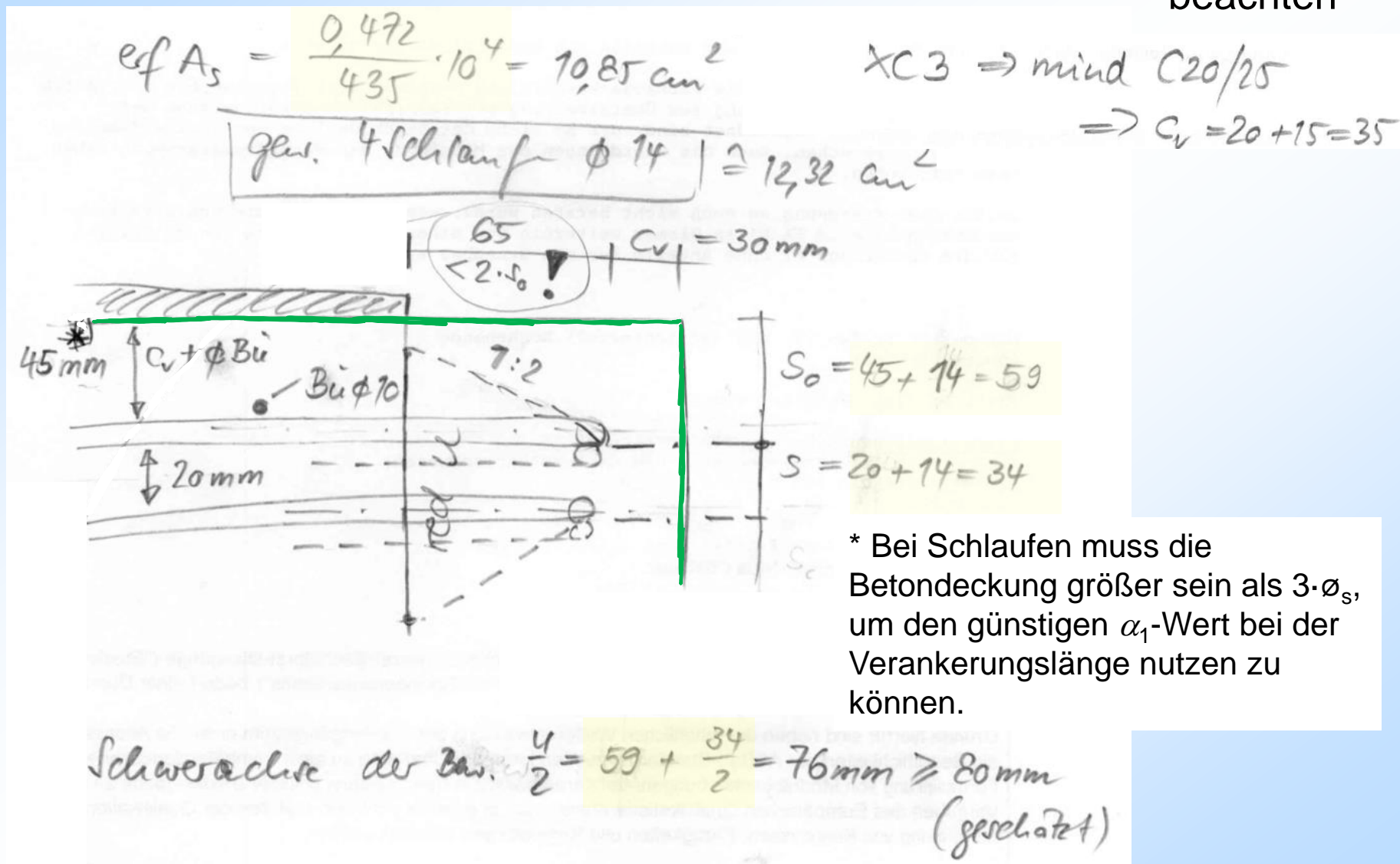
$$\sum M_A = 0$$
 $\Longrightarrow F_{cd,h} =$

$$\frac{500 \cdot 0,3835 + 100 \cdot 0,09}{0,54} = 372 \text{ kN}$$

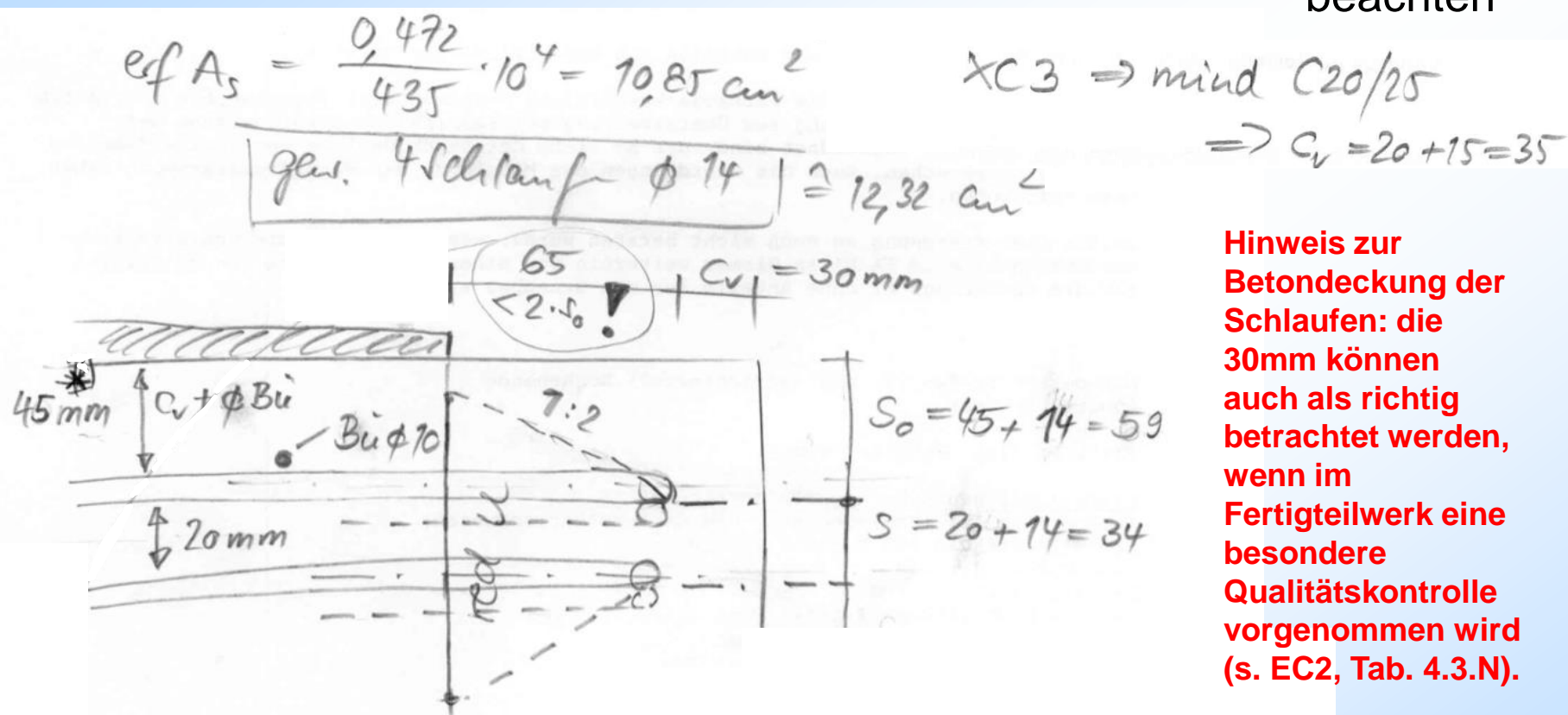
$$\sum F_{nor} = 0 \implies F_{sd} = 472 \text{ km}$$

$$erfa_2 = \frac{0.372 \text{ HN}}{0.40 \text{ m} \cdot (1.1.17.0 \text{ MN/m}^2)} = 0.05 \le 0.06 \text{ m}$$

6. Bewehrungswahl und Kontrolle u/2, ggf. red u an gedachter Lastplatte beachten



6. Bewehrungswahl und Kontrolle u/2, ggf. red u an gedachter Lastplatte beachten



Hinweis zur Betondeckung der Schlaufen: die 30mm können auch als richtig betrachtet werden. wenn im Fertigteilwerk eine besondere Qualitätskontrolle vorgenommen wird (s. EC2, Tab. 4.3.N).

Spannungsnachweis an fiktiver Lastplatte:

$$G_{c} = \frac{0.472 \text{ MN}}{0.40 \text{ m} \cdot 0.099 \text{ m}} = 11.9 \le 12.75 \text{ MN/2}$$

$$Pred u = 34 + 2 \cdot \frac{65}{2} = 99 \text{ mm}$$
Prof. Dr.-lng. Andreas Fischer

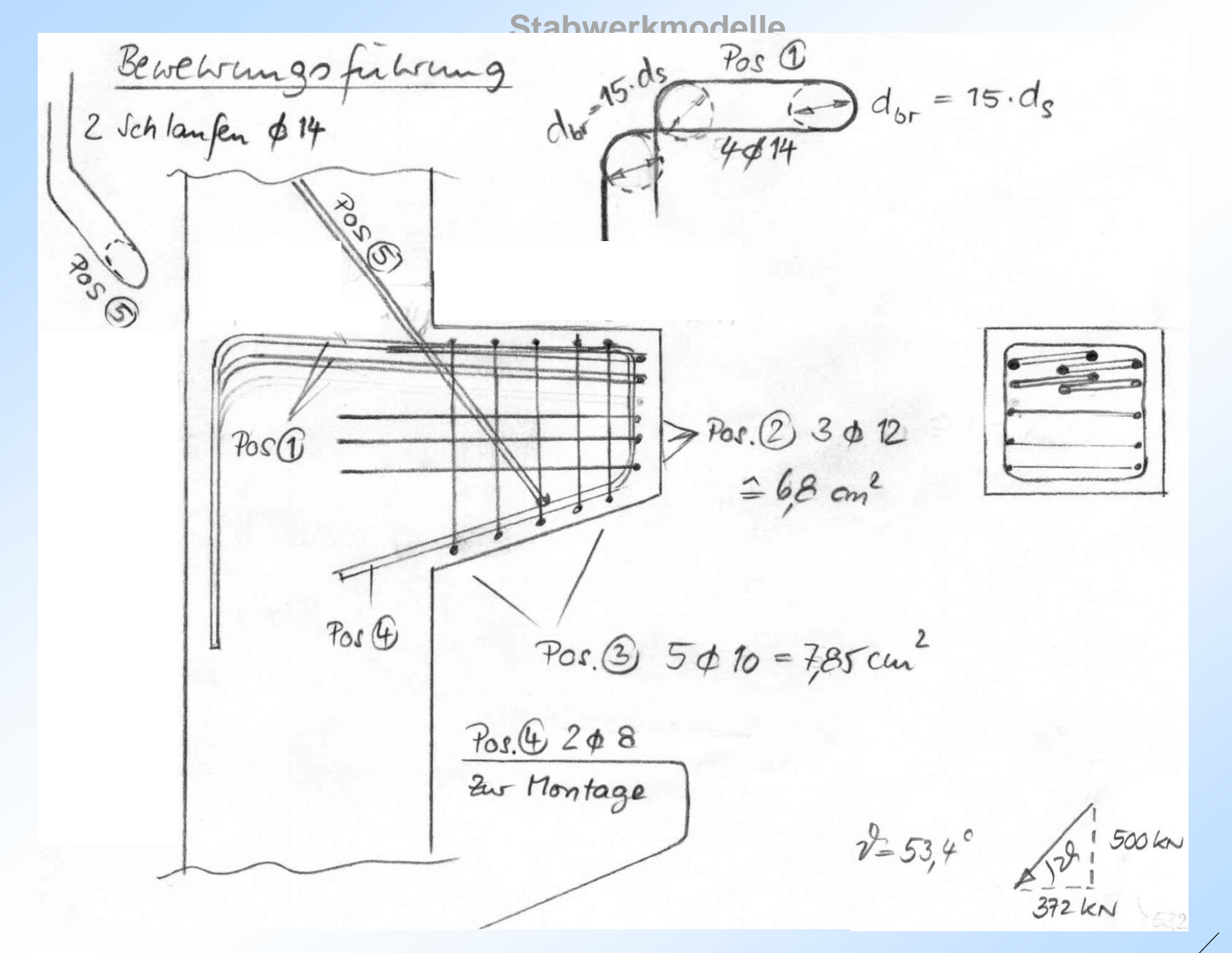
7. Nachweis der Verankerungslänge unter der Lastplatte

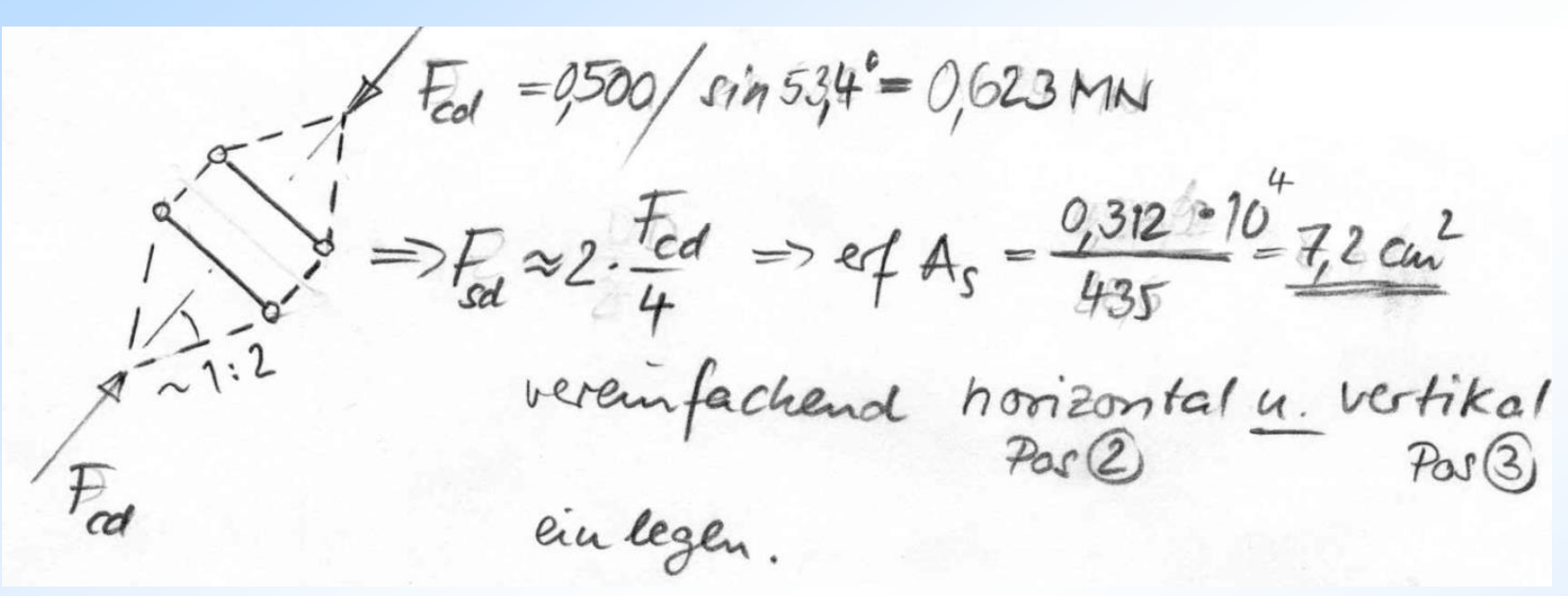
gen. Verantering und liep de Schlanf de \$ 15.d, => 0,5 erf lod, dir = \frac{2}{3} an \cdot \cdot \frac{\english As}{\text{vorte As}} \frac{\text{majsijer V.}}{79}

gunshijus Querdr. \Rightarrow 0,3 $=\frac{2}{3}\cdot 0.5\cdot \frac{10.05}{12.32}\cdot 71\approx 21$ > dy +ds = 15.14 + 1,4 = 17,9 cm Vorle lodir = 9+ 18,5-3,0 = 24,5 cm > 21 am

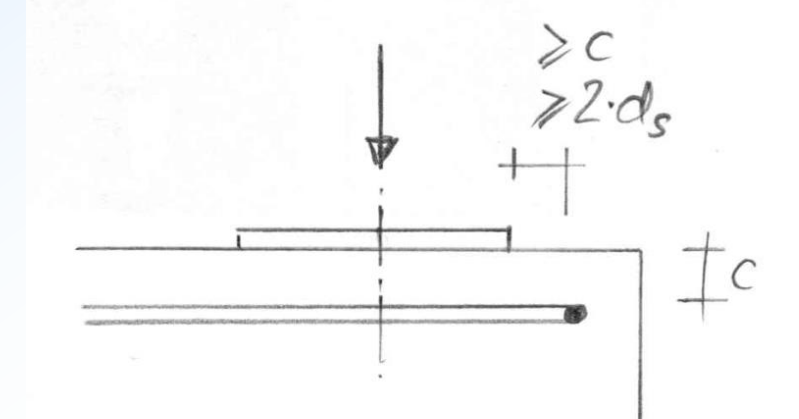
8. Nachweis am Umlenkknoten und der Übergreifungslänge mit dem Zuggurt, bzw. beim Druckgurt Nw der Verankerungslänge ab der Stützenvorderkante

hier mangels Stützendaten nicht geführt





weitere konstruktive Forderung



$$c = 4,5 \text{ cm}$$

 $2 \cdot d_s = 2 \cdot 1,4 = 2,8 \text{ cm}$
 $vorle: 18,5 - 9,0 - 3,0 - 1,4 = 5,1 \text{ cm}$

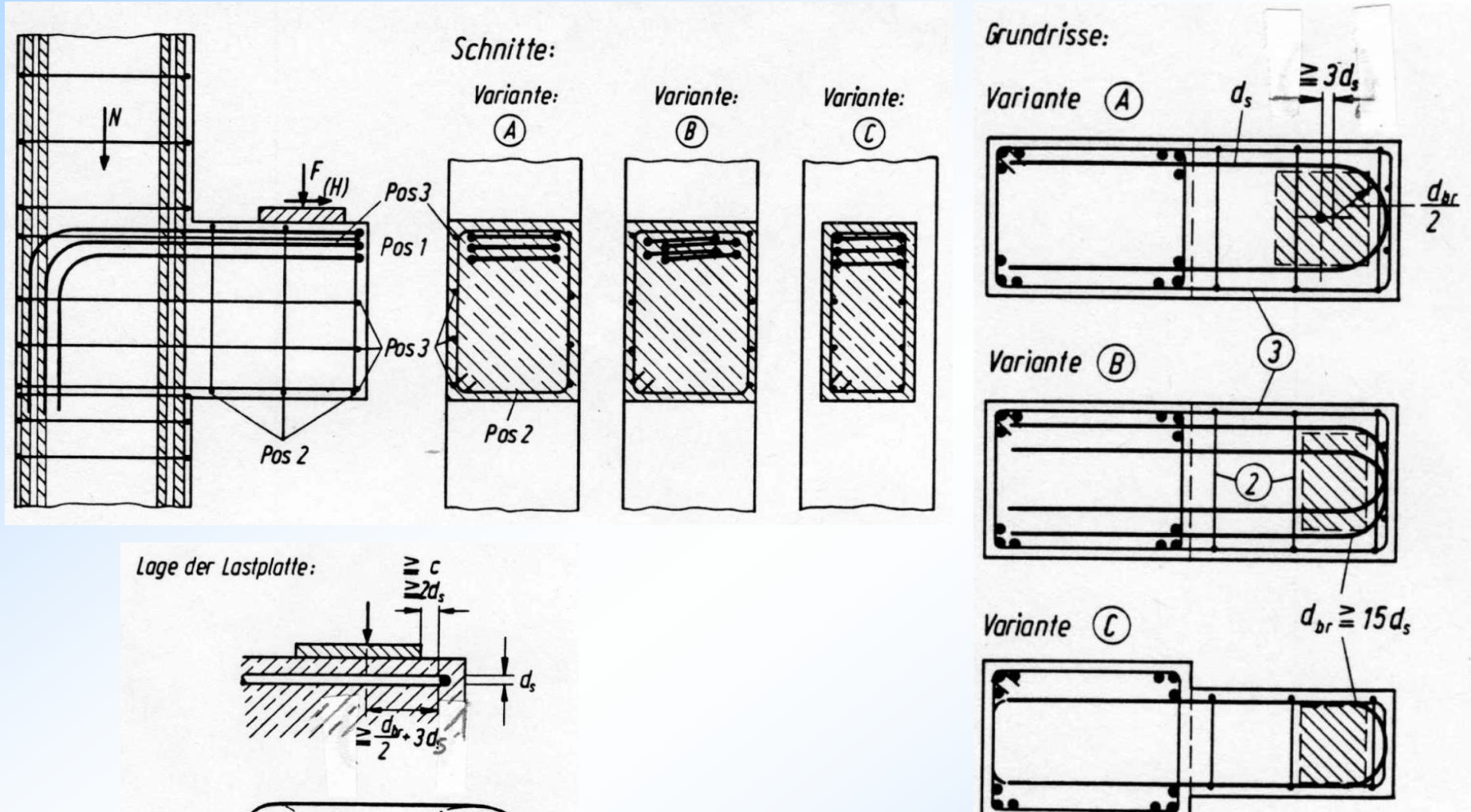


Bild 4.5-7. Zweckmäßige Bewehrungen in Konsolen (Modell Bild 4.5-1a)

gutnommen aus:

Schlaich/Schafer: konstruieren im Stahl 5e ton 5am
in 3k 98/II

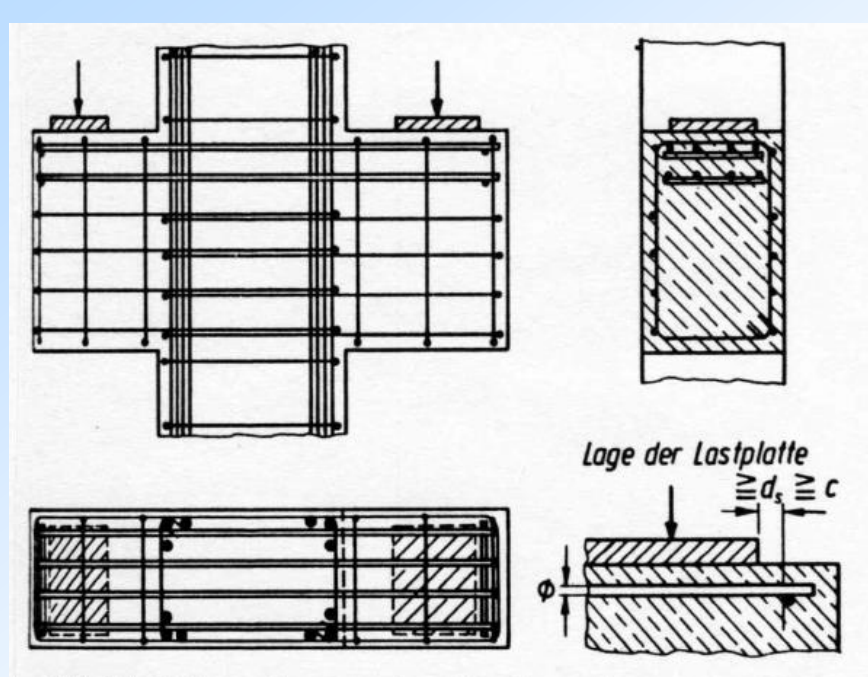


Bild 4.5-8. Verankerung der Gurtbewehrung von Konsolen mit angeschweißtem Querstab

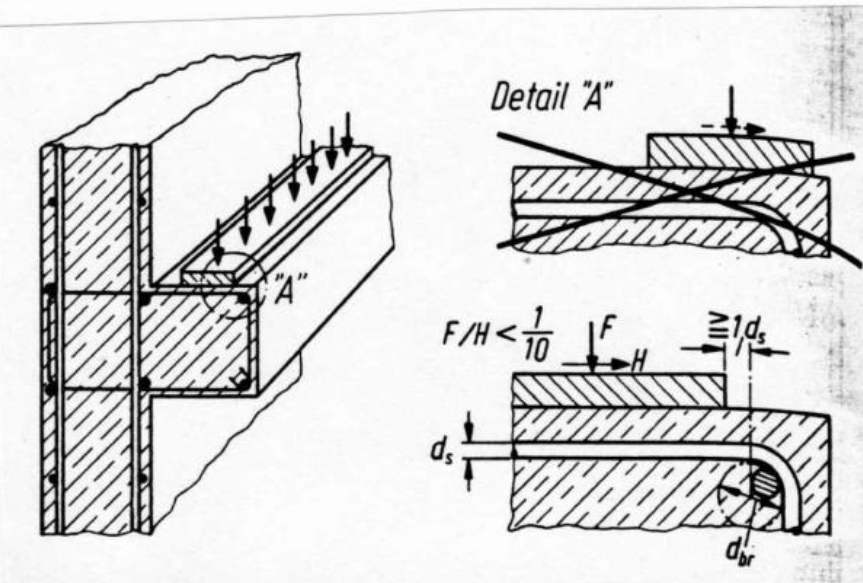
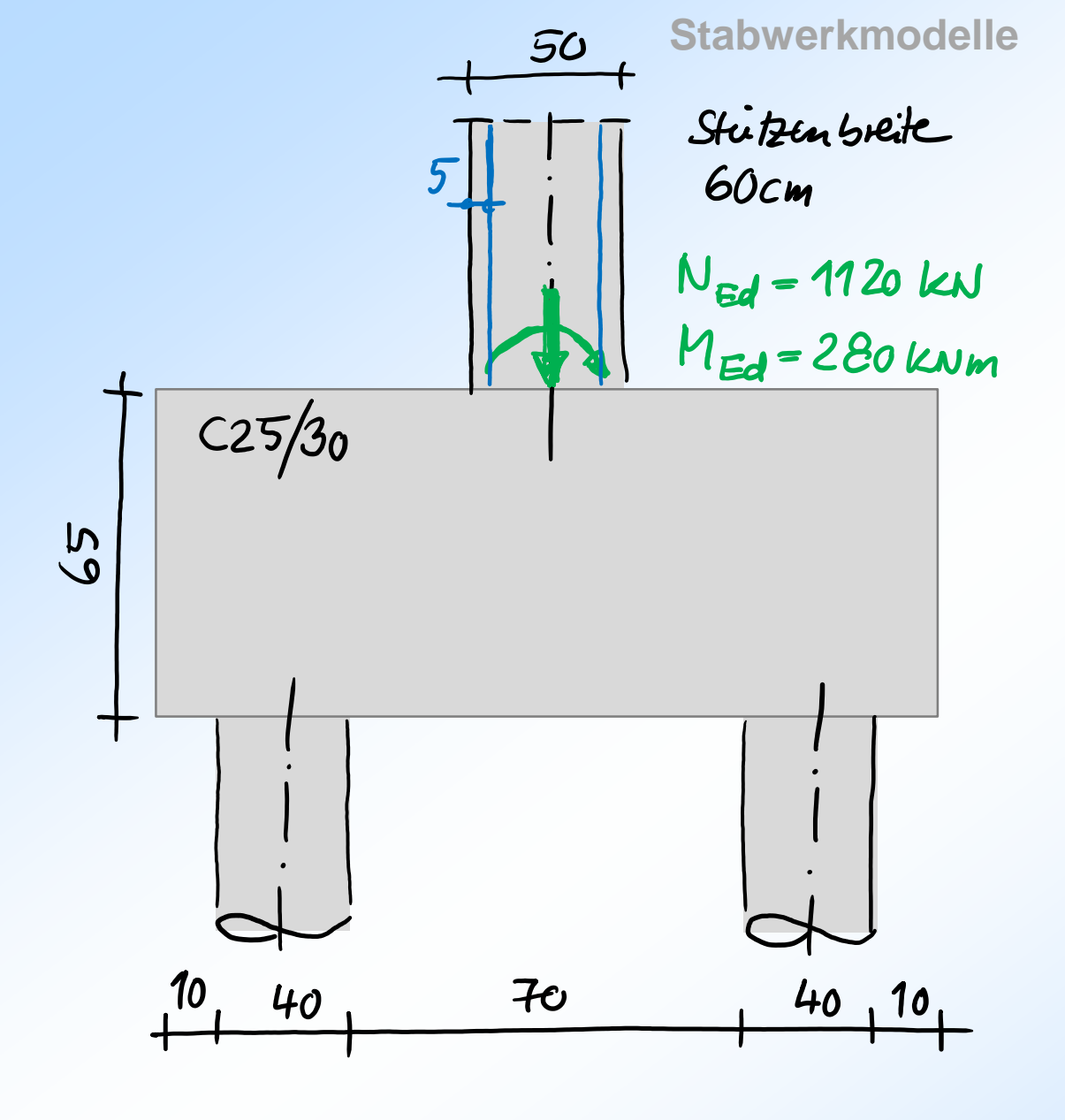


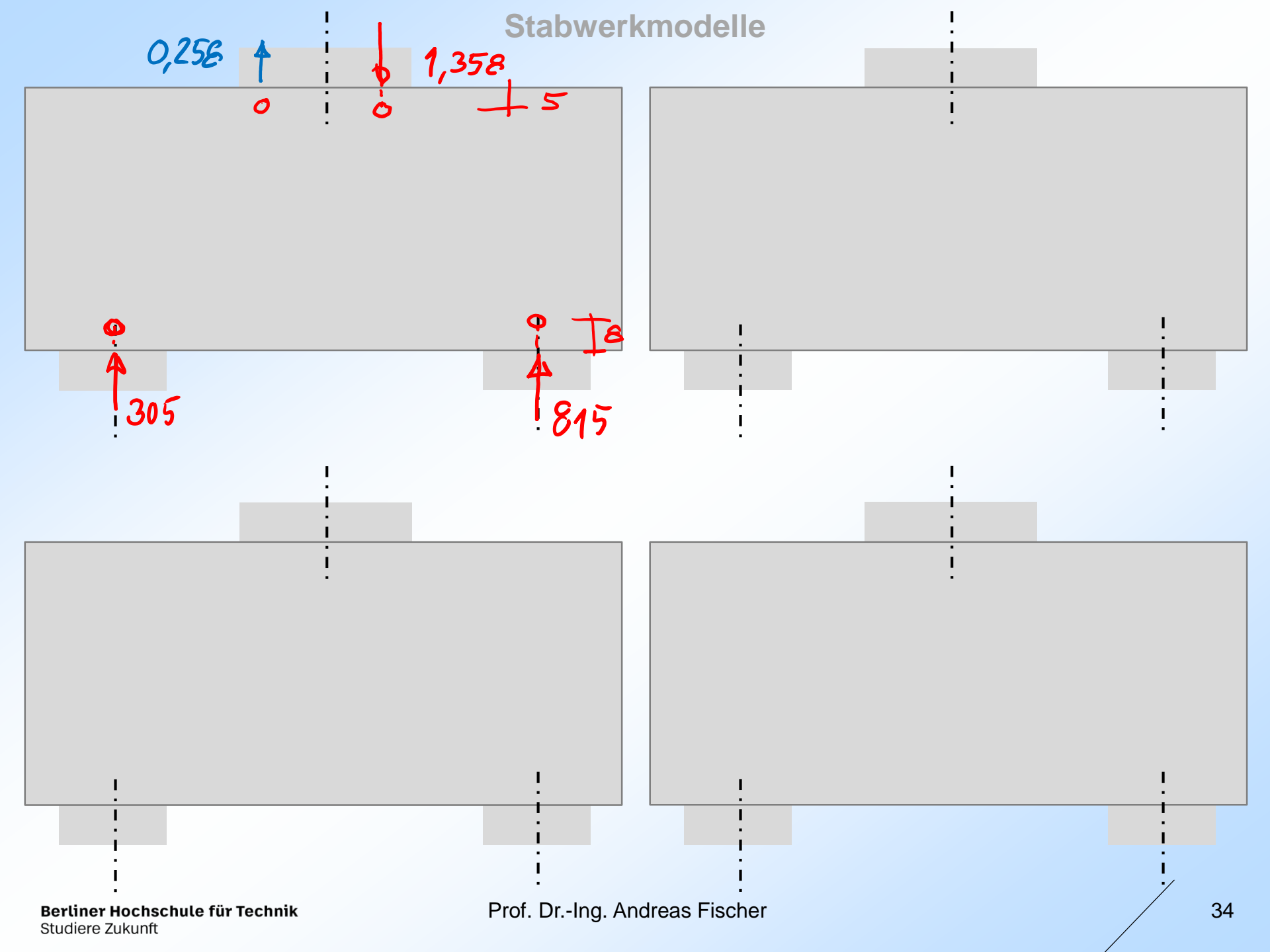
Bild 4.5-6. Regel für nach unten abgebogene Gurtstäbe in Konsolen nach [4.19]

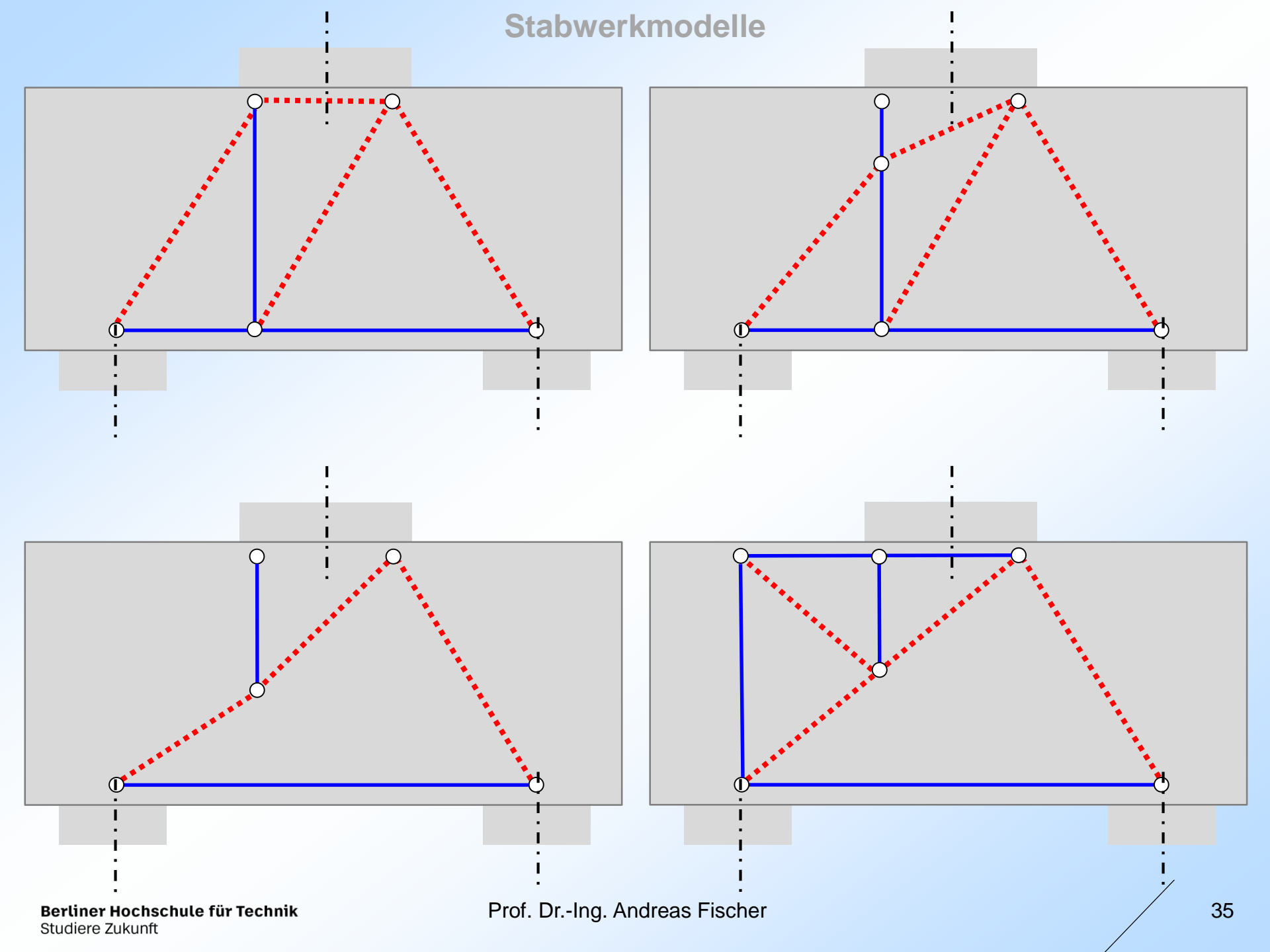
sutnommen aus: Schlaich/Schäfer: konstruieren im Stahlseton som in Bk 98/II



Was ist hier falsch?







Die Dehunge in den Druckstaben sind

Bewertung der Stabwerke mit Hilfe der Formänderungsarbeit: Vernachlässig-

$$W_{i} = \frac{1}{2} \int_{0}^{l} \varepsilon \cdot N \cdot dx = \frac{1}{2} \cdot \sum \varepsilon_{i} \cdot F_{i} \cdot l_{i} = \frac{1}{2} \cdot \varepsilon_{yd} \cdot \sum F_{i} \cdot l_{i} \sim \sum F_{i} \cdot l_{i}$$

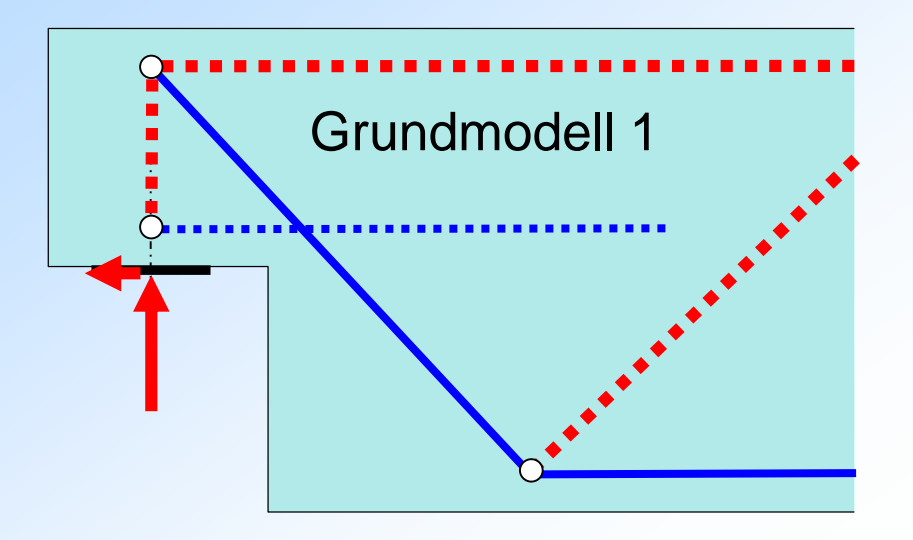
System 1

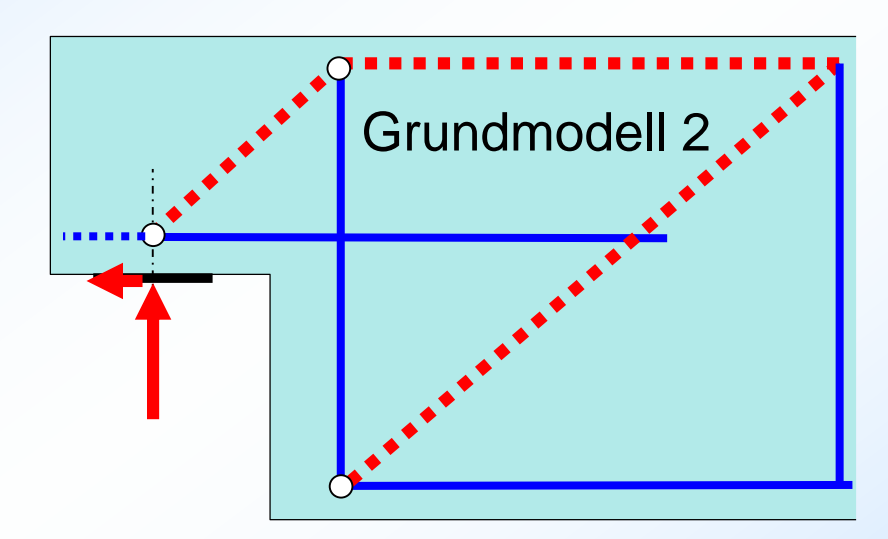
$$W_{i} = \frac{1}{2} \cdot \mathcal{E}_{yd} \cdot \frac{1}{602 \cdot 75 + 305 \cdot \frac{35}{h} \cdot 35 + 258 \cdot (52 - h) + (602 - 305 \cdot \frac{35}{h}) \cdot \frac{52}{366} \cdot h}{h = 52 \text{ cm} \approx 81600} \longrightarrow \hat{S}_{ystem} \cdot 1$$
 $25,4 \approx 73300 \quad \text{(Min)}$
 $17,7 \approx 75100 \longrightarrow \hat{S}_{ystem} \cdot 3$

$$w_i = \frac{1}{2} \cdot \varepsilon_{yd}$$

 $\sqrt{\frac{\varepsilon_{yd}}{2}} \cdot 92400$

3 Ausgeklinkte Auflager



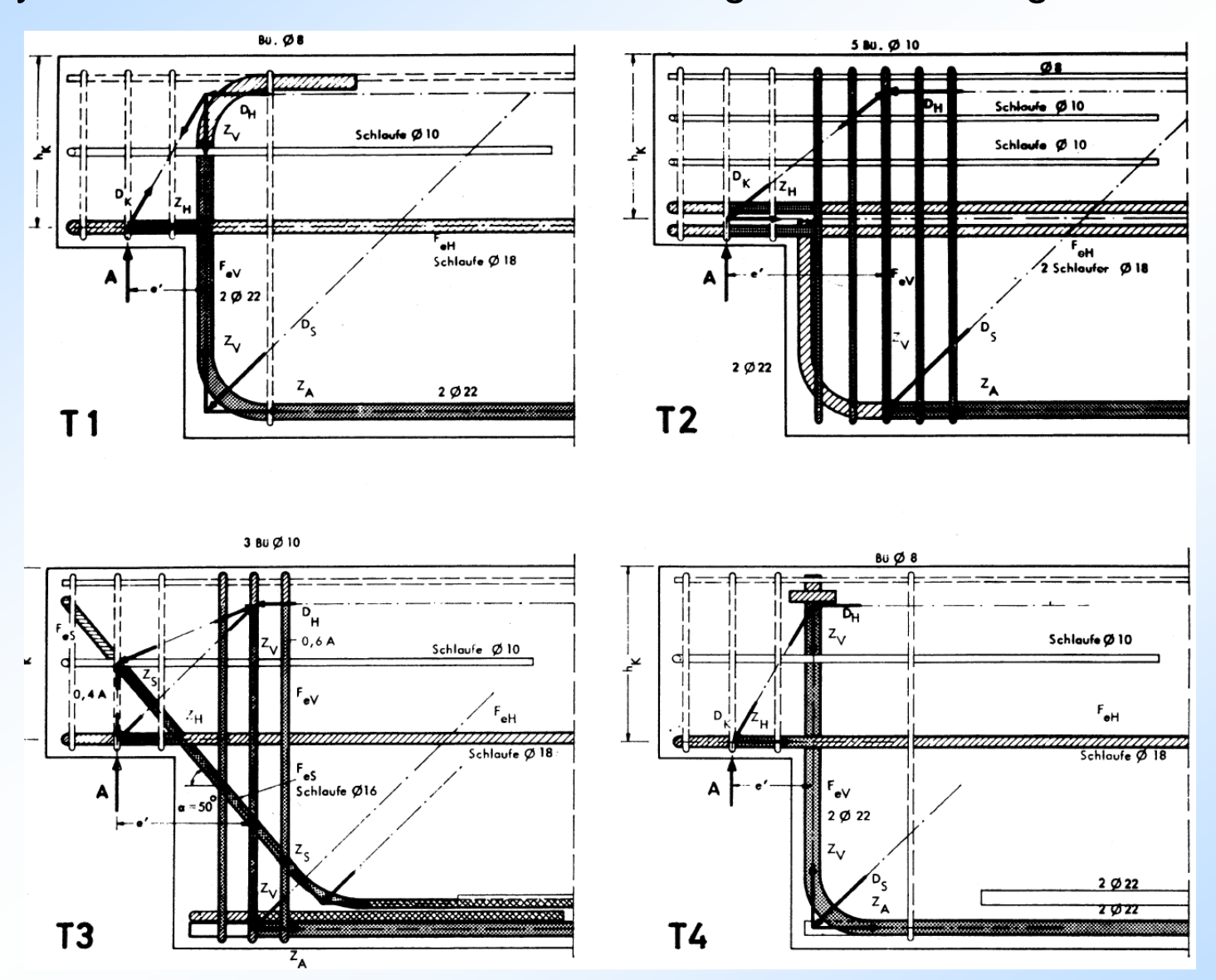


- aufgebogene Feldbewehrung ungeeignet für Verankerung über Verbund
- große Rissbreite bei dicken Stäben
- günstiger unterer Umlenkknoten

- große Rissbreite in einspringender Ecke
- kurze Verankerung der großen Kraft in Konsolbew. am Auflagerknoten
- stark druckbeanspruchter oberer Knoten
- ungünstiger unterer Umlenkknoten
- einfache Bewehrungsführung

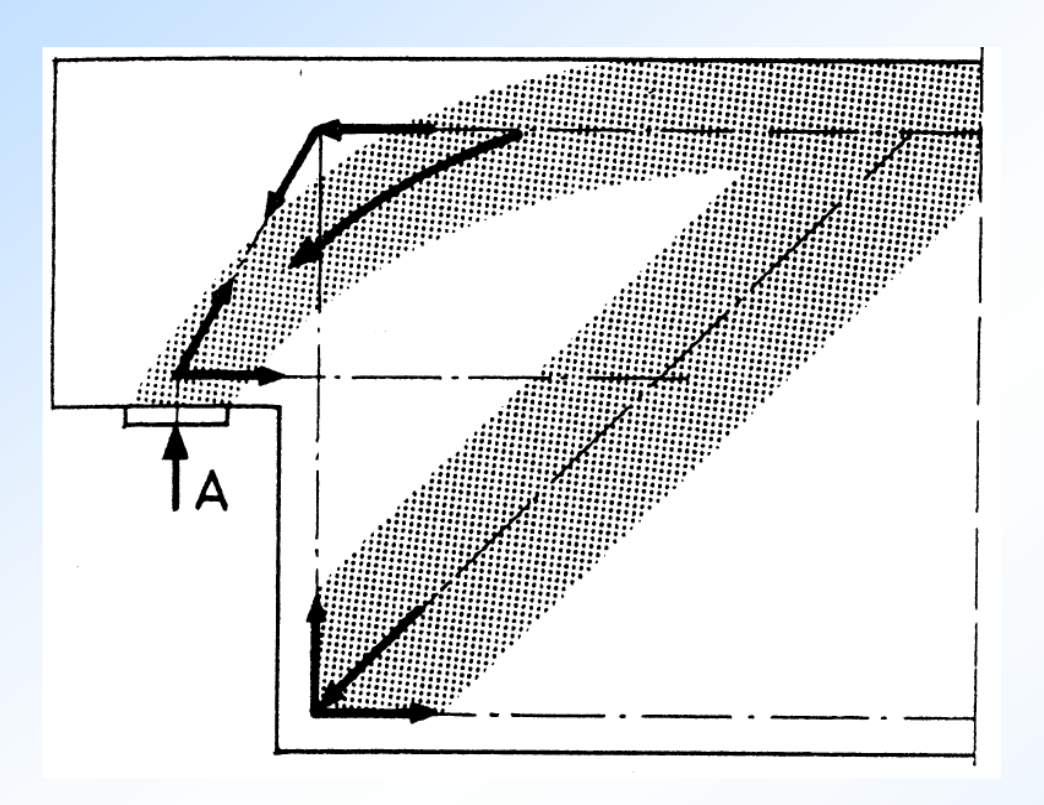
Offene Frage: wo verbleibt die Zugkraft des Konsolbandes im Träger?

Rostasy und Steinle haben Versuche zu abgesetzten Auflagern durchgeführt:



Betonwerk Fertigteiltechnik 1975

.... und das Tragverhalten mit Stabwerkmodellen beschrieben:



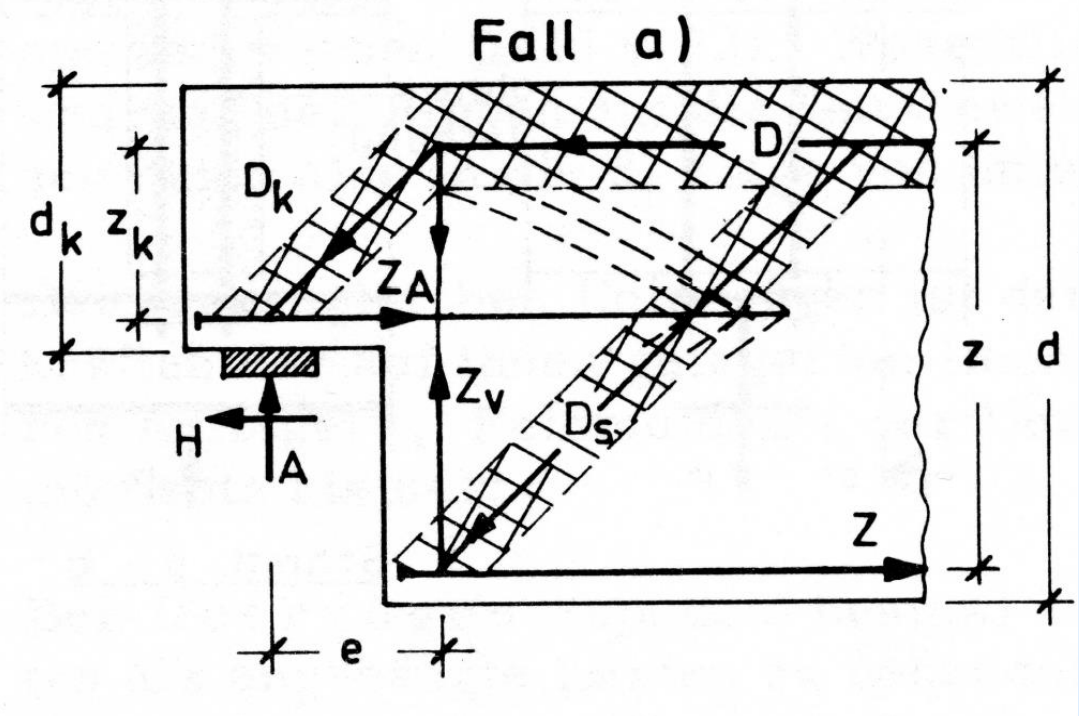
Die gemessenen Kräfte in der vertikalen Aufhängebewehrung waren stets kleiner als die Auflagerkräfte, Rostasy/Steinle erklären dies mit einer zusätzlichen direkten Abstützung der Druckstrebe.

Die Verallgemeinerung, dass die Vertikalkraft stets kleiner als die Auflagerkraft ist, scheint aufgrund der wenigen Versuche (6) unzulässig, zumal alle Träger nur eine sehr kurze Nase hatten, wodurch der direkte Lastabtrag begünstigt wird.

Unbefriedigend: die Verankerungskräfte aus dem Konsolband werden nicht verfolgt.

BFT 1975

Aufbauend auf den Stuttgarter Versuchen von Rostasy und Steinle formulieren Leonhardt und Mönnig 1977 in der 3. Auflage der "Vorlesung über Massivbau", Dritter Teil:



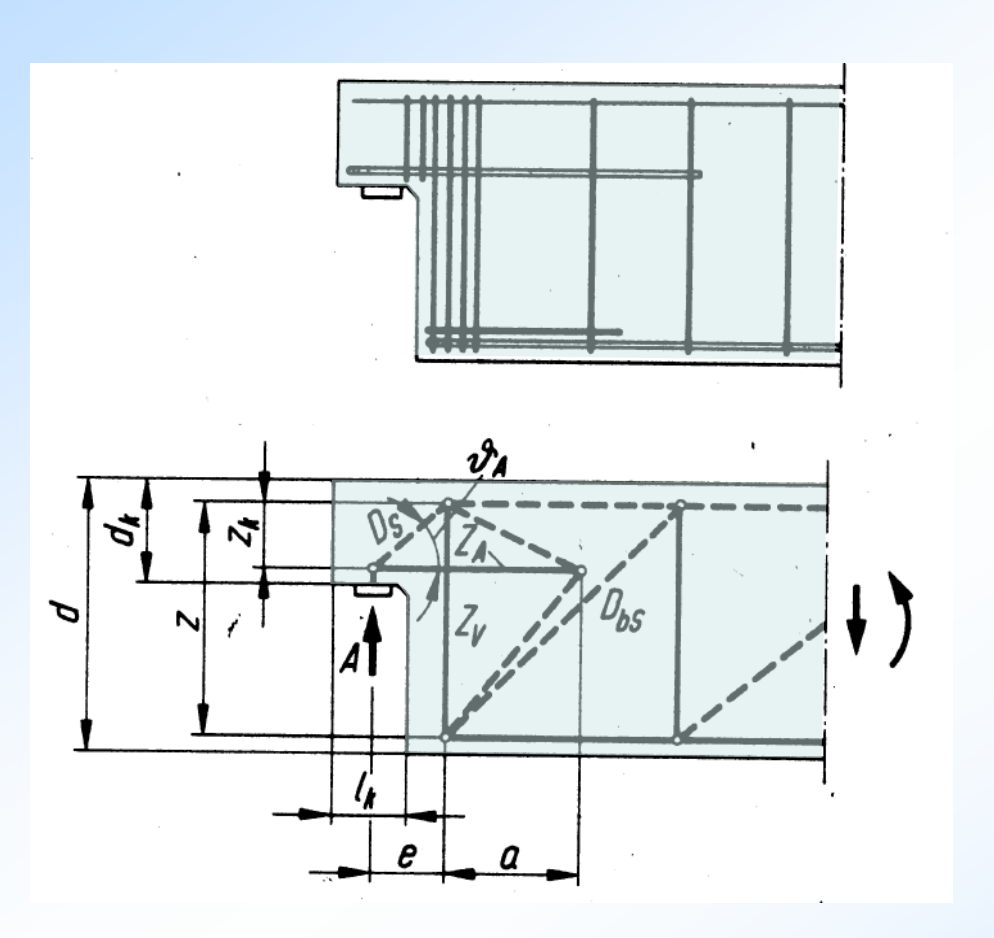
Unbefriedigend:
Die vertikale Kraft Z_v
braucht allerdings nicht
größer als die
Auflagerkraft angesetzt
werden.

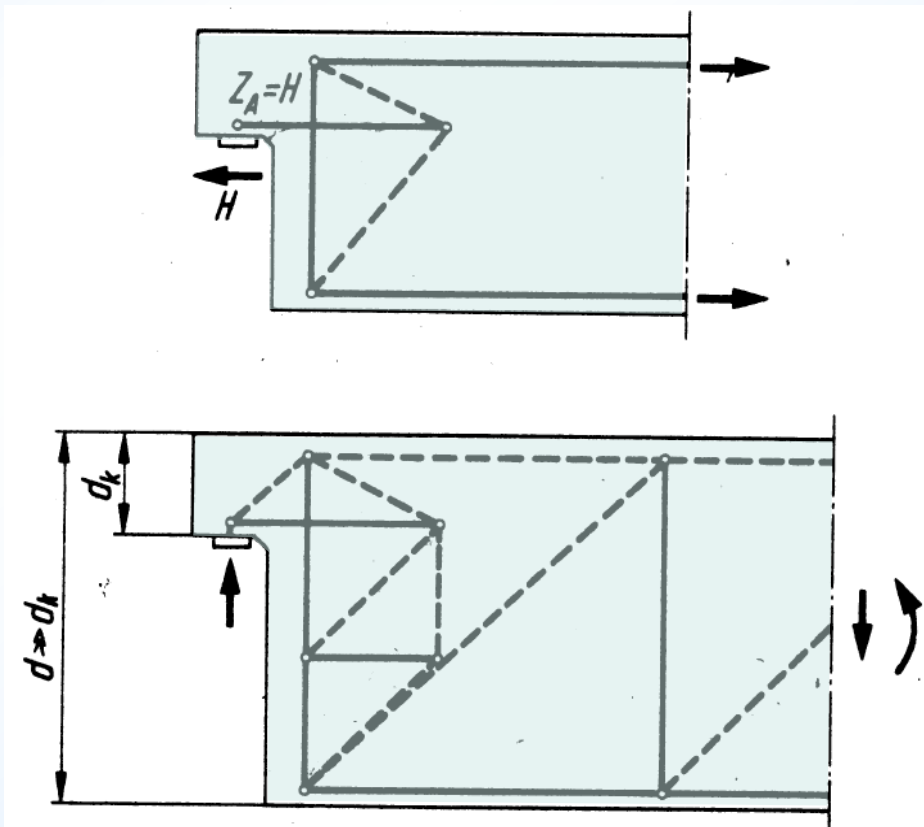
$$Z_A = \frac{A \cdot e}{Z_k} + H$$
 $Z_v = A \text{ (einf. Fachwerk)}$

$$Z_{v} = A \cdot 0.35 \cdot \frac{d}{d_{k}} \le A$$

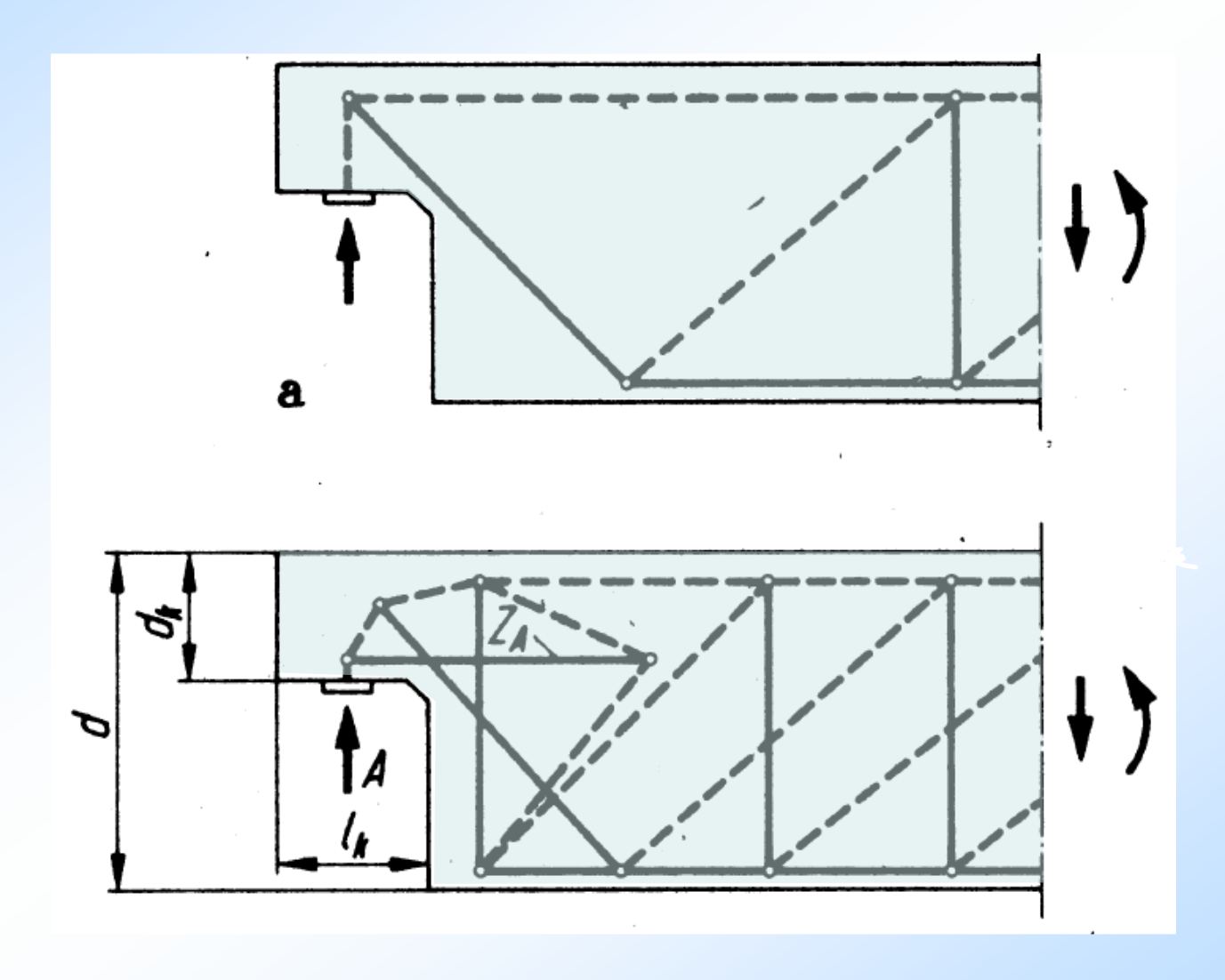
(Hier findet sich ein grafischer Hinweis zur rechten Verankerung der Konsolbew., allerdings ist der Kraftfluss nicht zu Ende gedacht)

Schlaich verwendet in seinem ersten Betonkalender-Aufsatz "Konstruieren im Stahlbetonbau" von 1984 zur Bemessung mit Stabwerkmodellen folgendes Modell bei ausschließlich vertikaler Bewehrung:



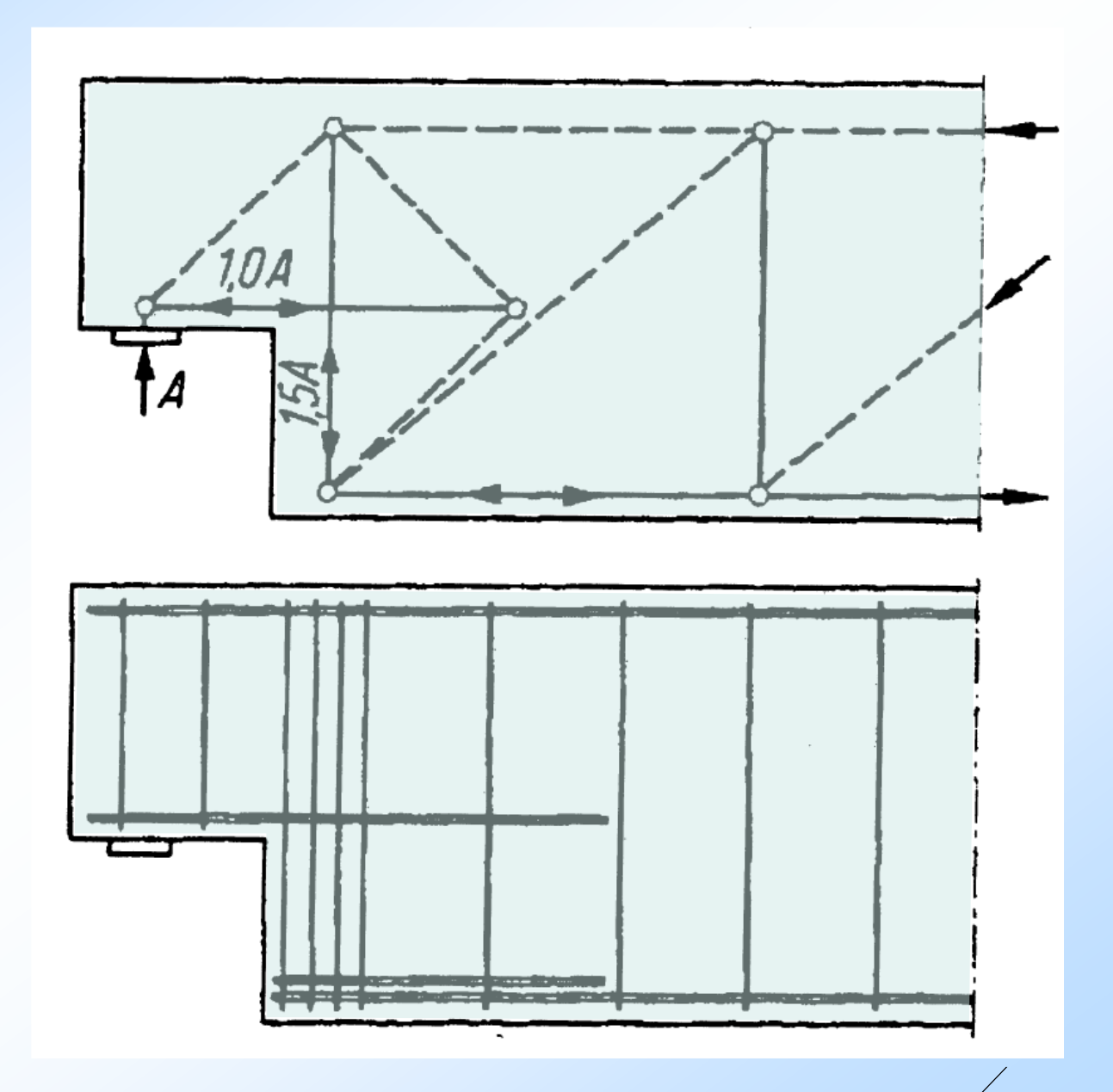


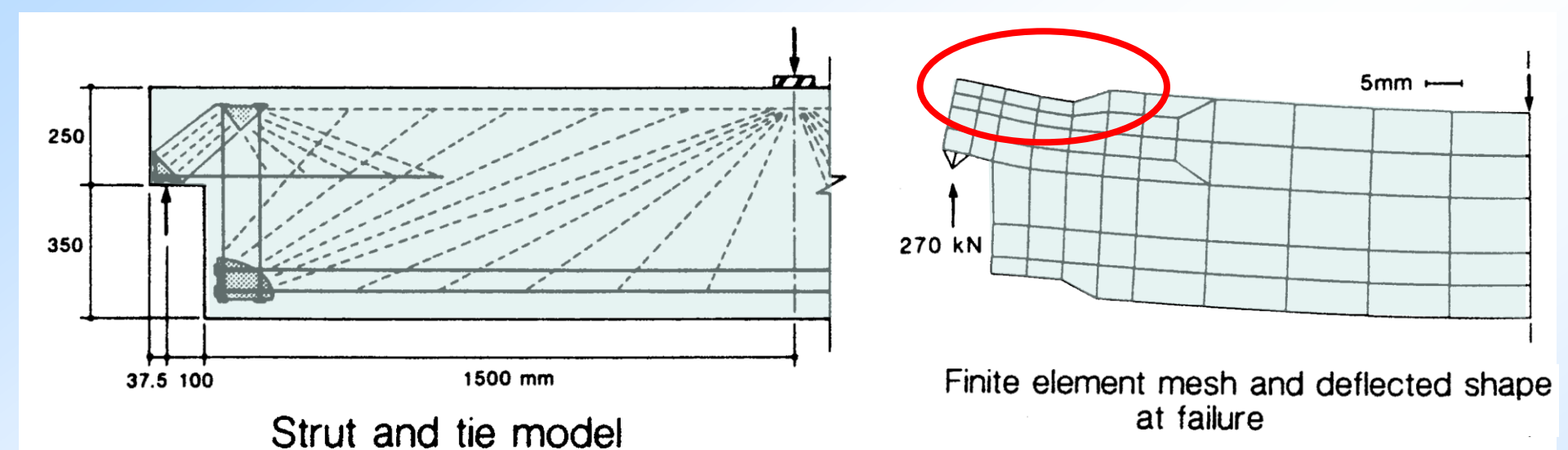
... und für ausschließlich schräge Bewehrung sowie für gemischte Bewehrung:

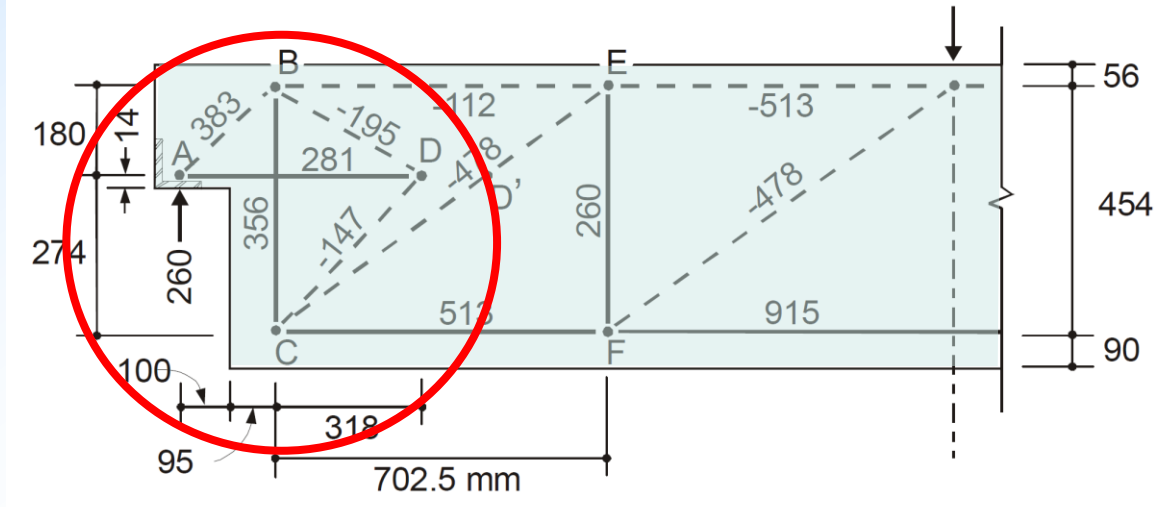


Aufsatz Schlaich: "Zum einheitlichen Bemessen von Stahlbetontragwerken", Beton und Stahlbetonbau, 4/1984

vgl. auch Schlaich: "Konstruieren im Stahlbetonbau" Betonkalender-Aufsatz von 1984

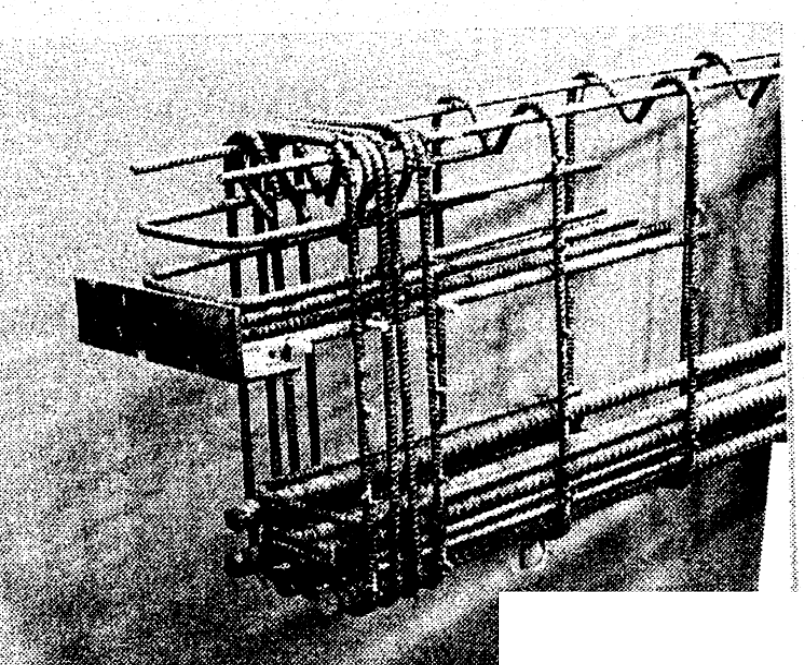




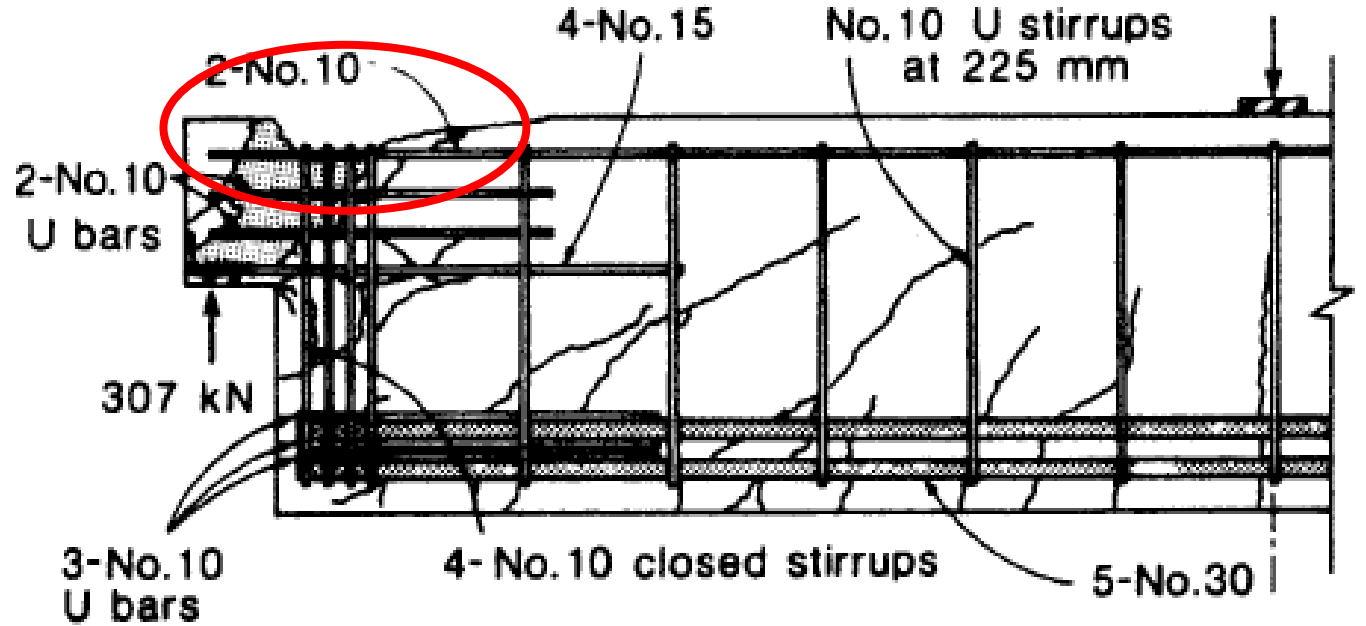


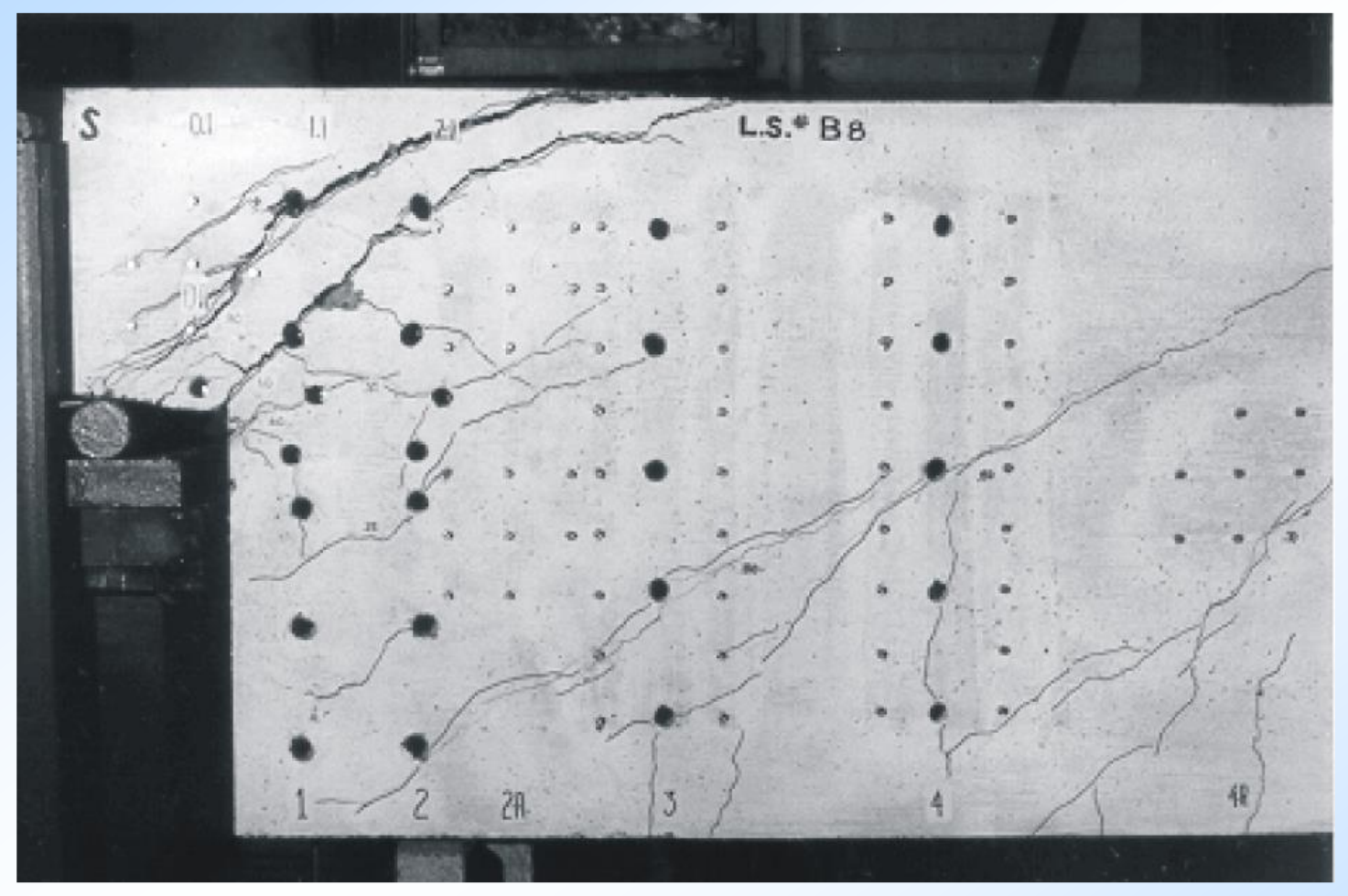
Truss idealization and member forces in kN

W. Cook und D. Mitchell (ACI Structural Journal, 1988, pp. 206-216) verwenden das gleiche Modell und finden gute Übereinstimmung mit den von ihnen durchgeführten Versuchen.



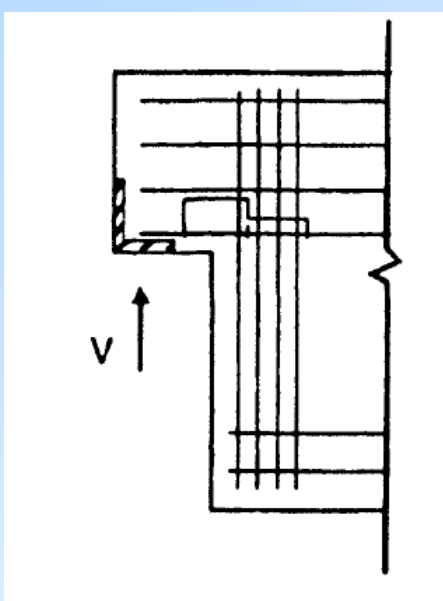
(c) Reinforcement details and failure conditions

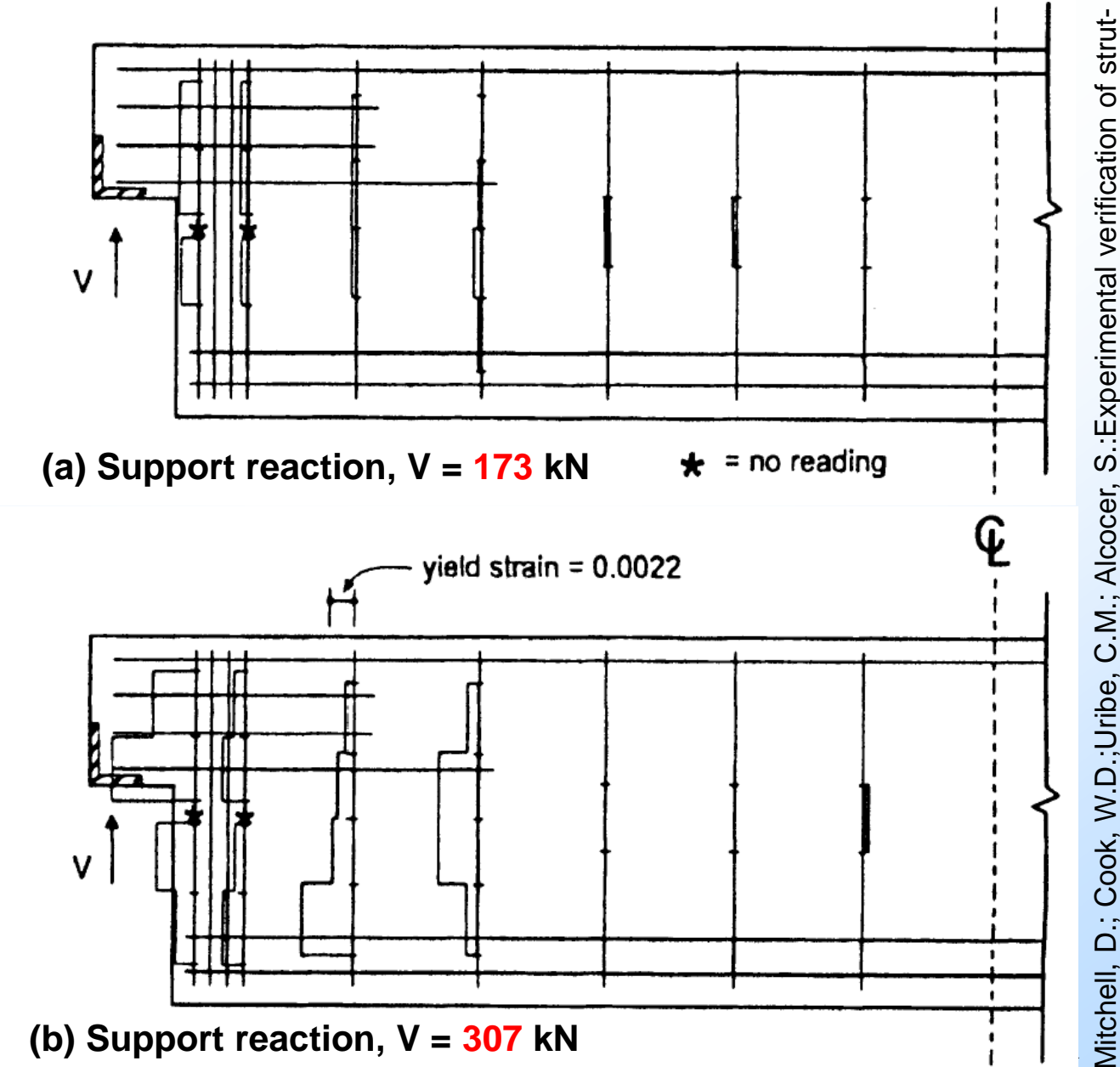


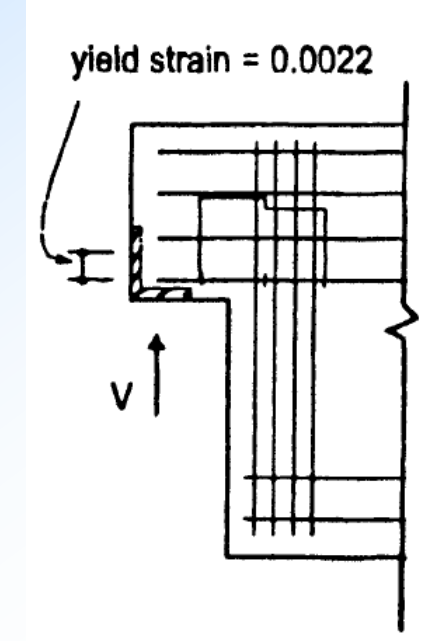


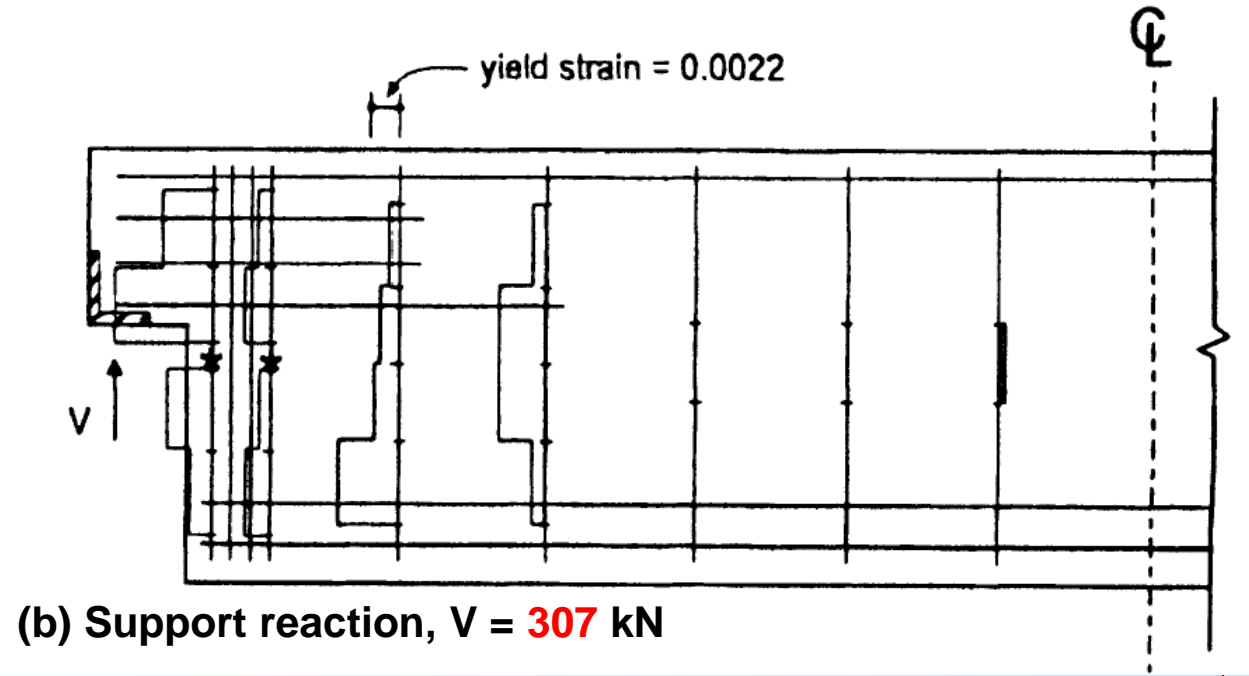
http://onlinepubs.trb.org/onlinepubs/nchrp/docs/NCHRP20-07(306)_FR.pdf

Mitchell, D.; Cook, W.D.; Uribe, C.M.; Alcocer, S.: Experimental verification of strut-and-tie-models In: Reineck, K.-H.(Ed.): Examples for the Design of Structural Concrete with Strut-and-Tie- Models, ACI Special Publication-208 (2002), pp. 41-62









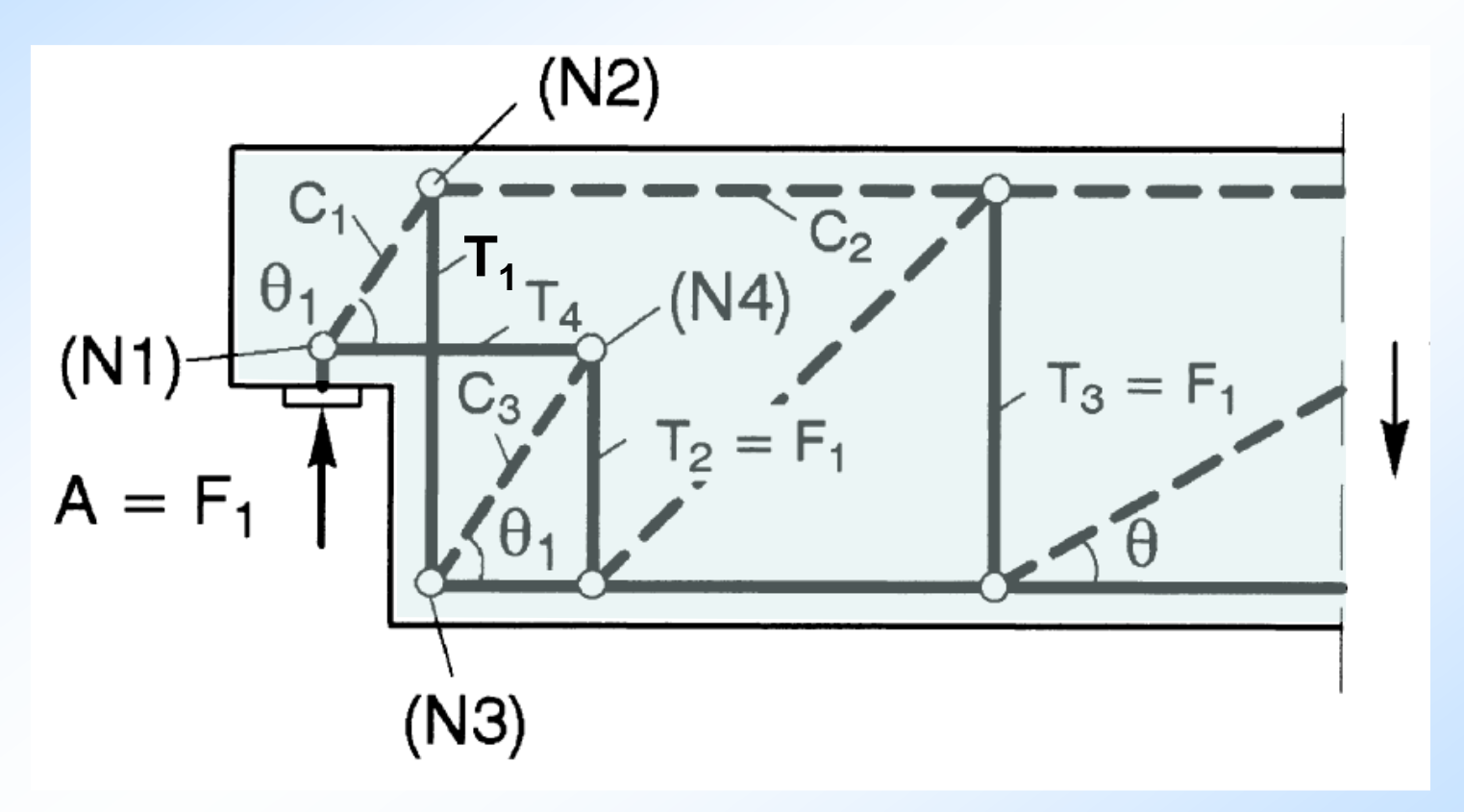
Berliner Hochschule für Technik Studiere Zukunft

Prof. Dr.-Ing. Andreas Fischer

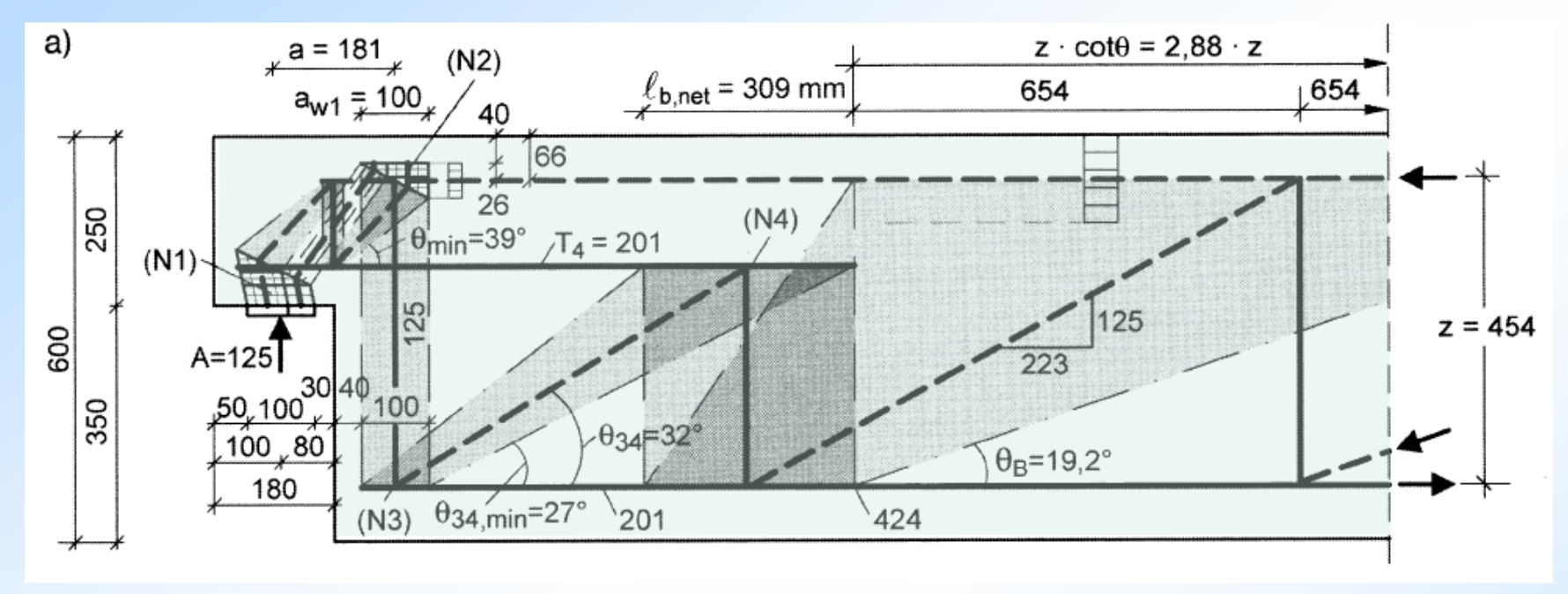
Concrete with Strut-and-Tie- Models, ACI Special Publication-208 (2002), pp. 41-62

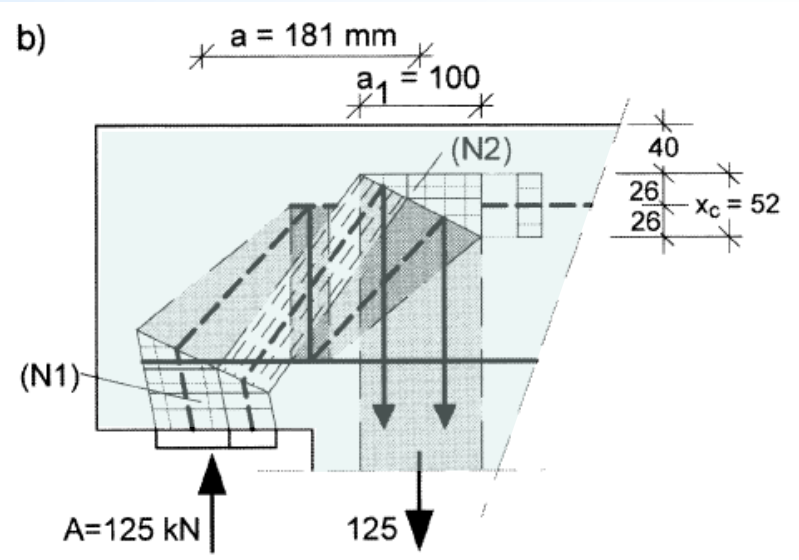
and-tie-models In: Reineck, K.-H.(Ed.): Examples for the Design of Structural

Schlaich schlägt seit der Neuauflage seines Betonkalender-Aufsatzes "Konstruieren im Stahlbetonbau" von 1989, letztmalig erschienen 2001 ein geändertes Modell vor:



Bei diesem Modell ist die Kraft T₁ identisch mit der Auflagerkraft A

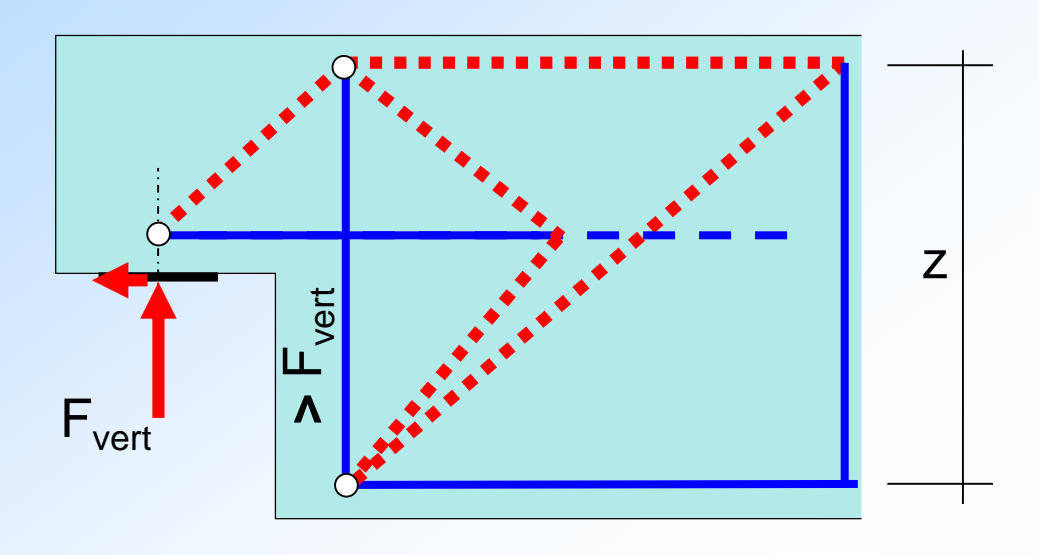




Im Betonkalender 2005 befasst sich Reineck recht ausführlich mit der "Modellierung der D-Bereiche von Fertigteilen". Das Stuttgarter Modell von Schlaich erfährt hier eine strengere Behandlung.

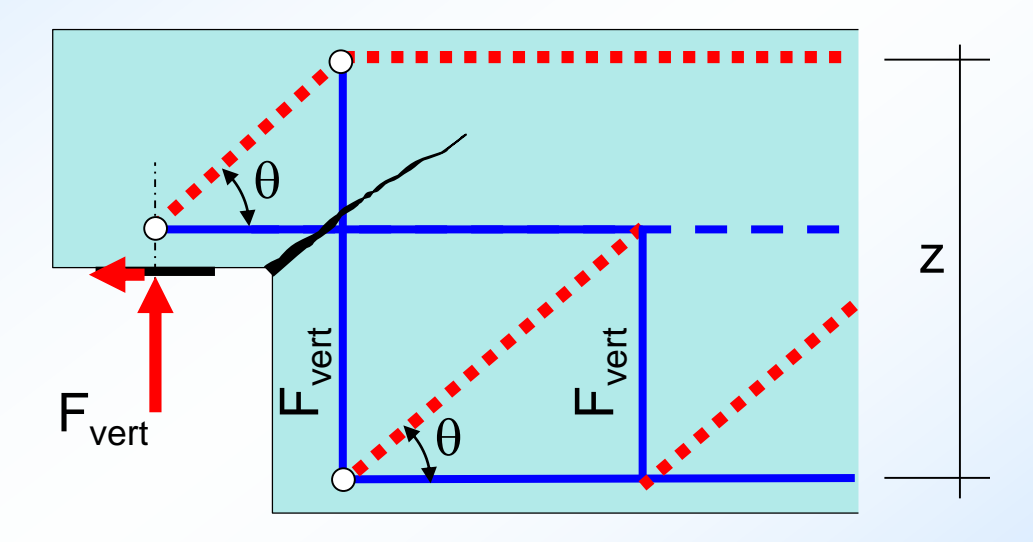
Der Beton oberhalb der "Aufhängebügel" bleibt konsequenterweise unberücksichtigt!

Überlegungen zur Verankerung der Horizontalbewehrung



Modell
Mitchell / Cook

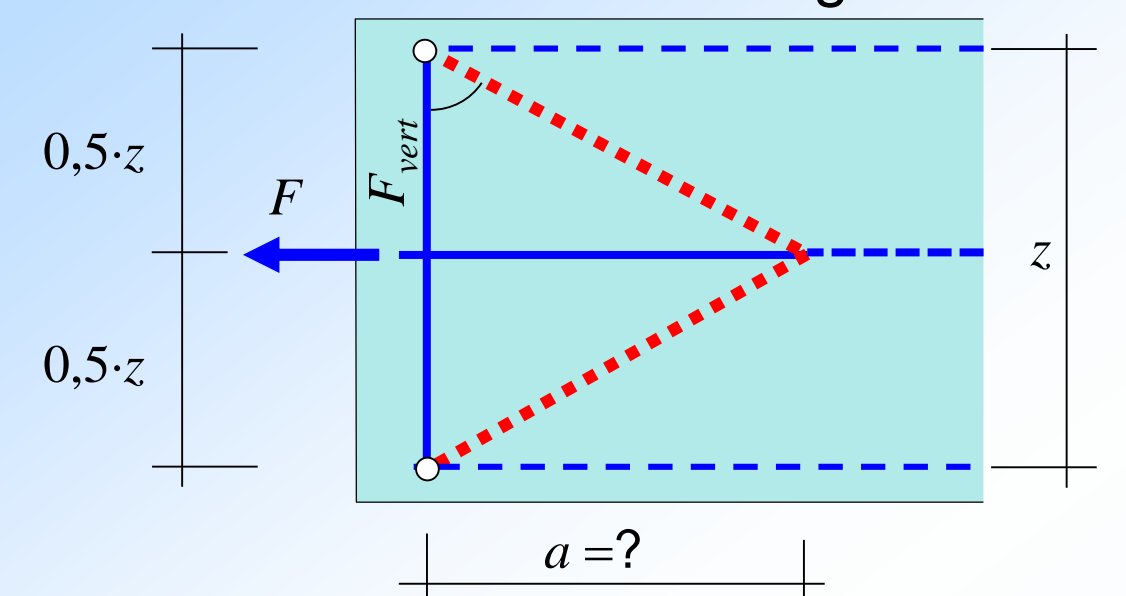
Im Gebrauchszustand sind kleinere Verformungen und Rissbreiten zu erwarten



Modell Schlaich / Schäfer / Reineck

Größere Risstiefe möglich, dadurch auch größere Rissbreite und Rotation im oberen Knoten.

Minimum der Formänderungsarbeit?



Annahmen:

Formänderungsarbeit in den Druckstäben zunächst vernachlässigt.

Die Zugstäbe erreichen die Fließdehnung gleichzeitig

Stabkräfte sind konstant über die Stablänge

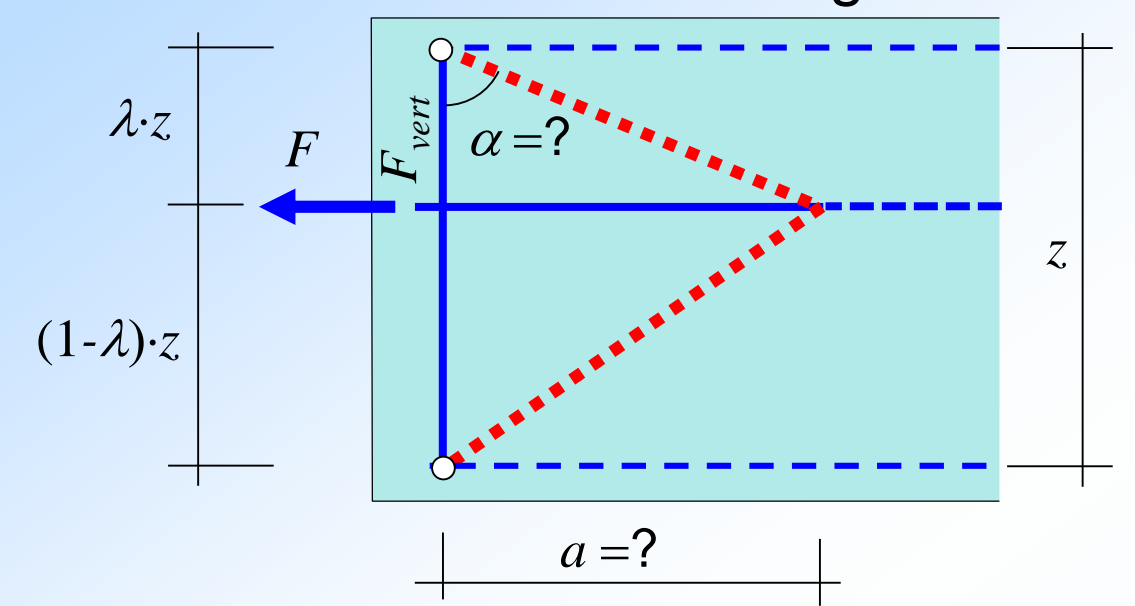
Formänderungsarbeit:

$$W_{i} = \frac{1}{2} \int_{0}^{l} \varepsilon \cdot N \cdot dx = \frac{1}{2} \cdot \varepsilon_{Fl} \cdot F \cdot \underbrace{[0, 5 \cdot z \cdot \tan \alpha]^{H} + \frac{1}{2} \cdot \varepsilon_{Fl}}_{= \frac{1}{2}} \cdot \varepsilon_{Fl} \cdot F \cdot z \cdot \underbrace{[0, 5 \cdot z \cdot \tan \alpha]^{H} + \frac{1}{2} \cdot \varepsilon_{Fl}}_{= \frac{1}{2}} \cdot \varepsilon_{Fl} \cdot F \cdot z \cdot \underbrace{[0, 5 \cdot z \cdot \tan \alpha]^{H} + \frac{1}{2} \cdot \varepsilon_{Fl}}_{= \frac{1}{2}} \cdot \varepsilon_{Fl} \cdot F \cdot z \cdot \underbrace{[0, 5 \cdot z \cdot \tan \alpha]^{H} + \frac{1}{2} \cdot \varepsilon_{Fl}}_{= \frac{1}{2}} \cdot \varepsilon_{Fl} \cdot F \cdot z \cdot \underbrace{[0, 5 \cdot z \cdot \tan \alpha]^{H} + \frac{1}{2} \cdot \varepsilon_{Fl}}_{= \frac{1}{2}} \cdot \varepsilon_{Fl} \cdot F \cdot z \cdot \underbrace{[0, 5 \cdot z \cdot \tan \alpha]^{H} + \frac{1}{2} \cdot \varepsilon_{Fl}}_{= \frac{1}{2}} \cdot \varepsilon_{Fl} \cdot \underbrace{[0, 5 \cdot z \cdot \tan \alpha]^{H} + \frac{1}{2} \cdot \varepsilon_{Fl}}_{= \frac{1}{2}} \cdot \varepsilon_{Fl} \cdot \underbrace{[0, 5 \cdot z \cdot \tan \alpha]^{H} + \frac{1}{2} \cdot \varepsilon_{Fl}}_{= \frac{1}{2}} \cdot \varepsilon_{Fl} \cdot \underbrace{[0, 5 \cdot z \cdot \tan \alpha]^{H} + \frac{1}{2} \cdot \varepsilon_{Fl}}_{= \frac{1}{2}} \cdot \varepsilon_{Fl} \cdot \underbrace{[0, 5 \cdot z \cdot \tan \alpha]^{H} + \frac{1}{2} \cdot \varepsilon_{Fl}}_{= \frac{1}{2}} \cdot \varepsilon_{Fl} \cdot \underbrace{[0, 5 \cdot z \cdot \tan \alpha]^{H} + \frac{1}{2} \cdot \varepsilon_{Fl}}_{= \frac{1}{2}} \cdot \varepsilon_{Fl} \cdot \underbrace{[0, 5 \cdot z \cdot \tan \alpha]^{H} + \frac{1}{2} \cdot \varepsilon_{Fl}}_{= \frac{1}{2}} \cdot \varepsilon_{Fl} \cdot \underbrace{[0, 5 \cdot z \cdot \tan \alpha]^{H} + \frac{1}{2} \cdot \varepsilon_{Fl}}_{= \frac{1}{2}} \cdot \varepsilon_{Fl} \cdot \underbrace{[0, 5 \cdot z \cdot \tan \alpha]^{H} + \frac{1}{2} \cdot \varepsilon_{Fl}}_{= \frac{1}{2}} \cdot \varepsilon_{Fl} \cdot \underbrace{[0, 5 \cdot z \cdot \tan \alpha]^{H} + \frac{1}{2} \cdot \varepsilon_{Fl}}_{= \frac{1}{2}} \cdot \varepsilon_{Fl}}_{= \frac{1}{2}} \cdot \varepsilon_{Fl} \cdot \underbrace{[0, 5 \cdot z \cdot \tan \alpha]^{H} + \frac{1}{2} \cdot \varepsilon_{Fl}}_{= \frac{1}{2}} \cdot \varepsilon_{Fl}}_{= \frac{1}{2}} \cdot \varepsilon_{Fl} \cdot \underbrace{[0, 5 \cdot z \cdot \tan \alpha]^{H}}_{= \frac{1}{2}} \cdot \varepsilon_{Fl}}_{= \frac$$

z. B. durch Probieren ergibt sich für den Klammerausdruck ein Minimum bei $\alpha = 45^{\circ}$ $\Rightarrow a = 0.5 \cdot z$ und $F_{vert} = 0.5 \cdot F$

Hinweis: auch für die Druckstäbe ergibt sich bei α = 45° ein Min. der Form.änd.arb.!

Minimum der Formänderungsarbeit?



Annahmen:

Formänderungsarbeit in den Druckstäben zunächst vernachlässigt.

Die Zugstäbe erreichen die Fließdehnung gleichzeitig

Stabkräfte sind konstant über die Stablänge

Formänderungsarbeit:

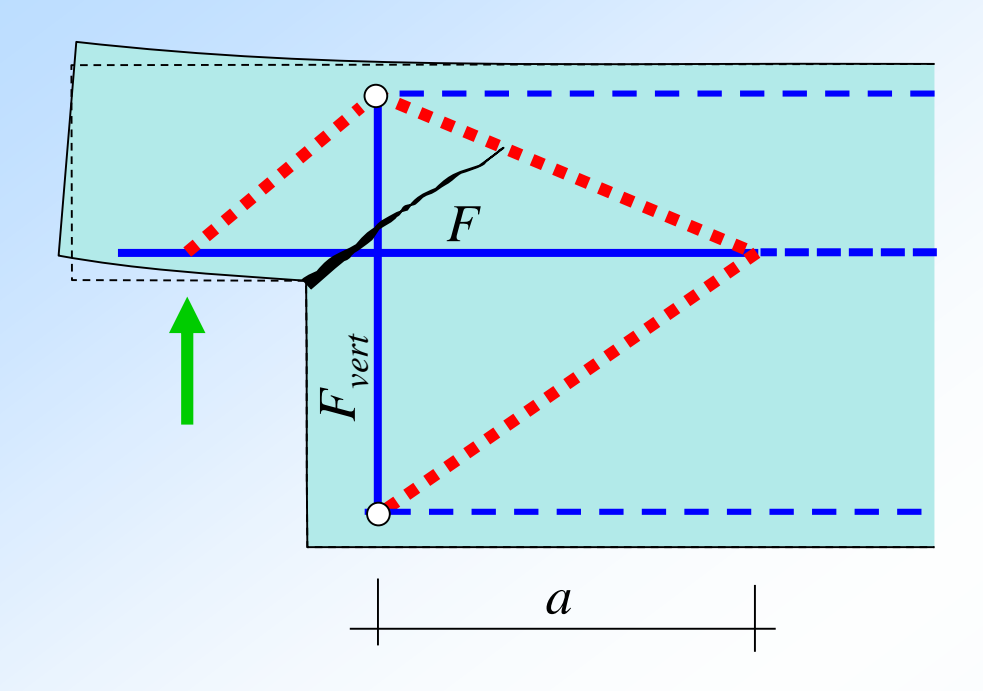
$$W_{i} = \frac{1}{2} \int_{0}^{l} \varepsilon \cdot N \cdot dx = \frac{1}{2} \cdot \varepsilon_{Fl} \cdot F \cdot \left[\frac{\lambda \cdot z \cdot \tan \alpha}{\lambda \cdot z \cdot \tan \alpha} \right] + \frac{1}{2} \cdot \varepsilon_{Fl} \cdot \left[\frac{(1 - \lambda) \cdot F}{\tan \alpha} \right] \cdot z$$

$$= \frac{1}{2} \cdot \varepsilon_{Fl} \cdot F \cdot z \cdot \left[\lambda \cdot \tan \alpha + \frac{1 - \lambda}{\tan \alpha} \right]$$

z. B. durch Probieren ergibt sich für den Klammerausdruck für λ = 0,25 ein

Minimum bei
$$\alpha = 60^{\circ}$$

$$\Rightarrow a = 0.433 \cdot z \approx 0.5 \cdot z \text{ und } F_{vert} = 0.433 \cdot F \approx 0.5 \cdot F$$

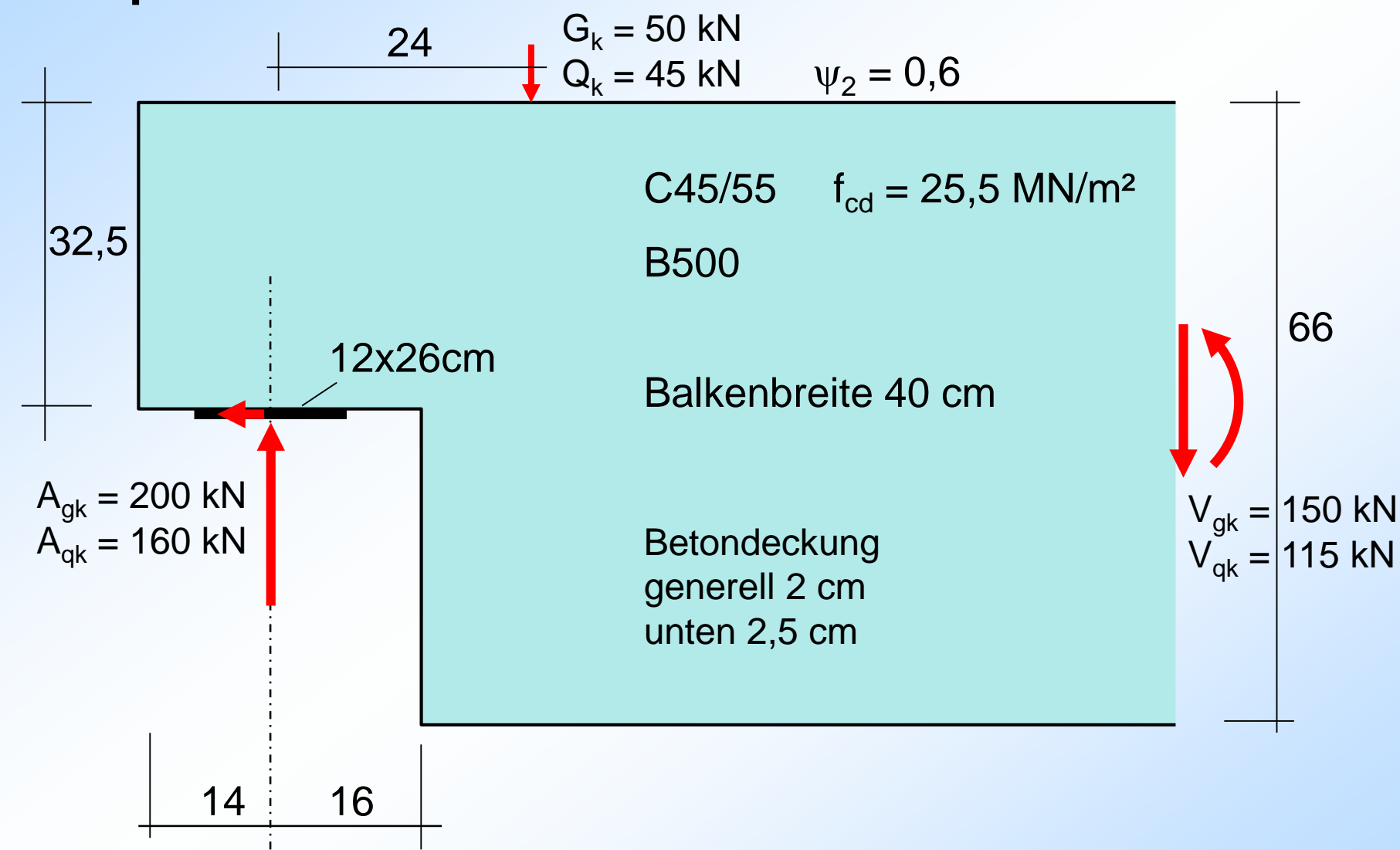


Wenn die vertikale Bewehrung infolge einer zu geringen Dimensionierung frühzeitig fließt, vergrößert sich a automatisch. Dadurch wird die gedehnte Länge der horizontalen Bewehrung größer und damit auch die Rotation der Trägernase um den oberen Knoten. Letzteres führt dort zu einem früheren Druckversagen.

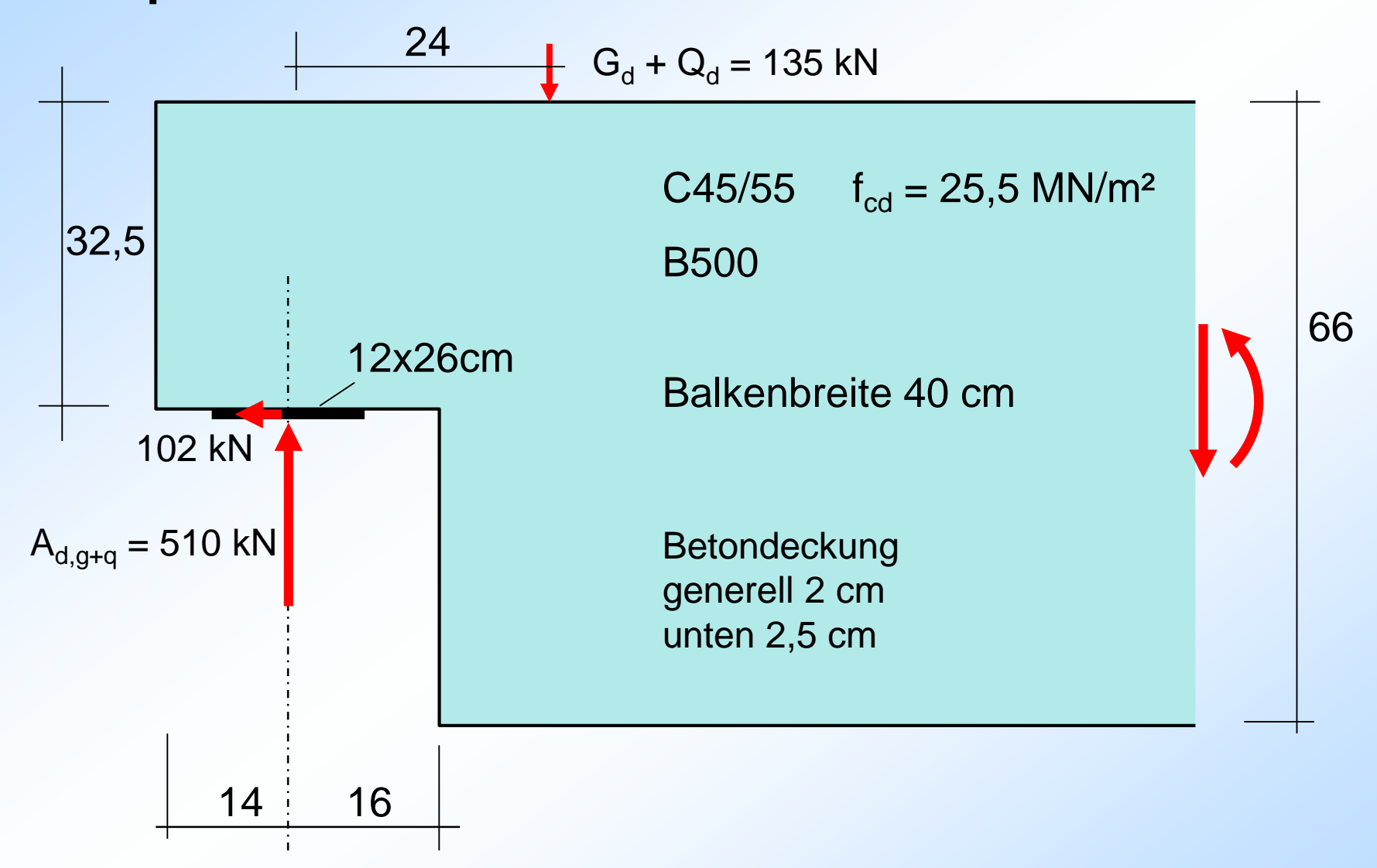
Zusammenfassung:

- Das Modell mit ausschließlich aufgebogener Bewehrung lässt sich nur mit Ankerplatten realisieren.
- Das Modell mit ausschließlich vertikaler Bewehrung nutzt die Betondruckzone nicht aus und führt zum frühzeitigen Abplatzen der Betondeckung.
- Die Verankerung des Konsolbandes bei dem aktuellen Modell von Schlaich / Schäfer und Reineck führt insbesondere bei längeren Auflagernasen zu erheblichen Verformungen bereits im Gebrauchszustand.
- Die Verankerung des Konsolbandes sollte mit Hilfe des Sprengwerkes, also durch Verstärkung der sog. "Aufhängebewehrung" realisiert werden.
- Am sinnvollsten ist eine rechnerische Kombination beider Grundmodelle

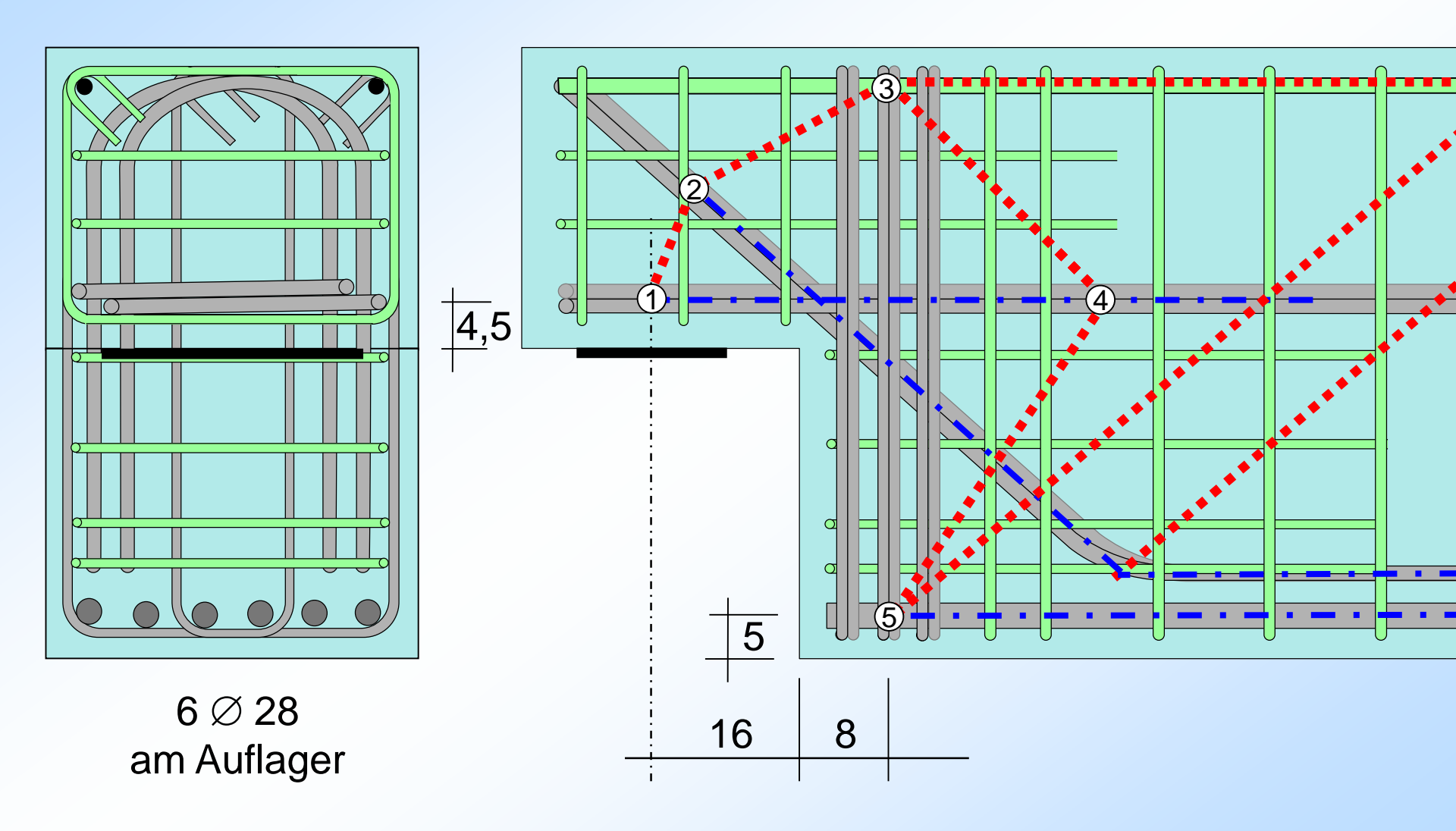
Beispiel:



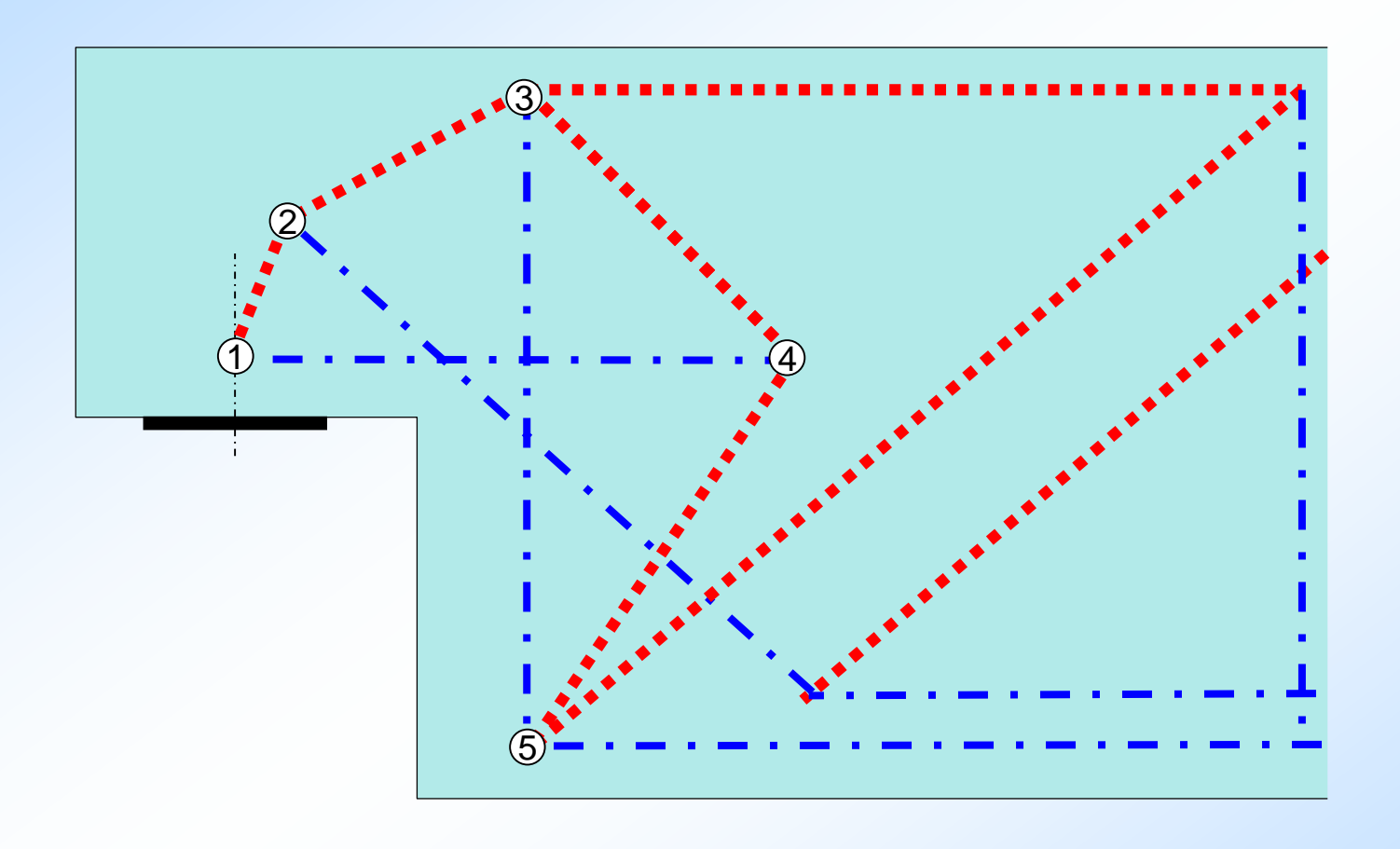
Beispiel:



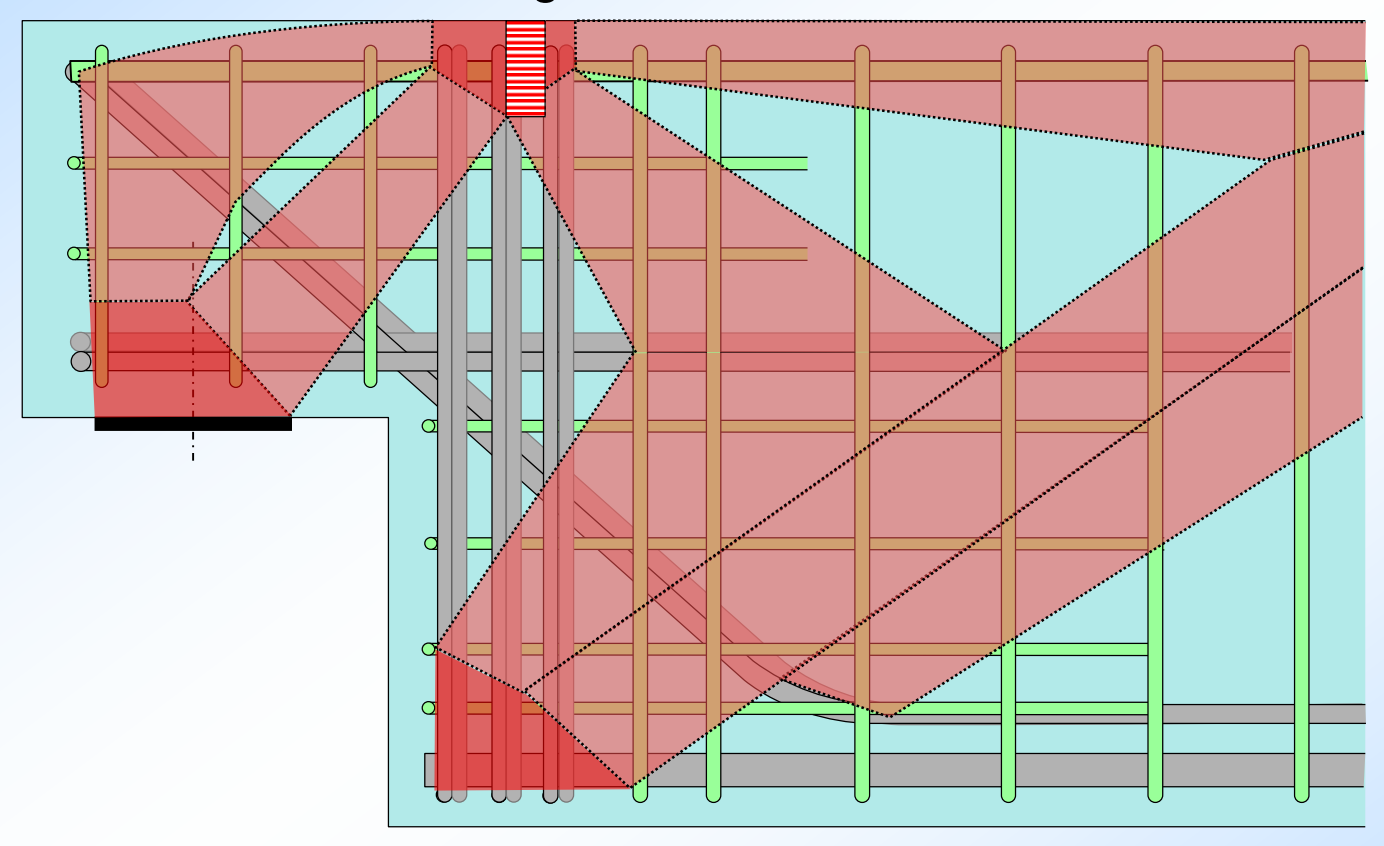
Eine Vorbemessung ergab die nachfolgenden Randabstände:



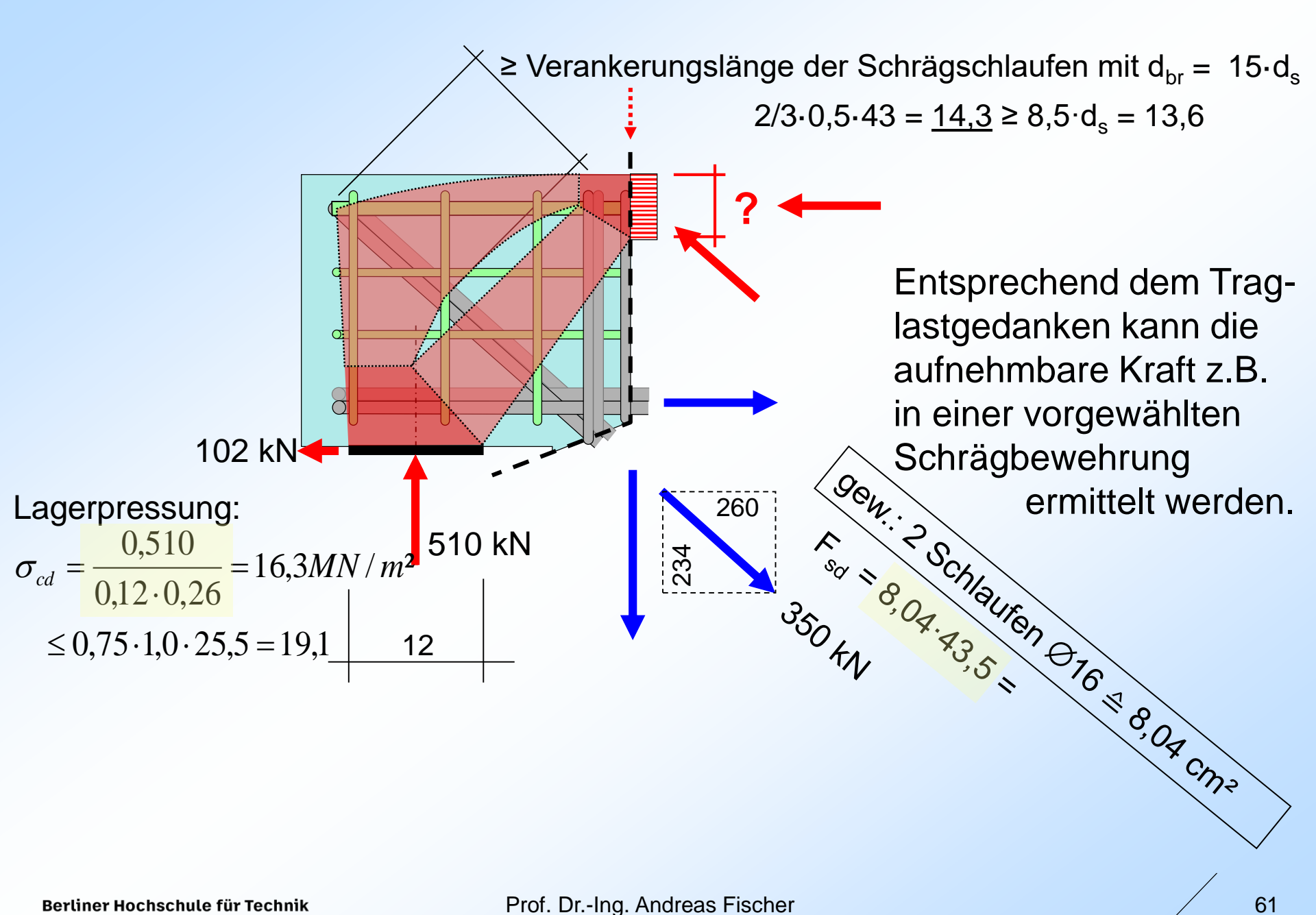
idealisiertes Stabwerkmodell

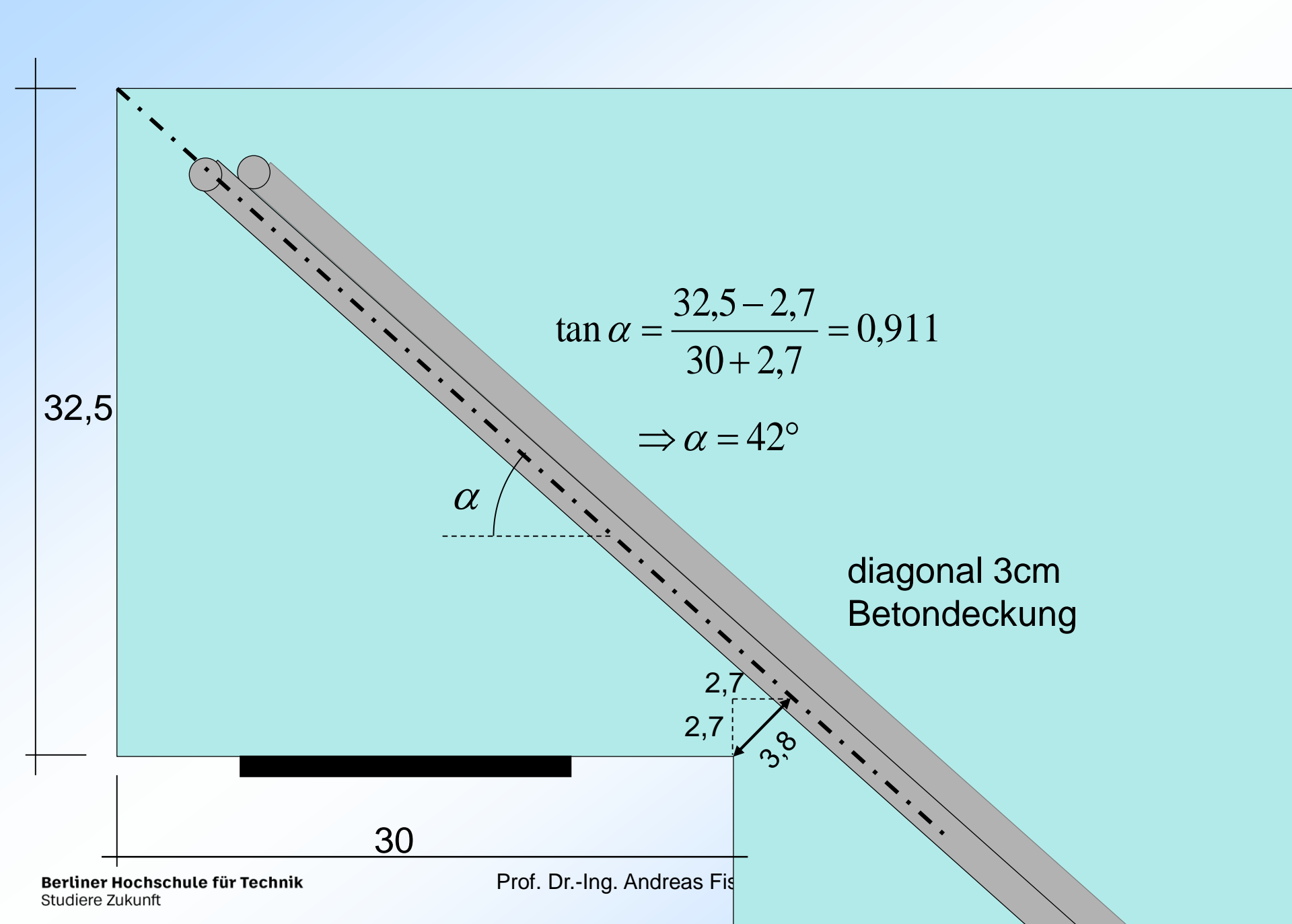


Nur mit einer Schrägbewehrung in der Auflagernase ist es möglich, die Druckzone oberhalb der "Aufhängebügel" zu aktivieren und ein vorzeitiges Abplatzen der Betondeckung zu verhindern.

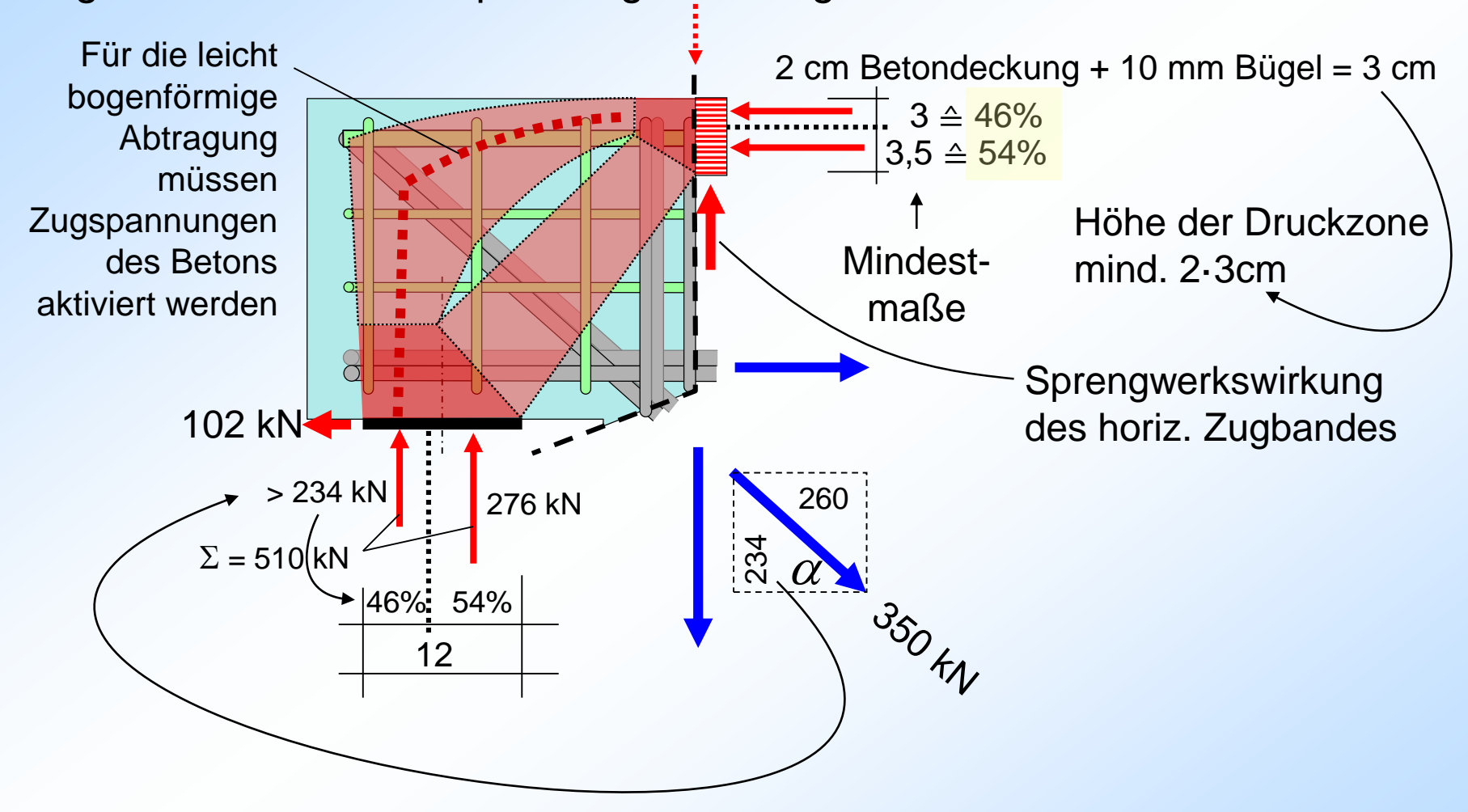


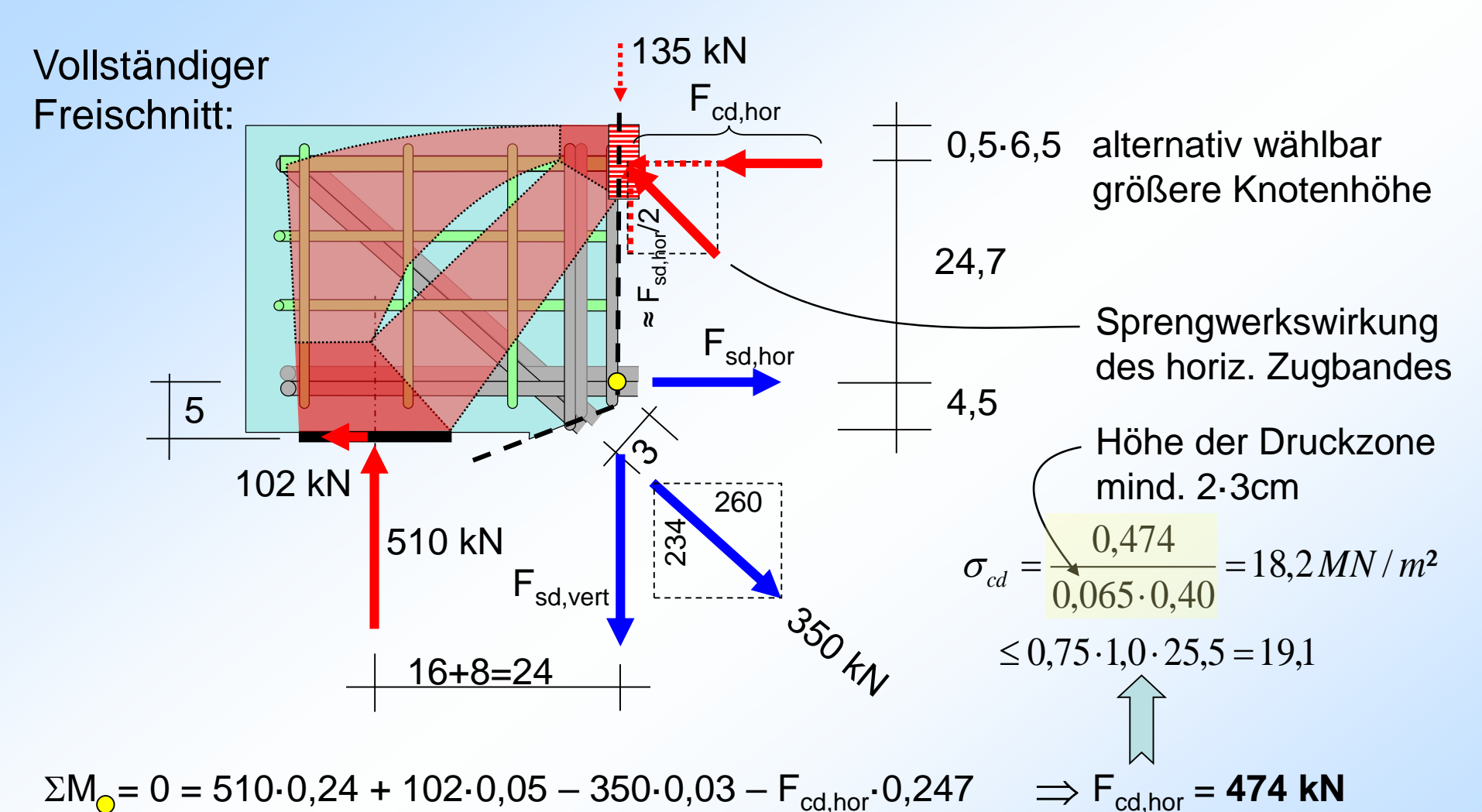
Damit kann der innere Hebelarm am Anschnitt der Nase optimal genutzt werden. Mit schlaufenförmiger Bewehrung aus dünneren Stäben muss eine kurze Verankerungslänge sichergestellt werden.





Nur die H-Komponente der Schrägbewehrung kann oberhalb der Bügelinnenseite Druckspannungen erzeugen:

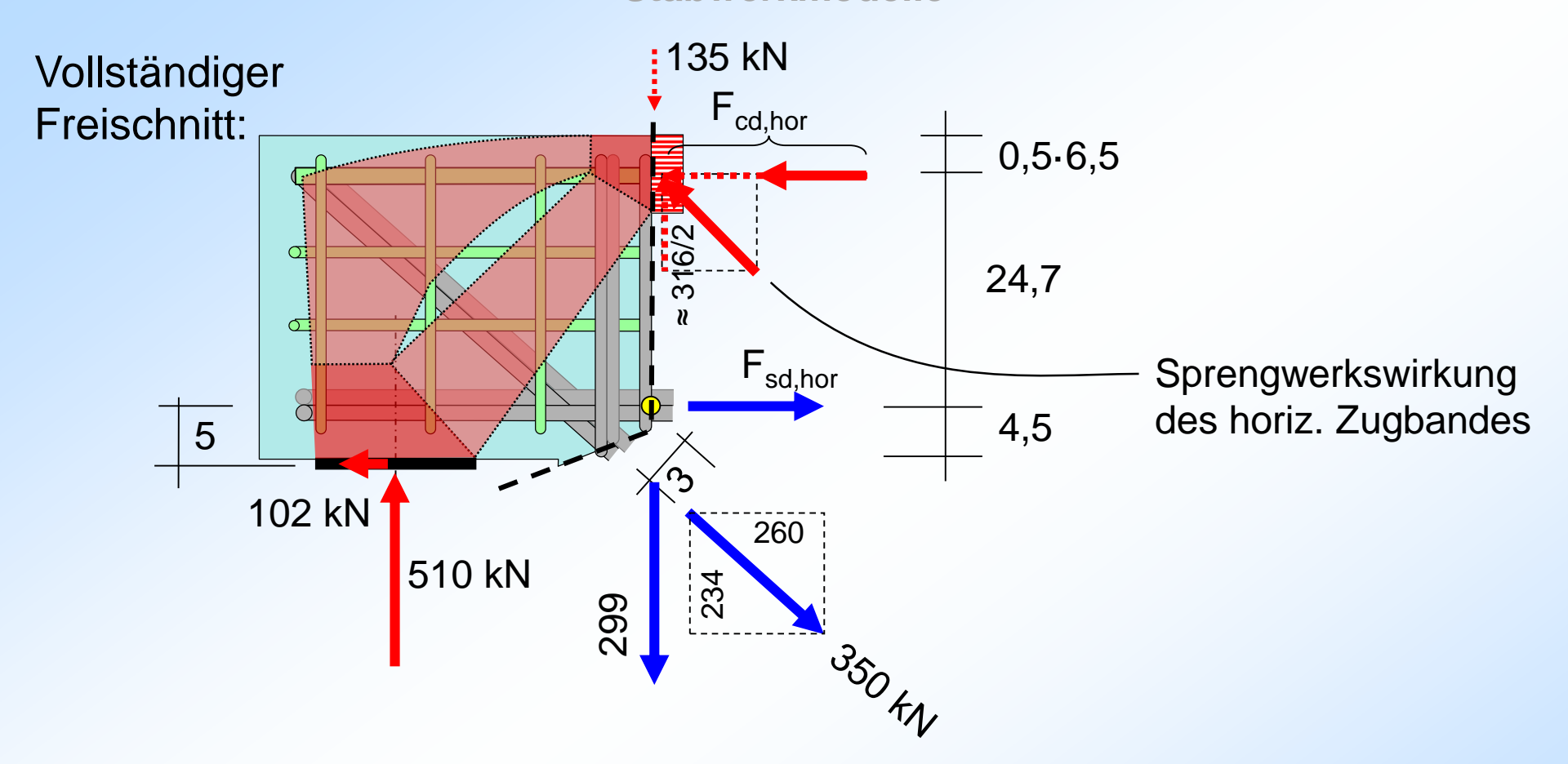




$$\Rightarrow$$
 F_{sd.hor} = $\frac{474 + 102 - 260}{474 + 102 - 260} = 316 \text{ kN}$ gew.: 2 Schlaufe

$$\Rightarrow$$
 F_{sd,vert} = $\frac{510 - 135 - 234 + 316/2}{510 + 316/2} = 299 kN$

gew.: 3 Bügel \varnothing 10 vierschnittig, e = 4 cm \triangleq 9,42 cm²/

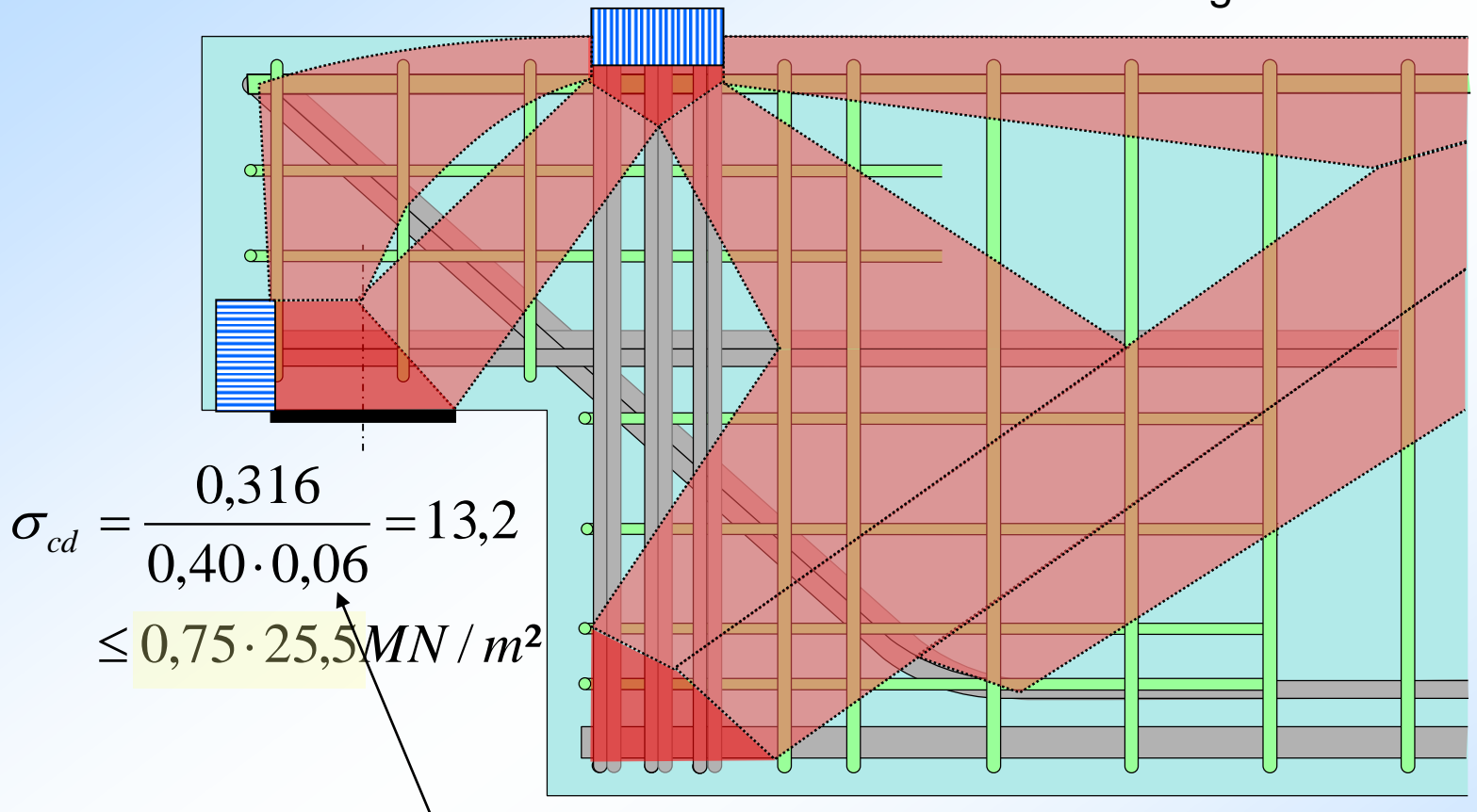


Summe der Vertikalkraftanteile in der "Aufhängebewehrung":

$$299 + 234 = 533 \text{ kN} > 510 - 135 = 375 \text{ kN}$$

Nachweise an den fiktiven Lastplatten:

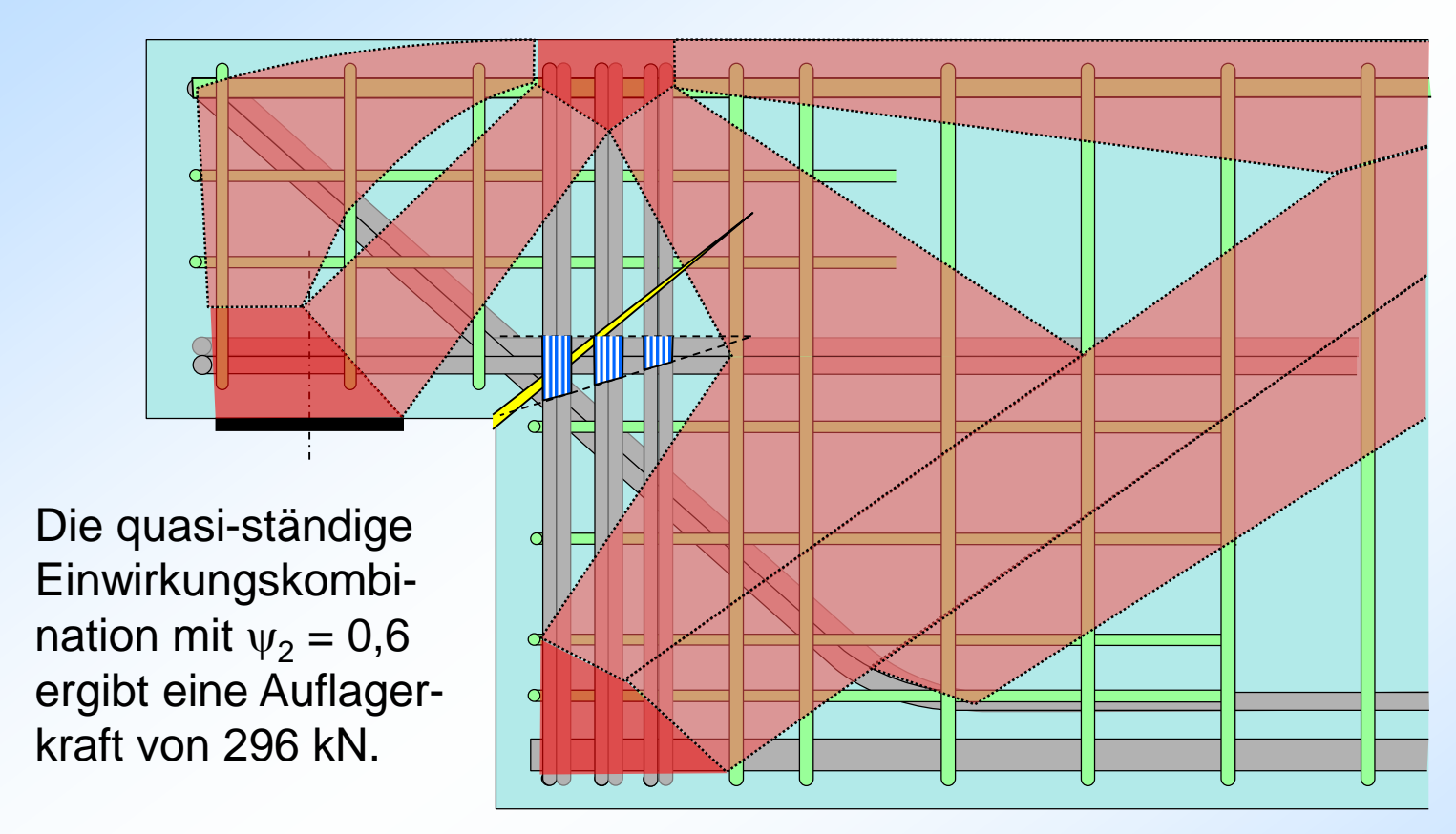
$$\sigma_{cd} = \frac{0,299}{0,40 \cdot 0,10} = 7,5 \le 0,75 \cdot 25,5 MN \ / \ m^2$$
 unbedingt mehrschnittige Bügel!



Längsüberstand der Bewehrung über die Lagerkante = 8 - 2 = 6 cm

$$\rightarrow$$
 red u = 2.6/2 = 6 cm

Entsprechend der Rissgeometrie erhält der äußere Bügel hier eine um etwa 30% vergrößerte Stahlspannung gegenüber dem Mittelwert



Bei etwa gleichen Hebelarmen im GZG erhält man für den äußeren Bügel als Stahlspannung:

 $\sigma_{s,Bii} = 1.3 \cdot \frac{296}{510} \cdot \frac{299kN}{9.42cm^2} \cdot [10] = 239MN/m^2$

Prof. Dr.-Ing. Andreas Fischer

Als maximalen Rissabstand erhält man:

$$S_{r,max} = \frac{F_{s,cr} \cdot d_s}{3.6 \cdot f_{cteff} \cdot A_s} = \frac{0.05m \cdot 0.40m \cdot 3.8MN / m^2 \cdot 10mm}{3.6 \cdot 3.8MN / m^2 \cdot 4 \cdot 0.0000785m^2} = 177mm$$

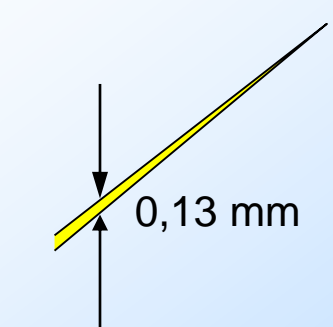
Stahlkraft im Riss:

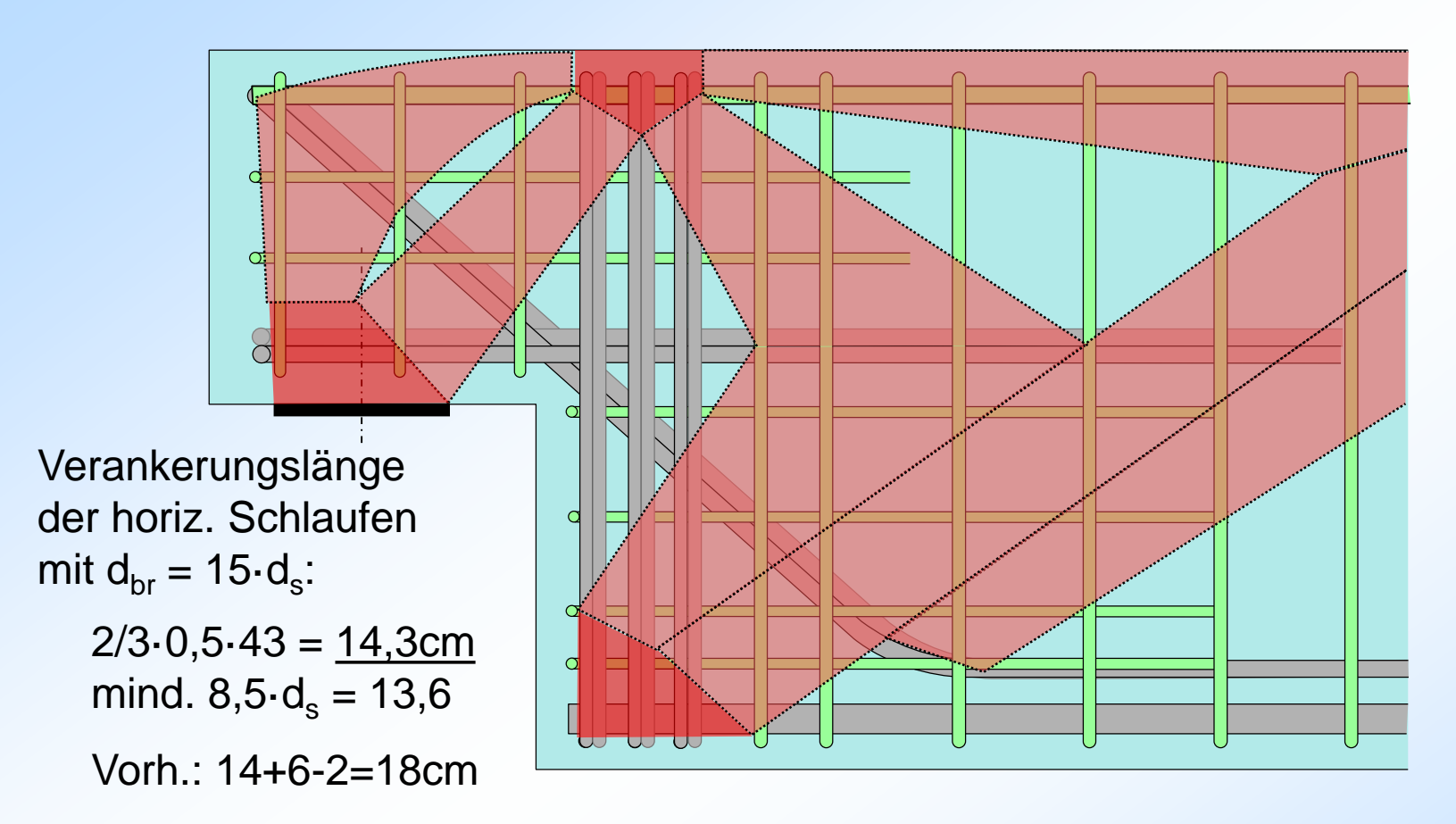
$$F_s = 4.0,0000785 \ m^2 \cdot 239 \ MN / m^2 = 0,075 \ MN$$

Rissbreite grob überschläglich:

$$w_k = s_{r,\text{max}} \cdot \frac{F_s - 0.4 \cdot F_{s,cr}}{E_s \cdot A_s} = 177 mm \cdot \frac{0.075 MN - 0.4 \cdot 0.075 MN}{200000 MN / m^2 \cdot 4 \cdot 0.0000785 m^2} = 0.13 mm$$

Die tätsächliche Rissbreite des schrägen Risses bleibt noch unterhalb des berechneten Wertes:





Für den unteren Knoten 5 ist die vorhandene Verankerungslänge der unteren Feldbewehrung meistens zu kurz, es sollte aber auf keinen Fall ein größerer Abstand der Aufhängebügel gewählt werden.

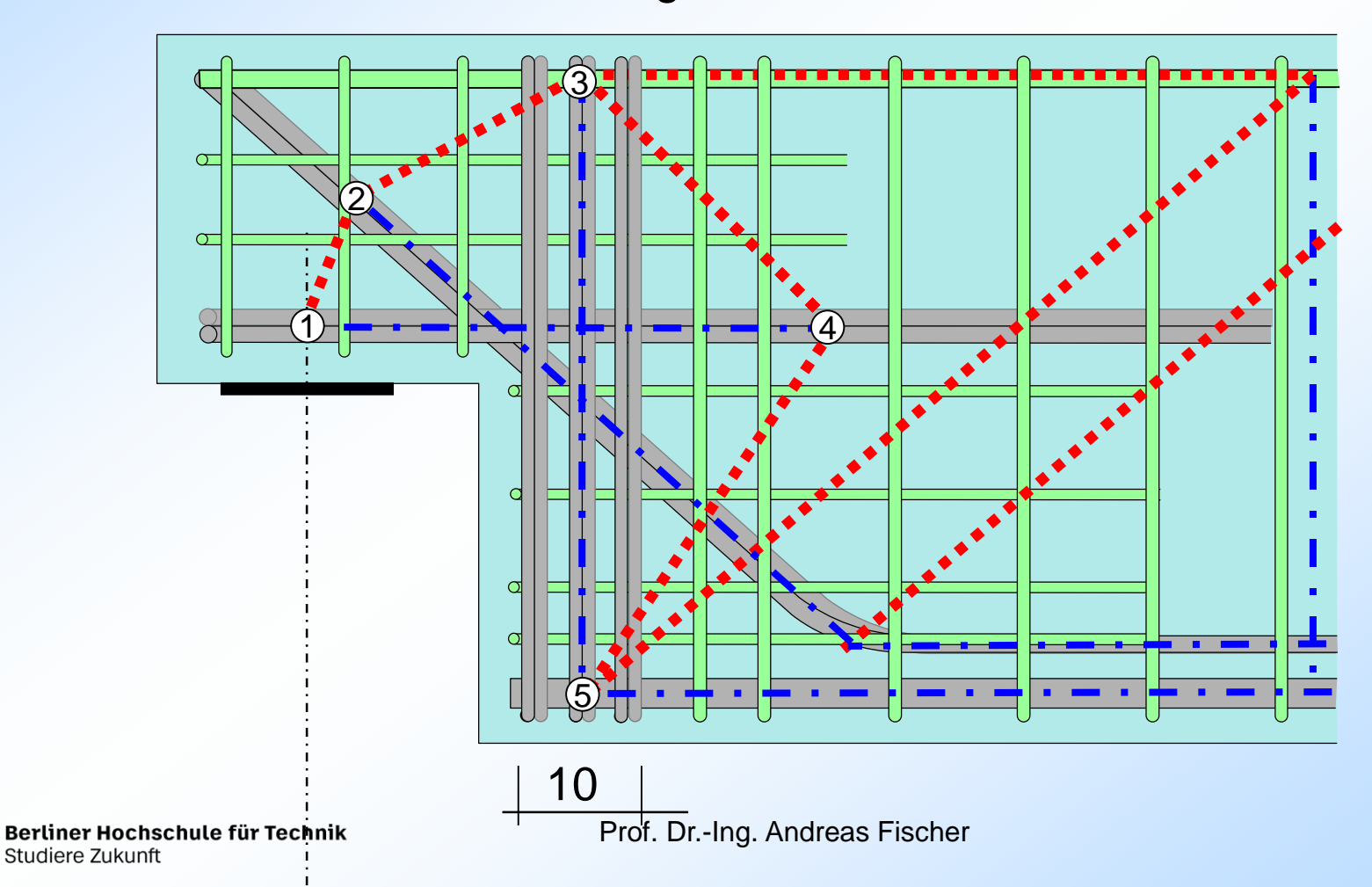
Um die horizontale Verankerungskraft am Knoten 5 klein zu halten, sollte bei der Querkraftbemessung ein steilerer Druckstrebenwinkel gewählt werden, rechnerisch jedoch nicht steiler als 40° ($\cot\theta = 1.2$ bzw. $\tan\theta = 0.84$).

Damit ergibt sich hier für eine Querkraft von 510 – 135 = 375 kN

$$erfa_{s,w} = \frac{375kN}{43,5kN/cm^2 \cdot (0,9 \cdot 0,6m) \cdot 1,2} = 13,3cm^2/m$$

Verankerung am unteren Knoten 5:

Ein Teil der Querkraft wird bereits durch die Schrägschlaufen (234 kN) aufgenommen, damit verbleibt als Horizontalkomponente aus Querkraft (375 – 234) · 1,2 = 169 kN; H-Komp. aus dem Konsolband über Knoten 4: 316-24,7 / 57,7 = 135 kN, insgesamt zu verankern: 169 + 135 = 304 kN



$$erfA_s = \frac{304kN}{43,5kN/cm^2} = 7,0cm^2$$
 $vorhA_s = 37,0cm^2$ (6 Ø 28)

Verankerungslänge:

$$=1,0\cdot\frac{7}{37,0}\cdot76cm=14,4cm$$

mind $0.3 \cdot 76cm = 23cm$

mind $10 \cdot 2.8cm = 28cm$

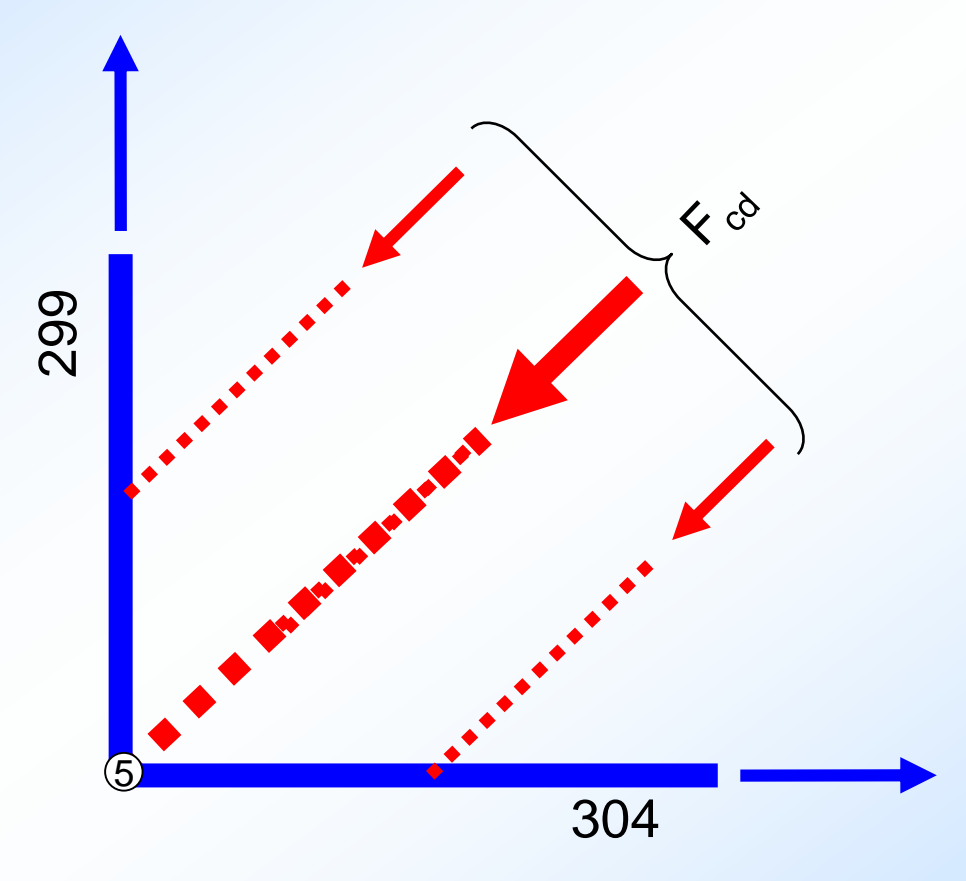
Die Forderungen nach einer Mindestverankerungslänge können nach Auffassung des Verfassers hier ignoriert werden, da eine sorgfältige Nachverfolgung der Kräfte vorgenommen wird.

$$vorh l_{b,net} = 10cm$$

ist trotzdem nicht ausreichend, da nur eine Kraft von $304 \cdot 10/14,4 = 211 \text{ kN}$ übertragen werden kann. Es fehlen 304 - 211 = 93 kN.

Der untere Knoten muss sich nicht auf den Bereich der Aufhängebewehrung beschränken, ähnlich wie bei indirekt gelagerten Wandscheiben oder Trägern kann der Knoten durch Zulagebewehrung vertikal und horizontal vergrößert bzw. die aufnehmbare Kraft gesteigert werden:

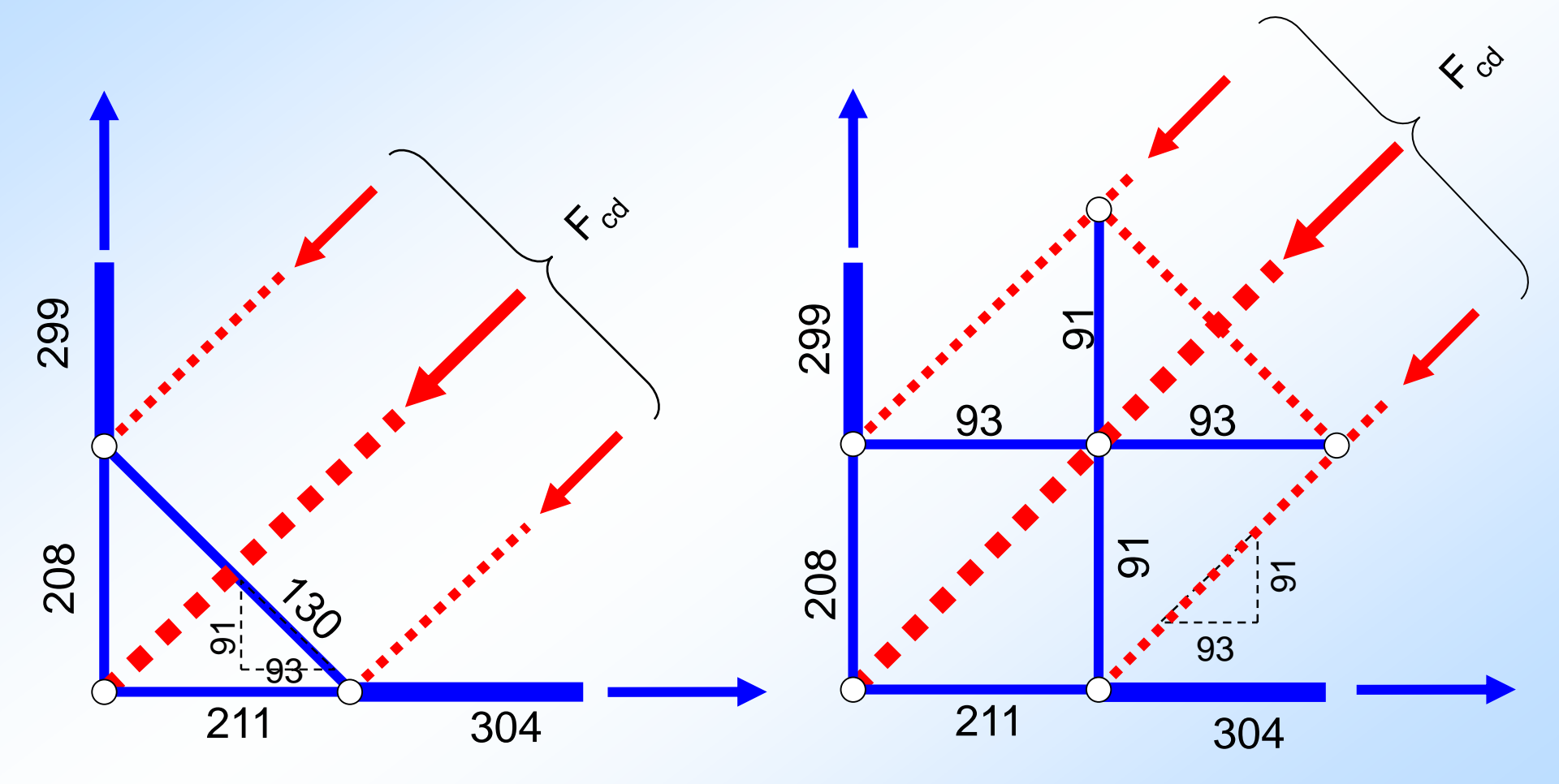
Die einzelne Druckstrebe muss nun aufgeweitet werden, um den Knoten 5 zu entlasten



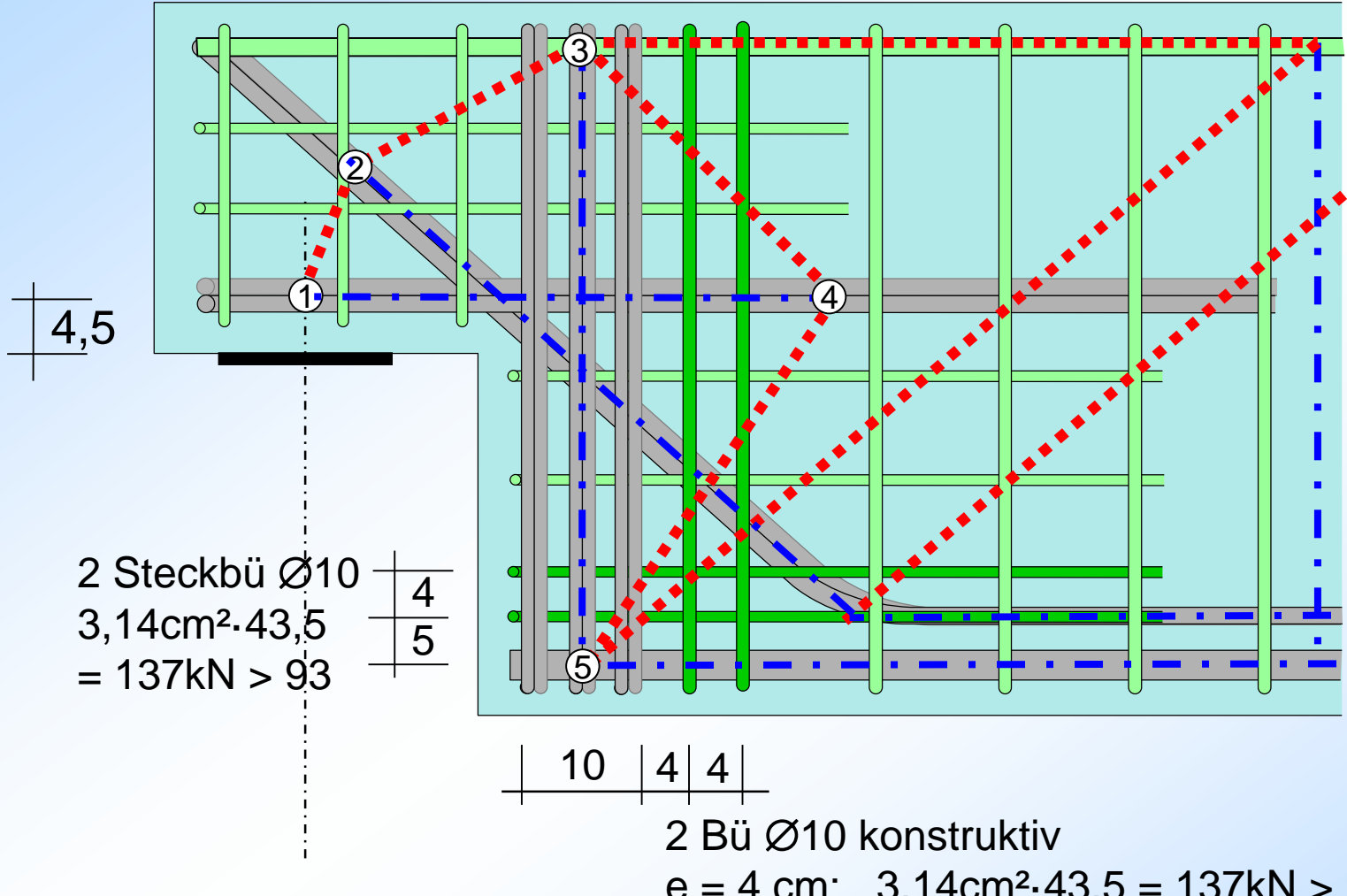
Hierfür muss zusätzlich eine schräge oder eine orthogonale Bewehrung ergänzt werden

Idealerweise wird ein Umlenkknoten oder eine Schrägbewehrung (hier ca. 45°) ausgebildet.

Alternativ bei zusätzlicher orthogonaler Bewehrung:

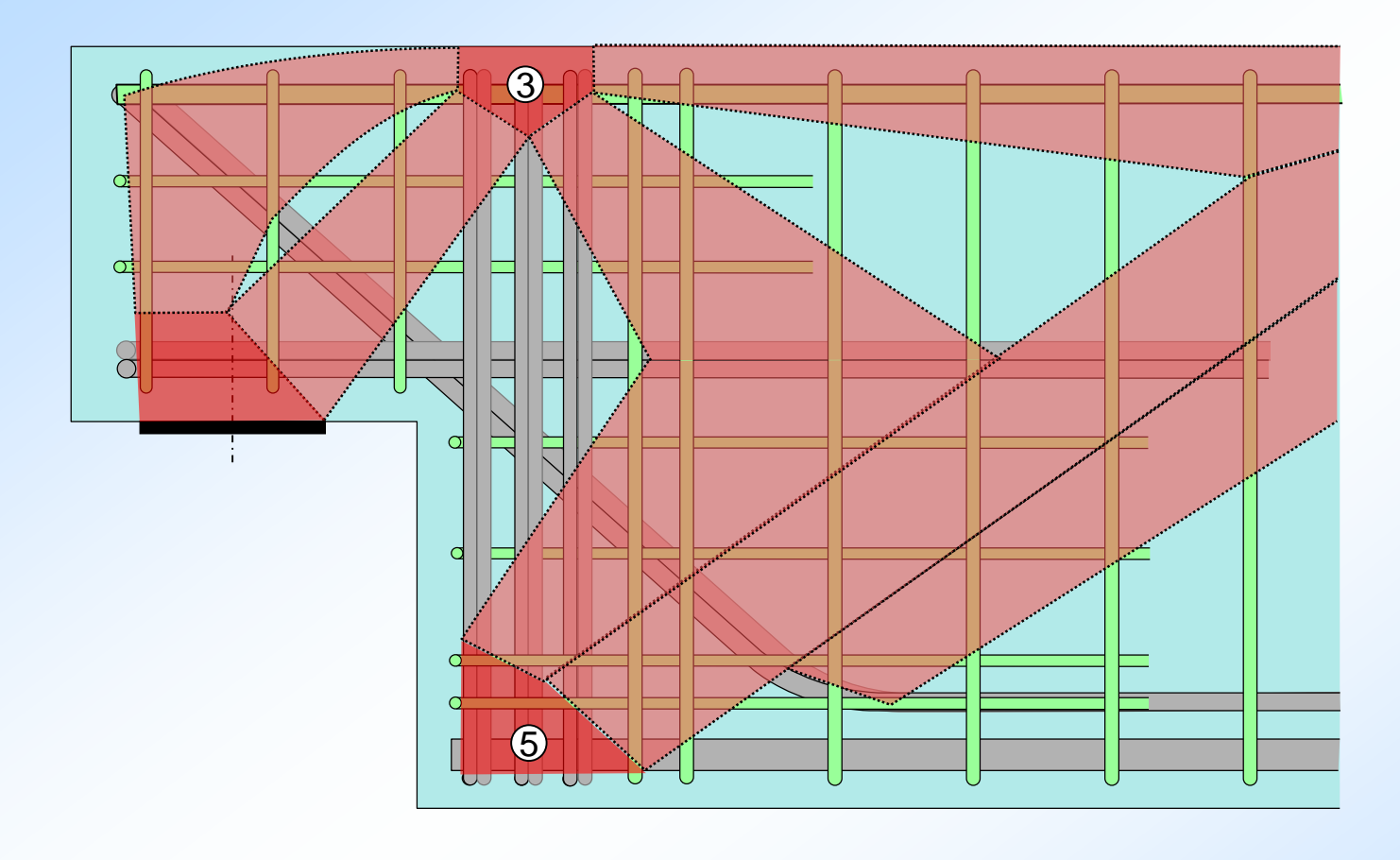


der Knoten 5 ist nun durch zusätzliche Bügel und Steckbügel entlastet

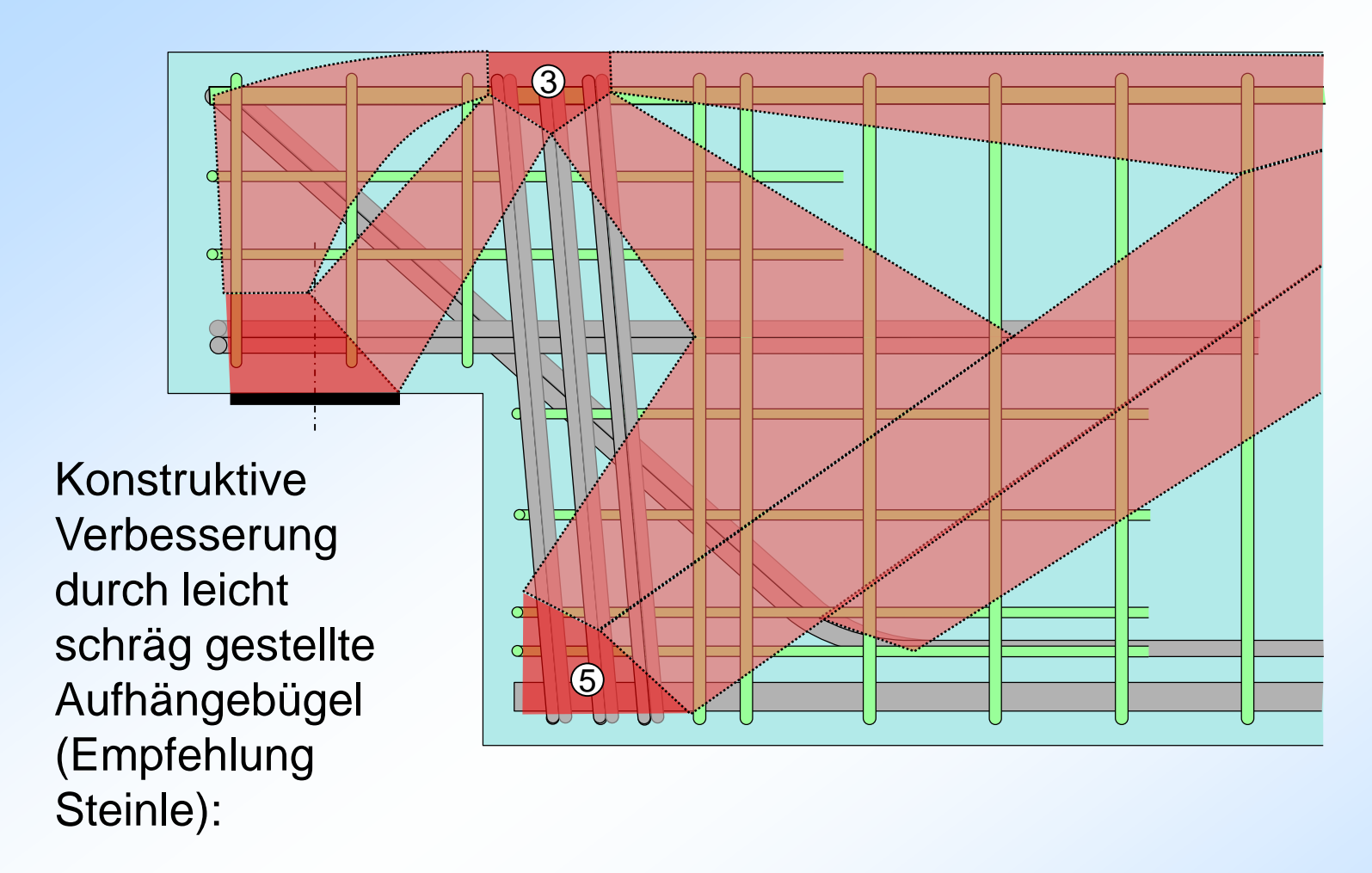


e = 4 cm: $3,14\text{cm}^2 \cdot 43,5 = 137\text{kN} > 91$

Im Bereich der zusätzlich eingelegten Bügel kann die fehlende Verbundkraft von 93 kN zwischen Längsbewehrung und Beton hier o. w. N. übertragen werden.



Die fiktive **vertikale** Lagerpressung am Knoten 5 ist nun kleiner als am Knoten 3, damit kann der Nachweis hier entfallen



⇒ steilere Druckstrebe zum oberen Knoten 3 ,geringere Kraft in Konsolbew., Entlastung des oberen Knotens, Entlastung der "Aufhängebügel", vergrößerte Verankerungslänge am unteren Knoten 5

Zusammenfassung:

- Das Modell mit ausschließlich vertikaler Bewehrung nutzt die Betondruckzone nicht aus und führt zum frühzeitigen Abplatzen der Betondeckung.
- Daher ist eine Bewehrung aus schrägen Schlaufen so zu dimensionieren, dass eine ausreichende Druckkraft in die Betondeckung geleitet werden kann.
- Verankerung der Konsolbewehrung sinnvollerweise über ein "Sprengwerk", um Verformungen und Rissbreiten im Gebrauchszustand klein zu halten.
- Infolge der Sprengwerkwirkung ist die "Aufhängebewehrung" für die Zusatzbeanspruchung zu bemessen.

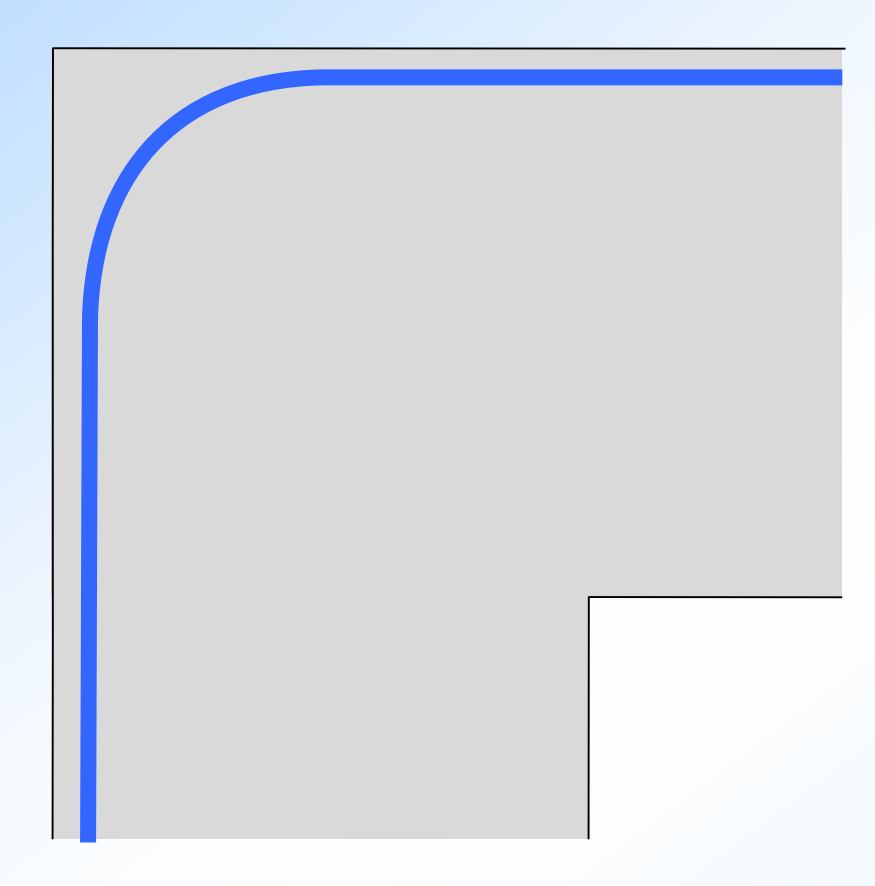
4 Rahmenecken

- Rahmenecken mit sich schließendem Moment
- Rahmenecken mit sich öffnendem Moment

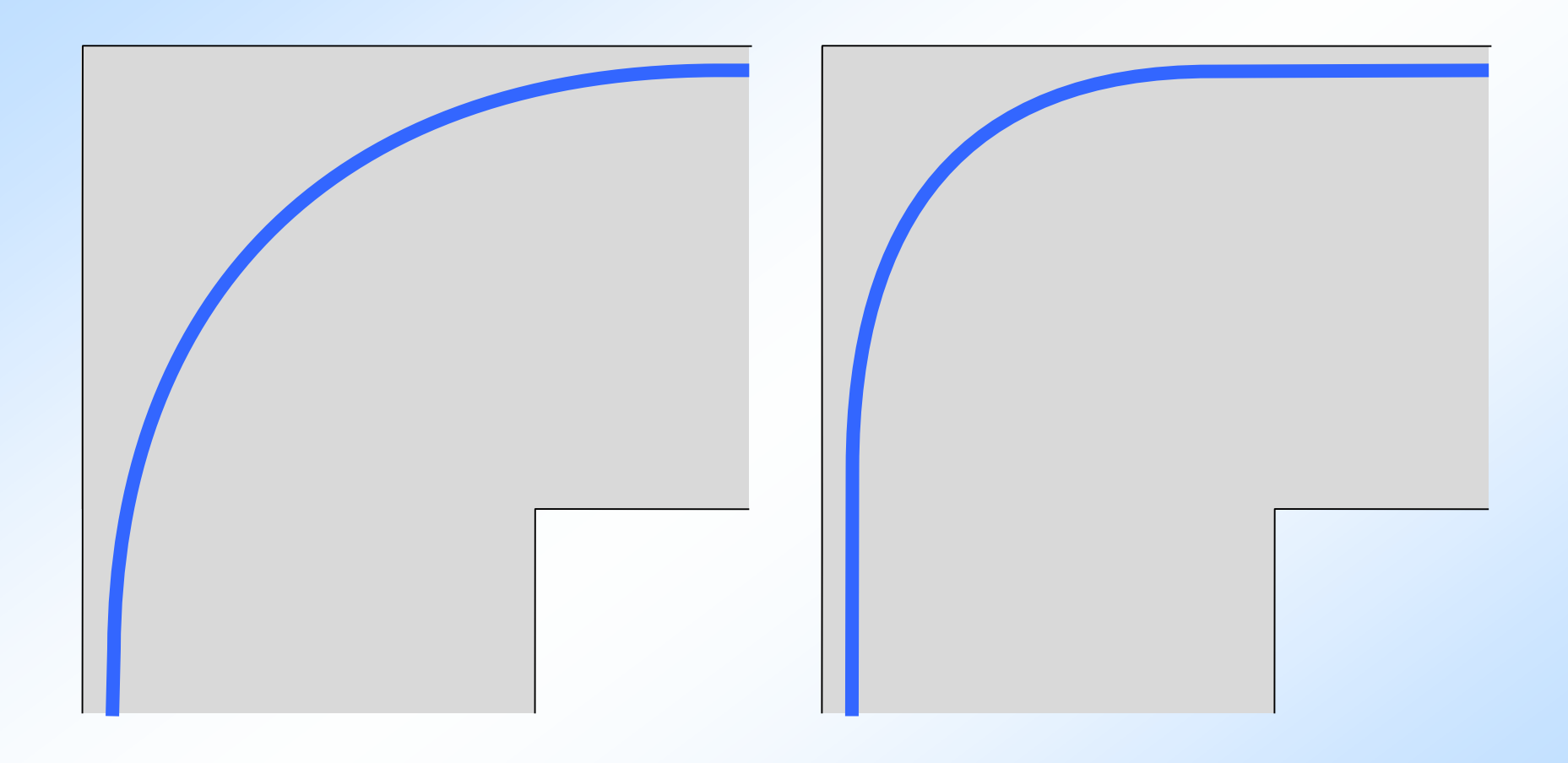
4.1 Rahmenecken mit sich schließendem Moment

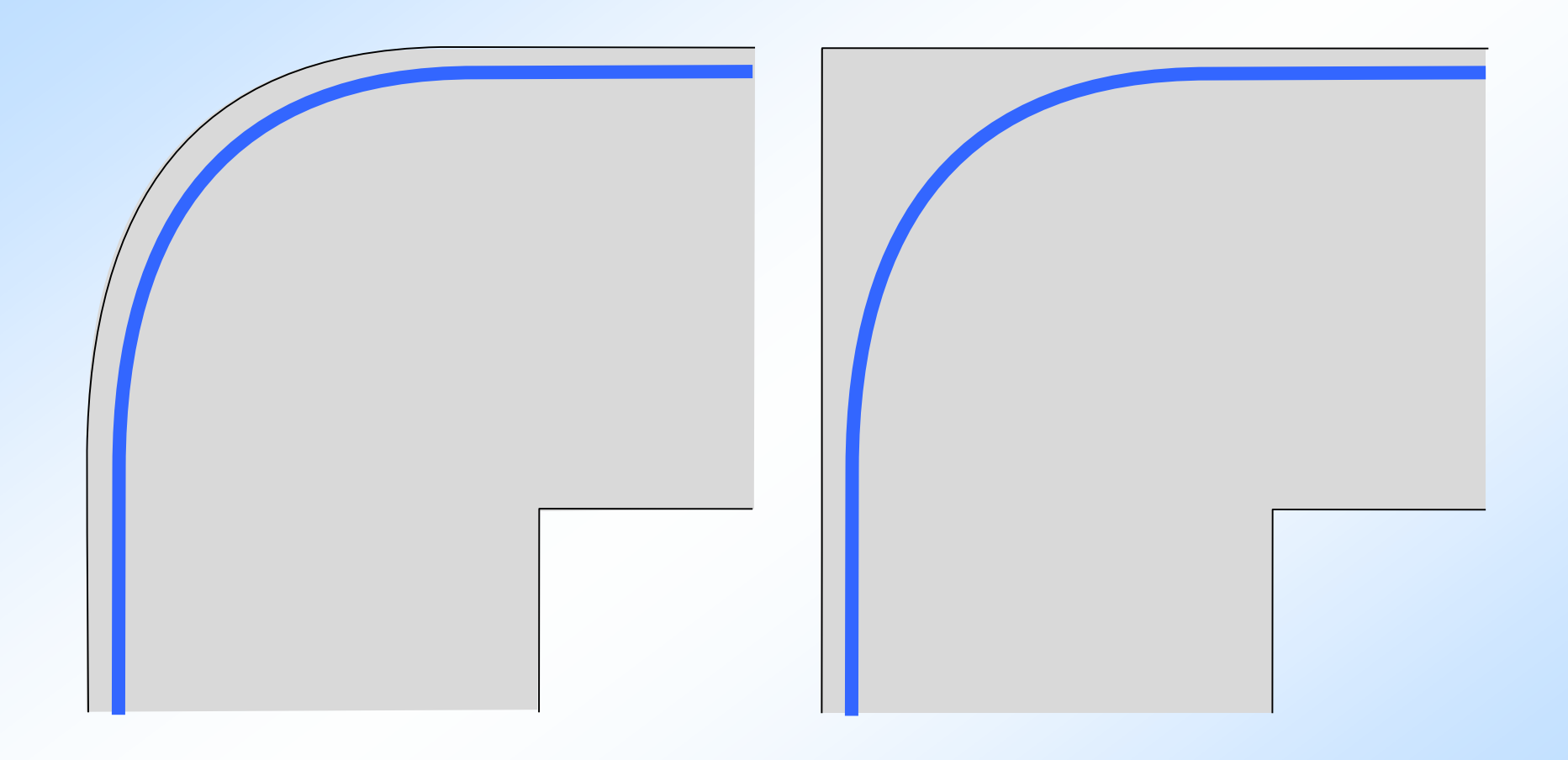


Hydrostat. Knoten auf der Innenseite

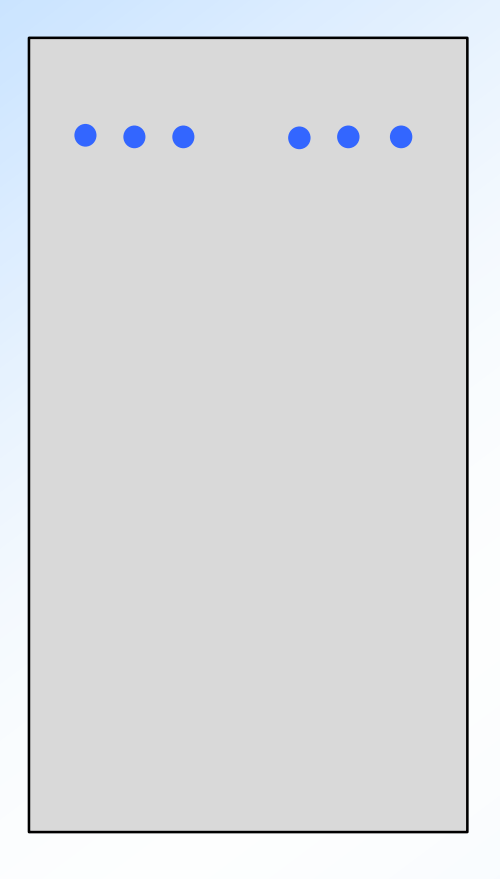


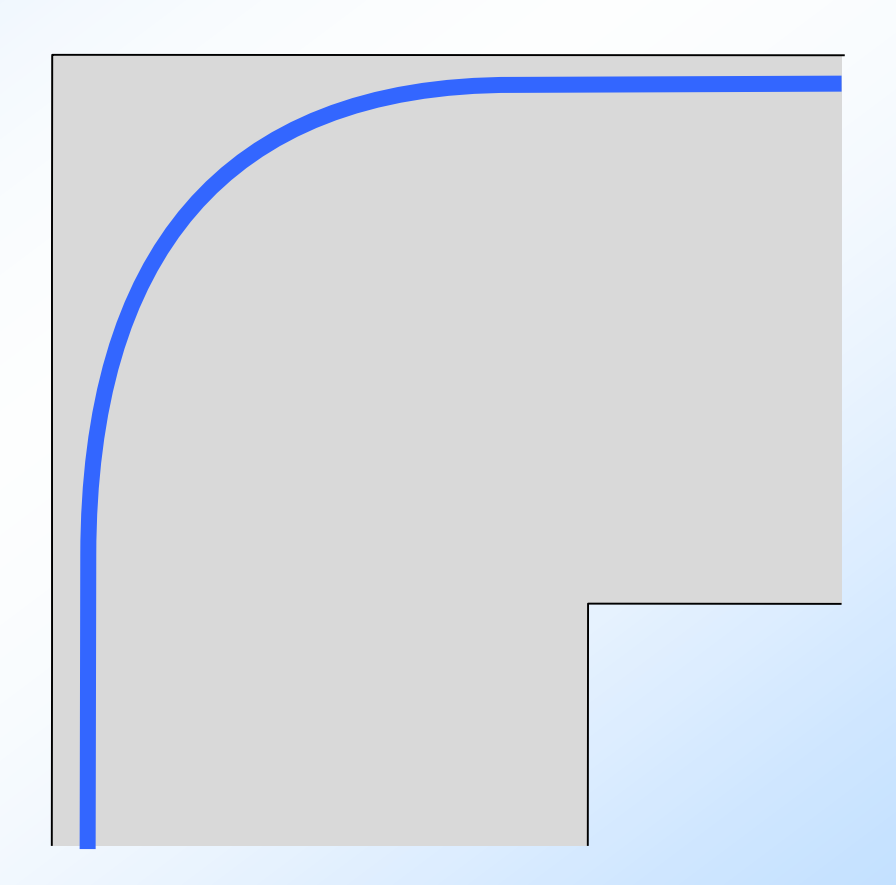
Der Biegerollendurchmesser sollte groß sein, aber nicht zu groß!





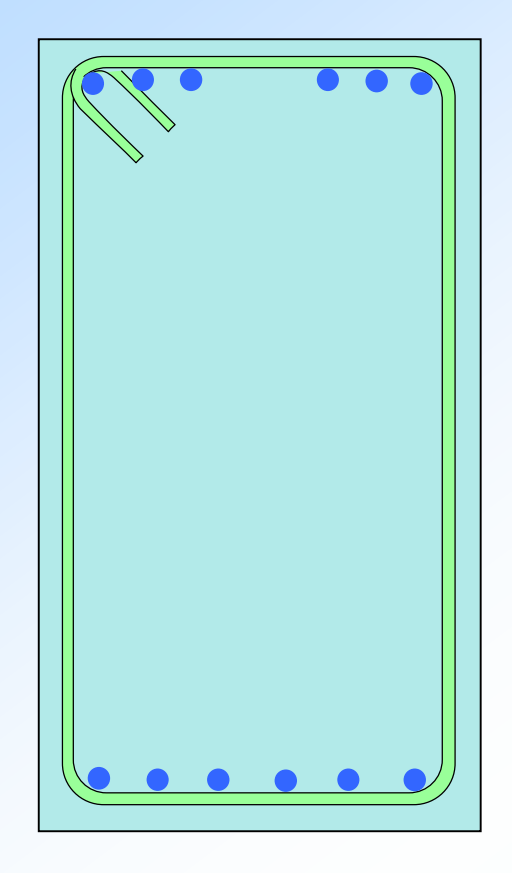
Spannungen in Querrichtung







Bewehrungsskizze (sich schließende) Rahmenecke:



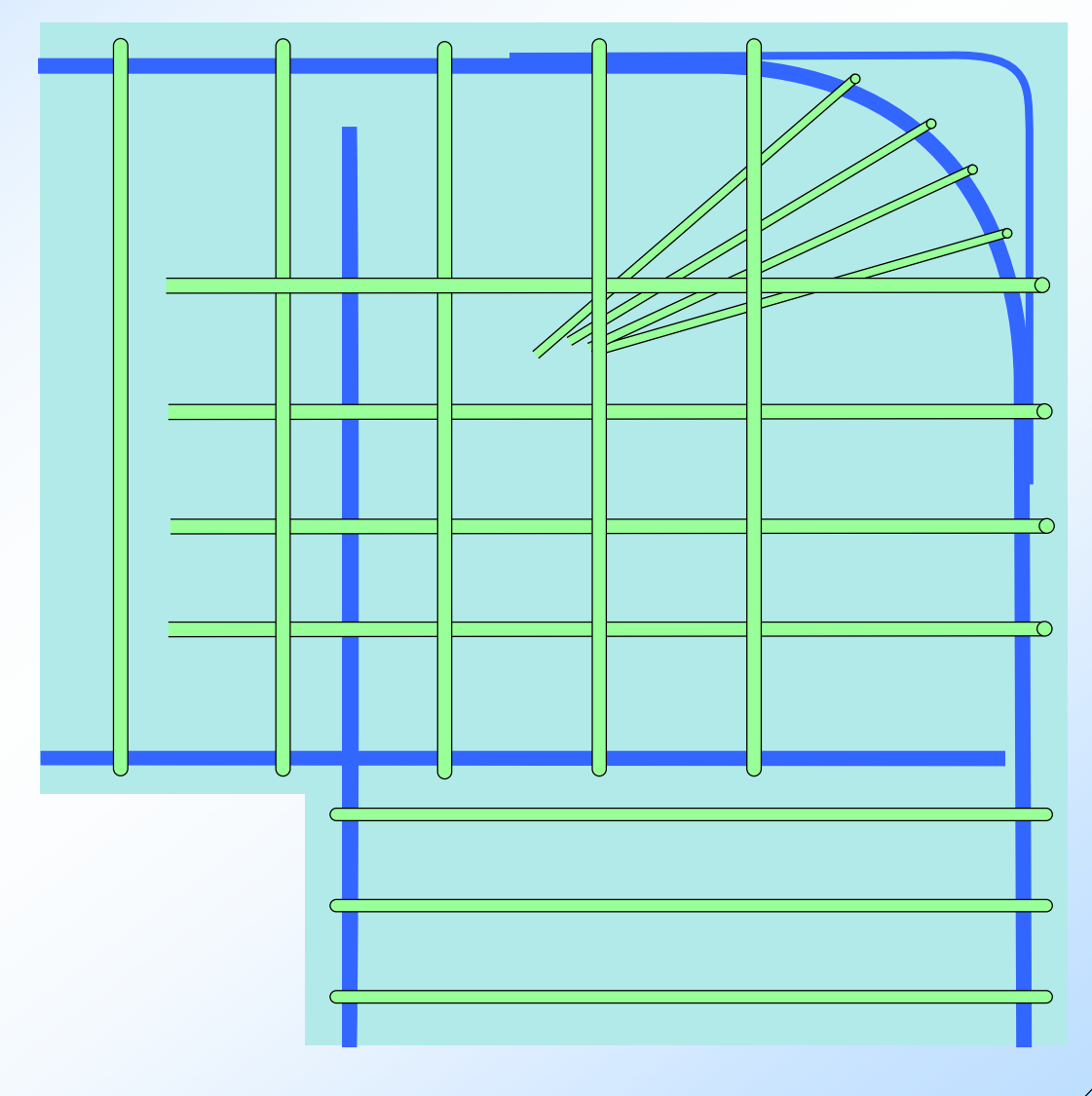


Tabelle NA.8.1 — Mindest-Biegerollendurchmesser D_{\min}

a) für Stäbe

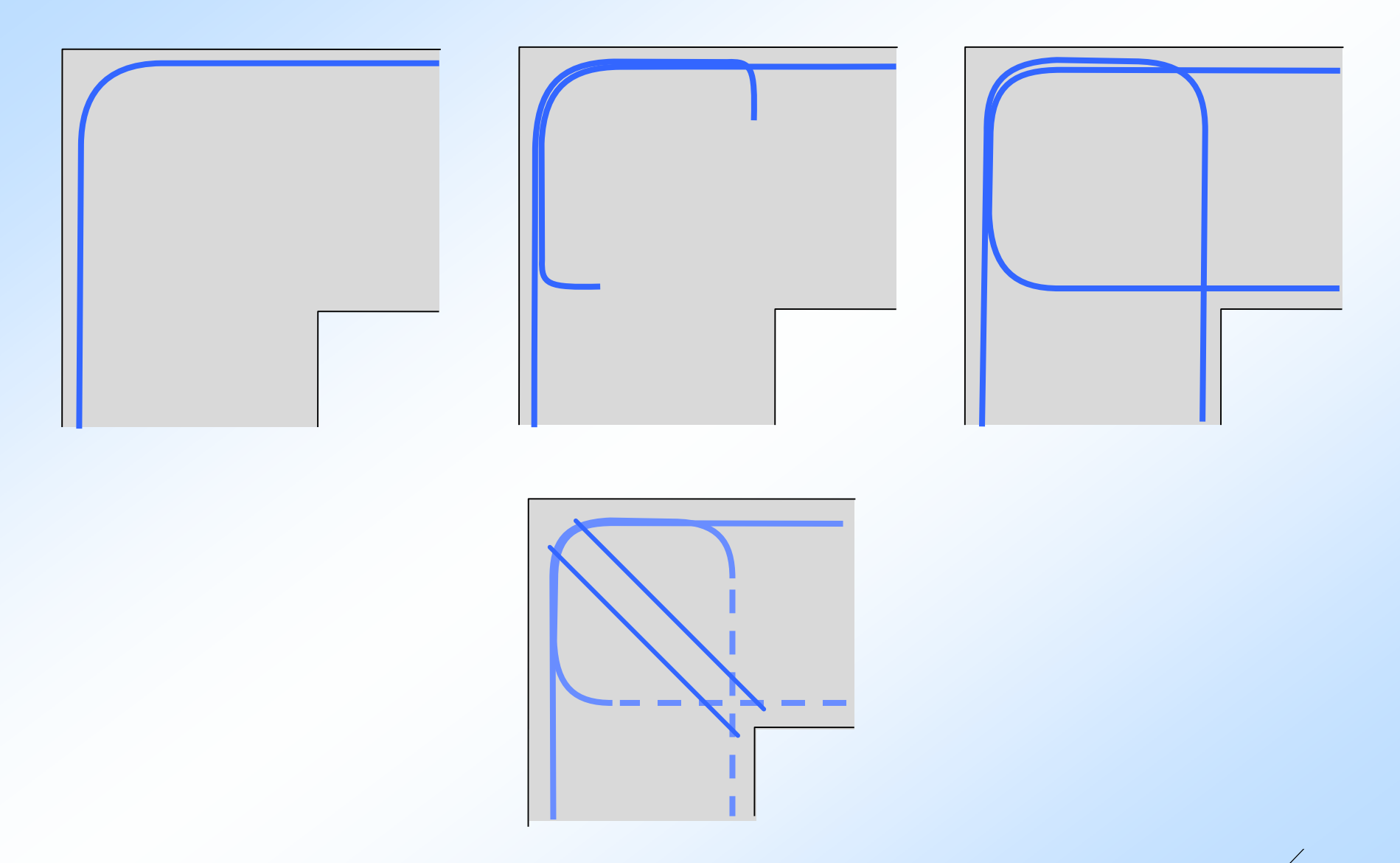
Mindestwerte der Biegerollendurchmesser für Haken, Winkelhaken, Schlaufen, Bügel		Mindestwerte der Biegerollendurchmesser für Schrägstäbe oder andere gebogene Stäbe		
Stabdurchmesser mm		Mindestwerte der Betondeckung rechtwinklig zur Biegeebene		
<i>φ</i> < 20	<i>φ</i> ≥ 20	> 100 mm	> 50 mm	≤ 50 mm
		und > 7ϕ	und > 3ϕ	oder ≤ 3 <i>φ</i>
4ϕ	7ϕ	10ϕ	15 <i>φ</i>	20ϕ

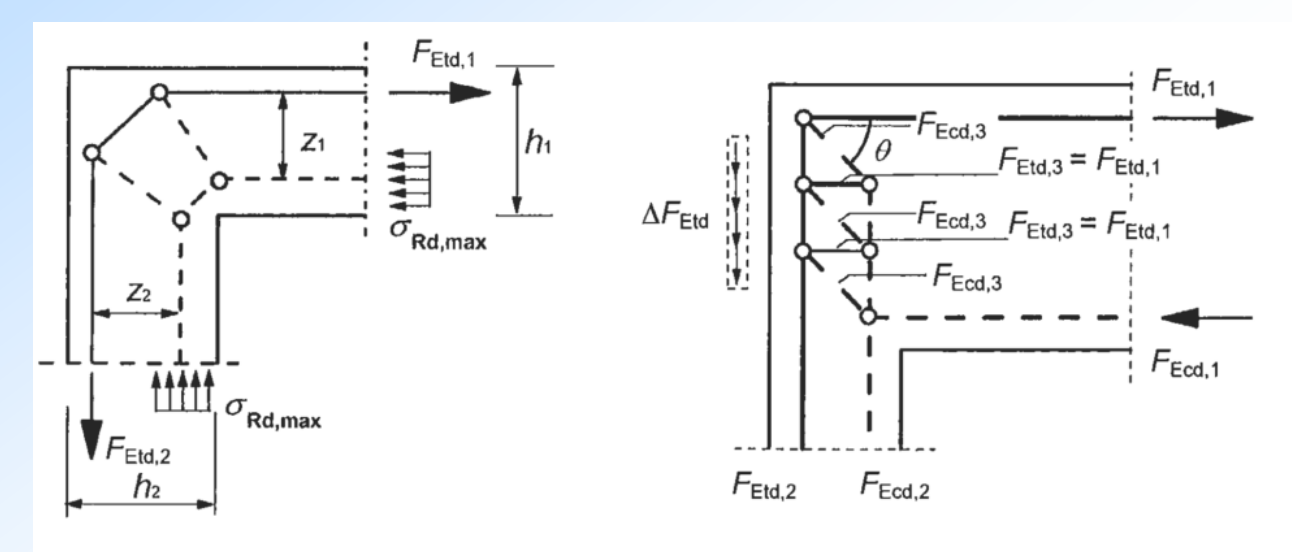
b) für nach dem Schweißen gebogene Bewehrung (Stäbe und Matten)

Quelle:

DIN EN 1992-1-1/NA:2011-01

Bewehrungsführung für Rahmenecken plattenförmiger Bauteile







Hinweis: Anhang J.2 und J.3 von EC2 sind in Deutschland nicht zugelassen

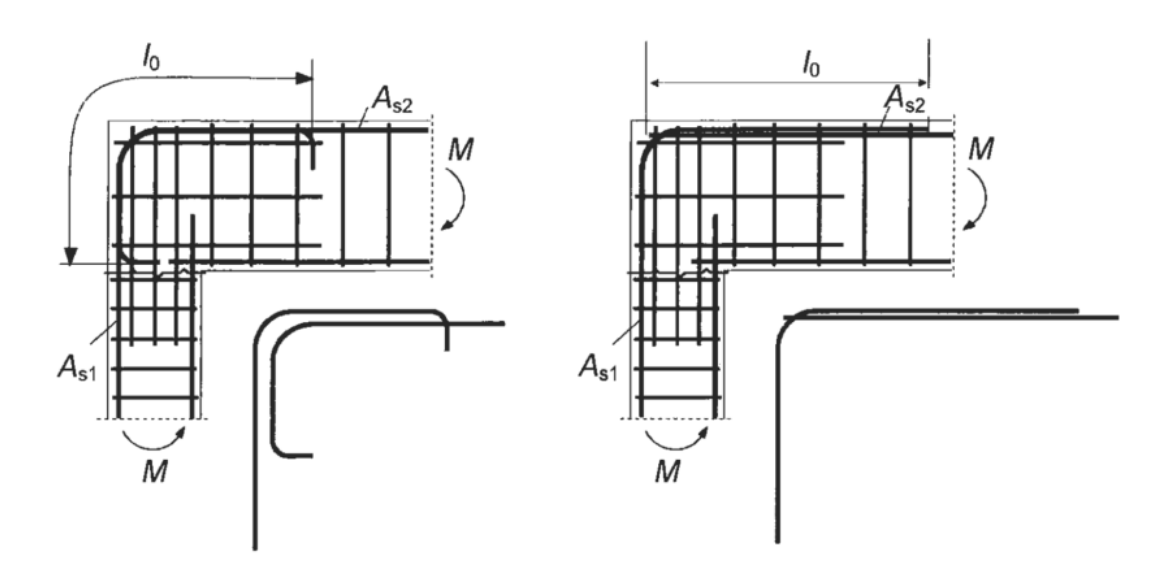
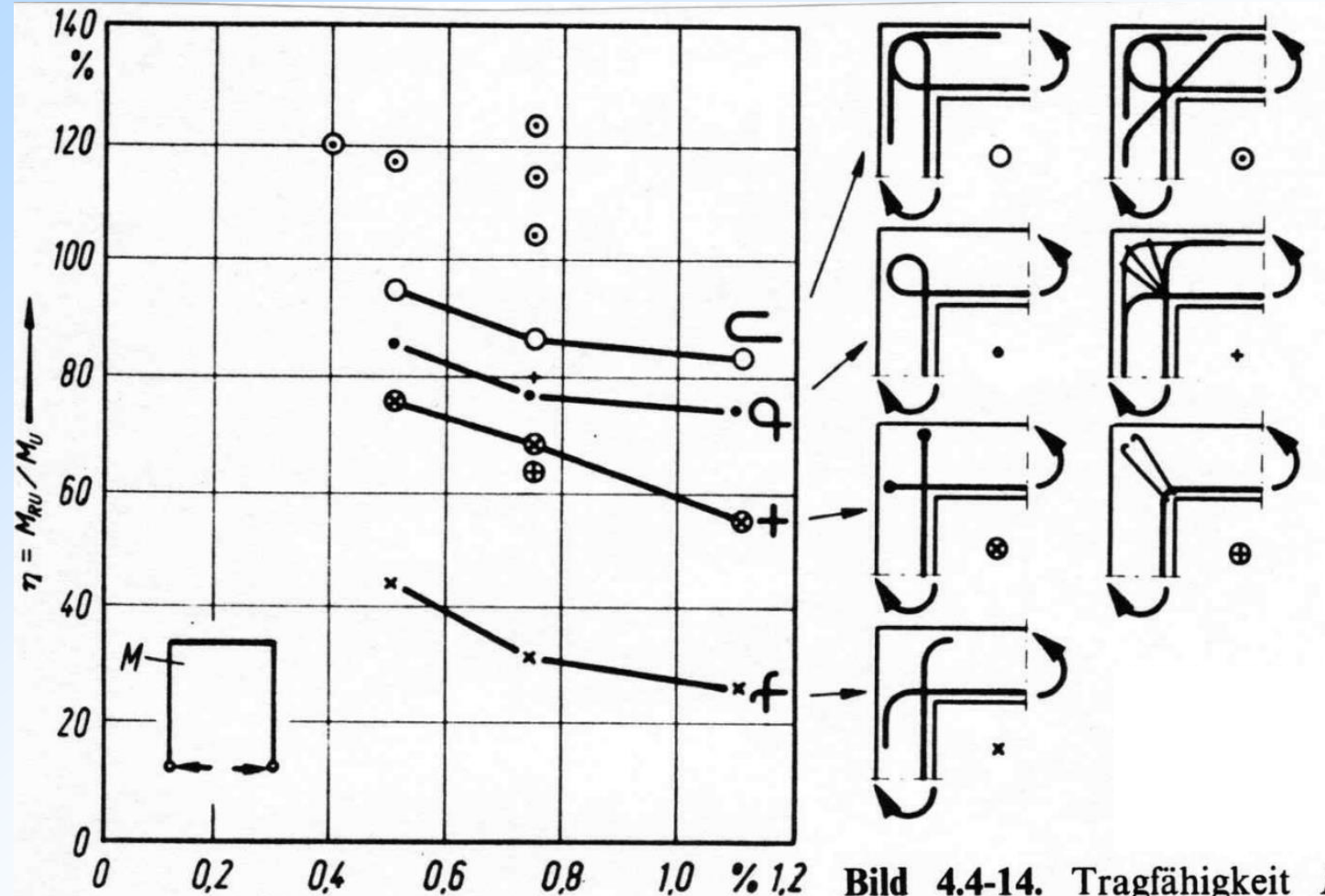


Bild HJ-1 – Rahmenecken bei negativer Momentenbeanspruchung oben: Stabwerkmodelle für Rahmenecke mit $h_1/h_2 < 1,5$ (links) und $h_1/h_2 > 1,5$ (rechts) unten: Bewehrungsführung

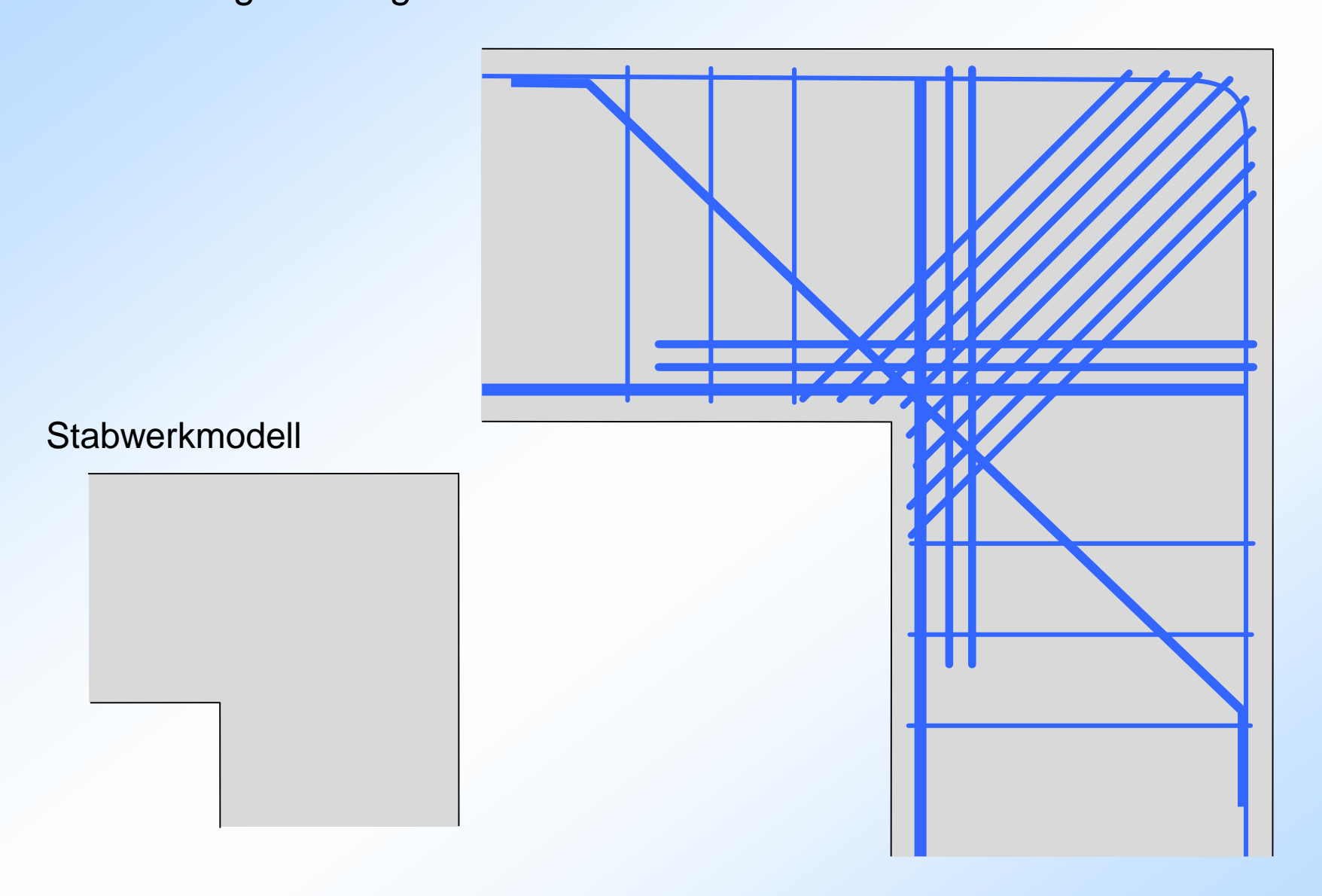
4.2 Rahmenecken mit sich öffnendem Moment



Versuche von Ingvar H. E. Nilsson

Schlaich, J.; Schäfer, K.: Konstruieren im Stahlbetonbau in : Betonkalender 1993, Teil II, Ernst und Sohn Bild 4.4-14. Tragfähigkeit M_{RU} bezogen auf das rechnerische Bruchmoment M_U des schwächeren Rahmenschenkels von Rahmenecken mit verschiedenen Bewehrungsarten bei positivem Moment, abhängig vom Bewehrungsprozentsatz bei BSt 420 S und B 25 [4.18]

Bewehrungsführung für sich öffnende Rahmenecken



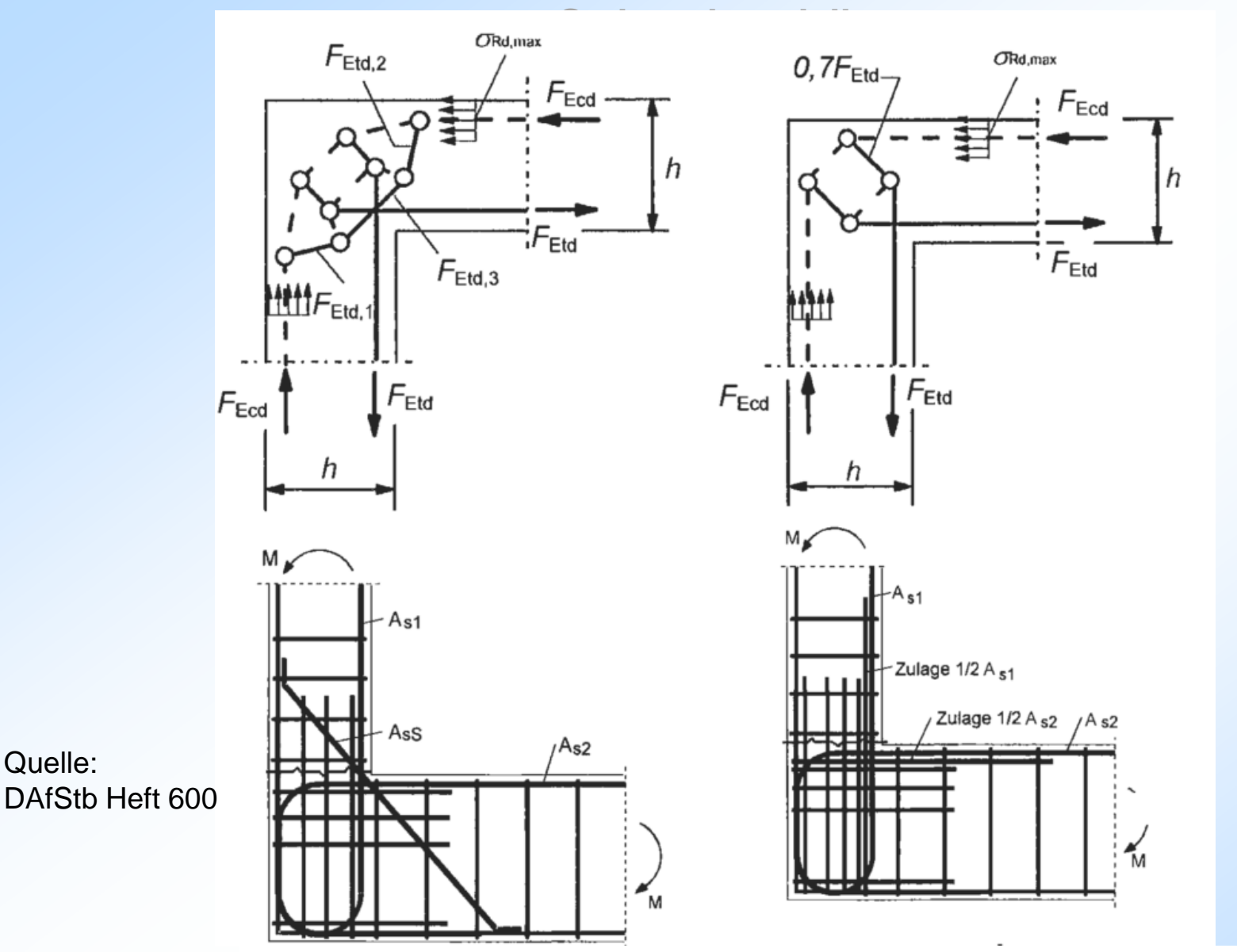
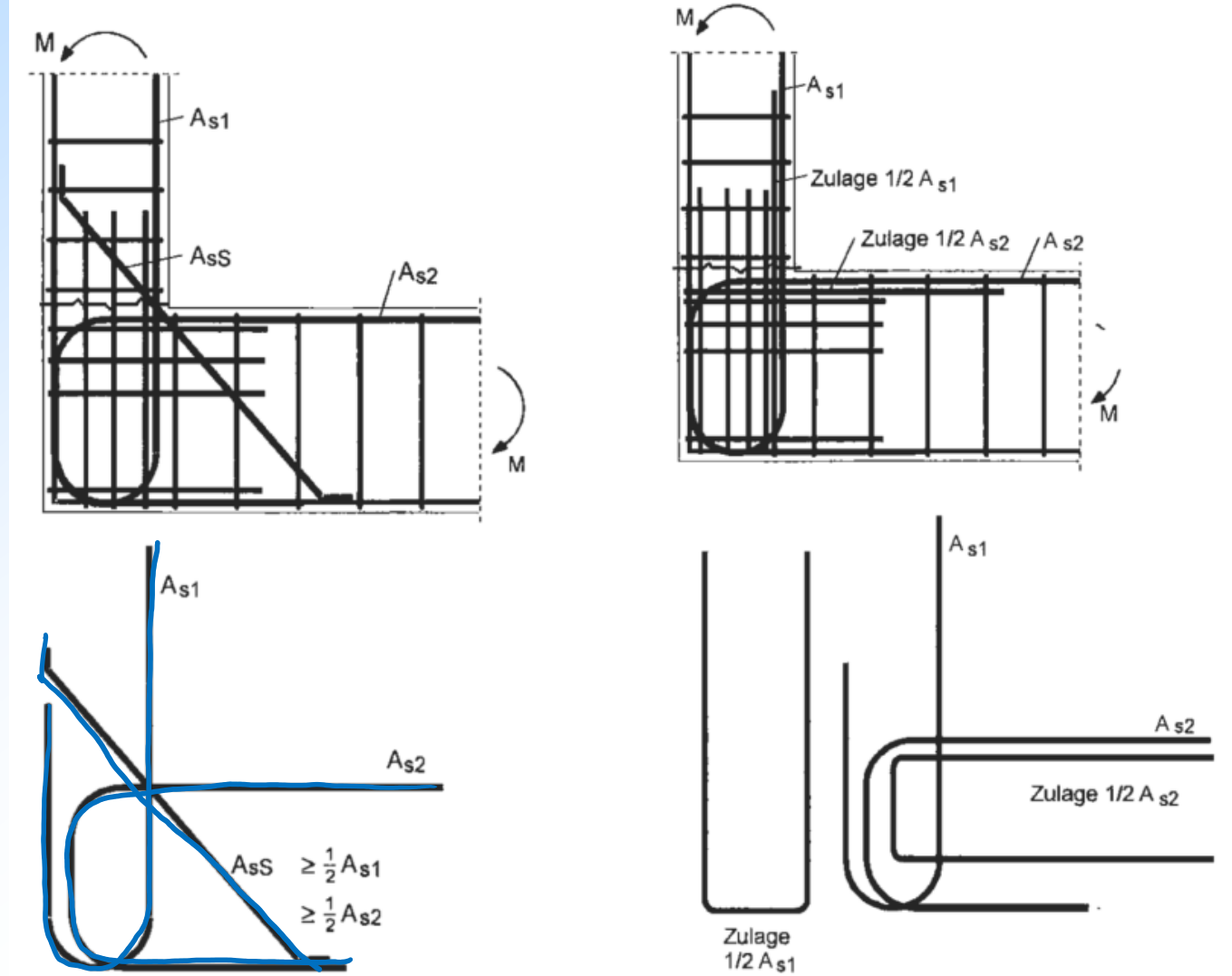


Bild HJ-3 – hochbeanspruchte Rahmenecken bei positiver Momentenbeanspruchung: oben: Stabwerkmodell mit Schrägbewehrung (links) und orthogonalem Bewehrungsnetz (rechts); unten: Bewehrungsführung mit Schrägbewehrung (links) und mit erhöhter Zugbewehrung (rechts)

Quelle:



Quelle: DAfStb Heft 600

Bild HJ-3 – hochbeanspruchte Rahmenecken bei positiver Momentenbeanspruchung: oben: Stabwerkmodell mit Schrägbewehrung (links) und orthogonalem Bewehrungsnetz (rechts); unten: Bewehrungsführung mit Schrägbewehrung (links) und mit erhöhter Zugbewehrung (rechts)

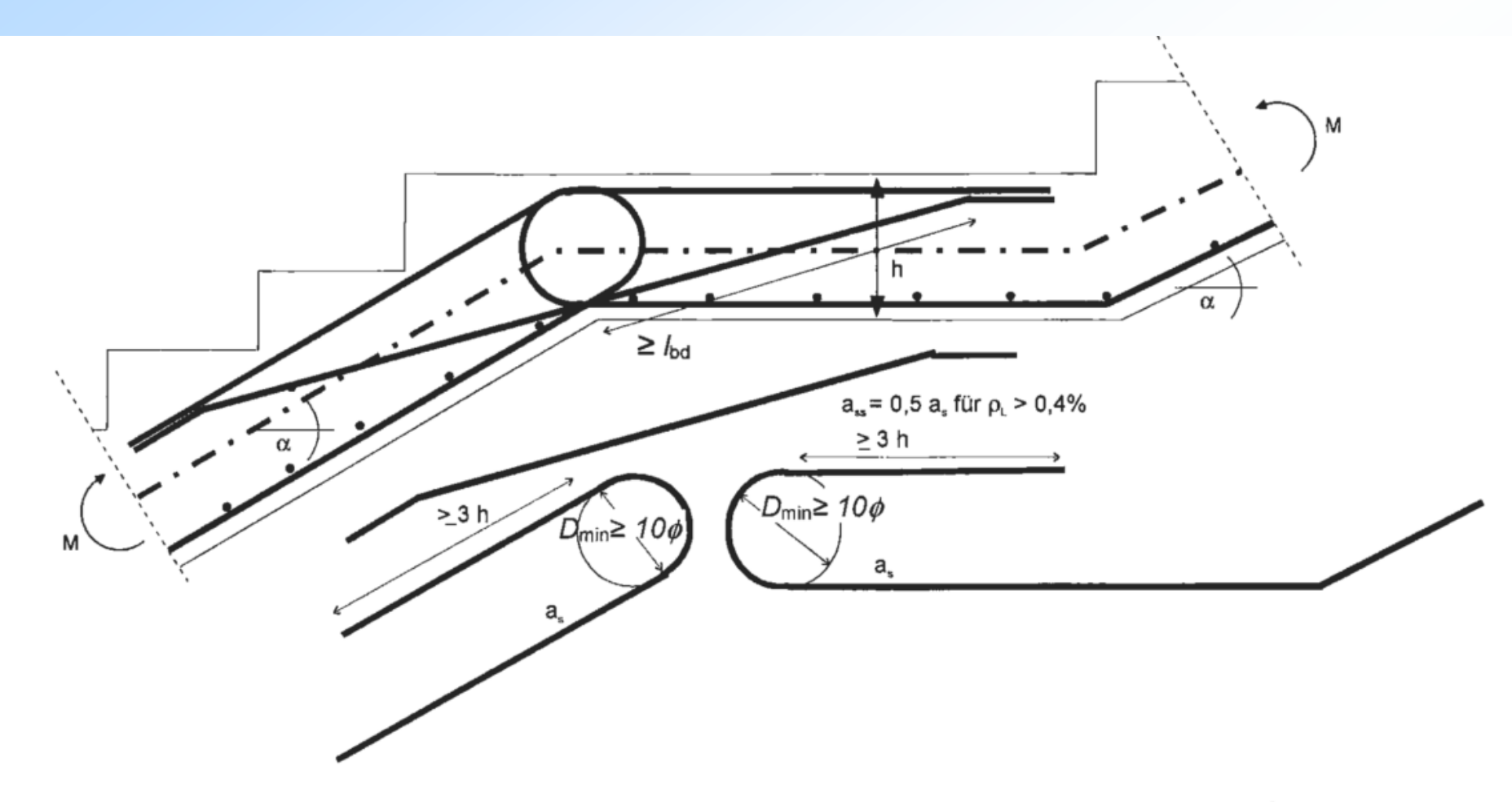
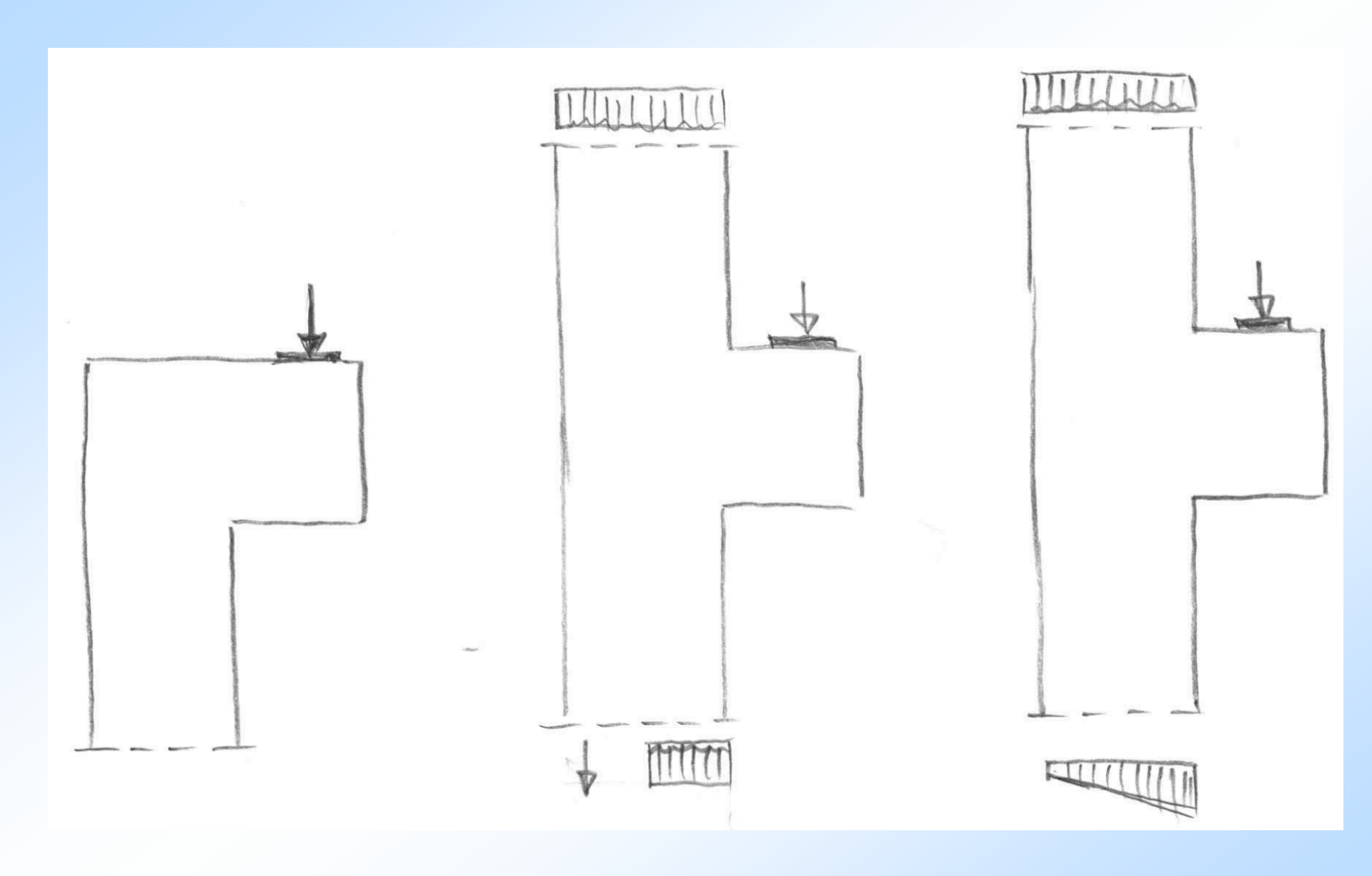
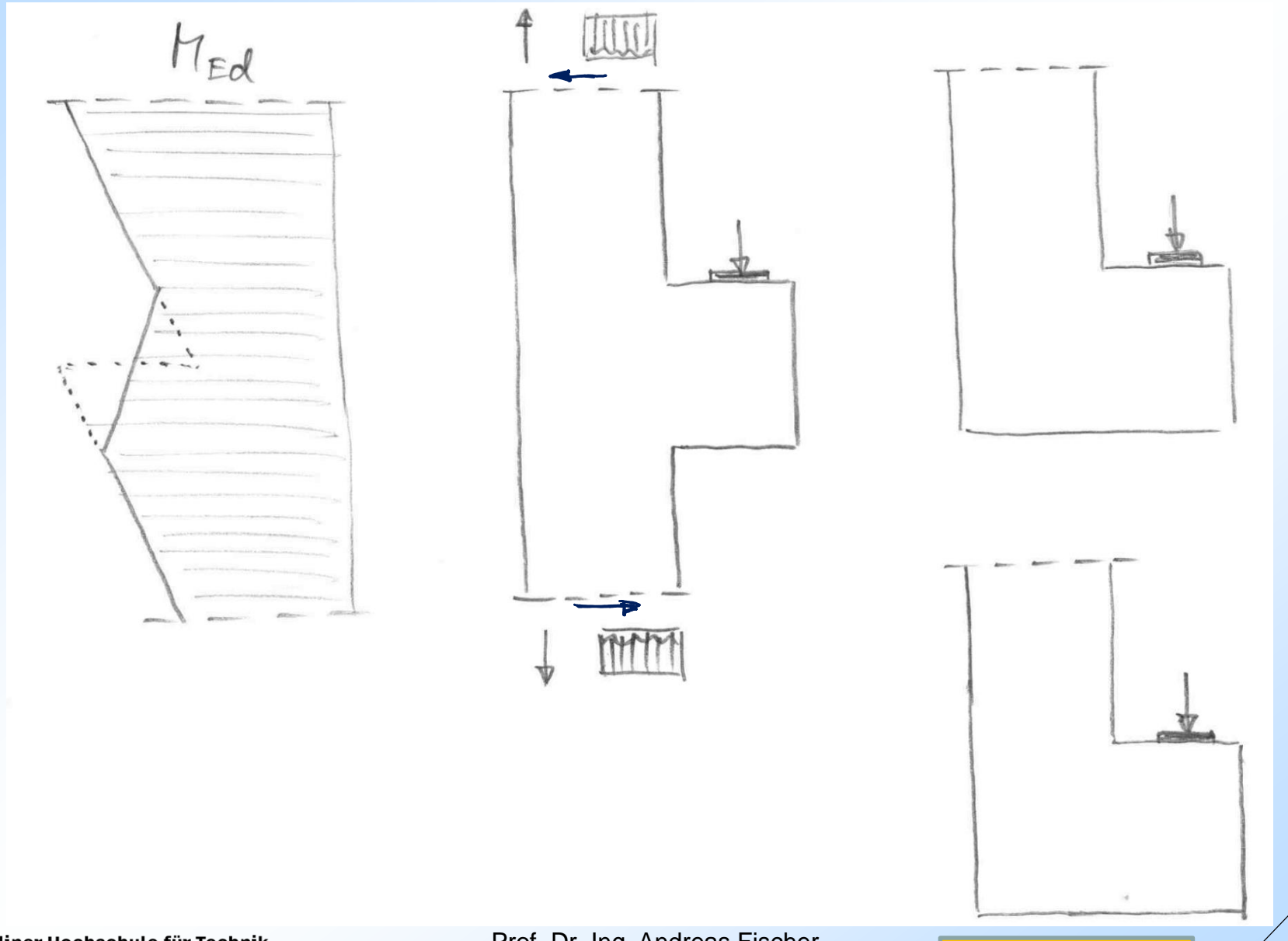


Bild HJ-4 – Beispiel für die Bewehrungsführung eines Treppenzwischenpodestes

Quelle:

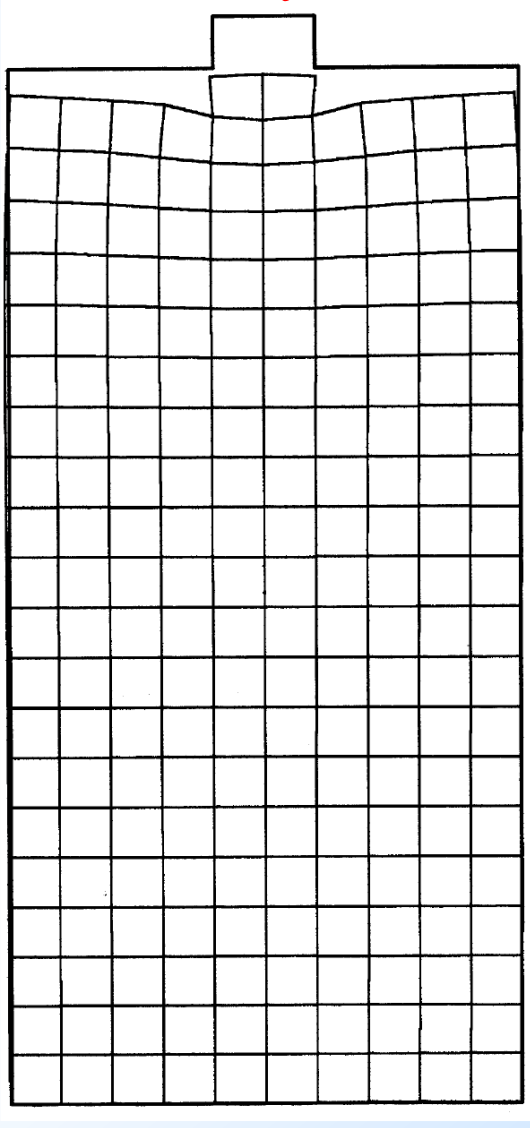
DAfStb Heft 600

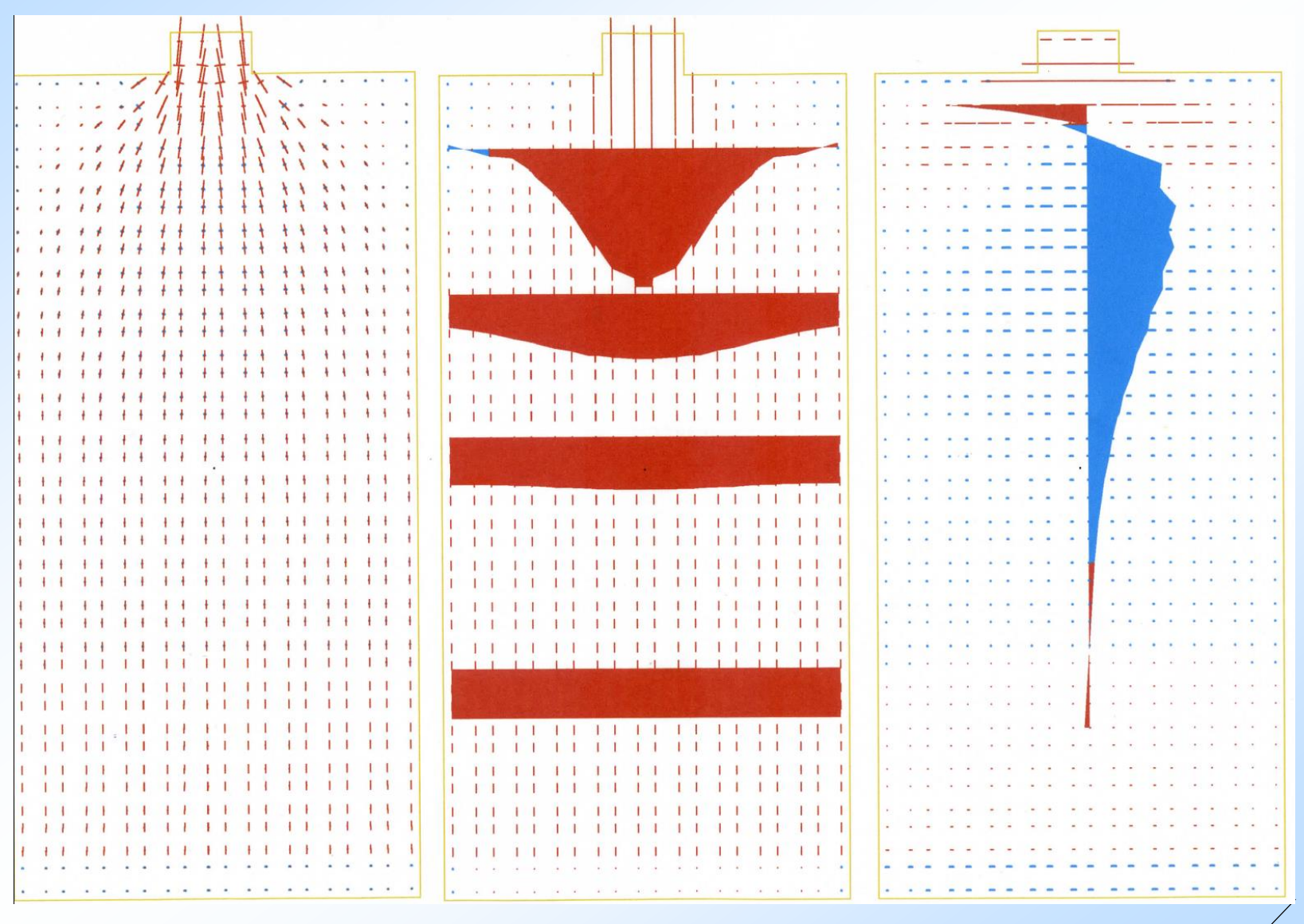


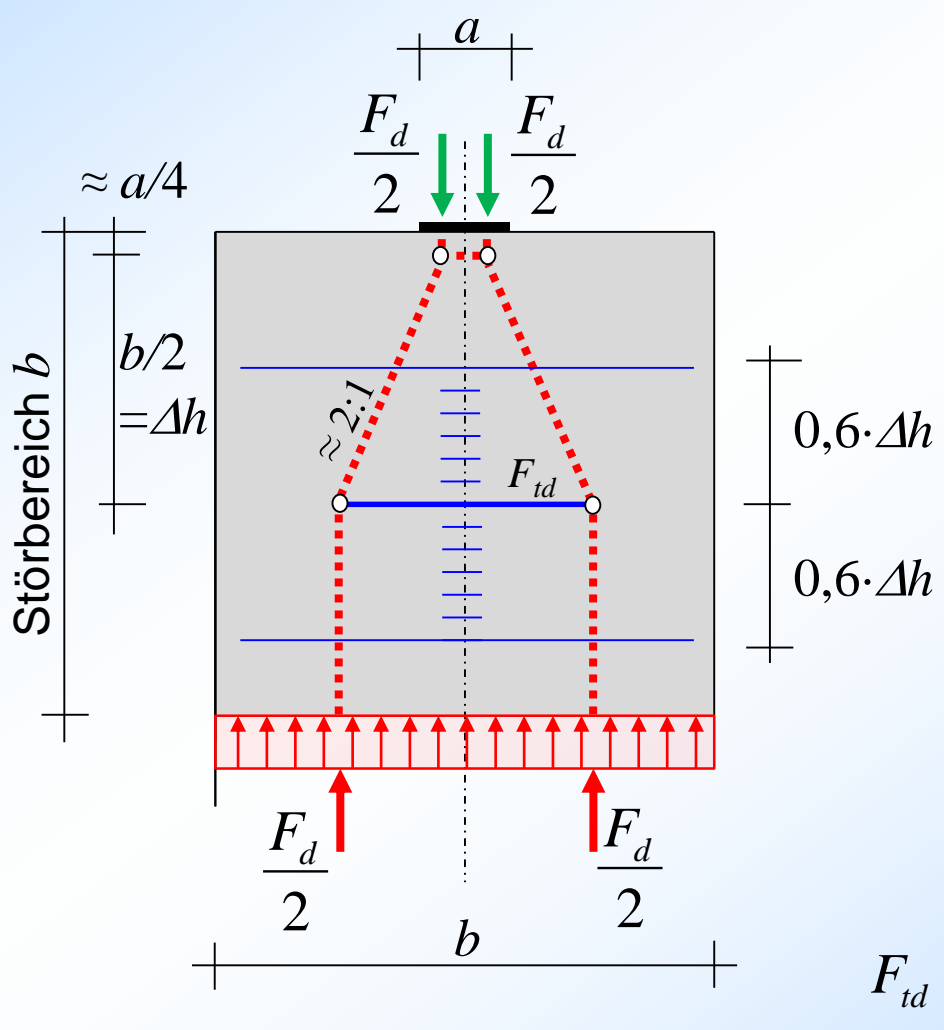


Lös.

5 Stabwerkmodelle für die Einleitung von Einzellasten und für wandartige Träger



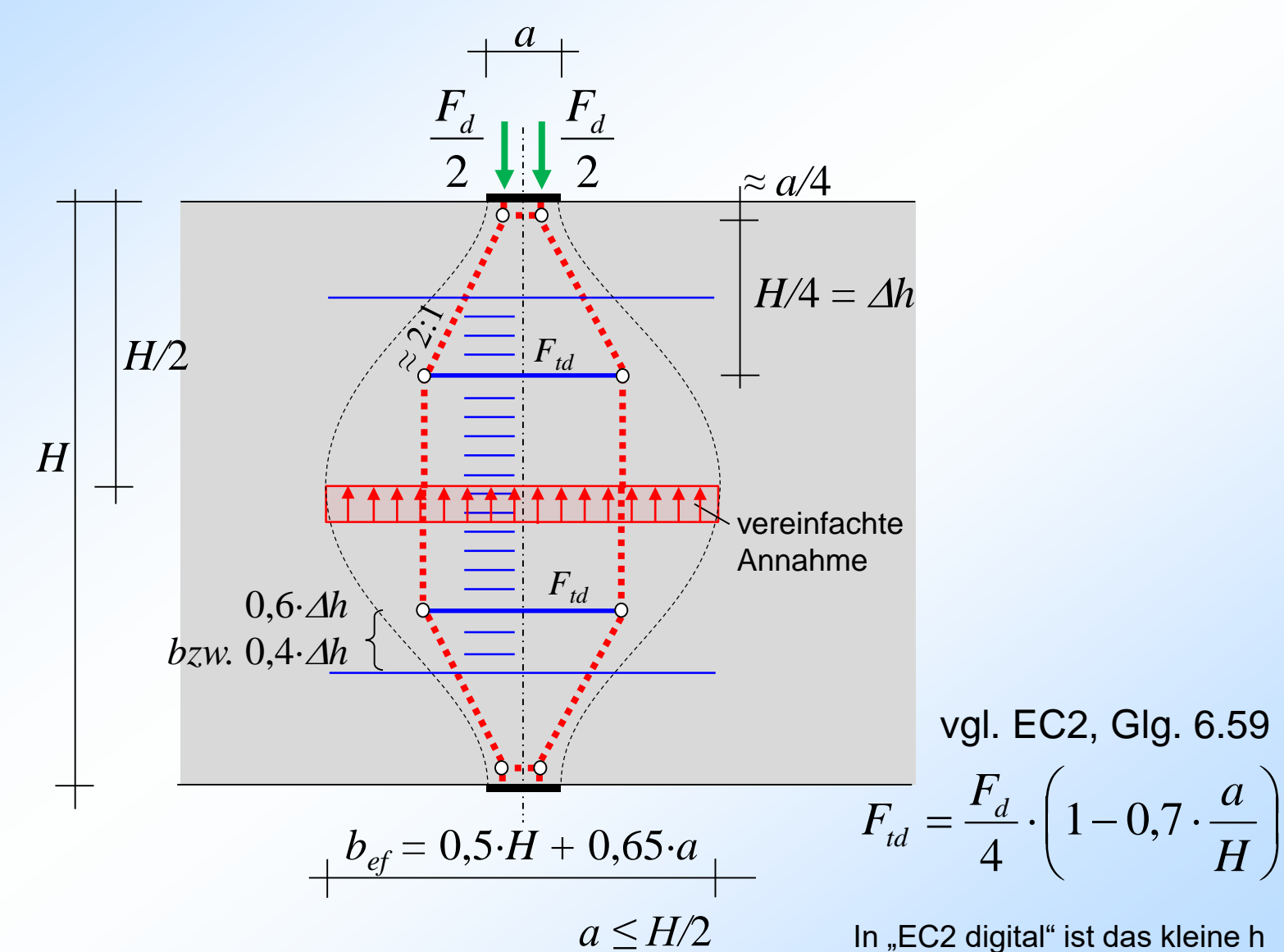




Nach Meinung des Verfassers kann eine ggf. flächig vorhandene Bewehrung auf je $0,6\cdot\Delta h$ angerechnet werden. Eine Zulagebew. sollte sich auf je $0,4\cdot\Delta h$ konzentrieren.

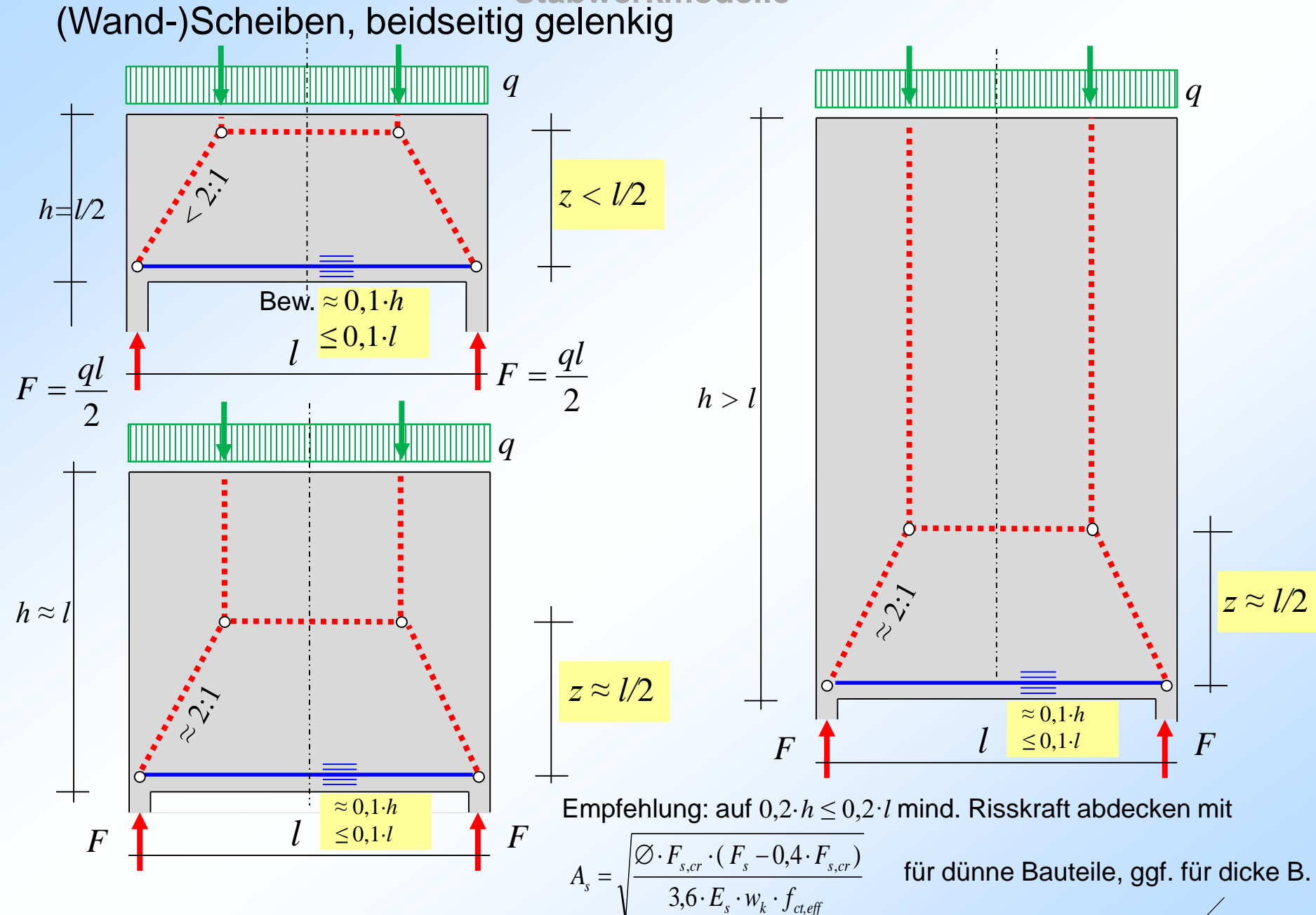
$$F_{td} = \frac{F_d}{4} \cdot \left(1 - \frac{a}{b}\right)$$

vgl. EC2, Glg. 6.58

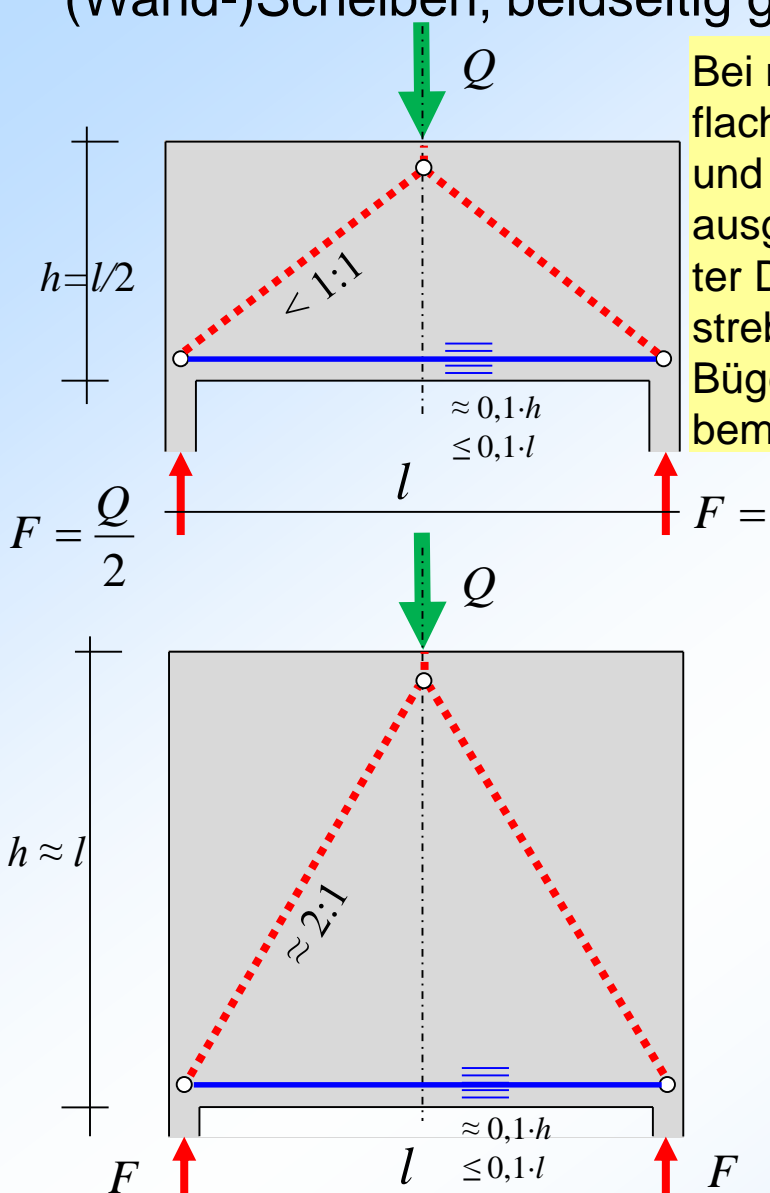


Prof. Dr.-Ing. Andreas Fischer

In "EC2 digital" ist das kleine h ein Druckfehler!

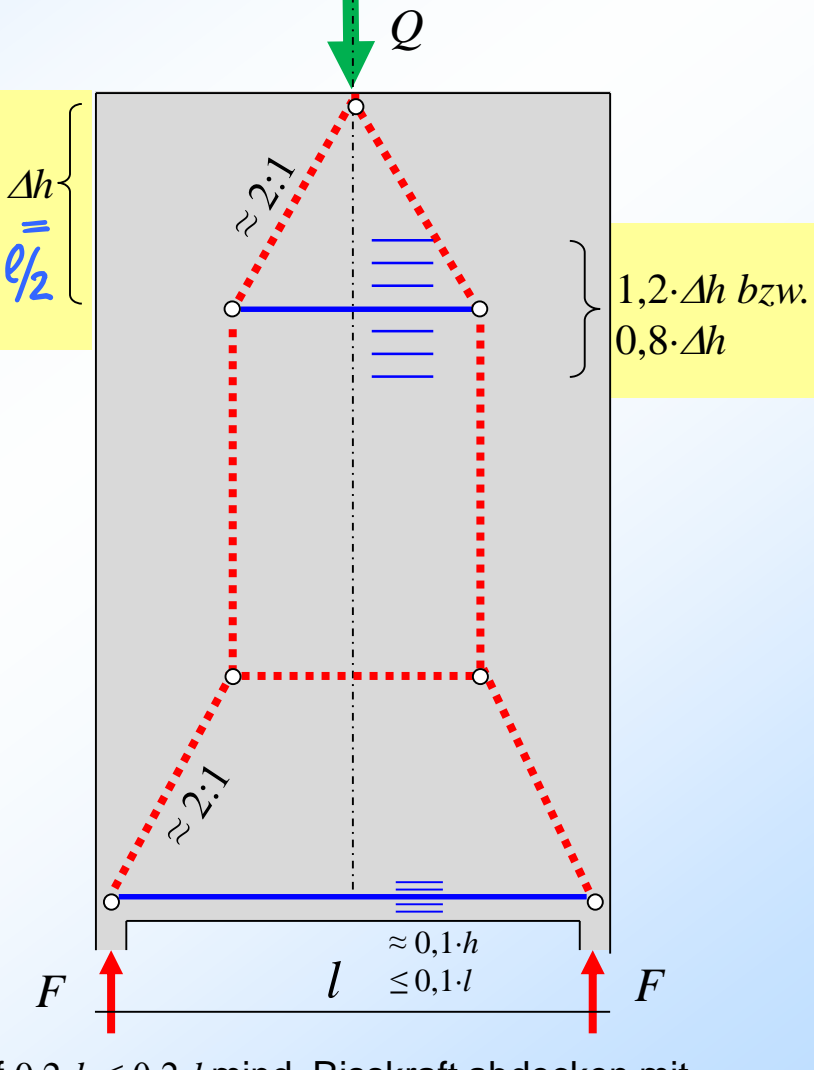


(Wand-)Scheiben, beidseitig gelenkig



Bei noch flacherer und hoch ausgenutzter Druckstrebe Bügel bemessen.

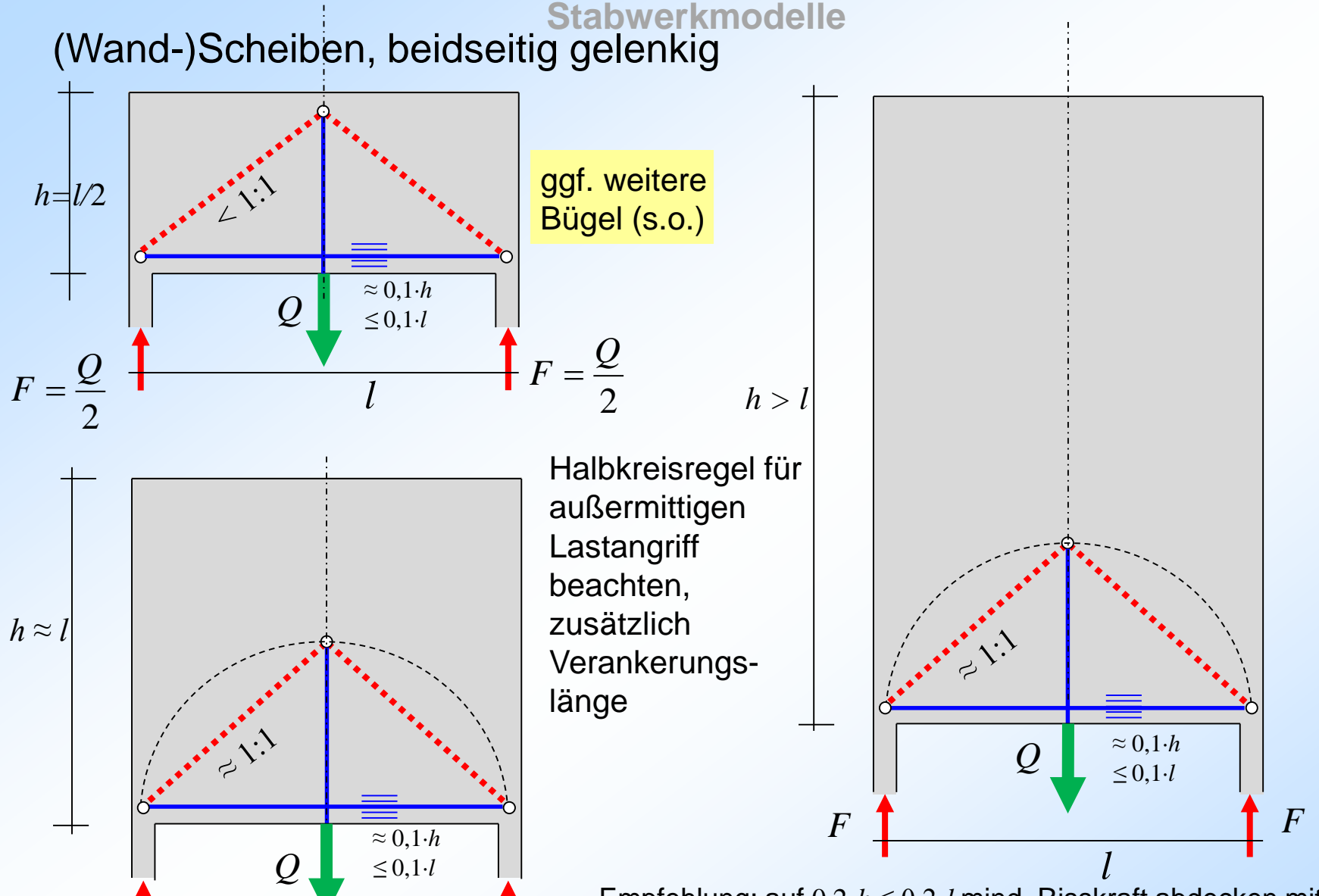
$$F = \frac{Q}{2} \qquad h > l$$



Empfehlung: auf $0.2 \cdot h \le 0.2 \cdot l$ mind. Risskraft abdecken mit

$$A_{s} = \sqrt{\frac{\varnothing \cdot F_{s,cr} \cdot (F_{s} - 0.4 \cdot F_{s,cr})}{3.6 \cdot E_{s} \cdot w_{k} \cdot f_{ct,eff}}}$$

für dünne Bauteile, ggf. für dicke B.



Empfehlung: auf $0.2 \cdot h \le 0.2 \cdot l$ mind. Risskraft abdecken mit

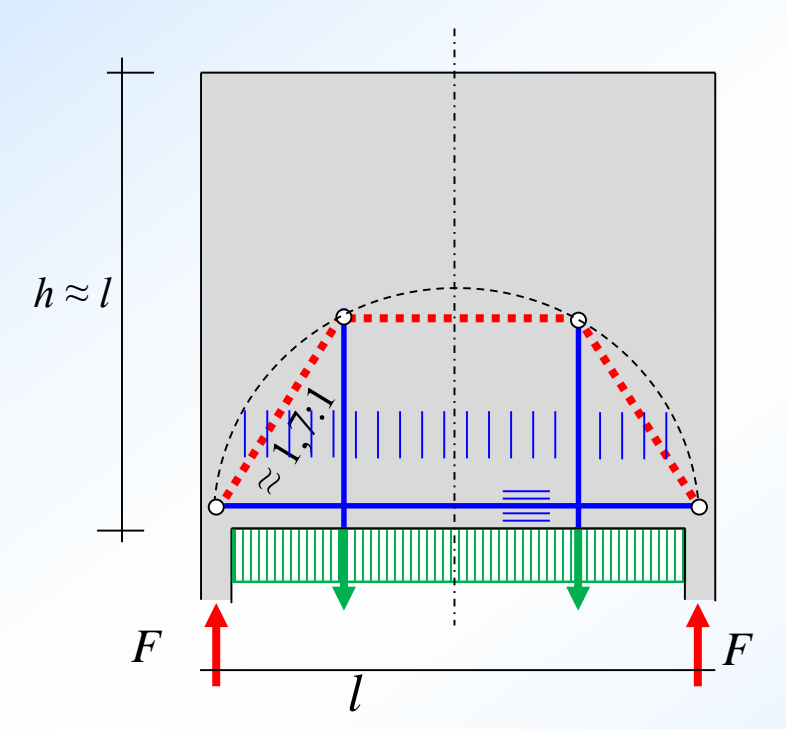
$$A_{s} = \sqrt{\frac{\varnothing \cdot F_{s,cr} \cdot (F_{s} - 0.4 \cdot F_{s,cr})}{3.6 \cdot E_{s} \cdot w_{k} \cdot f_{ct,eff}}}$$

Prof. Dr.-Ing. Andreas Fischer

für dünne Bauteile, ggf. für dicke B.

F

(Wand-)Scheiben, beidseitig gelenkig



Empfehlung: auf $0.2 \cdot h \le 0.2 \cdot l$ mind. Risskraft abdecken mit

$$A_s = \sqrt{\frac{\varnothing \cdot F_{s,cr} \cdot (F_s - 0.4 \cdot F_{s,cr})}{3.6 \cdot E_s \cdot w_k \cdot f_{ct,eff}}}$$
 für dünne Bauteile, ggf. für dicke B.

Halbkreisregel beachten, zusätzlich Verankerungslänge

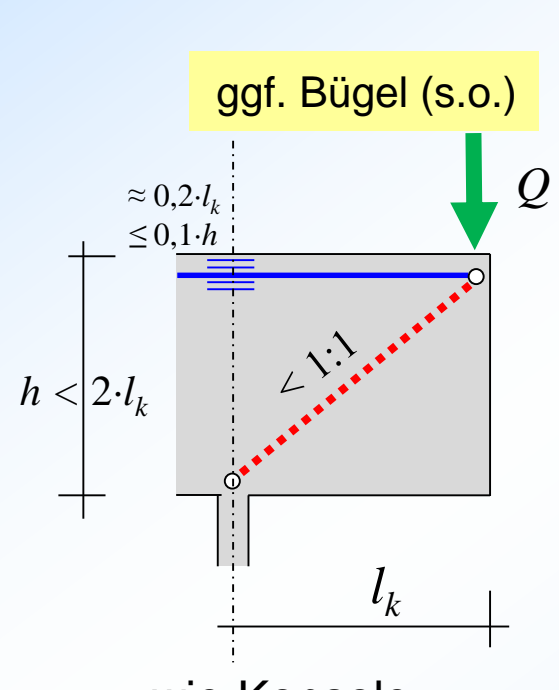
Auch im Halbkreis angeordnete Lasten müssen hochgehangen und oberhalb des Halbkreises verankert werden.

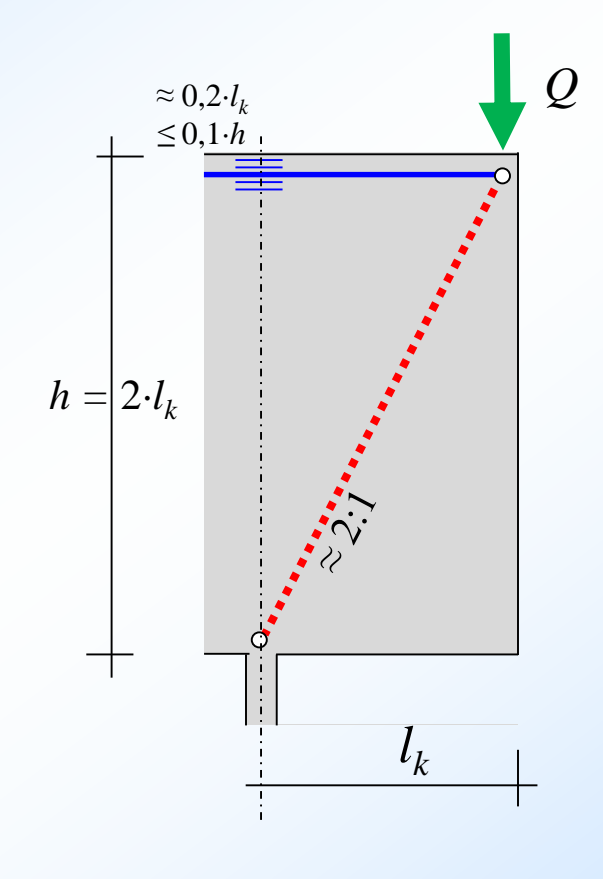
Auskragende (Wand-)Scheiben

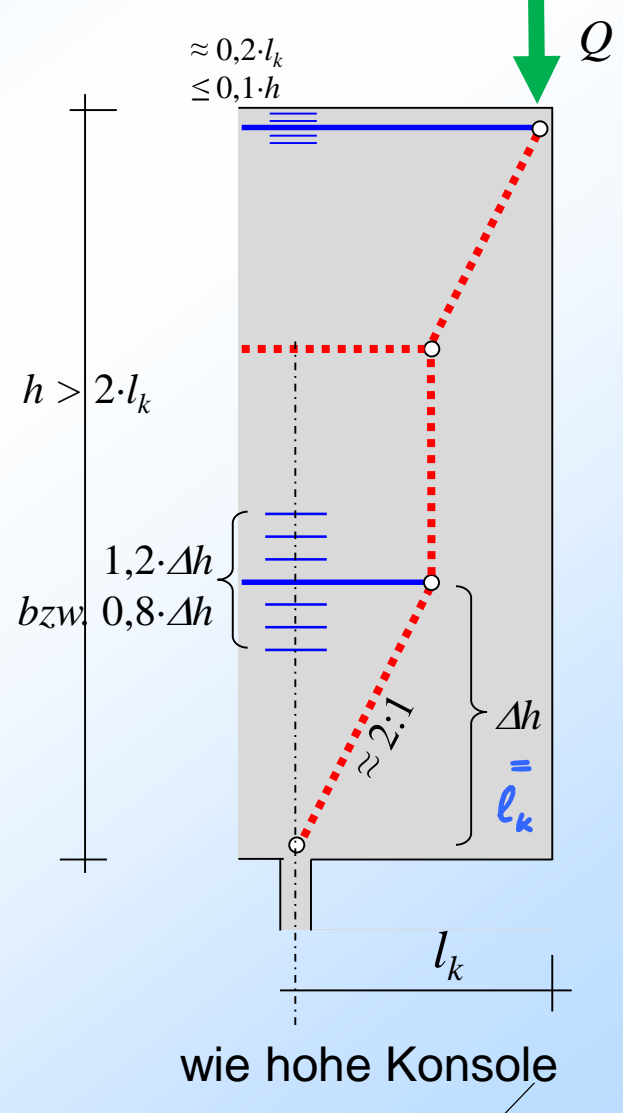
Empfehlung: auf $0.4 \cdot l_k \le 0.2 \cdot h$ mind. Risskraft abdecken mit

$$A_{s} = \sqrt{\frac{\varnothing \cdot F_{s,cr} \cdot (F_{s} - 0.4 \cdot F_{s,cr})}{3.6 \cdot E_{s} \cdot w_{k} \cdot f_{ct,eff}}}$$

für dünne Bauteile, ggf. für dicke B.

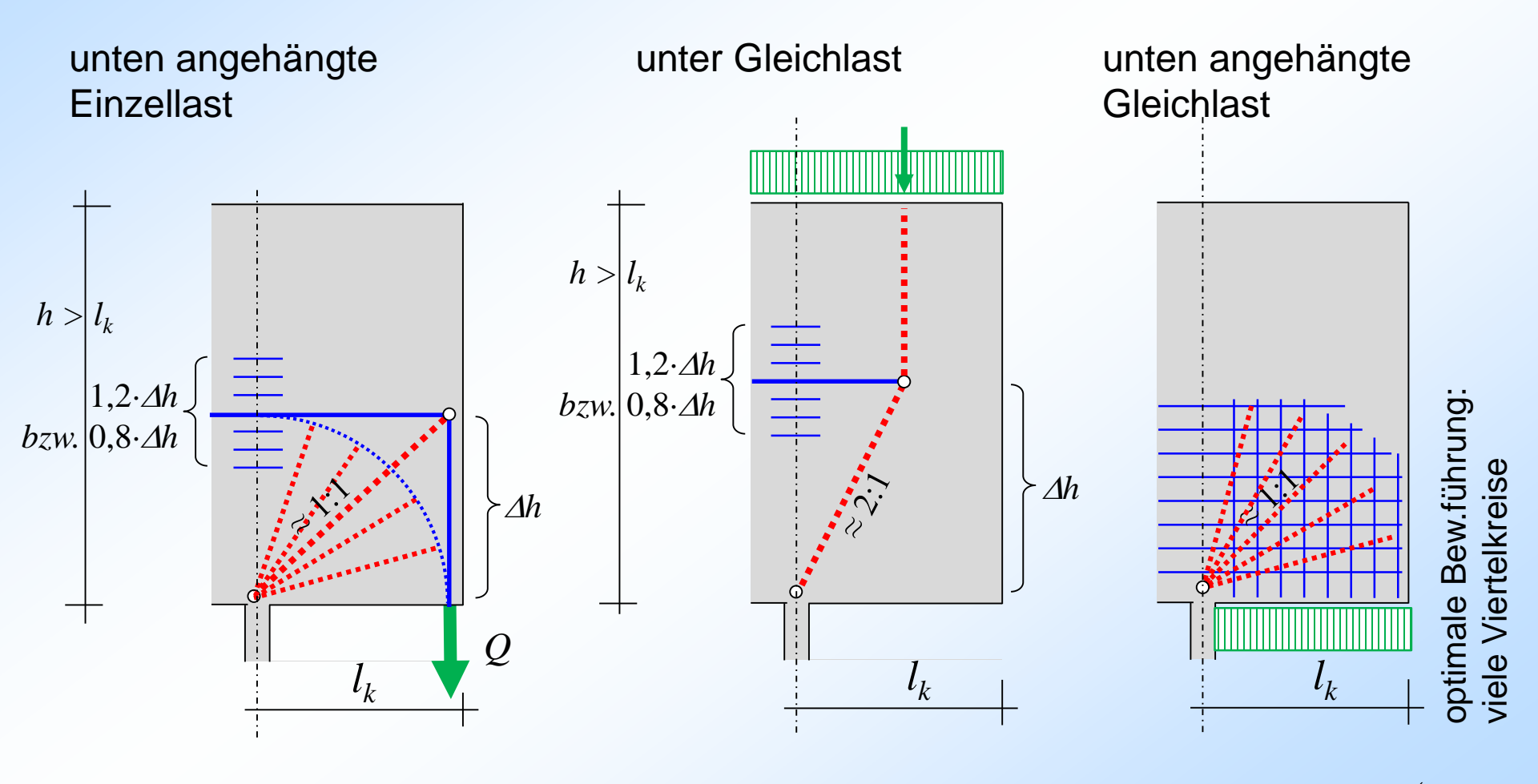






wie Konsole

Auskragende (Wand-)Scheiben



Bemessung und Konstruktion Wandartiger Träger (Scheiben), EC2, 9.7

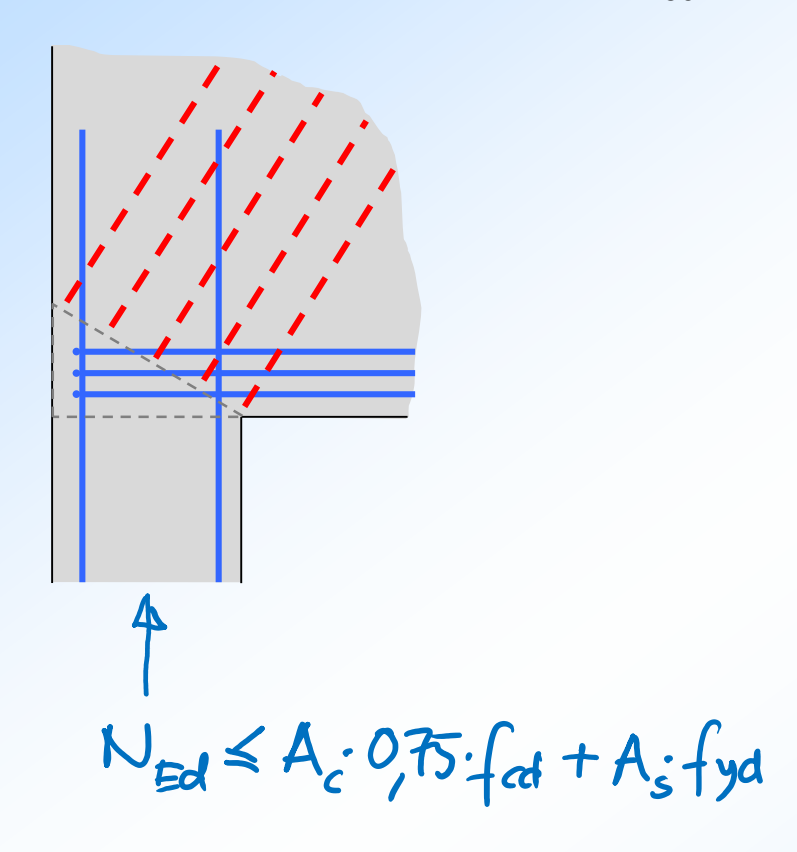
- Def. Wandartiger Träger, EC2, 5.3.1 (3): I < 3.h
- Mindestdicke nach Tab. NA 9.3: 10 (durch laufende Banker)
 12 cm für stat. best. Systeme, #2 cm für stat. unbest. Systeme
- Mindestbew.: 0,075% von A_c je Richtung und Seite, mind. 1,5 cm²/m
- Stababstand < 2fache Wanddicke, höchstens 30 cm

Die Kippgefahr ist zu beachten, wenn Druckränder nicht durch z.B. Decken seitlich gehalten sind.

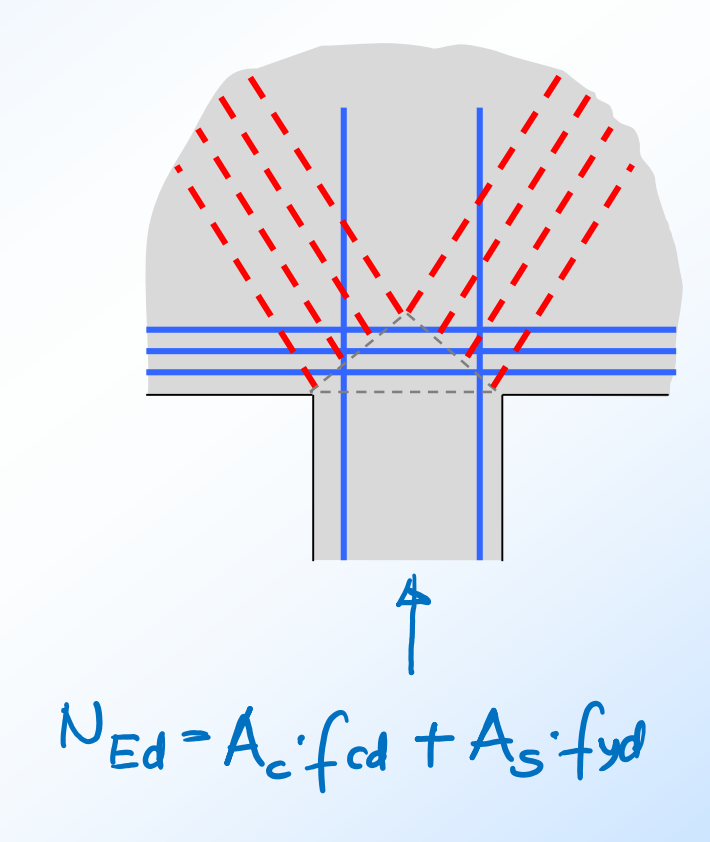
Nachweise: Knotennachweise an Auflagern oder an Einleitungsstellen konzentrierter Kräfte. Eine Bemessung für Querkräfte ist nicht erforderlich.

Auflagerknoten

Druck-Zug-Knoten → 0,75-f_{cd}

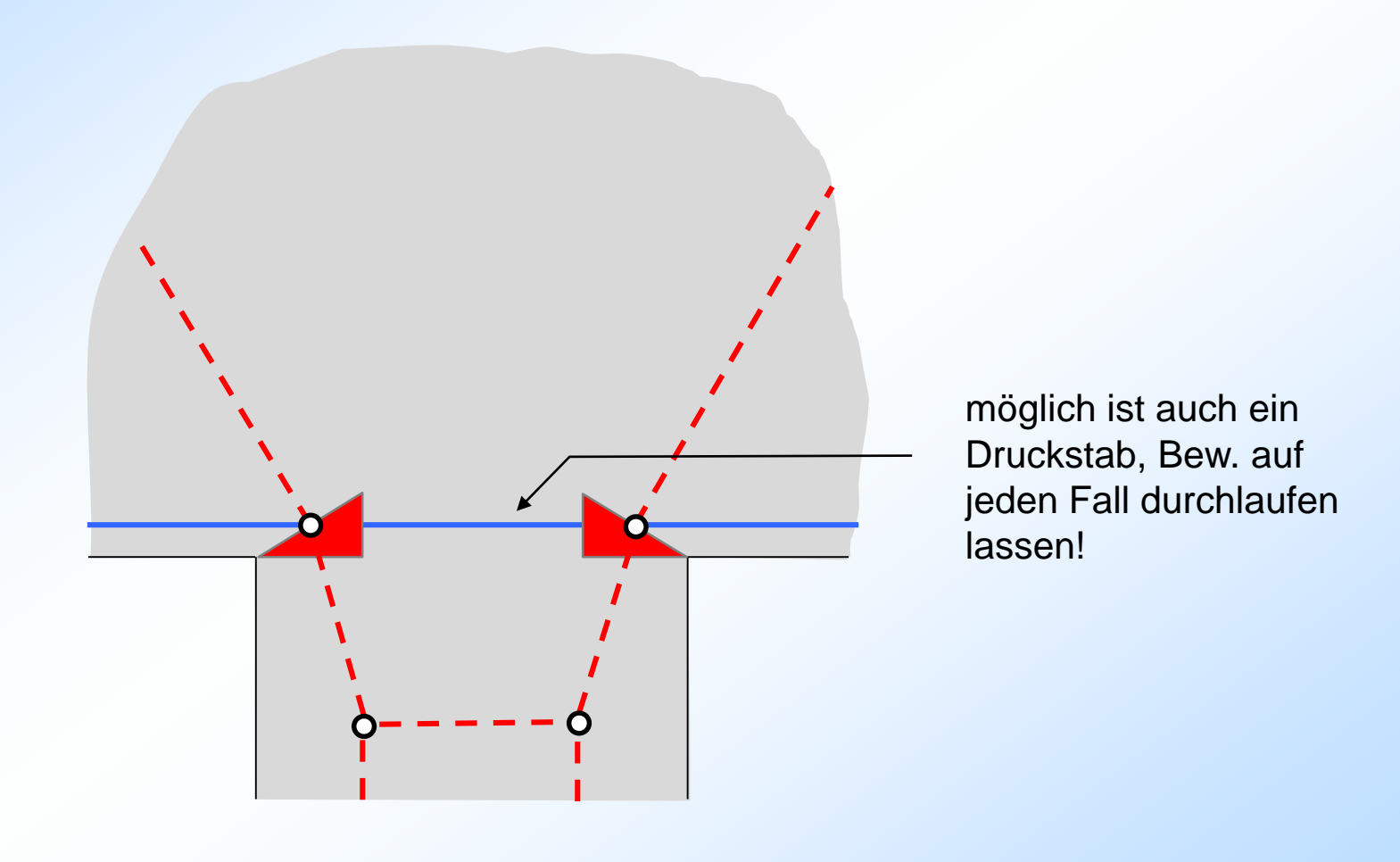


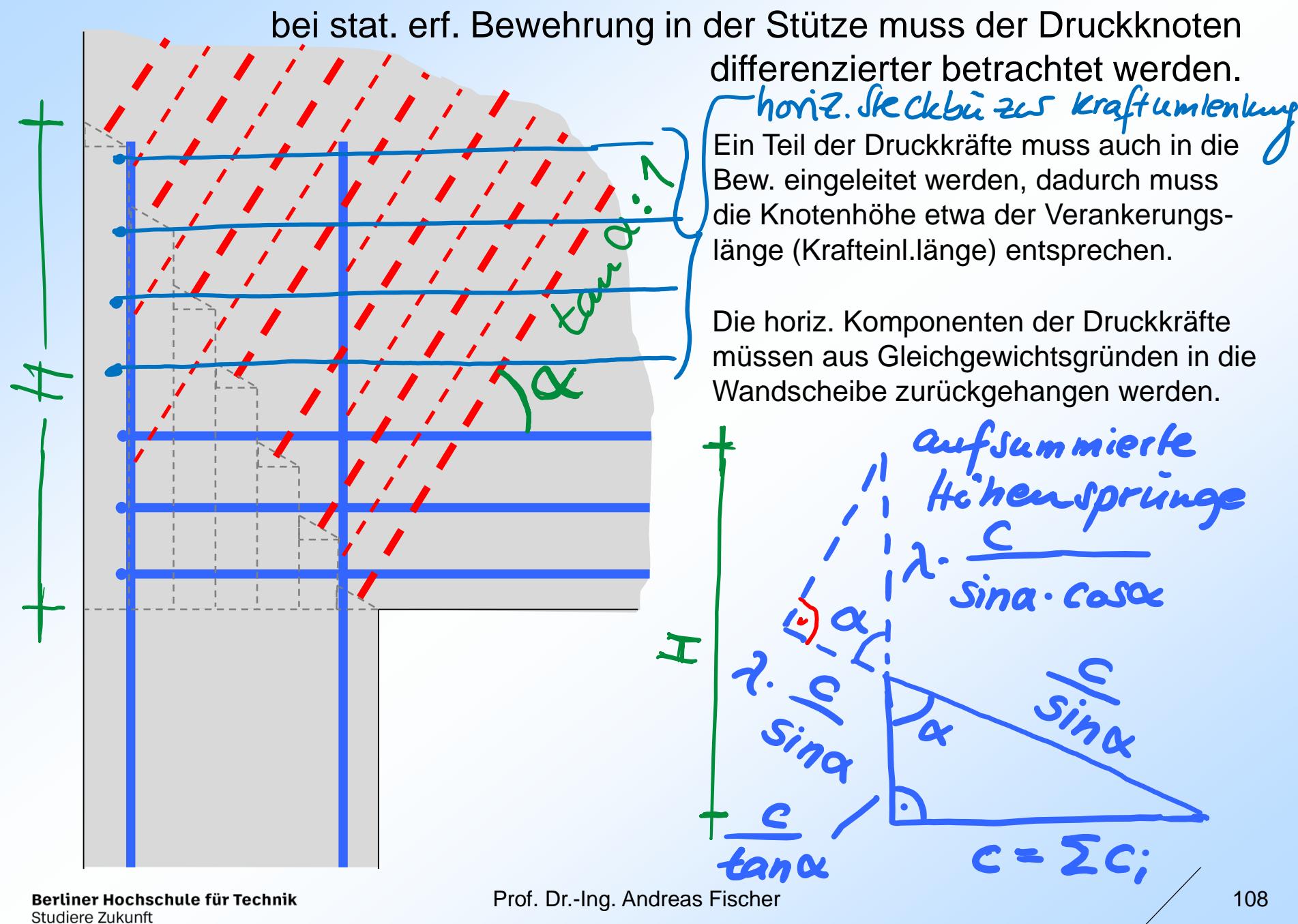
reiner Druckknoten → 1,0-f_{cd}



bei starker Bew. der Stütze und/oder des horiz. Zugbandes Abminderung auf 0,9-f_{cd} empfohlen

Bei breiten Auflagern ist eine Anpassung der Stabwerksgeometrie entsprechend der Kontenausbildung möglich



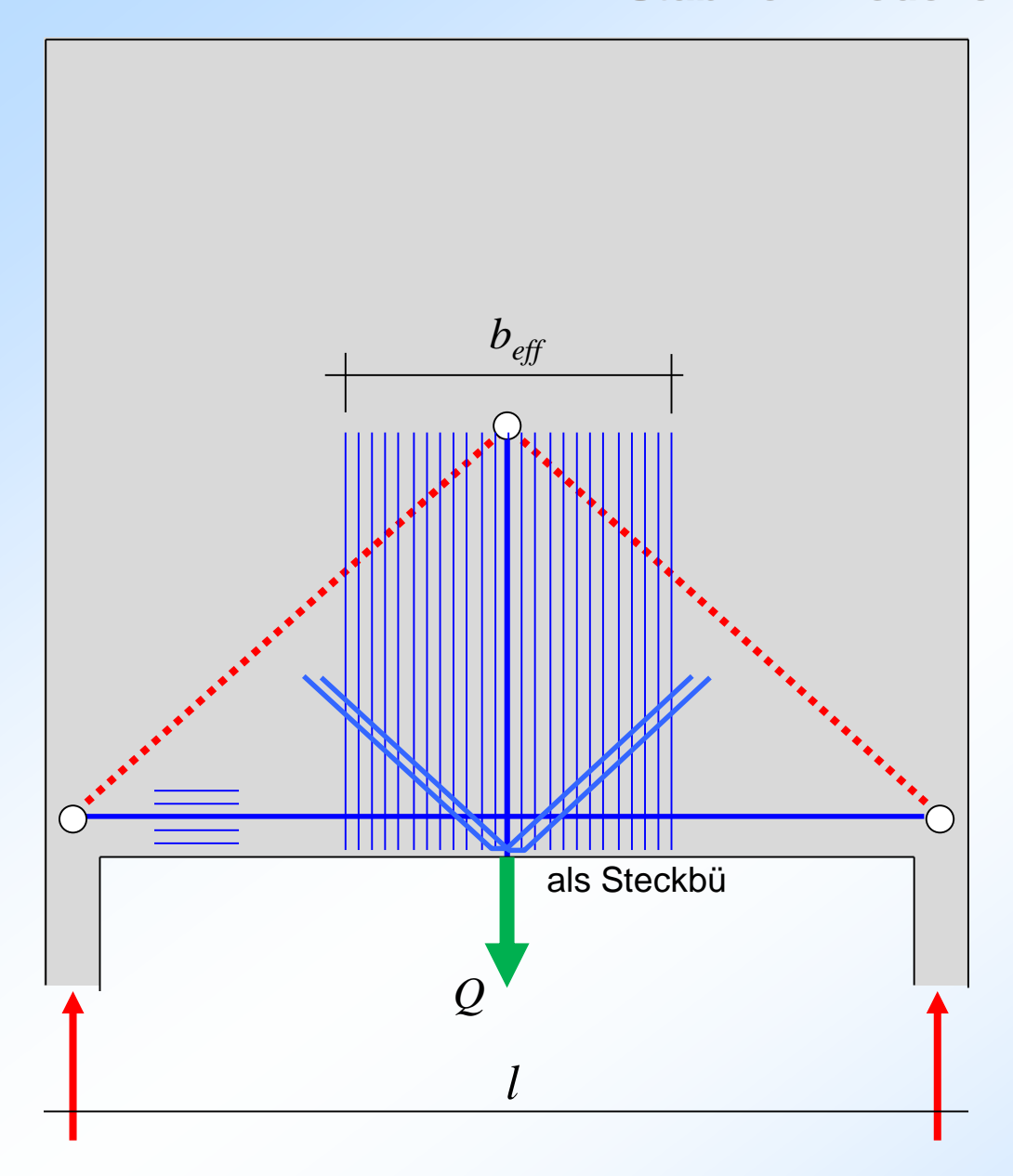


erf. Gesamthohe
$$H = \frac{C}{\tan \alpha} + \frac{\lambda \cdot C}{\sin \alpha \cdot \cos \alpha}$$

für 2:1 $H = \left(\frac{1}{2} + 25 \cdot \lambda\right) \cdot C$
für 1:1 $H = \left(\frac{1}{1} + 20 \cdot \lambda\right) \cdot C$

mind. jedoch $H = \frac{C}{\tan \alpha} + Verankerungslänge$ der vert. Bew.

λ: proz. Kraftanter, des nicht über den Beton allein abgetrage werden kamm. (des Anteil, des in Bas. eingeleitet werden umse)



Bei angehängten Einzellasten:

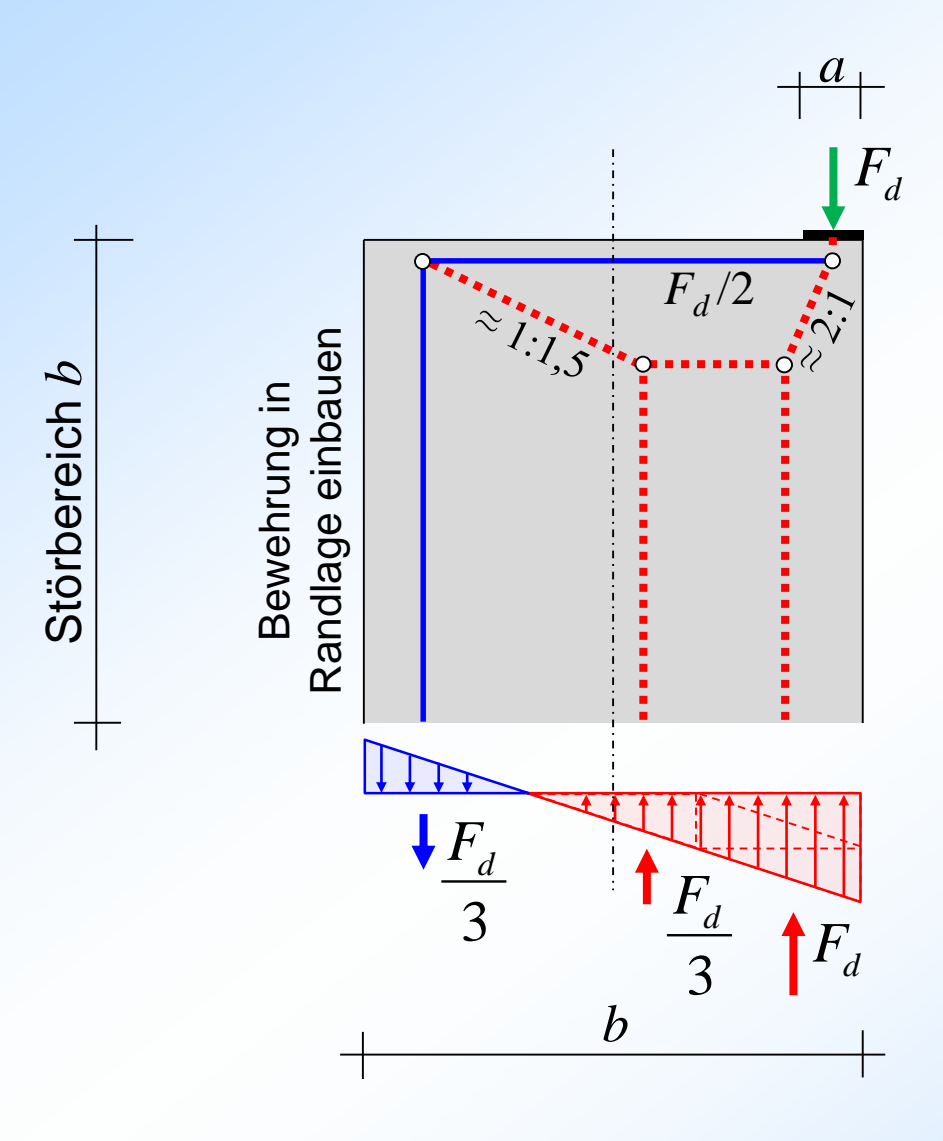
$$b_{eff} = \frac{Q_k}{f_{ctm} \cdot t}$$

t: Wanddicke

Zusätzlich sollte auf $b_{\it eff}$ eine Bewehrung für die Abdeckung der Risskraft angeordnet werden.

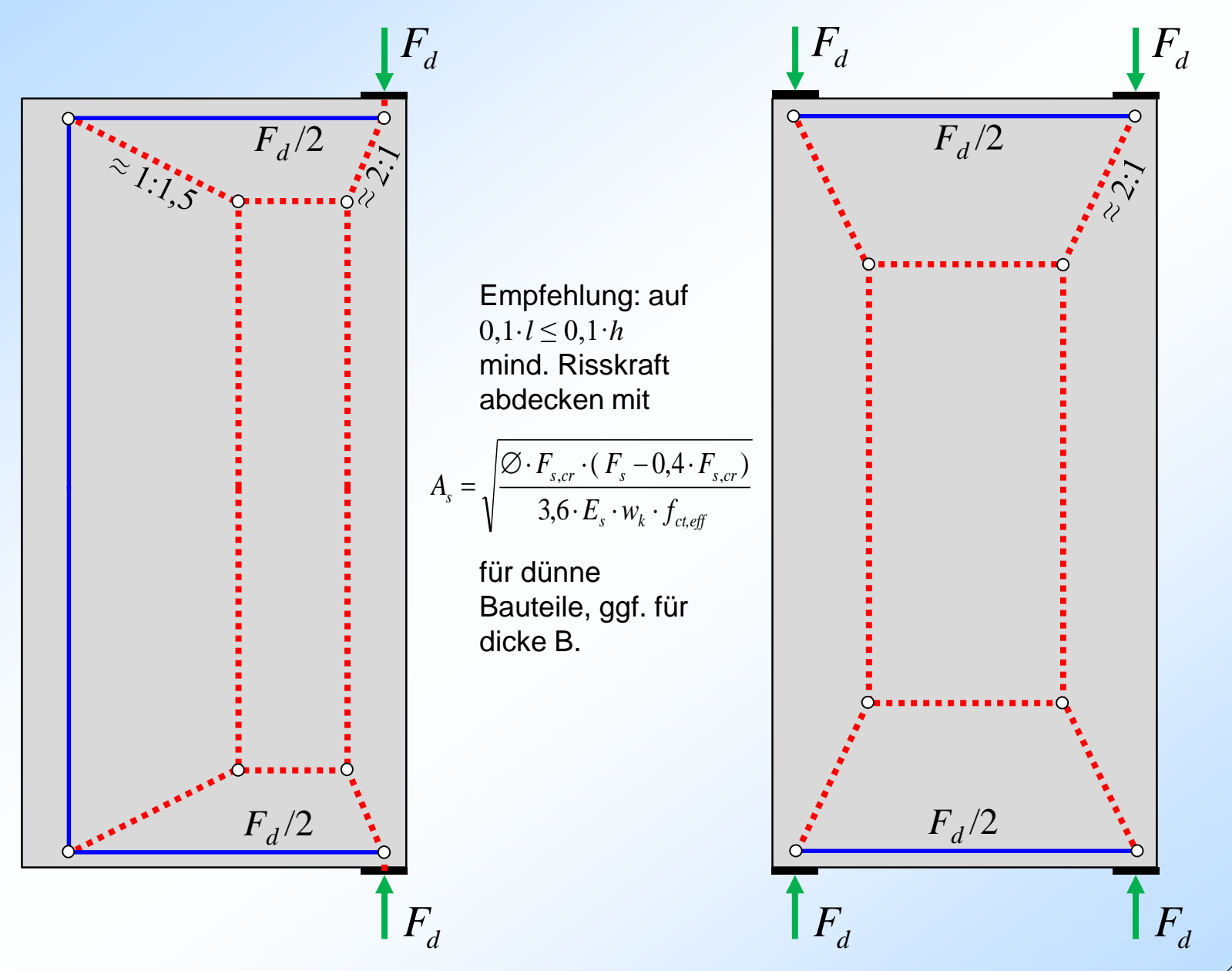
$$A_{s} = \sqrt{\frac{\varnothing \cdot F_{s,cr} \cdot (F_{s} - 0.4 \cdot F_{s,cr})}{3.6 \cdot E_{s} \cdot w_{k} \cdot f_{ct,eff}}}$$

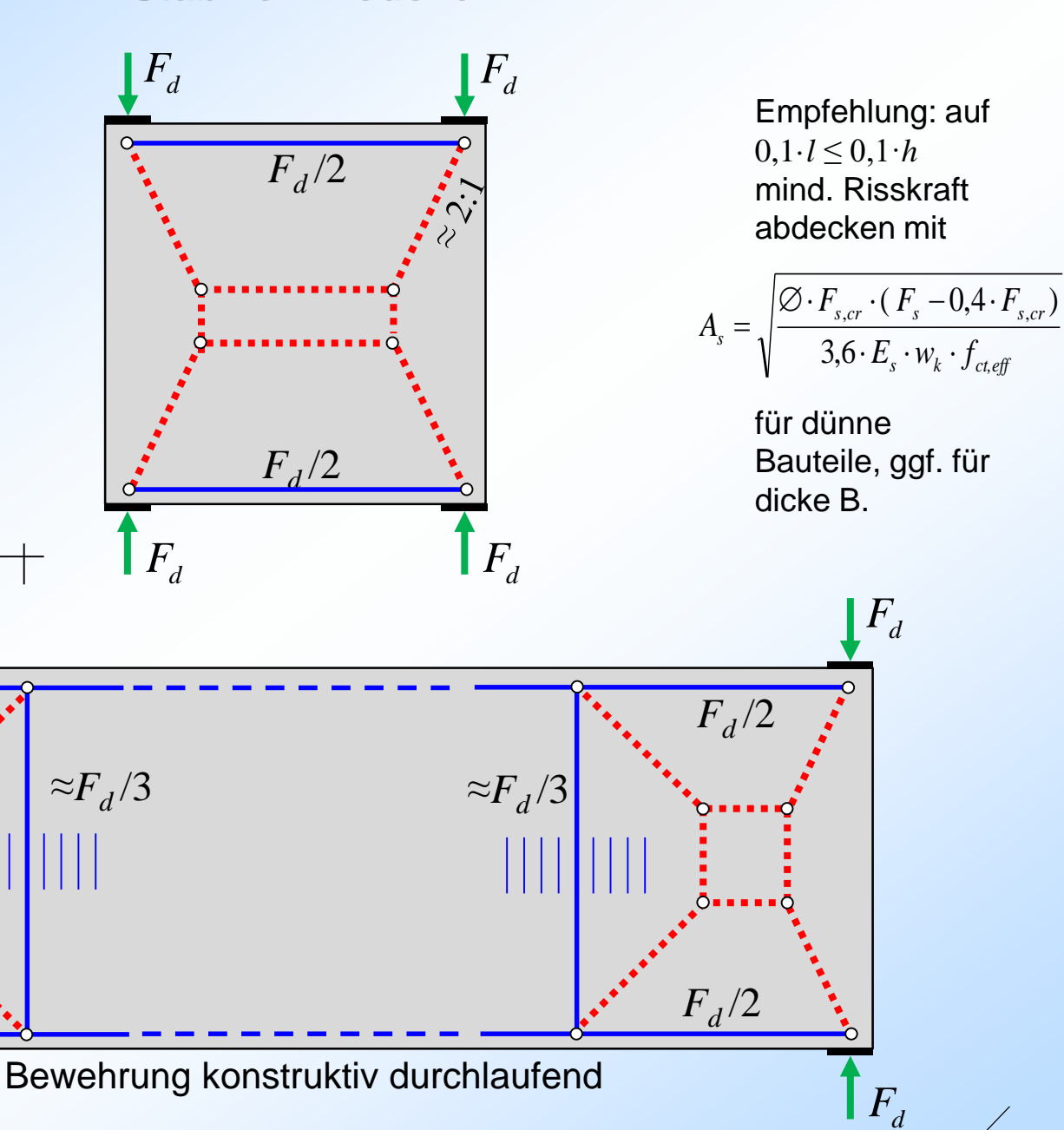
Für $F_{s,cr}$ ist Q_k einzusetzen, ggf. Formel für dicke Bauteile verwenden. Auch Schrägstahlzulagen sind zu empfehlen.



Bewehrung auf der sicheren Seite für Steigung von 2:1 auslegen (in der Lit. häufig mit 3:1 angegeben)

Kräfteangaben für a = 0





Berliner Hochschule für Technik Studiere Zukunft

h

 $\approx 2/3h$

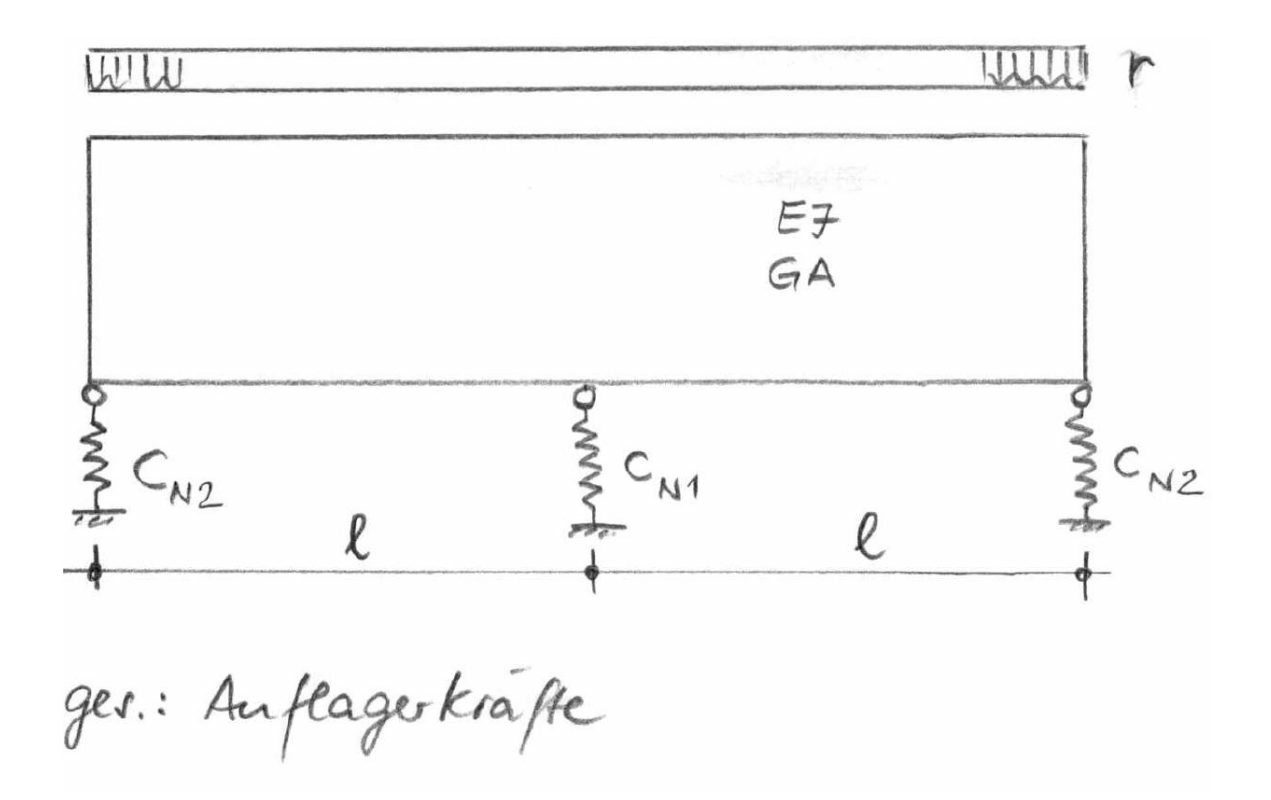
 $F_d/2$

 $F_d/2$

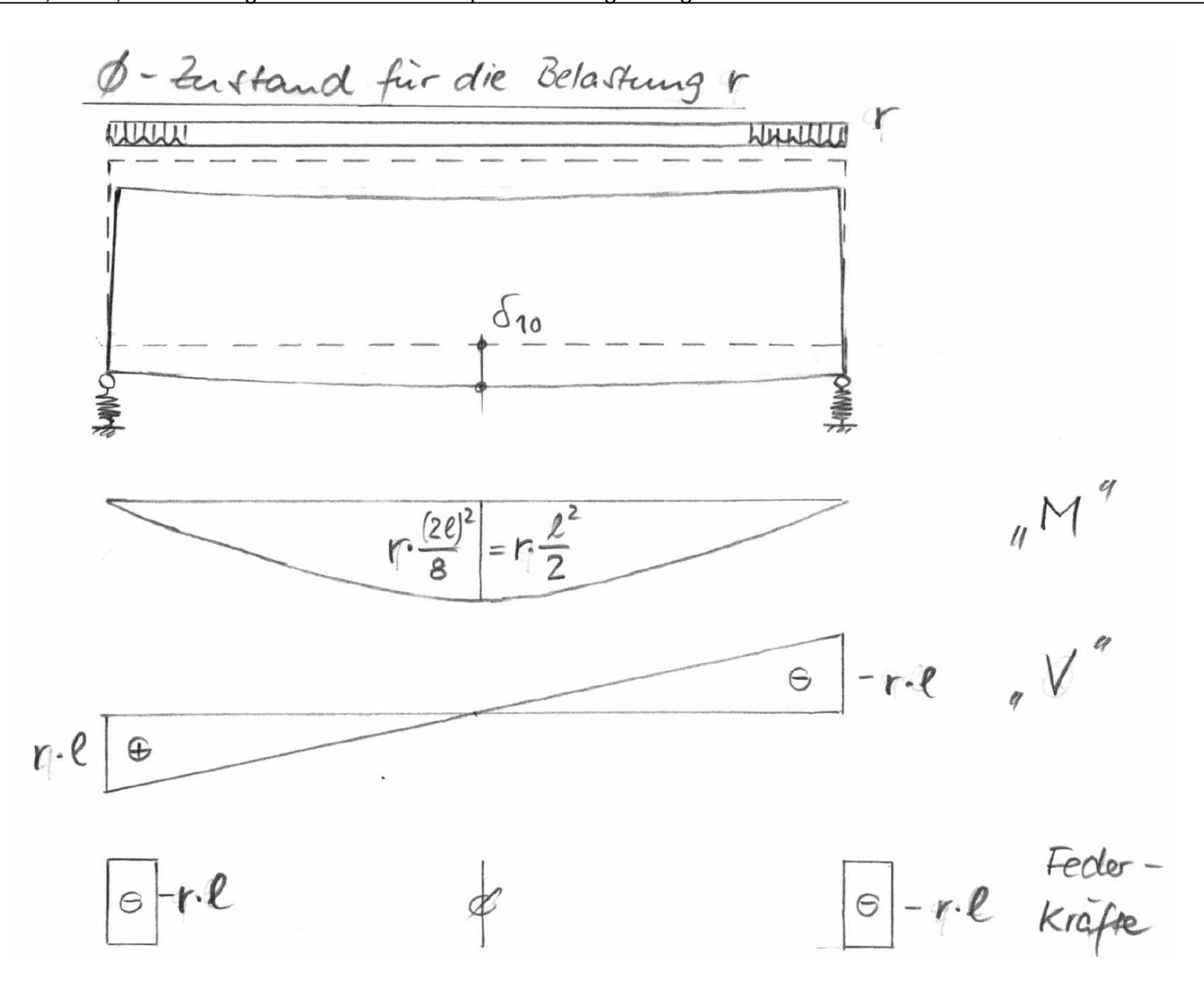
Prof. Dr.-Ing. Andreas Fischer

Stat. unbest. wandartige Träger mit elastischer Lagerung

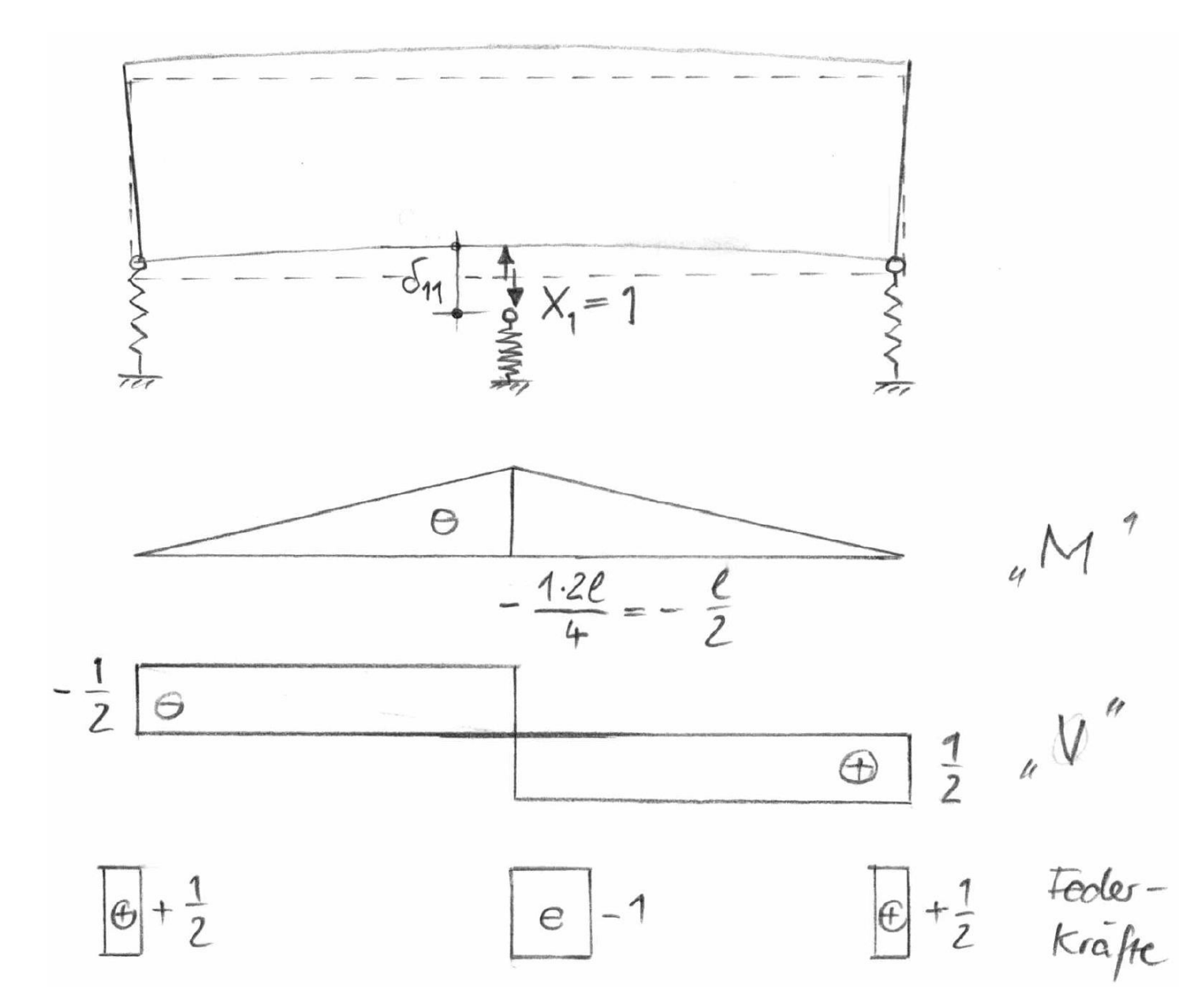
Symmetrischer Zweifeldträger als Einführungsbeispiel



Es folgt eine 1fach stat. unbest. Berechnung



1-Zustand



$$1. \delta_{ik} = \int_{0}^{2e} \frac{M}{E^{2}} M' dx + \int_{0}^{2e} \frac{V}{GA} V' dx + \sum_{i=1}^{N} N^{i}$$

$$1' \cdot \delta_{10} = -\frac{5}{12E^{\frac{2}{3}}} \cdot r^{\frac{\ell^{2}}{2} \cdot \frac{\ell}{2} \cdot 2\ell} - \frac{1}{2GA} \cdot r^{\frac{\ell}{2} \cdot 2\ell} - 2 \cdot \frac{1}{2} \cdot r^{\frac{\ell}{2} \cdot 2\ell} - 2 \cdot \frac{1}{2} \cdot r^{\frac{\ell}{2} \cdot 2\ell} - \frac{5 \cdot \ell^{3}}{24E^{\frac{3}{2}}} + \frac{\ell}{2GA} + \frac{1}{2} \cdot r^{\frac{\ell}{2} \cdot 2\ell} - \frac{1}{2}$$

1.
$$\delta_{11} = \frac{1}{3E7} \cdot \frac{\ell \cdot \ell}{2 \cdot 2\ell} \cdot 2\ell + \frac{1}{6A} \cdot \frac{1}{2 \cdot 2} \cdot 2\ell + 2 \cdot \frac{1}{C_{N2}} \cdot \frac{1}{2} \cdot \frac{1}{2} + \frac{1}{C_{N1}} \cdot 1 \cdot 1 = \frac{\ell^3}{6E7} + \frac{\ell}{2GA} + \frac{1}{2 \cdot C_{N2}} + \frac{1}{C_{N1}} \cdot \frac{1}{C_{N1}} = \frac{1}{2 \cdot C_{N2}} \cdot \frac{1}{$$

$$\frac{5!\ell^{3}}{24E7} + \frac{\ell}{2GA} + \frac{1}{C_{N2}} \cdot r \cdot \ell$$

$$\frac{\ell^{3}}{6E7} + \frac{\ell}{2GA} + \frac{1}{2 \cdot C_{N2}} \cdot r \cdot \ell$$

Souder fall 1: schlanker Biege trajer mit starren Au flagern

CN1 = CN2 -P00

Velm Sverformung

vernach lässig bar

$$= 3x, = \frac{5 \cdot \ell^{3}}{24E7} + 0 + 0$$

$$\frac{\ell^{3}}{6E7} + 0 + 0$$

$$-r \cdot \ell = \frac{5}{4}r \cdot \ell = +1,25 \cdot r \cdot \ell = B$$

$$A = C = 0,375 \cdot r \cdot \ell$$

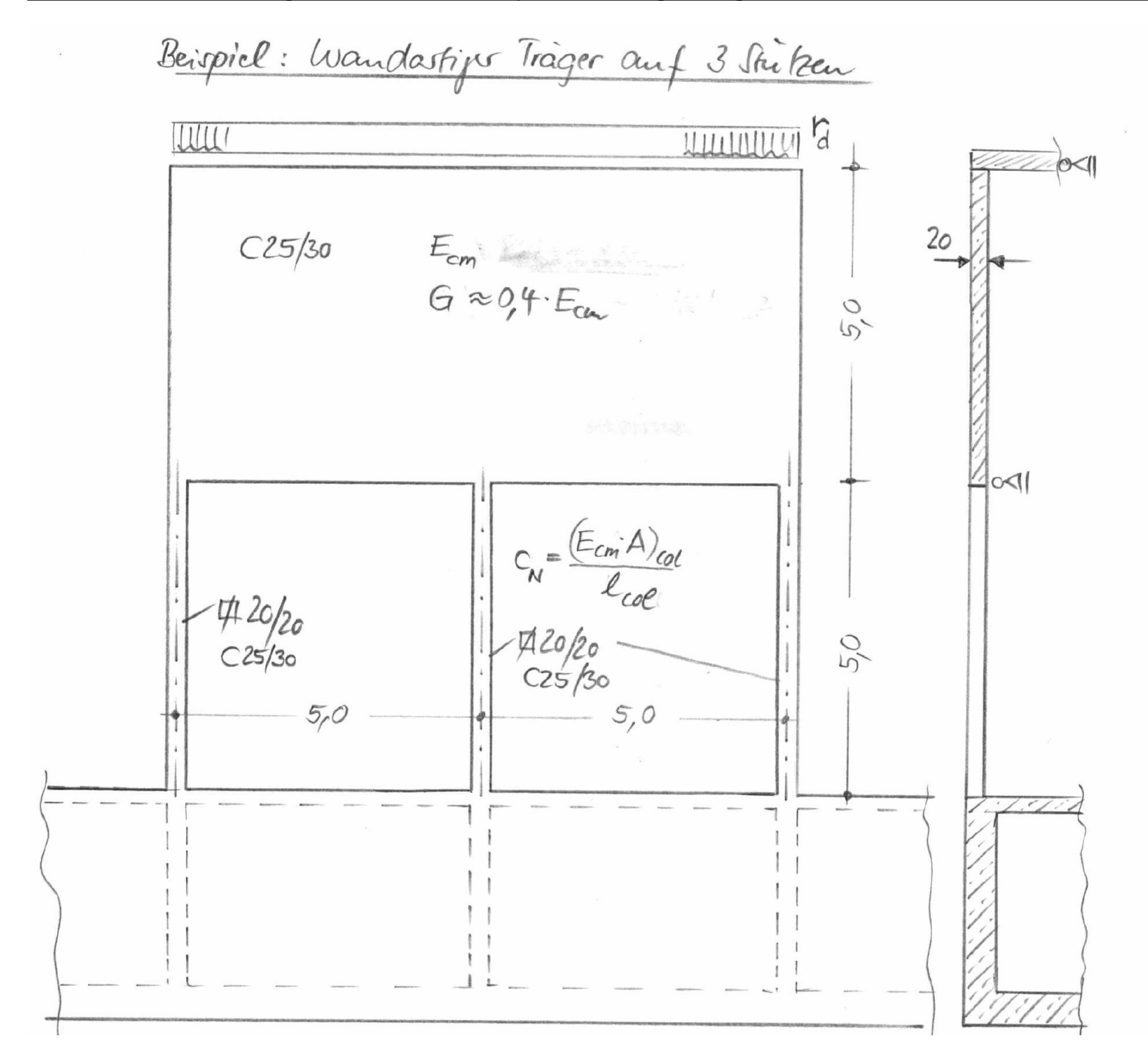
Sonderfall 2: biege- und selmbskeise Scheibe, nachgiebige lagerung
EF- DOS GA-DOS hier gew. CN7 = CN2 = CN

$$\Rightarrow \chi_1 = \frac{0+0+\frac{1}{C_{N2}}}{0+0+\frac{1}{2C_{N2}}+\frac{1}{C_{N1}}} \cdot r.\ell = \frac{1}{C_N} \cdot \frac{2C_N}{3} \cdot r.\ell = \frac{2}{3}r.\ell = \frac{0}{9}667 \cdot r.\ell = B$$

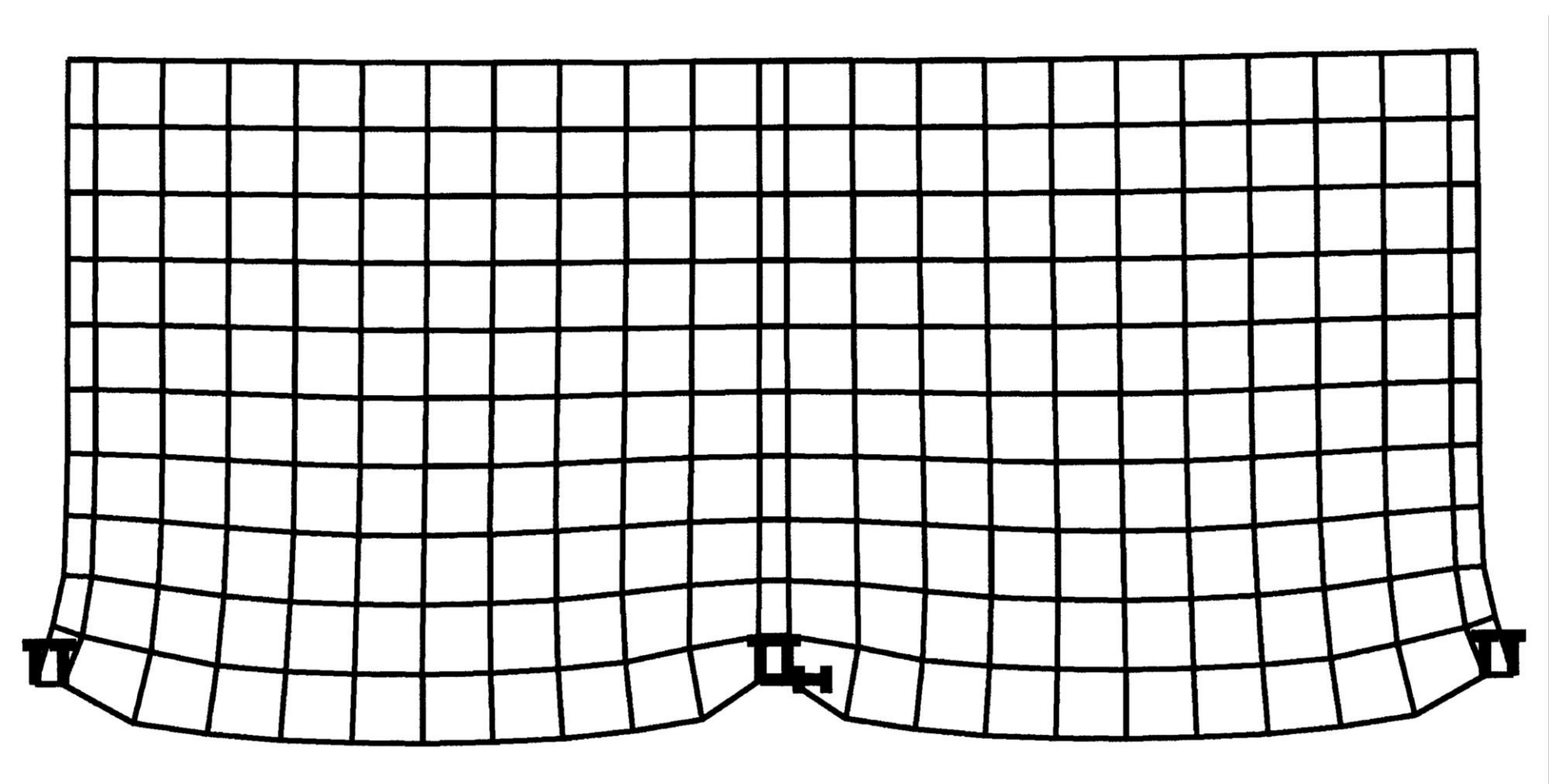
 $A = C = \frac{2}{3}r \cdot \ell = 0,667 \cdot r \cdot \ell$

Sonderfall 2.1: voie 2, jedoch CN1 = 2. CN2 (innen) (außen)

 $= 3B = 1,0 \cdot r \cdot e$ $A = C = 0,5 \cdot r \cdot e$ $\begin{cases} Verkilung nach lagerski fijke 7 \end{cases}$



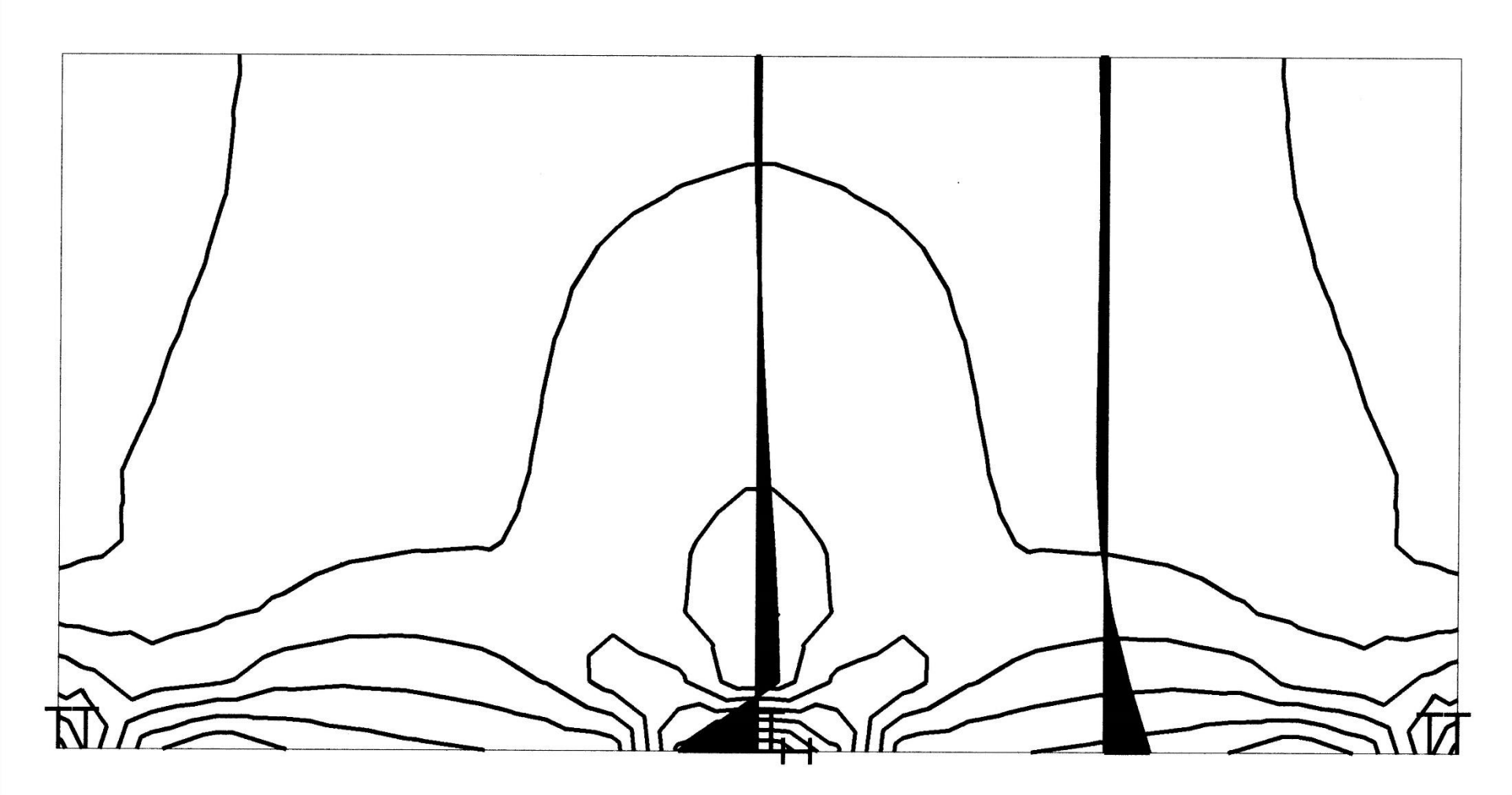
Zweifeldrige Wandscheibe, Verformung (s. auch Folien Stabwerkmod.)



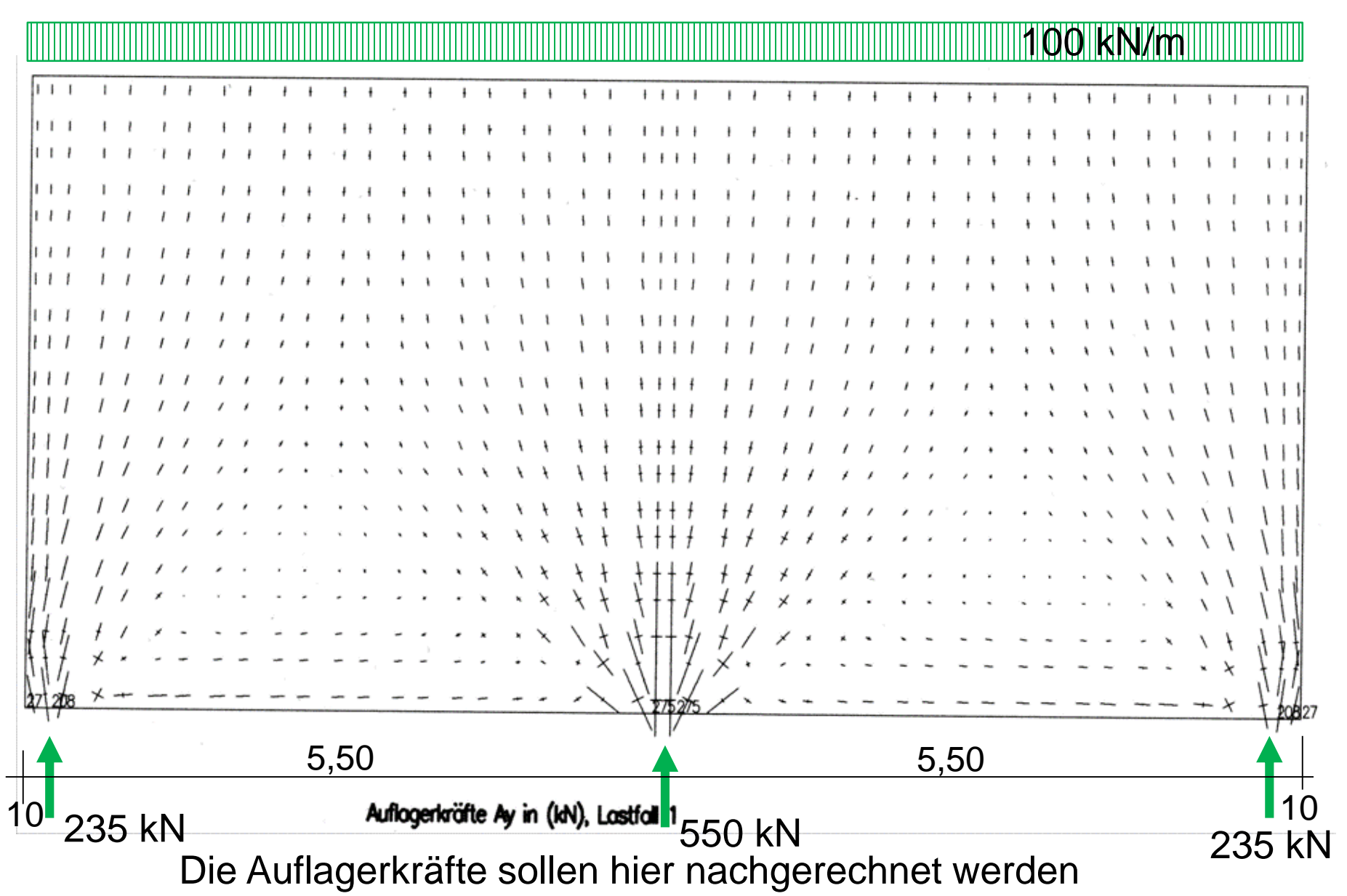
zunächst starre Lager verwendet

Zweifeldrige Wandscheibe, Spannungen

Höhenlinie für sigx in (kN/m2), Lastfall 1



Zweifeldrige Wandscheibe, Spannungen



Nachrechnung der FE-Ergebnisse für starre Lagerung:

$$EI = E \cdot 0, 2 \cdot \frac{5^3}{12} = 2,083 \cdot E$$

$$GA = 0, 4 \cdot E \cdot 0, 2 \cdot 5, 0 = 0, 4 \cdot E$$

$$X_{1} = B = \frac{\frac{5}{24} \cdot \frac{5^{3}}{2,083E} + \frac{5}{2 \cdot 0,4E}}{\frac{4}{24} \cdot \frac{5^{3}}{2,083E} + \frac{5}{2 \cdot 0,4E}} \cdot r \cdot l = \frac{12,5+6,25}{10+6,25} \cdot r \cdot l$$

$$= 1,15 \cdot r \cdot l$$
 $\Rightarrow A = C = 0,425 \cdot r \cdot l$

für $r = 100 \, kN/m$:

$$B = 1,15 \cdot 100 \cdot 5 = 575 \approx 550 kN$$

sehr gute Übereinstimmung mit FE-Lösung

Das gleiche Beispiel soll noch einmal mit sehr nachgiebigen Stützen berechnet werden:

$$c_{N1} = c_{N2} = c_N = E \cdot 22 \cdot \frac{0.2^2}{5.0} = 0.008 \cdot E$$
 $\Rightarrow \frac{1}{c_N} = 125 \cdot \frac{1}{E}$

$$X_1 = B = \frac{12,5+6,25+125}{10+6,25+\frac{125}{2}+125} \cdot r \cdot l$$

$$= 0,706 \cdot r \cdot l \qquad \Rightarrow A = C = 0,647 \cdot r \cdot l$$

Diese Lösung liegt sehr dicht am Sonderfall 2

Die Nachgiebigkeit der Stützen hat erheblichen Einfluss auf die Stützenkräfte (Außenstützen erhalten erheblich größere Beanspruchung) und auf die Beanspruchung des wandartigen Trägers.

→ Eine Berechnung nach DAfStb-Heft 240 (bzw. Nachfolgeheft 631) allein ist nicht empfehlenswert

Lastfall Lagersenkung der Mittelstütze um 5mm für das gleiche Beispiel:

$$X_1 = B = \frac{0,005}{\left(10 + 6,25 + \frac{125}{2} + 125\right) \cdot \frac{1}{31000}} = -0,761MN$$
 Zugkraft!

$$\Rightarrow A = C = 0.380MN$$

zus. Druckkraft in den Außenstützen!

Geringe Stützensenkungen haben bereits erheblichen Einfluss auf die Stützenbem. und auf die Biegebem. des wandartigen Trägers.

→ Auf der sicheren Seite liegende Grenzbetrachtungen sind sinnvoll.

Berechnung der Auflagerkräfte und Schnittgrößen statisch unbestimmt gelagerter Träger (Scheibentragwerke)

Die Auflagerkräfte und damit auch die Schnittgrößen statisch unbestimmt gelagerter Scheibentragwerke sind stark abhängig vom elastischen Verhalten der Unterstützungen (Federwirkung von Unterstützungen, ggf. einschließlich Gründung). Sie verändern ihren Wert schon bei kleinen Setzungsdifferenzen erheblich.

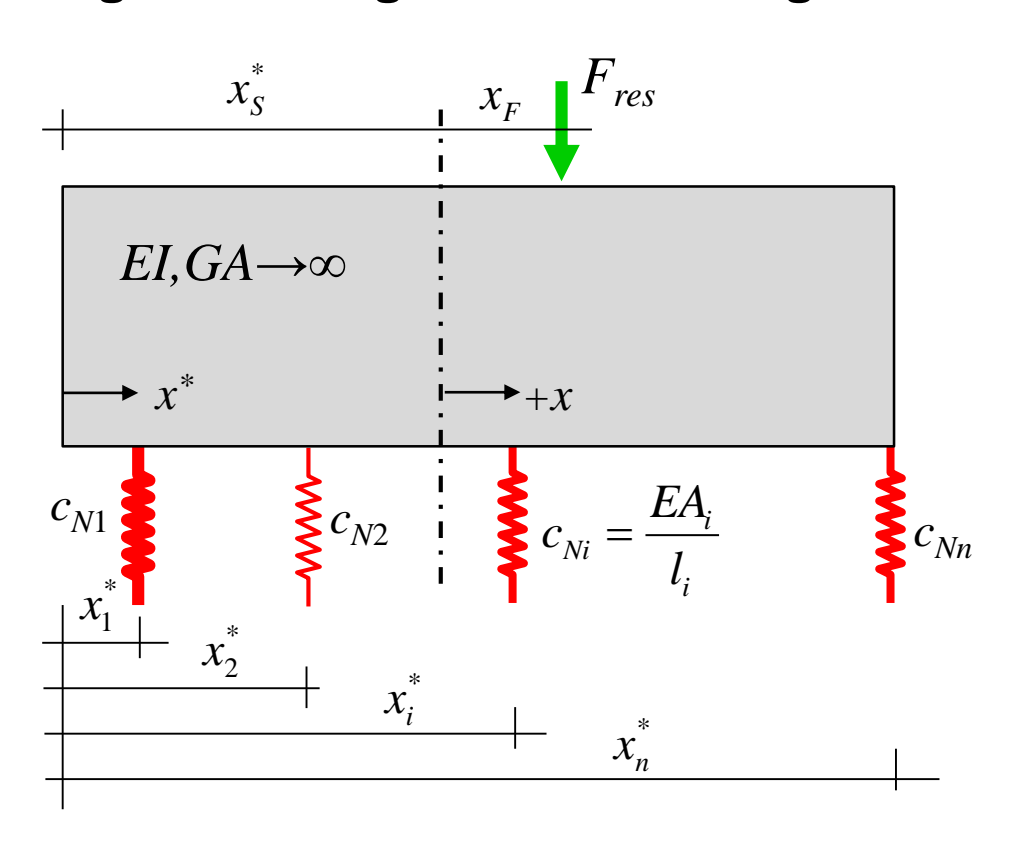
Vorgehensweise: Betrachtung zweier Grenzfälle (Lös. n. H.240 bzw. 631 DAfStb liegt dazwischen)

- Grenzfall 1:Berechnung als üblicher biegeweicher Durchlaufträger mit starren Lagern.
- **Grenzfall 2:** Berechnung als starre Scheibe mit Berücksichtigung des elastischen Verhaltens der Unterstützungen. Die Biege- und Schubsteifigkeit spielen eine untergeordnete Rolle und können daher als unendlich steif angenommen werden.

Bei einer Bemessung für die jeweils ungünstigste Beanspruchung und konstruktiv sinnvoller Bewehrungsführung sind dann die Scheiben robust und die Unterstützungen auf der sicheren Seite bemessen.

Alternativ können auch FEM-Programme eingesetzt werden, diese sind aber nur aussagekräftig, wenn die elastischen Unterstützungen richtig berücksichtigt werden. Grenzfallbetrachtungen sind auch hier dringend anzuraten.

Verteilung der Auflagerkräfte bei biege- und schubsteifer Scheibe

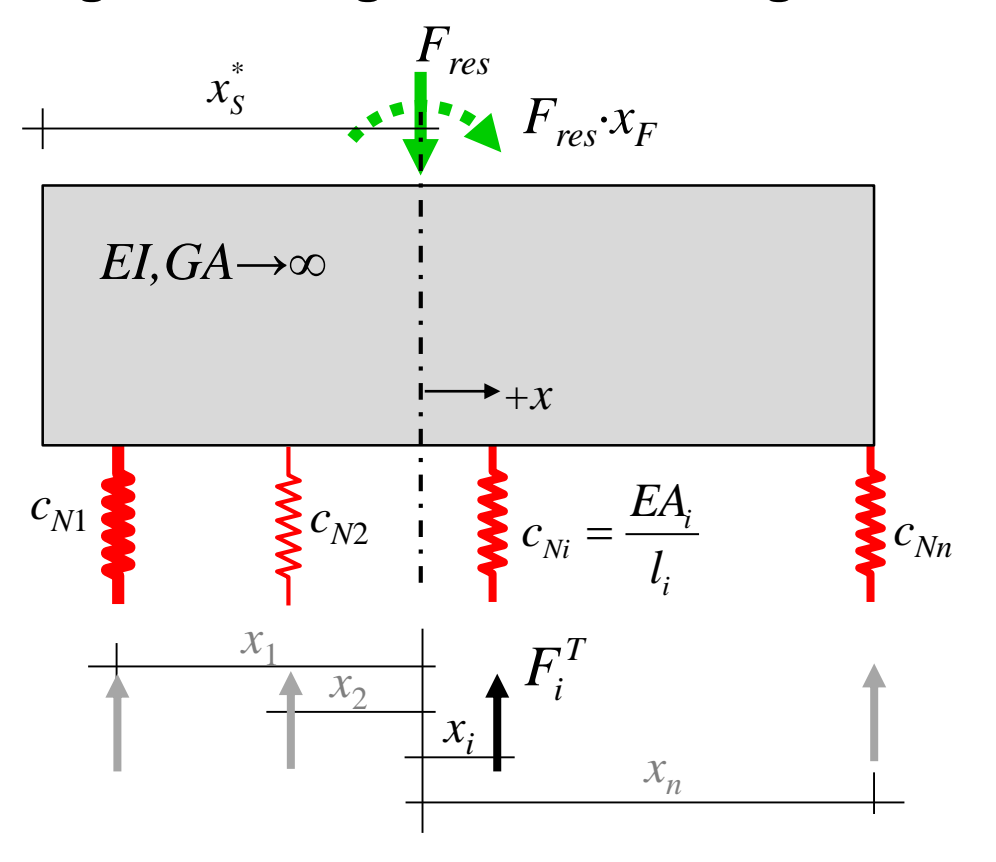


in Analogie zur Verteilung der H-Kräfte auf Wandscheiben

"Schwerpunkt der Federsteifigkeiten":

$$x_S^* = \frac{\sum \frac{EA_i}{l_i} \cdot x_i^*}{\sum \frac{EA_i}{l_i}}$$

Verteilung der Auflagerkräfte bei biege- und schubsteifer Scheibe

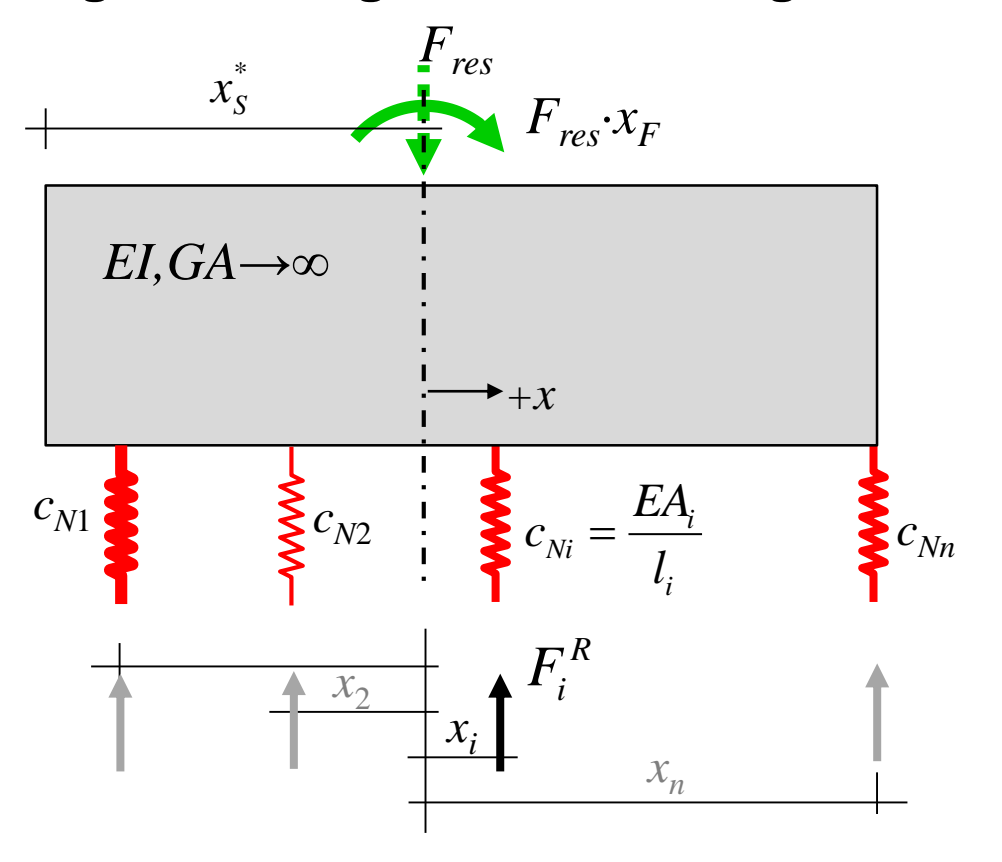


Translationsanteile:

$$F_{i}^{T} = \frac{\frac{EA_{i}}{l_{i}}}{\sum \frac{EA_{i}}{l_{i}}} \cdot F_{res}$$

Verteilung der Auflagerkräfte bei biege- und schubsteifer Scheibe

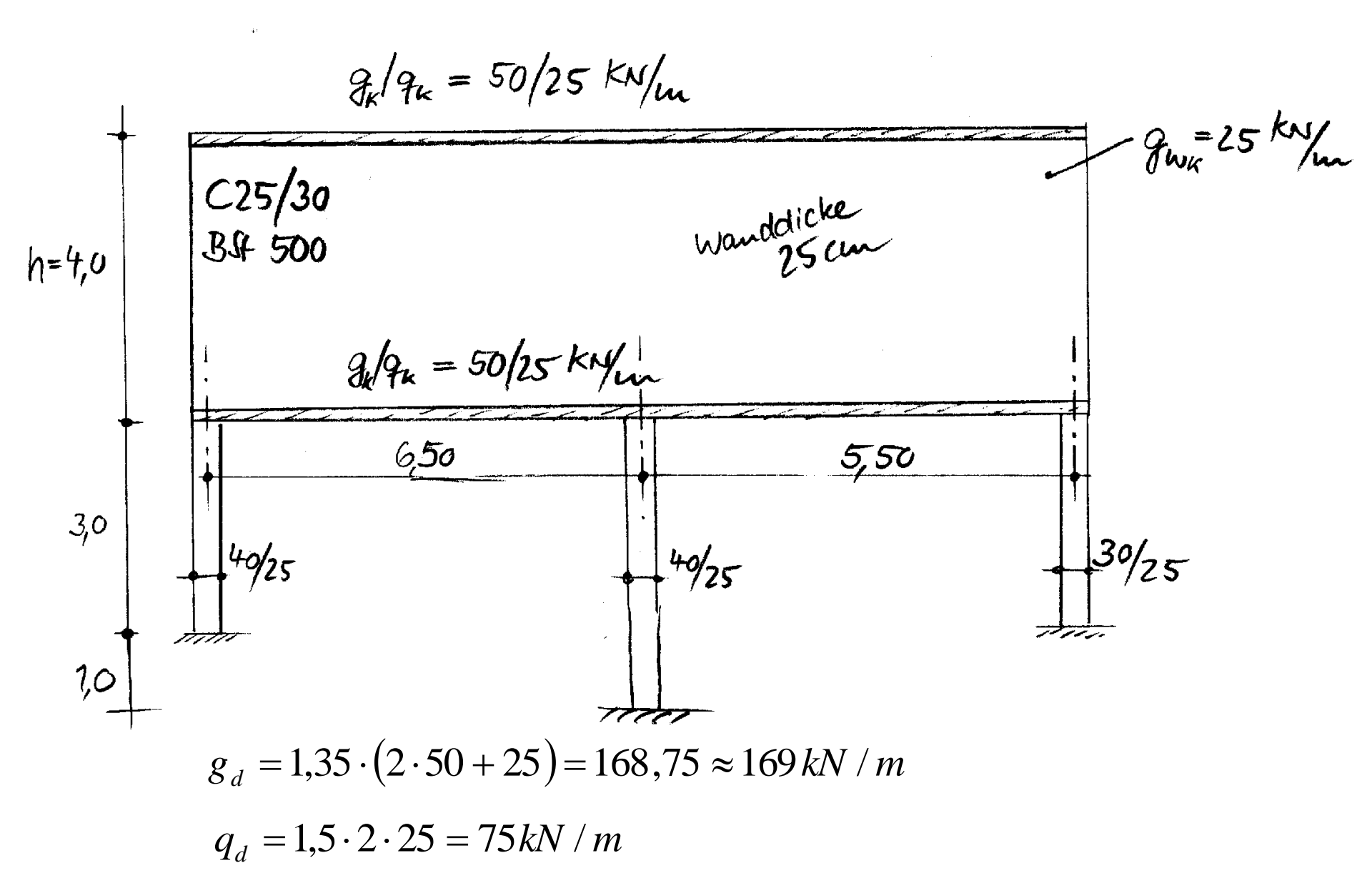
Beispiel wandartiger Träger über 2 Felder



Rotationsanteile:

$$F_{i}^{R} = \frac{\frac{EA_{i}}{l_{i}} \cdot x_{i}}{\sum \frac{EA_{i}}{l_{i}} \cdot x_{i}^{2}} \cdot (F_{res} \cdot x_{F})$$

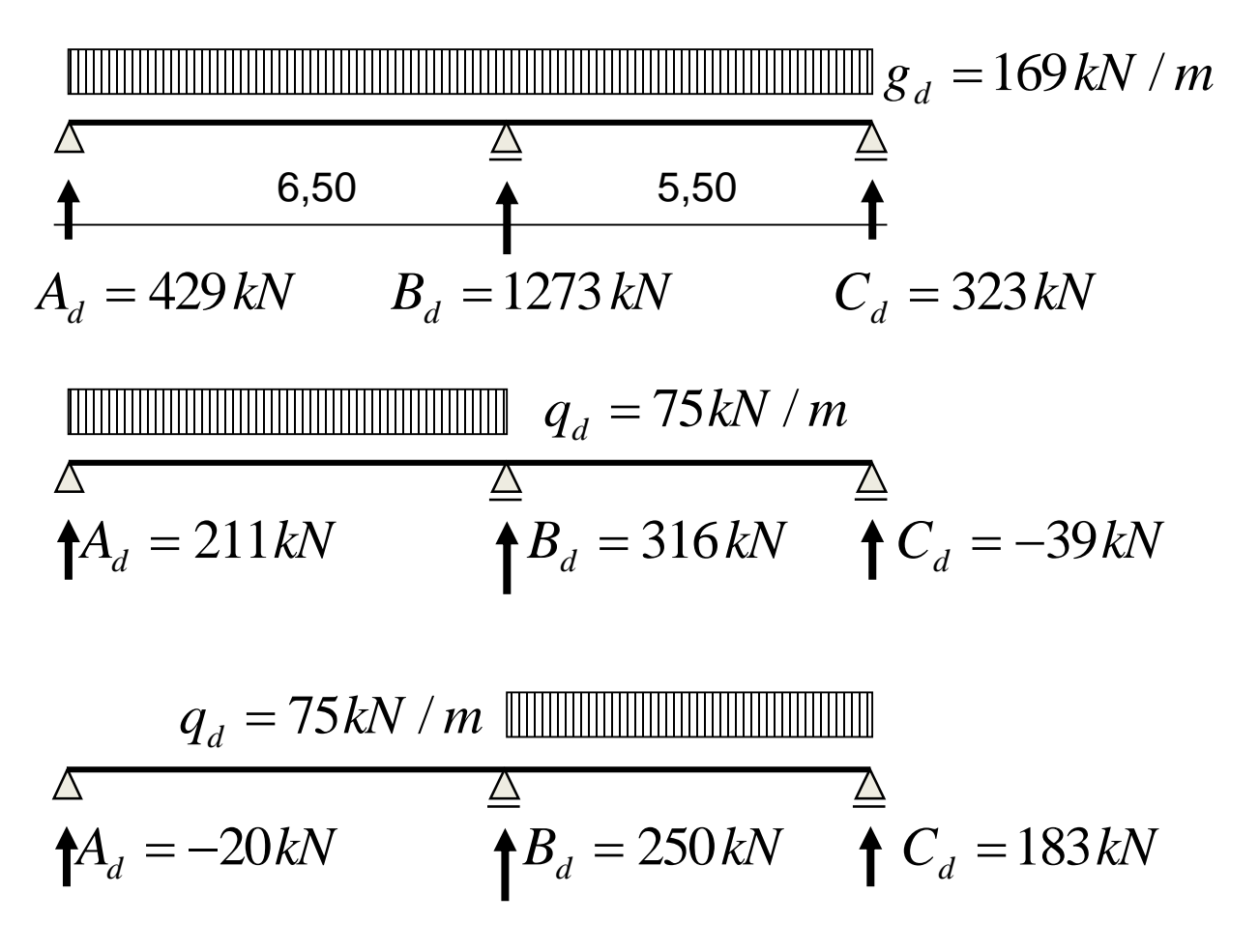
System und Belastung:



Grenzfall 1: Auflagerkräfte und Schnittgrößen nach üblicher

Balkenstatik (starre Lagerung)

Hinweis: sämtliche Zahlenergebnisse sind gerundete Werte einer Excel-Berechnung!



Für Volllast ergibt sich $B_d = 1838kN$ und $M_{Ed,B} = -1120kNm$

Grenzfall 2: Auflagerkräfte und Schnittgrößen für starre Scheibe mit nachgiebiger Lagerung

Hinweis: sämtliche Zahlenergebnisse sind gerundete Werte einer Excel-Berechnung!

Zunächst werden die Federsteifigkeiten der Stützen ermittelt:

$$c_{A} = \frac{EA}{l} = \frac{E \cdot 0, 4 \cdot 0, 25}{3,0} = \frac{0, 1 \cdot E}{3,0}$$

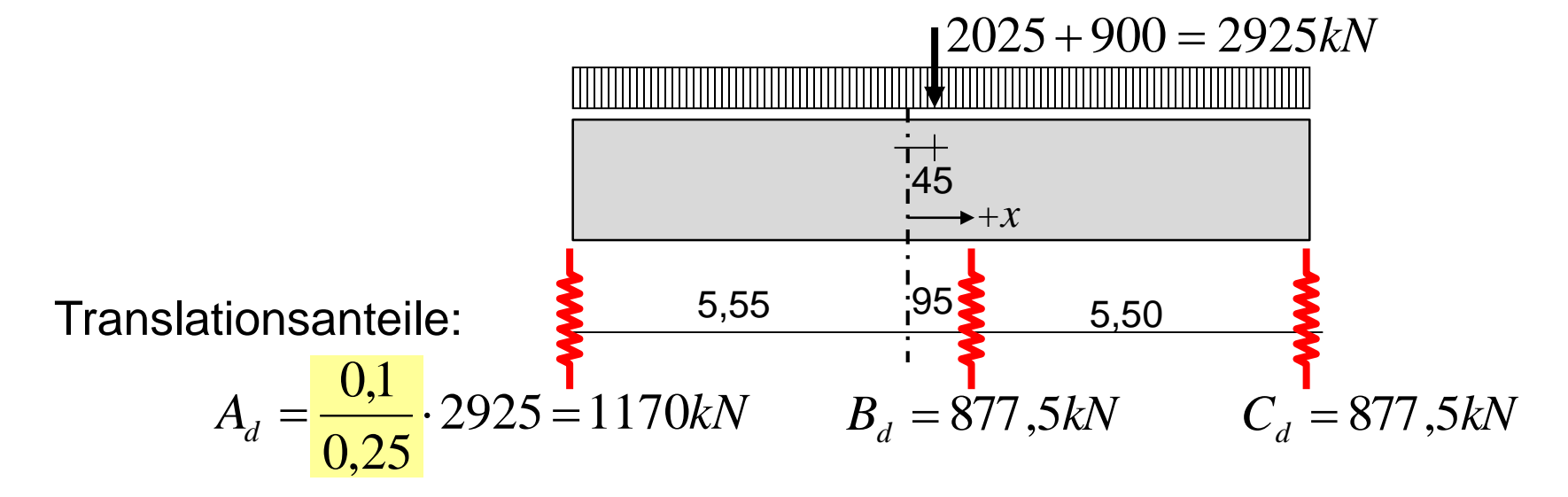
$$c_{B} = = \frac{E \cdot 0, 4 \cdot 0, 25}{4,0} = \frac{0,075 \cdot E}{3,0}$$

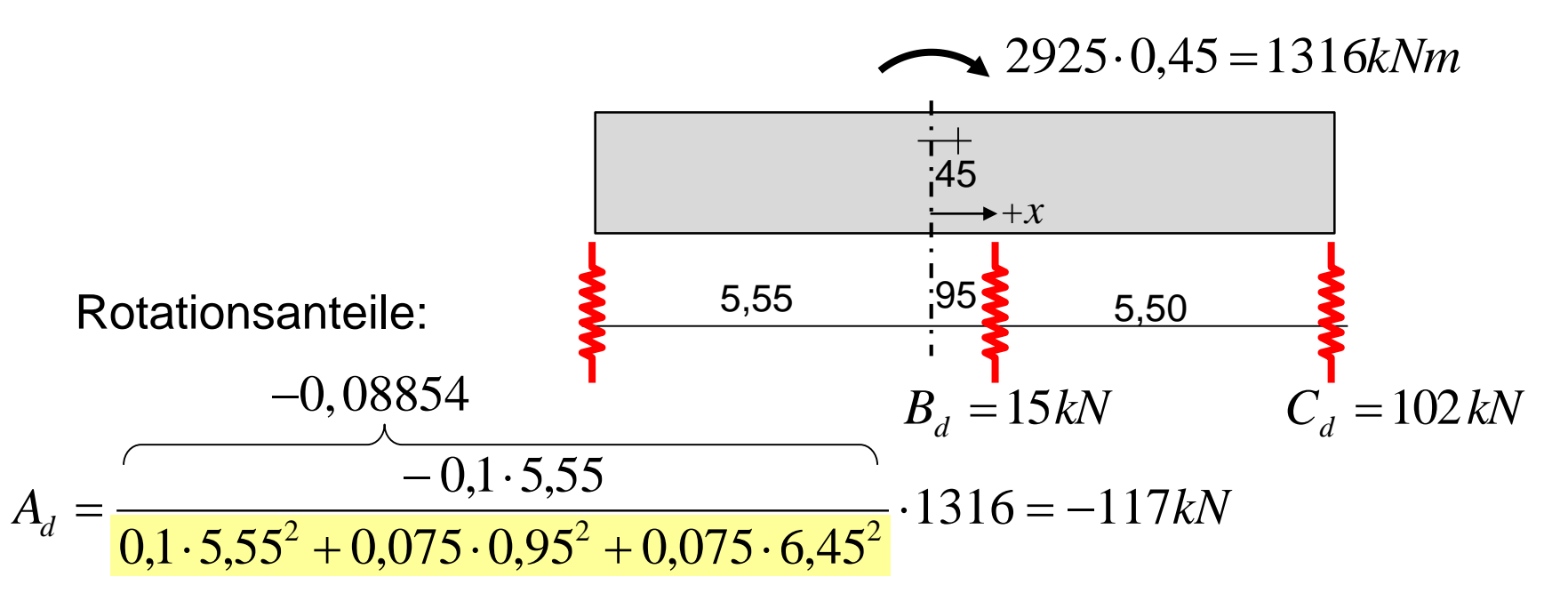
$$c_{C} = = \frac{E \cdot 0, 3 \cdot 0, 25}{3,0} = \frac{0,075 \cdot E}{3,0}$$

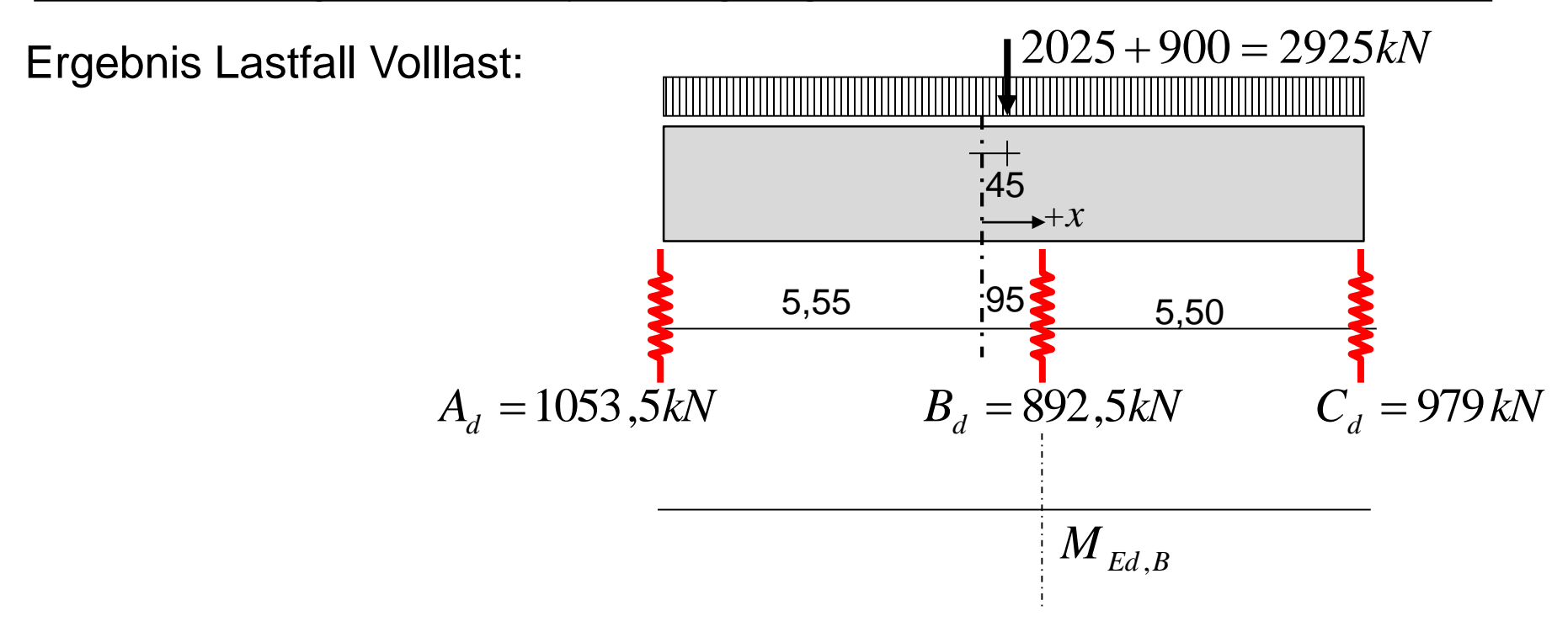
Schwerpunkt der Dehnsteifigkeit:

$$x_S^* = \frac{0.1 \cdot 0 + 0.075 \cdot 6.5 + 0.075 \cdot 12.0}{0.1 + 0.075 + 0.075} = 5.55m$$
 von Achse Auflager A

Betrachtung des Lastfalls Volllast:





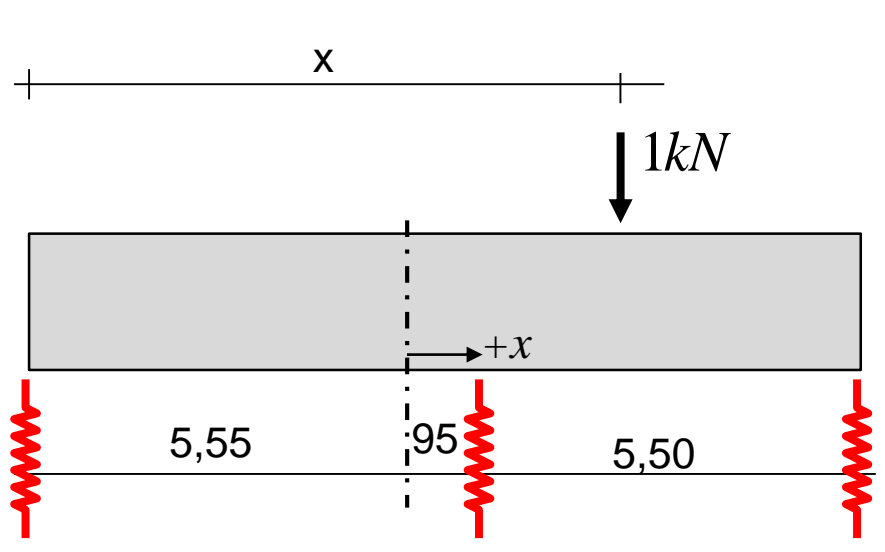


Das Moment an der Stützung B im wandartigen Träger beträgt: $M_{Ed,B} = +1698 \text{ kNm (pos. Stützmoment!)}$

Für welche Belastung wird das Feldmoment maximal?

für die Belastung, die zu max A führt.

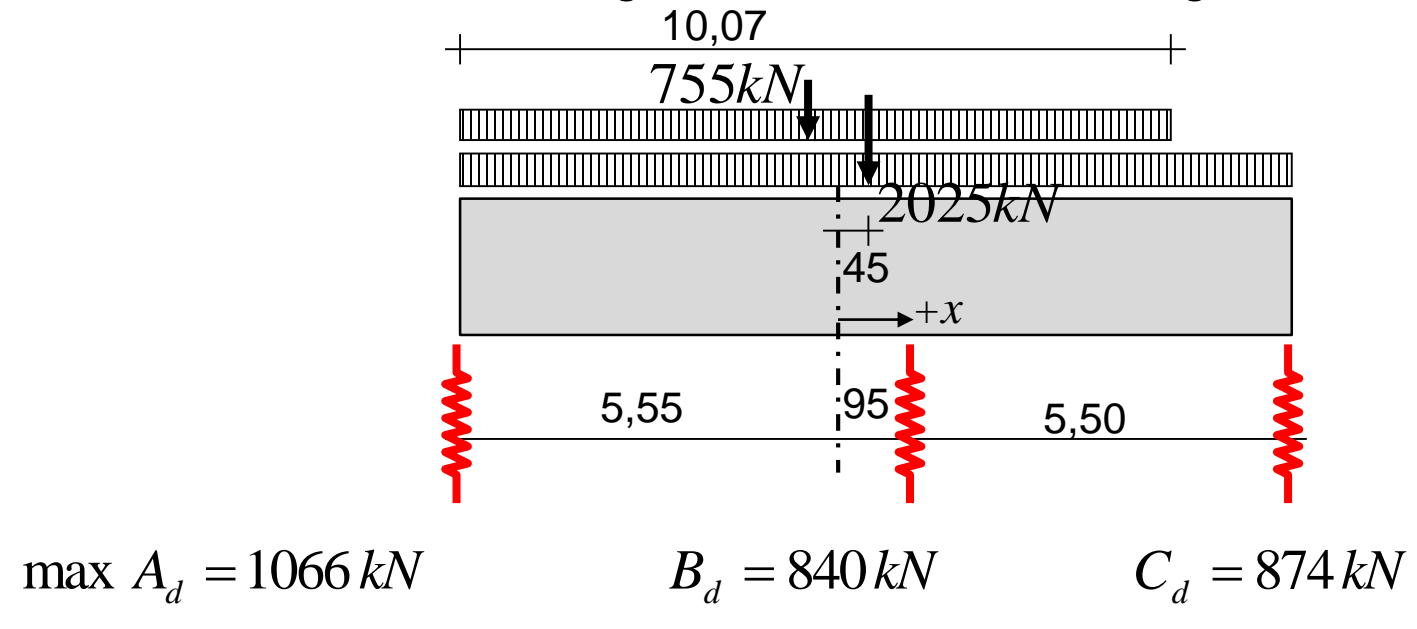
Für die Stelle einer beliebigen
Einzellast, für die sich der positive
Translations- und negative
Rotationsanteil gegenseitig am
Auflager A aufheben, ist die Grenze
zwischen ungünstig und günstig
wirkender Nutzlast gefunden.
Entlastend wirkende
Nutzlastabschnitte bleiben
unbelastet.



$$A_d^T = \frac{0.1}{0.25} \cdot 1 = 0.4$$

$$A_d^R = \frac{-0,08854 \cdot 1 \cdot (x-5,55)}{-0,08854 \cdot 1 \cdot (x-5,55)} = -0,4$$

Ergebnis Lastfall max A mit Nutzlastlänge 10,07m von linker Lagerachse:

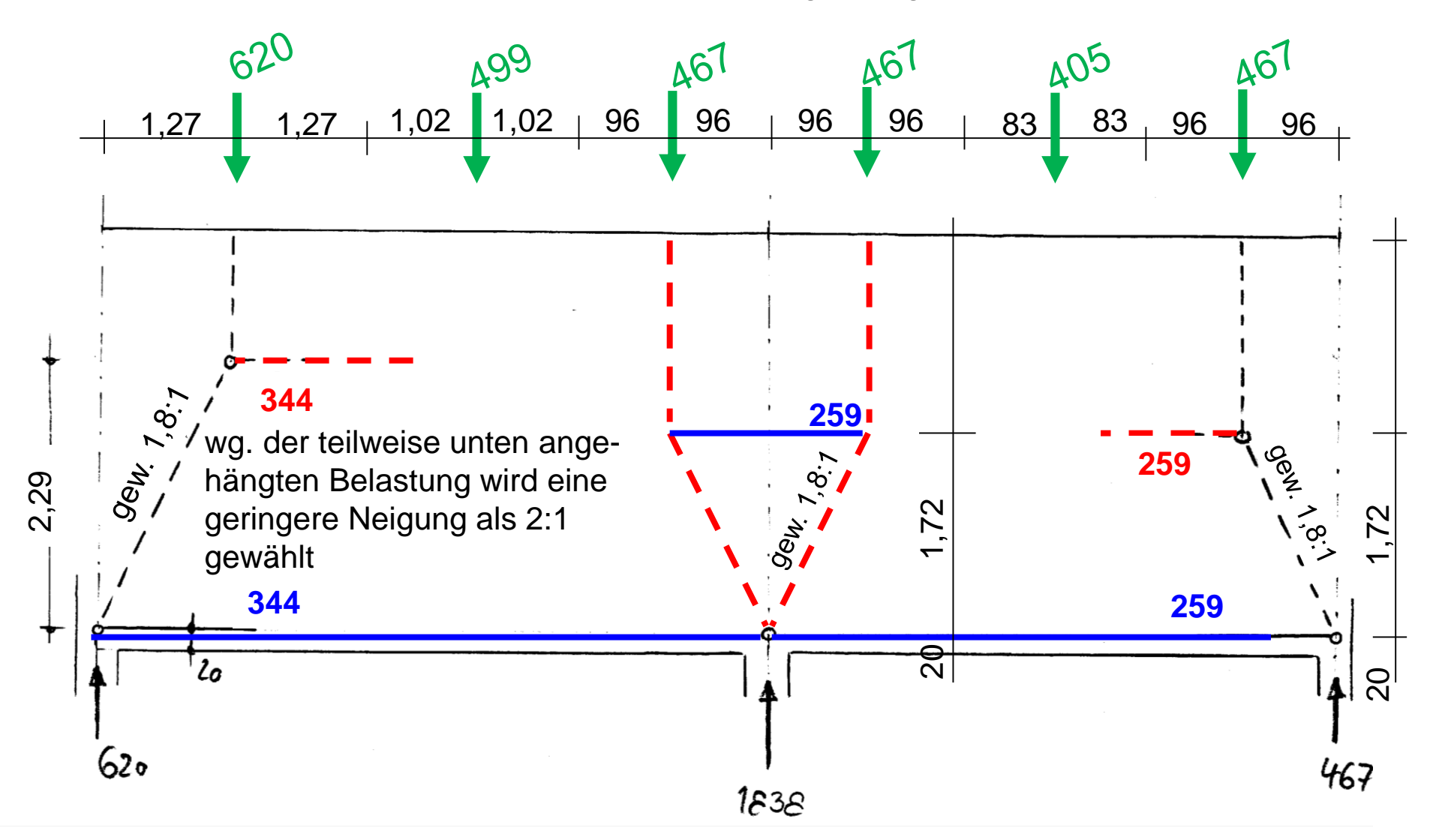


Ergebnis Lastfall max C mit Nutzlastlänge 9,44m von rechter Lagerachse:

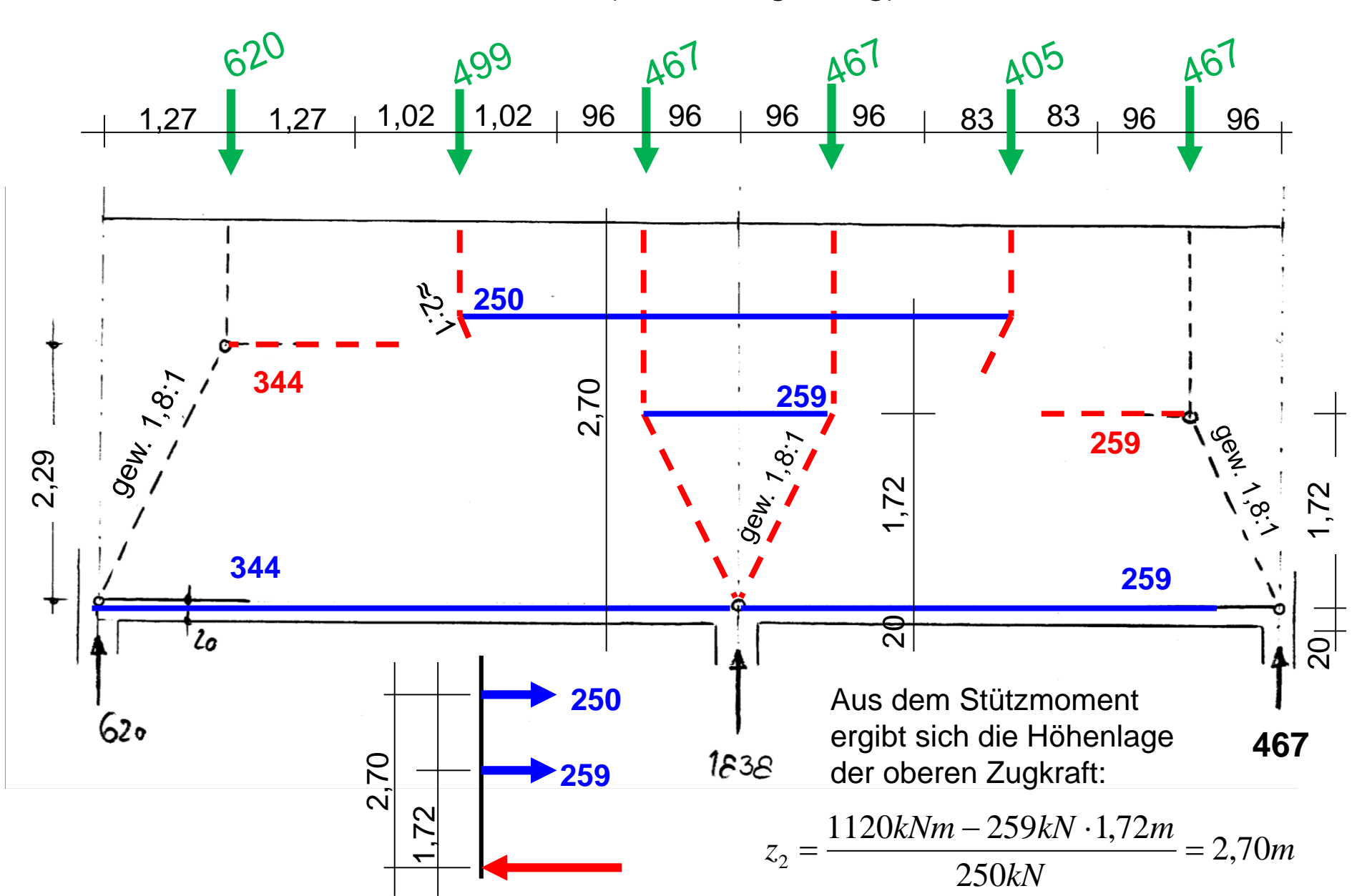
$$A_d = 952 \, kN \qquad \qquad B_d = 862 \, kN \qquad \qquad \max C_d = 987 \, kN$$

Die größte Lagerkraft am Auflager B ergibt sich aus dem Grenzfall 1!

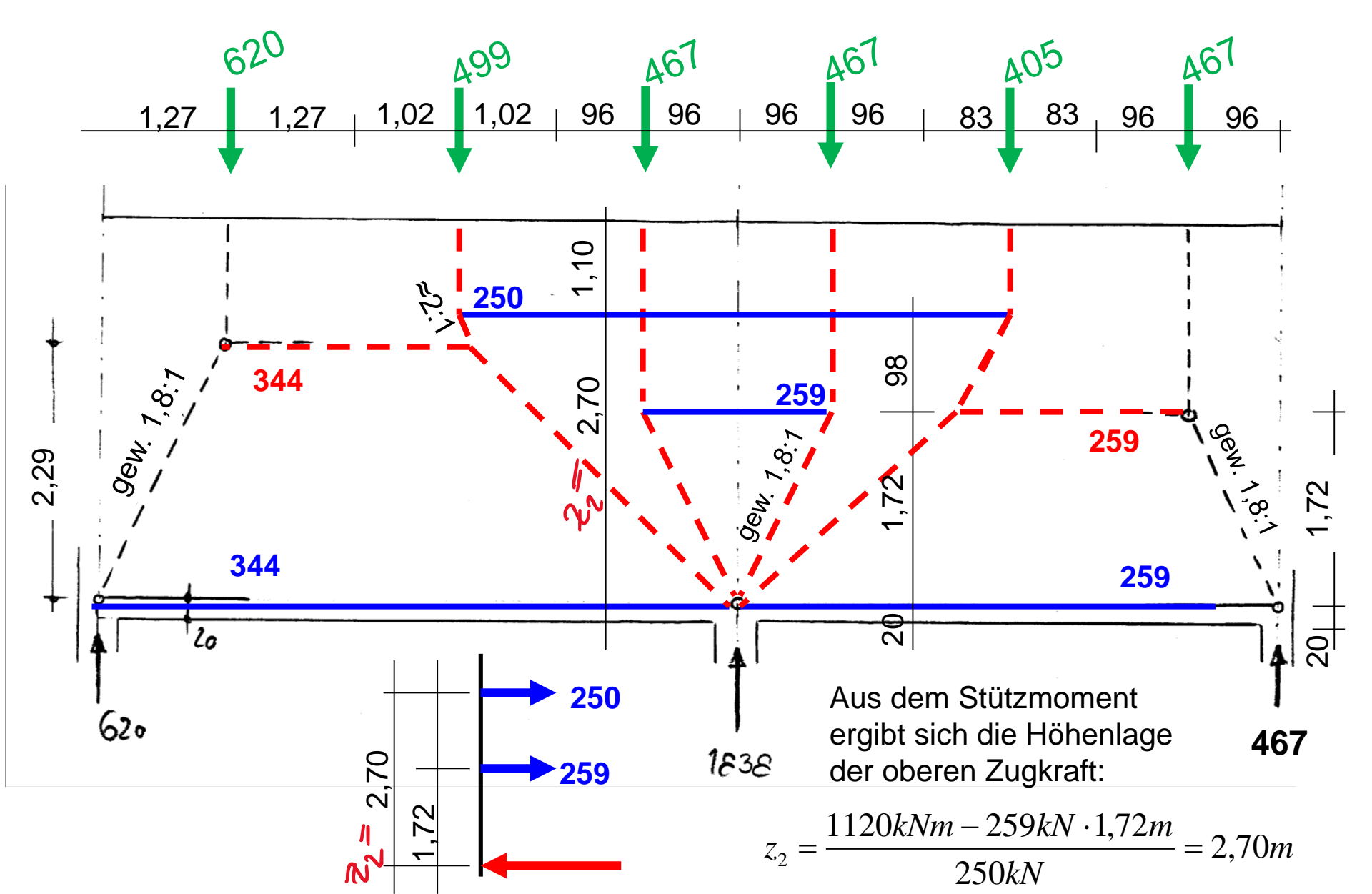
Stabwerkmodell für Grenzfall 1 (starre Lagerung) für Volllast:



Stabwerkmodell für Grenzfall 1 (starre Lagerung) für Volllast:



Stabwerkmodell für Grenzfall 1 (starre Lagerung) für Volllast:



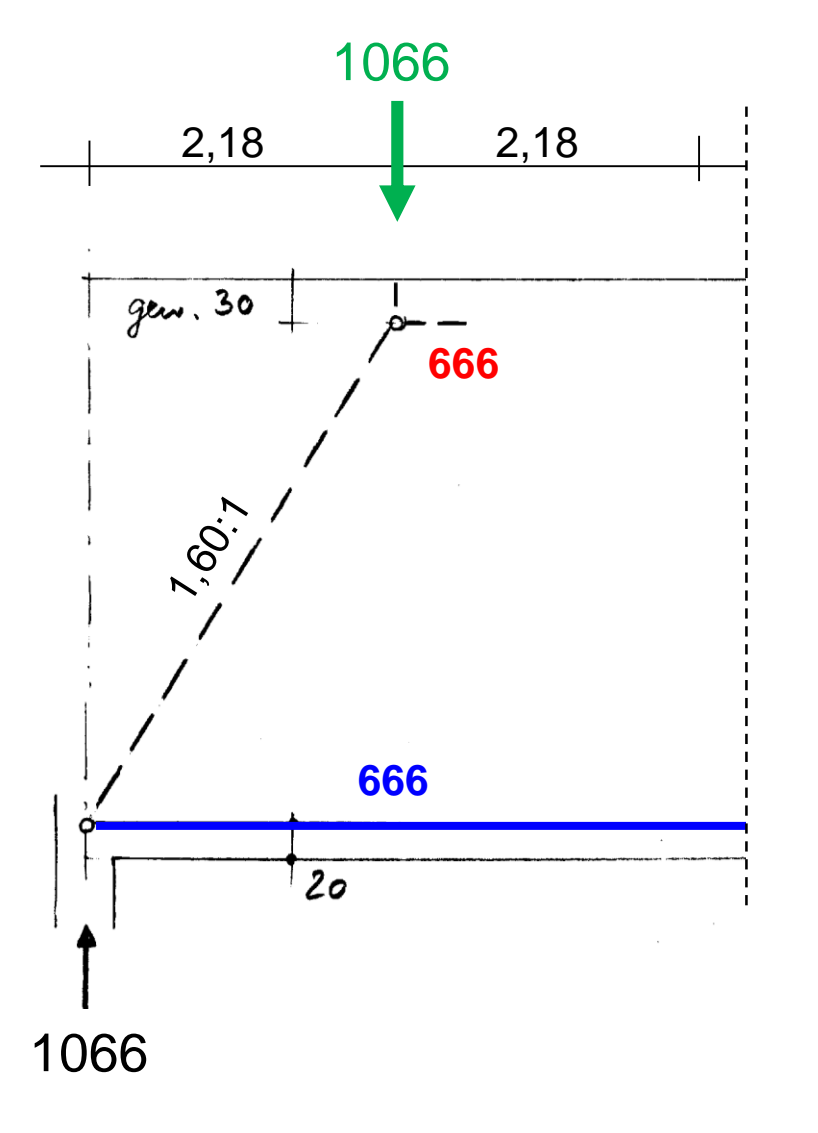
Netzbewehrung:
$$\min A_s = 1.5 \cdot \frac{25}{20} = 1.88 cm^2/m$$
 je Seite und Richtung gew. Q188 beidseitig = 1.88cm²/m

Von der Netzbewehrung über die Höhe von $\frac{1,72m}{2} + 0,98m + 1,10m = 2,94m$ aufnehmbares Moment im Bereich der Kraft von 259 + 250 kN:

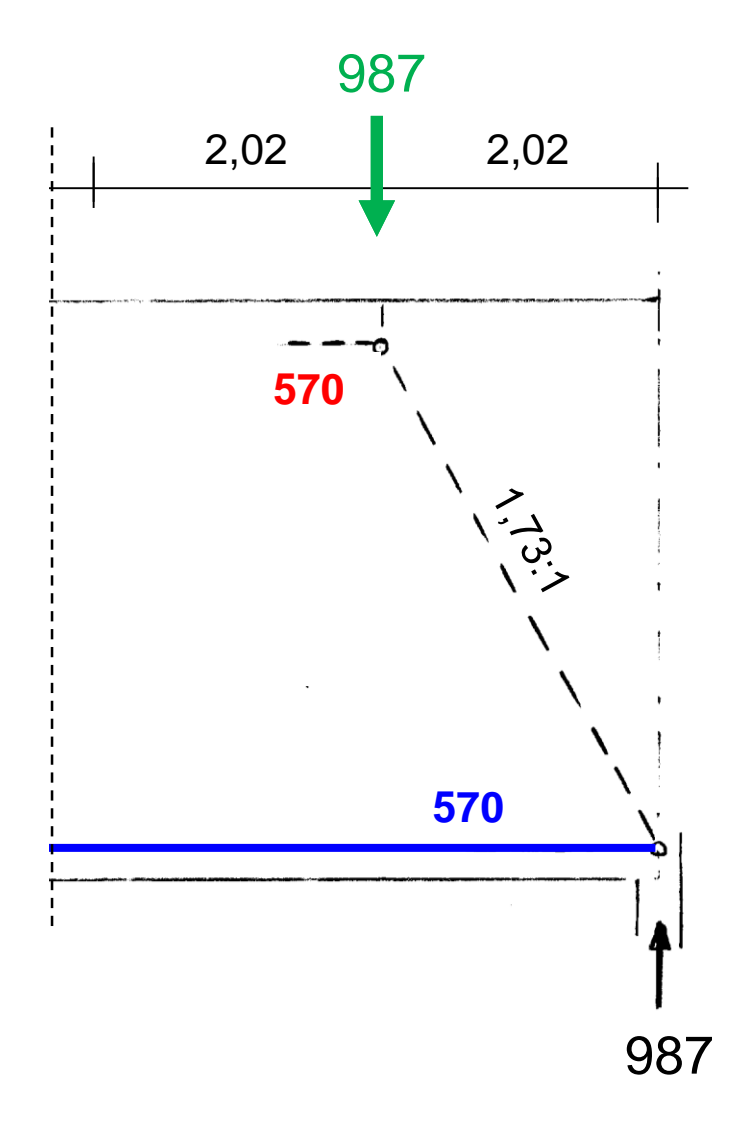
$$M_s \approx 2.94 \cdot (2.94/2 + 0.172/2) \cdot 2 \cdot 1.88 \, cm^2 / m \cdot 43.5 \, kN / cm^2 = 1120 kN \ge 1120 kN$$

Bei nicht ausreichender Netzbewehrung kann auch eine horizontale Zulagebewehrung gewählt werden, bei sehr unterschiedlichen Zugkräften ggf. auch nur in dem stärker beanspruchten Teilbereich.

Stabwerkmodell für Grenzfall 2 (nachgiebige Lagerung) max A:



Stabwerkmodell für Grenzfall 2 (nachgiebige Lagerung) max C:



Nachweis der Druckspannungen am Stützenkopf:

Exemplarisch an der Mittelstütze:

$$\begin{split} B_d &= 1,838 MN \\ F_{cd} &= 0,4 \cdot 0,25 \cdot 14,17 = 1,417 MN \\ & \text{erf} A_s = \frac{1,838 - 1,417}{435} \cdot 10^4 = 9,7 cm^2 \\ \hline \text{vorh. } 8\emptyset 16 \end{array} = 16,1 \text{cm}^2 \end{split}$$

Bemessung der unteren Zugbänder (li und re):

$$F_{sd} = 1,066 / 1,60 = 0,666MN$$

$$\operatorname{erf} A_s = \frac{0,666}{435} \cdot 10^4 = 15,3cm^2$$
 $\operatorname{erf} A_s = \dots = 13,1cm^2$

gew. 8Ø16 voll durchlaufend über beide Felder = 16,1cm²

Nachweis der Verankerungslänge am Endauflager (bei C maßgebend):

Beispiel wandartiger Träger über 2 Felder

$$\operatorname{erf} l_{b,dir} = \frac{2}{3} \cdot 0, 7 \cdot \frac{13,1}{16,1} \cdot 64, 4 = 24, 5cm < 25cm$$

Aufhängebewehrung:

für
$$1,35 \cdot \left(50 + \frac{6,50}{2} \cdot 0,25 \cdot 25kN/m^3\right) + 1,5 \cdot 25 = 132kN/m$$

 $erfA_s = \frac{0,132}{435} \cdot 10^4 = 3,03cm^2/m$ Netzbewehrung voll anrechenbar und ausreichend

gew. Steckbügel Ø8/15 als Anfängerbew. in der Decke

 $= 6,68 \text{cm}^2/\text{m}$

Empfehlung: auf $0.2 \cdot h \le 0.2 \cdot l$ mind. Risskraft abdecken mit

$$A_{s} = \sqrt{\frac{\varnothing \cdot F_{s,cr} \cdot (F_{s} - 0.4 \cdot F_{s,cr})}{3.6 \cdot E_{s} \cdot w_{k} \cdot f_{ct,eff}}}$$
 für dünne Bauteile, ggf. für dicke Bt.

Innenbauteil c_v = 2 cm, Steckbü ø8

$$F_{s,cr} = 0.5 \cdot 2.6 \cdot \frac{0.25}{2} = 0.163 MN / m$$
 Vorschädigungsfaktor $k = 0.5$
$$F_{s,cr,eff} = 0.5 \cdot 2.6 \cdot 2.5 \cdot 0.034 = 0.111 MN / m$$
 => dickes Bauteil

$$A_s = \sqrt{\frac{12 \cdot 0,111 \cdot (0,163 - 0,4 \cdot 0,111)}{3,6 \cdot 200000 \cdot 0,4 \cdot 2,6}} \cdot 10^4 = 4,6cm^2/m$$

gew. Zulage ø12/15 = 7,54cm²/m in dem 40 cm hohen Streifen oberhalb der 8ø16

Bewehrungsführung:

